

Gattermann

**Nach der Vorlesung SS2000
von Professor M. Heuschmann**

Computerabschrift von Oliver Schön

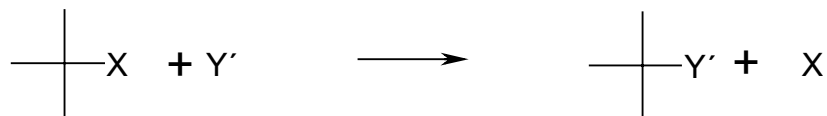
Inhaltsverzeichnis

1	Aliphatische Substitution	5	3.2.1	Nitrierung	38
1.1	Allgemein:	5	3.2.2	Nitrosierung	39
1.2	Elektrophile Substitution S_E	5	3.2.3	Azokupplung	39
1.3	Radikalische Substitution S_R	5	3.3	Elektrophiler Schwefel.....	40
1.4	Nukleophile Substitution S_N	5	3.3.1	Sulfonierung	40
1.4.1	Kinetik	6	3.3.2	Sulfonylierung	41
1.4.2	Stereochemie	6	3.4	elektrophiles Halogen.....	41
1.4.3	Racemisierungen	8	3.5	elektrophiler Kohlenstoff.....	42
1.4.4	Umlagerung	9	3.5.1	Friedel-Crafts-Alkylierung	42
1.5	S_N2 - Reaktion	10	3.5.2	Friedel-Crafts-Acylierung	43
1.5.1	Struktur des Substrats	10	3.5.3	Wolff-Kishner-Reduktion	43
1.5.2	Nukleophile Agens	10	3.5.4	Clemmensen-Reduktion	43
1.5.3	Die austretende Gruppe (Abgangsgruppe) ..	12	3.5.5	Chlormethylierung	44
1.5.4	Solvenseffekte	13	3.5.6	Gattermann-Hoesch-Reaktion	44
1.6	S_N1 - Reaktion	14	3.5.7	Vilsmeier-Haack-Reaktion	44
1.6.1	Die Struktur des Substrat	14	3.5.8	Reimer-Tiemann-Reaktion	44
1.6.2	Carbeniumionen in Lösung	15	3.5.9	Kolbe-Schmitt-Reaktion	45
1.6.3	Intramolekulare S_N -Reaktionen S_Ni	16	3.5.10	Deuterierung	45
1.6.4	Nachbargruppeneffekte	17	3.5.11	Ipsso-Substitution	45
1.6.5	Allylderivate	19	3.6	Reaktivität von Heteroaromaten	46
1.6.6	Präparative Aspekte	19	3.7	S_NAr: Additions-	
1.6.7	Stabilisierungseffekte	21		Eliminierungsmechanismus	46
1.7	Radikalische aliphatische Substitution... 21		3.7.1	Additions-Eliminierungsmechanismus	46
1.7.1	Halogenierungen	21	3.7.2	Die aktivierende Gruppe	46
1.7.2	Hammond-Prinzip	22	3.7.3	Die eintretende Gruppe	47
1.7.3	Präparative Aspekte	22	3.7.4	Die austretende Gruppe	47
2	Carbonsäuren und Derivate	24	3.7.5	Sanger-Reagenz	47
2.1	Eigenschaften	24	3.7.6	weitere Reaktionen:	47
2.2	Hammett-Gleichung	24	3.8	S_NAr: Eliminierungs-	
2.3	Synthesen	25		Additionsmechanismus	49
2.4	Reaktionen	26	3.8.1	Roberts-Reaktion	50
2.4.1	Mechanismen ohne Katalyse	26	3.8.2	Nachweiß von Zwischenstufen	51
2.4.2	Reduktion und Lithiumorganyle	26	3.8.3	Zugangswege zum Arin:	52
2.4.3	Säurekatalysierte Veresterung	27	3.8.4	Isolierung des Arins: Chapmann	52
2.5	Carbonsäurederivate	28	3.8.5	Diels - Alder mit Arin	52
2.5.1	Reaktivität	28	3.9	$S_{RN}Ar$: Nukleophile-Radikalische-	
2.5.2	Carbonsäurehalogenide	28		Sub. 53	
2.5.3	Carbonsäureanhydride	29	3.10	Radikalische aromatische	
2.5.4	Carbonsäureester	29		Substitution $S_{R}Ar$	53
2.5.5	Carbonsäureamide	30	3.10.1	Gomberg-Bachmann-Reaktion	53
2.5.6	Nitrile	31	3.11	Zusammenfassung.....	54
2.6	Abbaureaktionen	32	3.11.1	Meta -Substitutionstrategie	54
2.6.1	Thermische Decarboxylierung	32	3.11.2	o,p Substitutionstrategie	54
2.6.2	Elektrochemische Decarboxylierung	32	3.11.3	Donor Akzeptor Konkurrenz	54
2.6.3	Oxidative Decarboxylierung	33	3.12	Oxidation und Reduktion	55
2.6.4	Abbau nach Hundsicker	33	3.12.1	Oxidation	55
2.6.5	Schmidt, Curtius und Hoffmann-Abbau	33	3.12.2	Reduktion	56
2.7	Reaktionen der Seitenkette	34	4	Alkene und Alkine	57
2.7.1	Hell Volhard Zelinskii	34	4.1	Alkene.....	57
2.8	Zusatz	34	4.1.1	Struktur und Isomerie	57
3	Aromatische Substitution	36	4.1.2	Darstellung durch trans-HX-	
3.1	S_EAr : Mechanismus	36		Eliminierung 57	
3.1.1	σ und π Komplexe	36	4.1.3	Darstellung durch cis-HX-Eliminierung	61
3.1.2	Stabilität des σ und π Komplexes:	37	4.1.4	Alkan-Dehydrierung	62
3.1.3	Partielle RG-Konstanten	37	4.1.5	Alkenmetathese	62
3.2	Elektrophiler Stickstoff	38	4.1.6	Wittig-Reaktion	62
			4.1.7	Horner-Wadsworth-Emmons-Reaktion	63
			4.1.8	Corey-Winter-Synthese	
				(Fragmentierung)	63

4.1.9	Reaktionen der Alkene	64	6.5.2	Aziridine	103
4.2	Alkine	66	6.5.3	Paal-Knorr-Pyrrol-Synthese	103
4.2.1	Eigenschaften	66	6.5.4	Fischer-Indol-Synthese	103
4.2.2	Herstellung	67	6.5.5	Hantzsch-Pyridin-Synthese	104
4.2.3	Reaktionen	67	6.5.6	Skaup-Chinolin-Synthese	104
4.2.4	Nukleophile Addition	68	7	Diazoverbindungen	105
4.2.5	Oxidative Kupplung	68	7.1	Nomenklatur	105
4.3	Cycloadditionen der Alkene und Alkine .	69	7.2	Aromatische	
4.3.1	[2+1]Cycloaddition	69	Diazoniumverbindungen.....	105	
4.3.2	[2+2] Cycloaddition	71	7.2.1	Darstellung	105
4.3.3	[3+2] Cycloaddition	72	7.2.2	Reaktionen ohne Stickstoff-	
4.3.4	[4+2] Cycloaddition: Diels-Alder-Reaktion	73	Eliminierung 105		
4.4	Woodward-Hoffmann-Regeln.....	74	7.2.3	Reaktionen unter Stickstoff-	
5	Reduktion&Oxidation	76	Eliminierung 107		
5.1	Reduktion.....	76	7.3	Aliphatische Diazoverbindungen	109
5.1.1	Reduktionsmittel	76	7.3.1	Darstellung	109
5.1.2	Reduktion funktioneller Gruppen.....	79	7.3.2	Diazogruppen-Übertragung.....	111
5.1.3	Aromaten.....	79	7.3.3	Struktur	111
5.2	Oxidation	81	7.3.4	Reaktionen	112
5.2.1	Alkane	81			
5.2.2	Alkene	81			
5.2.3	Alkine.....	84			
5.2.4	Alkohole.....	84			
5.2.5	Aldehyde	85			
5.2.6	BAYER-VILLIGER-Oxidation	85			
6	Carbonylverbindungen.....	86			
6.1	Darstellung der Aldehyde und Ketone	86			
6.1.1	Oxidation.....	86			
6.1.2	Reduktion	86			
6.1.3	Aromatische Aldehyde und Ketone	86			
6.1.4	Thermische Decarboxylierung von				
Carbonsäuresalzen	86				
6.1.5	Metallorganische Synthesen.....	86			
6.1.6	Kornblum-Oxidation	87			
6.1.7	Sommelet-Reaktion.....	88			
6.1.8	Esterkondensation (Claisen-Kondensation)	88			
6.1.9	Acyloin-Kondensation	89			
6.2	Bindungszustand.....	90			
6.3	Reaktionen	90			
6.3.1	Nucleophile Addition von H-X	90			
6.3.2	Addition von Ammoniak.....	90			
6.3.3	Addition von Alkoholen.....	90			
6.3.4	Enamine	91			
6.3.5	Addition von C-H aciden Verbindungen....	92			
6.3.6	Addition von Enolaten an Aldehyde und				
Ketone	92				
6.3.7	α -Halogenierung von Aldehyden und				
Ketonen	95				
6.3.8	Redoxreaktionen	95			
6.3.9	Reaktionen mit metallorganischen				
Verbindungen.....	97				
6.3.10	Addition an Michael-Systeme	99			
6.3.11	Alkylierung und Acylierung	100			
6.3.12	Mannich-Reaktion	101			
6.4	Umlagerungs-Reaktionen	102			
6.4.1	Beckmann-Umlagerung	102			
6.4.2	Schmidt-Abbau	102			
6.4.3	Neber-Umlagerung	102			
6.4.4	Favorskii-Umlagerung	102			
6.5	Synthesen von Heterocyclen.....	103			
6.5.1	Oxirane.....	103			

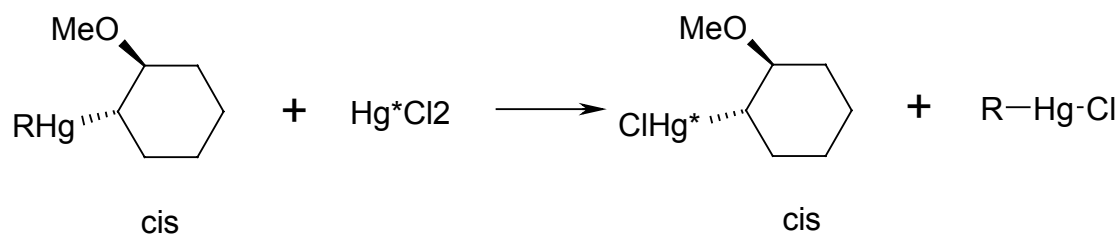
1 Aliphatische Substitution

1.1 Allgemein:



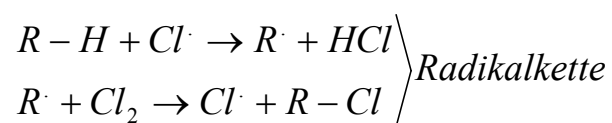
1.2 Elektrophile Substitution S_E

Y hat Elektronenlücke; Lewis –Säure



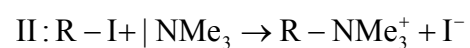
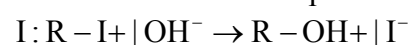
1.3 Radikalische Substitution S_R

Y hat ungepaartes Elektron; Radikal



1.4 Nukleophile Substitution S_N

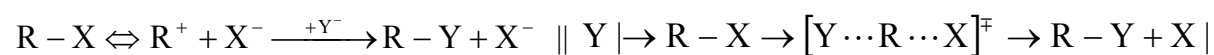
Y hat freies Elektronenpaar



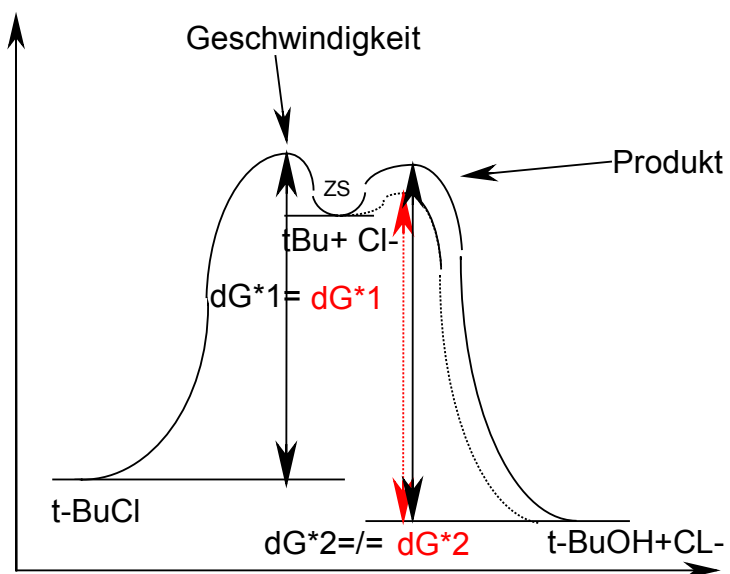
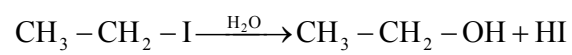
S_N

S_N1

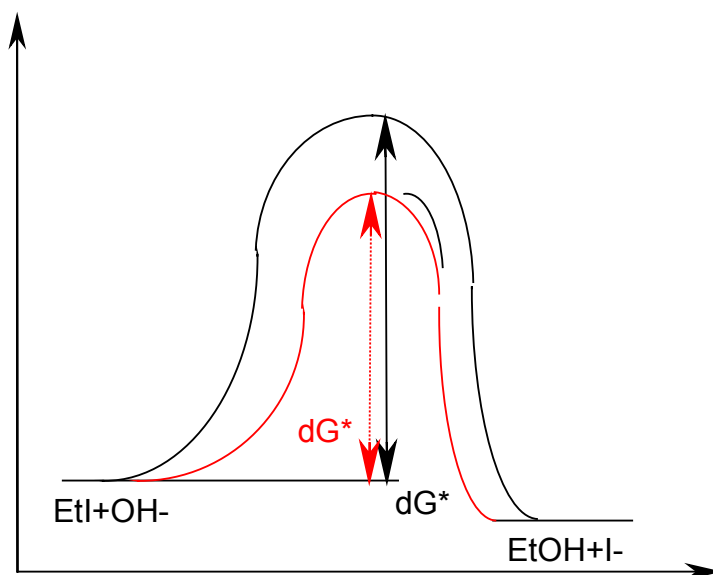
S_N2



1.4.1 Kinetik

 S_N1  S_N2 

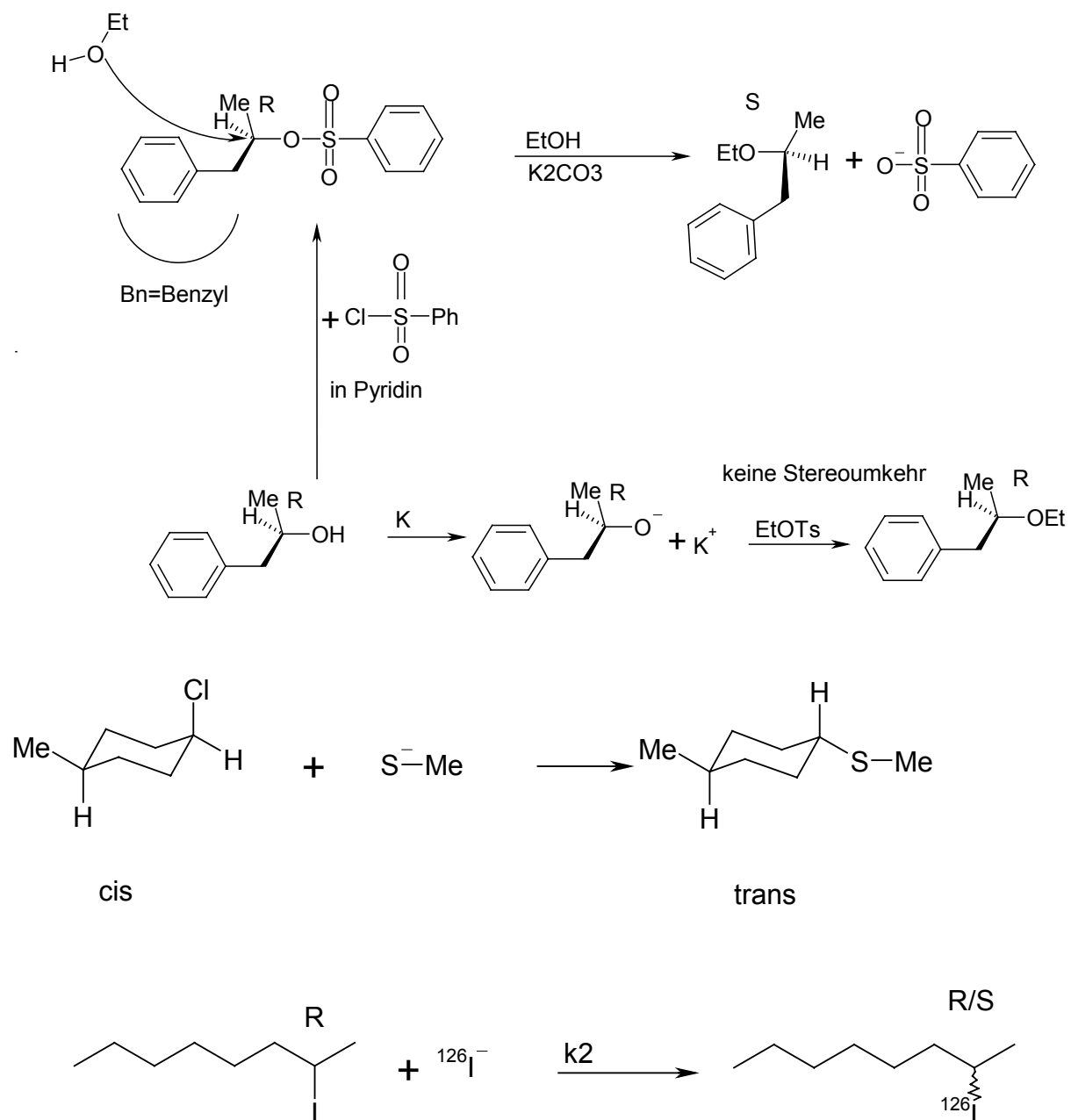
$$\text{RG} = -\frac{d[\text{EtI}]}{dt} = k[\text{EtI}] * [\text{OH}^-]$$



1.4.2 Stereochemie

S_N2 : Walden-Umkehr

Bei S_N2 Reaktionen wird das Stereozentrum geändert, die Stereochemie dreht sich um.

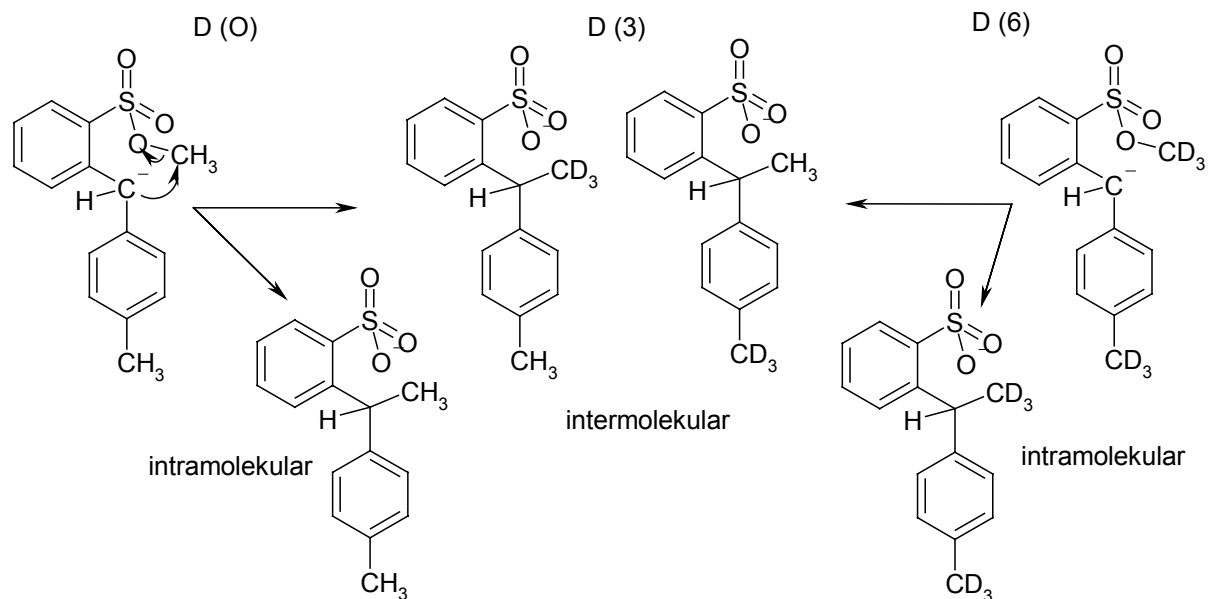


k_2 (¹²⁶I-Einbau): $2,88 \cdot 10^{-5} \text{ l/mol} \cdot \text{s}$

k (Racemisierung): $6,00 \cdot 10^{-5} \text{ l/mol} \cdot \text{s}$

Die Racemisierung ist doppelt so schnell wie die Abfangreaktion des Iodids: 50/50 Gemisch der R und S Enantiomere entsteht.

1.4.3 Racemisierungen

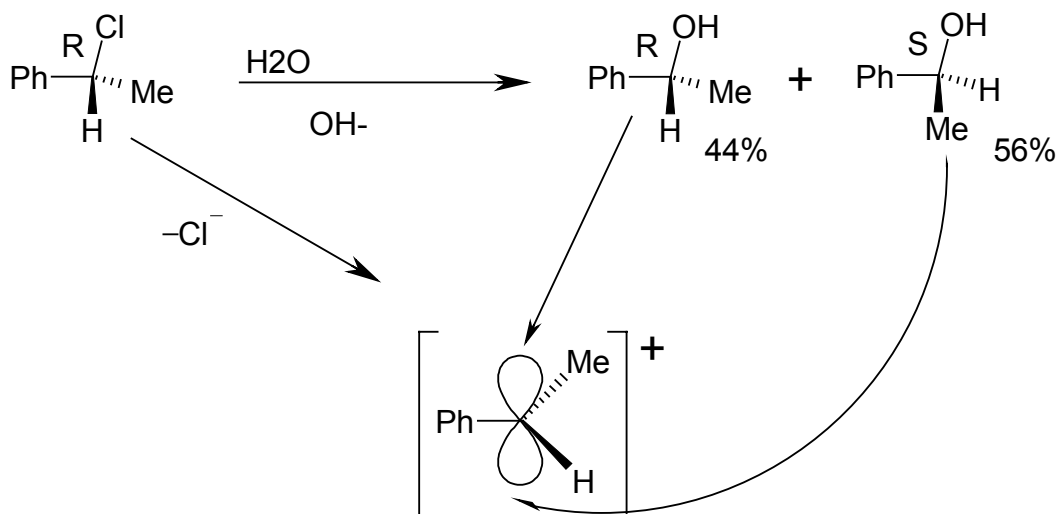


Einsetzen eines D0:D6 = 1:1 Gemisches

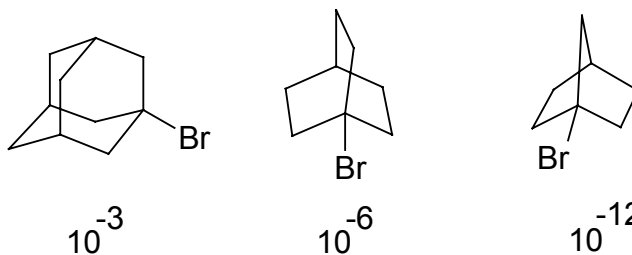
Statistisch: 1:2:1

S_N2 nur bei ca. 180°C !!

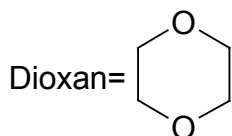
S_N1 :



t-BuBr



In H₂O/Dioxan
30/70
Bp=100°C

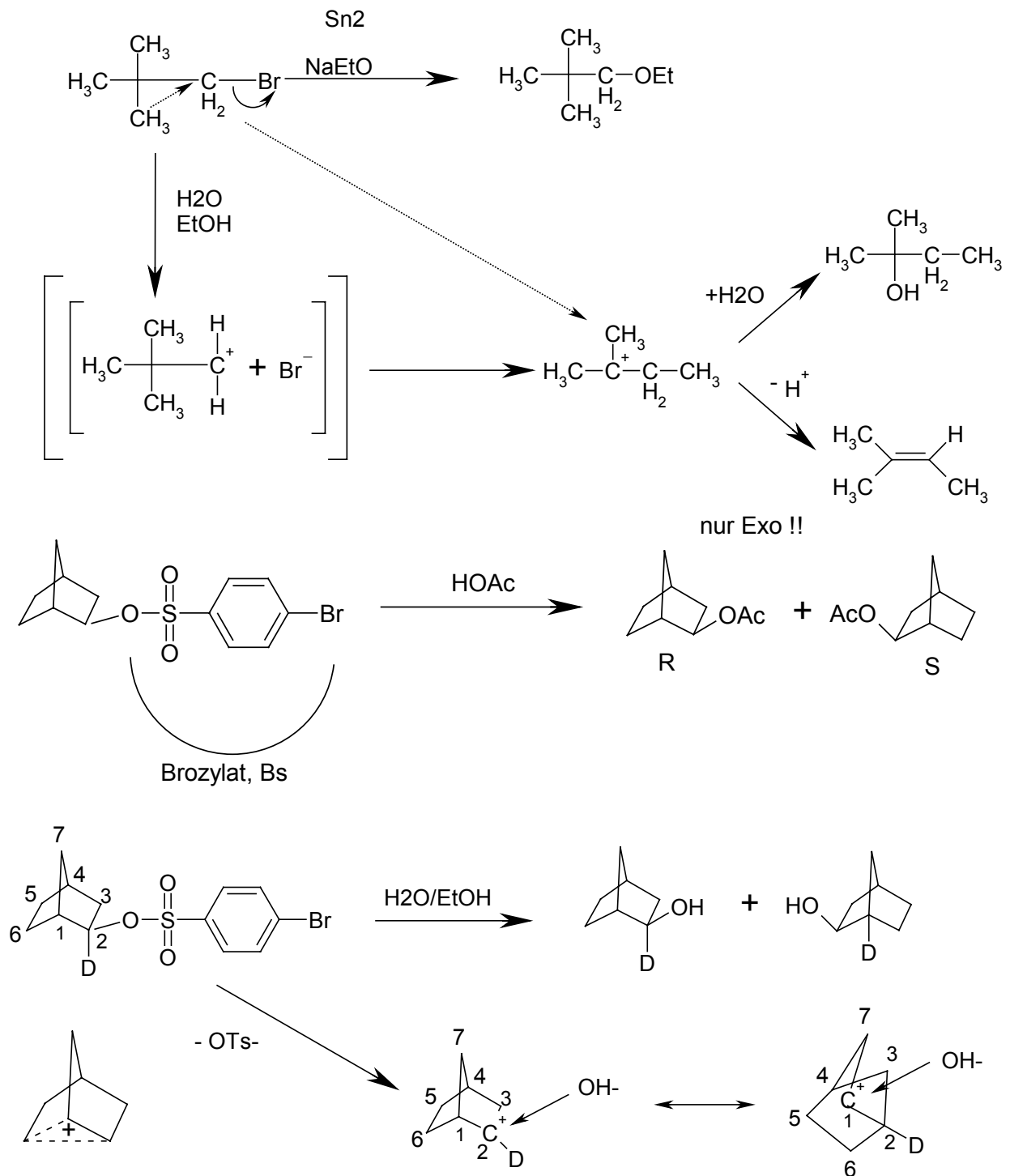


Cerberium schlechter Planar => S_N1 sterisch unmöglich
Rückseitenangriff behindert => S_N2 sterisch unmöglich

1.4.4 Umlagerung

Wagner-Meerwein-Umlagerung:

Es bilden sich durch Wasserstoff oder Alkylverschiebung stabilere Carbeniumionen:

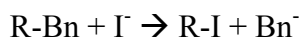


Carboniumion: 5-fach gebunden einfach positives C-Atom

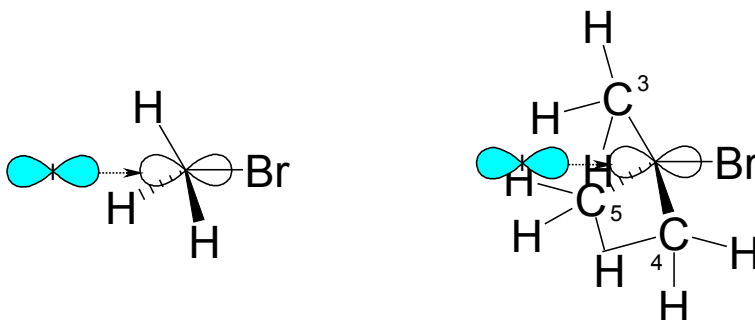
Carbeniumion: 3-fach gebunden einfach positives C-Atom

1.5 S_n2 - Reaktion

1.5.1 Struktur des Substrats



R	K(rel)
H ₃ C	145
(CH ₃) ₃ C	<0,001

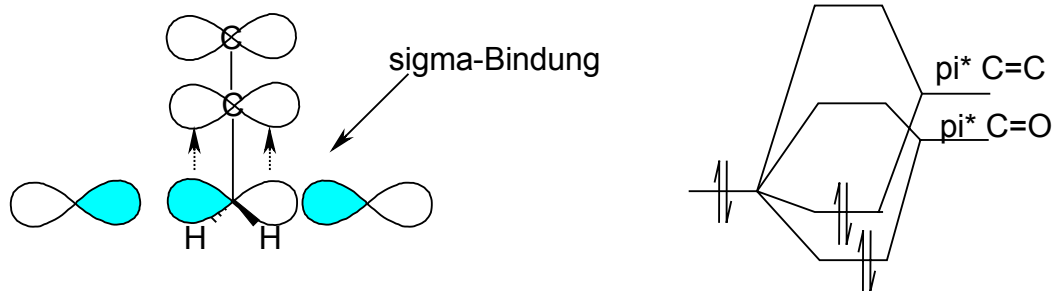


Es tritt sterische Hinderung auf wenn nicht annähernd ein 180° Winkel gegeben ist.

Grad der Hinderung ist abhängig von der Stellung des Substituenten:

α,β stark χ schwach δ gar nicht

C=C Bindung in α-Stellung

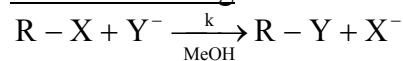


1.5.2 Nukleophile Agens

Nukleophilie → Kinetik (k)

Basizität → Thermodynamische Größe (K)

Swain-Gleichung



$$\lg\left(\frac{k}{k_0}\right) = n \cdot s \quad \text{R-X} = \text{Me-I} \Rightarrow s \equiv 1 \quad k_0 : \text{Y}^- = \text{MeOH}$$

Nukleophile: MeO⁻ > PhO⁻ > MeCOO⁻ > MeOH
 pKa 15,7 9,9 4,75 -1,5

Korrelation am gleichen Zentralatom:

Elektronenzug : langsamer Elektronenschub : schneller

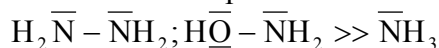
F⁻ < Cl⁻ < Br⁻ < I⁻ PSE von Oben → Unten

RO⁻ < RS⁻ < RSe⁻

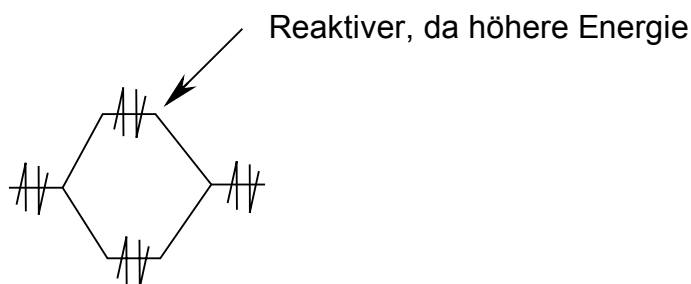
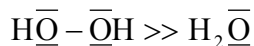
R₃C⁻ > R₂N⁻ > RO⁻ > F⁻ sterischer Solvateffekt

Jenks α -Effekt

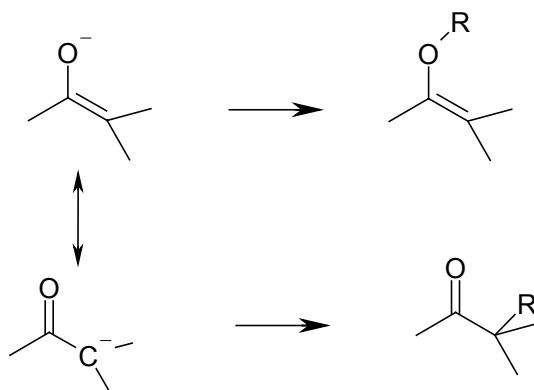
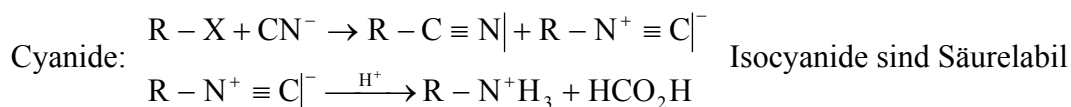
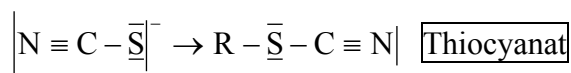
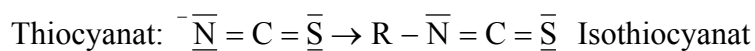
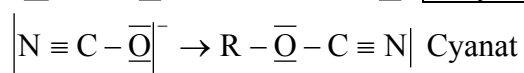
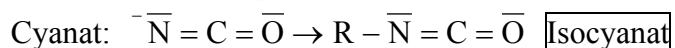
Das Atom in α -Position hat ebenfalls ein freies Elektronenpaar.



α α



Ambidente Nukleophile:

**Peason HSAB**

Harte Säuren $\text{H}^+; \text{Li}^+; \text{BF}_3; \text{CO}_2; \text{SO}_3$

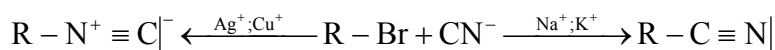
Grenzfälle $\text{R}_3\text{C}^+; \text{BR}_3; \text{Zn}^{2+}; \text{SO}_2$

Weiche Säuren $\text{R} - \text{S}^+; \text{CH}_2; \text{Pd}^{2+}; \text{Hg}^{2+}; \text{I}^+; \text{I}_2$

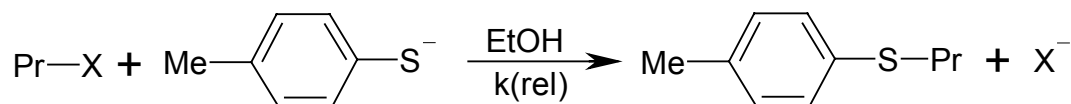
Harte Basen $\text{F}^-; \text{Cl}^-; \text{RO}^-; \text{R} - \text{OH}; \text{NH}_3; \text{CO}_3^{2-}; \text{Ac}^-, \text{NO}_3^-$

Grenzfälle $\text{Br}^-; \text{SO}_3^{2-}; \text{NO}_2^-; \text{Py}; \text{N}_3^-$

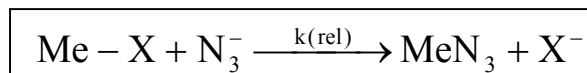
Weiche Basen $\text{H}^-; \text{I}^-; \text{R} - \text{S}^-; \text{SCN}^-; \text{R}_3\text{P}^-; \text{Benzol}; \text{H}_2\text{C} = \text{CH}_2; \text{CN}^-$



1.5.3 Die austretende Gruppe (Abgangsgruppe)



X	k
I	1
Br	0,29
Cl	0,0007
OTs	0,12



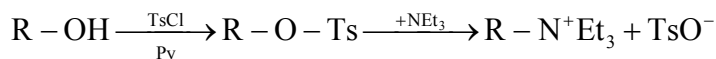
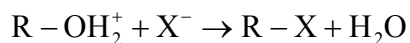
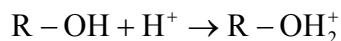
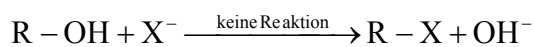
X ⁻	k(DMF)	k(MeOH)
Cl ⁻	1	0,0002
Br ⁻	460	0,027
I ⁻	3100	0,03

Schlechte Abgangsgruppen: OH⁻; RO⁻; R₂N⁻; N₃⁻

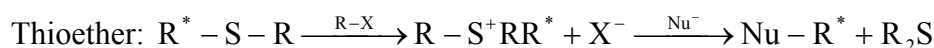
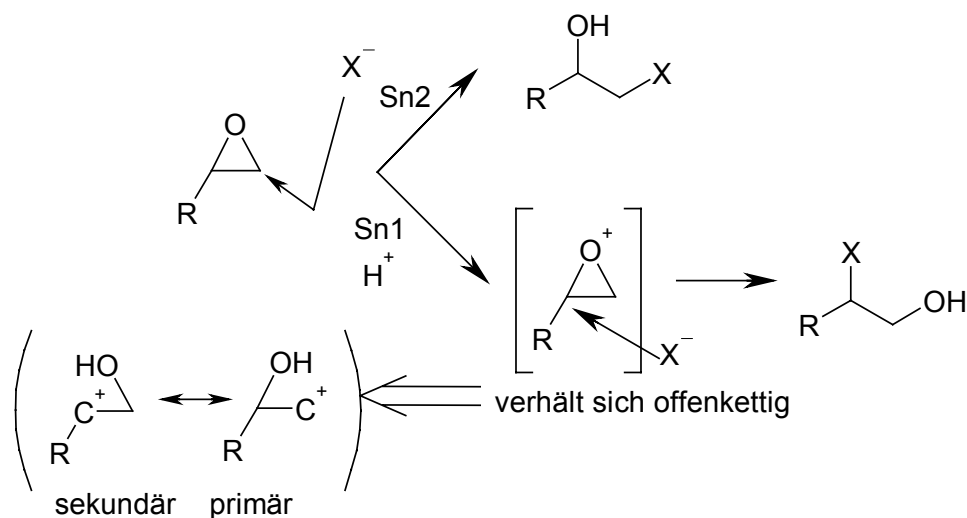
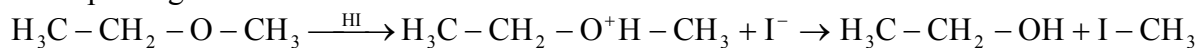
Mäßige Abgangsgruppen: CN⁻; NR₃; ArS⁻

Gute Abgangsgruppen: I⁻; Br⁻; Cl⁻; H₂O;
SR₂; RSO₃⁻; CF₃CO₂⁻

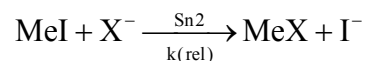
Sehr gute Abgangsgruppen: CF₃SO₃⁻; C₄F₉SO₃⁻
Triflat(TfO-); Nonaflat



Etherspaltung:



1.5.4 Solvenseffekte



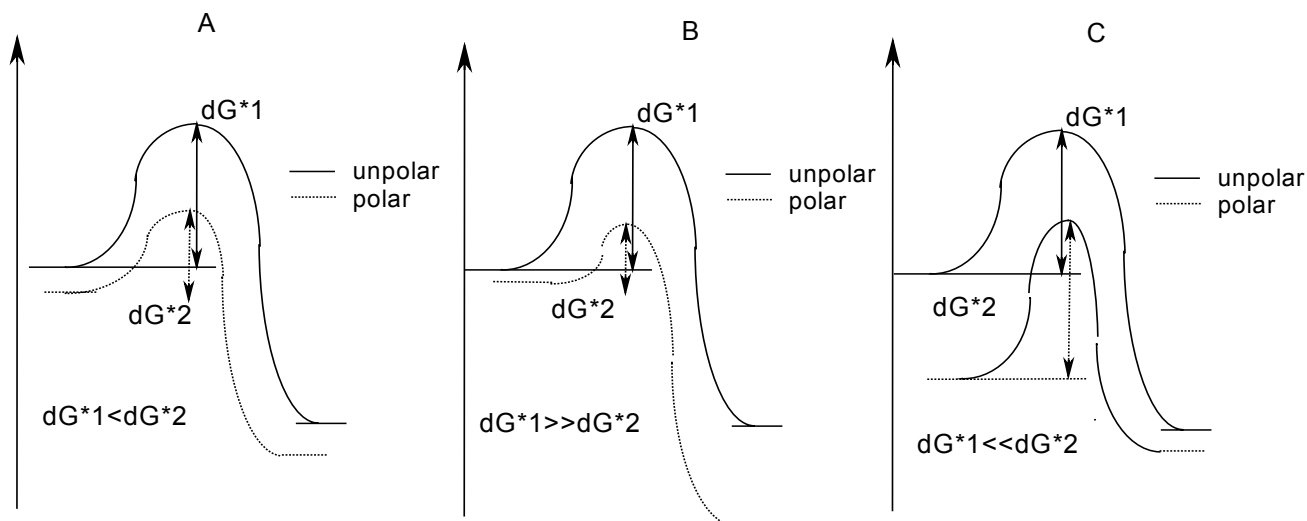
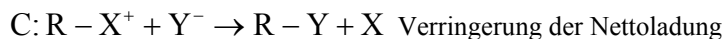
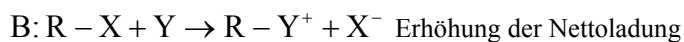
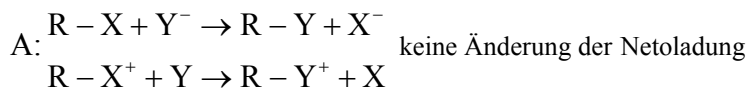
X $k(\text{MeOH})$ $k(\text{DMF})$

Cl 1 $1,2 \cdot 10^6$

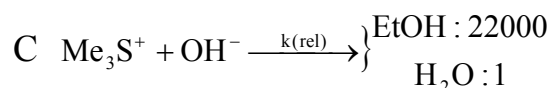
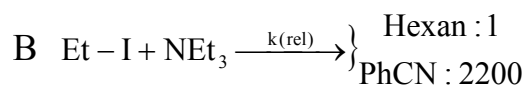
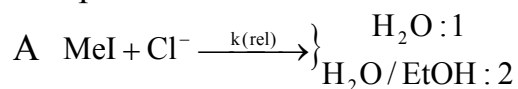
Br 20 $6,0 \cdot 10^5$

SeCN- 4000 $6,0 \cdot 10^6$

grundlegende Reaktionstypen

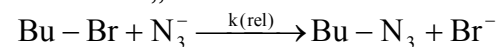


Beispiele

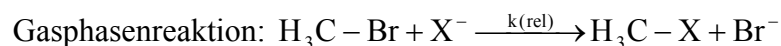


Dipolare aprotische Lösemittel sind ideal für Sn2!

Sie bilden „nackte Anionen“ ohne Solvathülle → kleinere und damit bessere Nucleophile



MeOH	1
DMSO	1300
DMF	2800
Acetonitril	5000
HMPT	200000



OH ⁻	158
OMe ⁻	60
F ⁻	50
MeS ⁻	12
CN ⁻	1,7
Cl ⁻	1

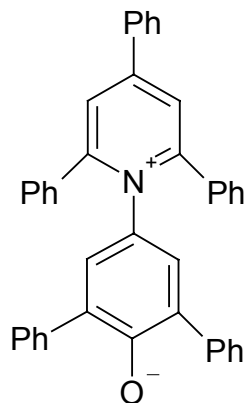
keine Solvathülle → je kleiner, je besser

In Gasphase ist die reale Größe für die

Nucleophilie entscheidend: $\text{F}^- > \text{Cl}^- > \text{Br}^-$

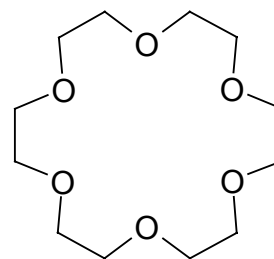
$\text{OH}^- > \text{RO}^- > \text{RS}^-$

ET-Werte: Maß für die Polarität eines Lösemittels (ET_n: normiert)



Farbigkeit der Verbindung hängt sehr stark von der Polarität des Lösemittels ab, da
 HOMO → LUMO
 Polar → unpolar
 angeregter Zustand immer unpolar
 → ΔΔE ist Maß für Polarität

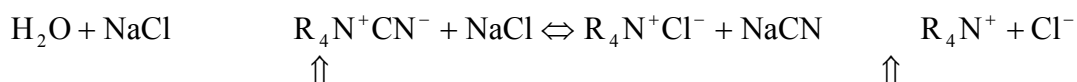
Besondere Lösemittel: Kronenether (hier [18]Krone 6)



Phasen-Transfer-Katalyse: (R > C₄)

Meist mit Tetrabutylammoniumsalzen (R₄N⁺X⁻)

Eingesetzt Bn-Cl (löslich CH₂Cl₂) + NaCN (löslich H₂O)



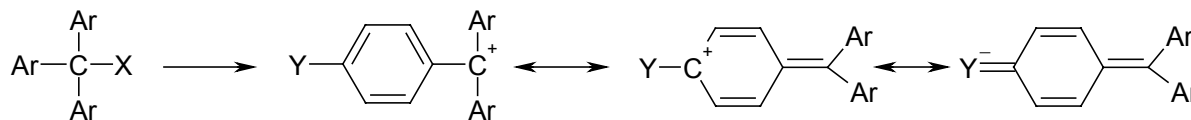
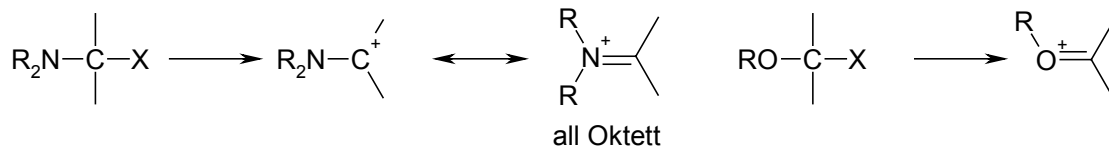
Phasengrenze



1.6 S_n1 - Reaktion

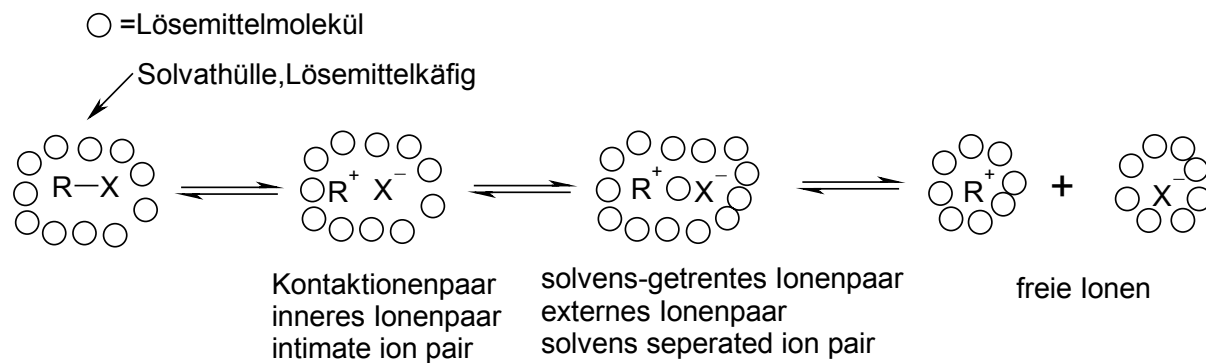
1.6.1 Die Struktur des Substrat

sehr rasch

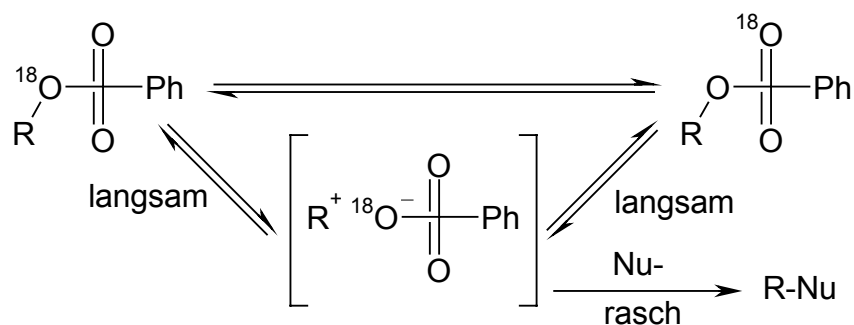


Trityl, wenn Ar=Phe

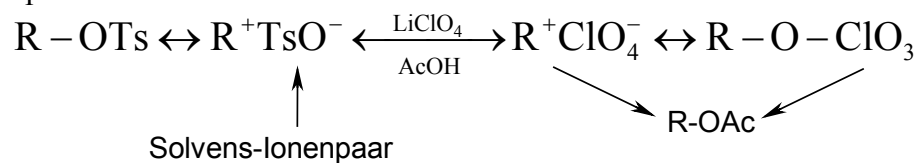




Isomerisierung



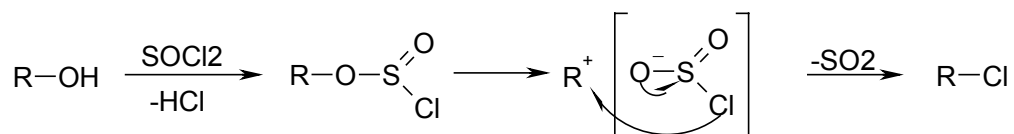
Spezieller Salzeffekt



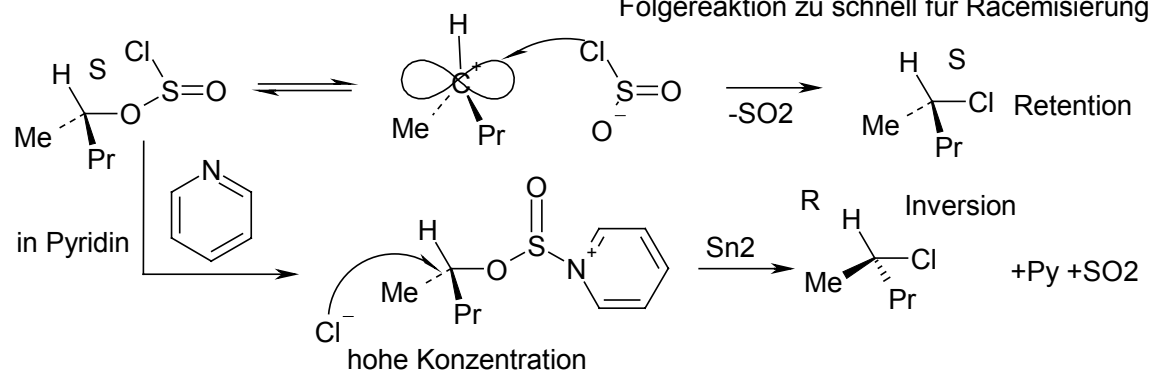
1.6.3 Intramolekulare S_N -Reaktionen S_Ni

Thionylchlorid SOCl_2

Sulfonylchlorid: SO_2Cl_2

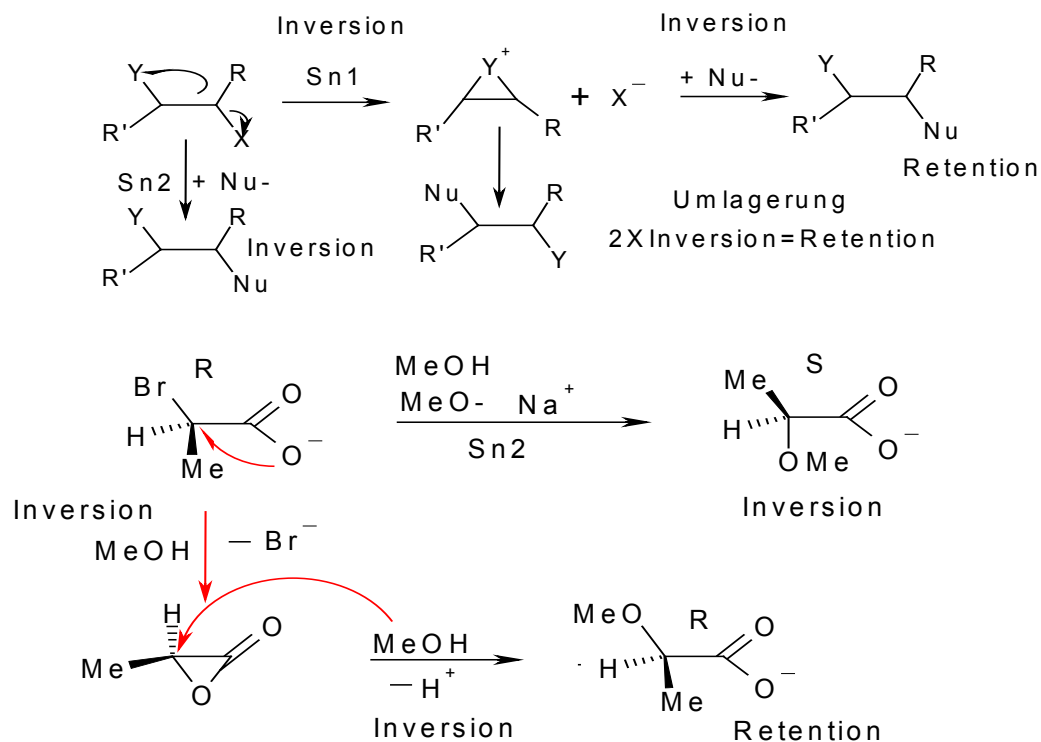


In Dioxan

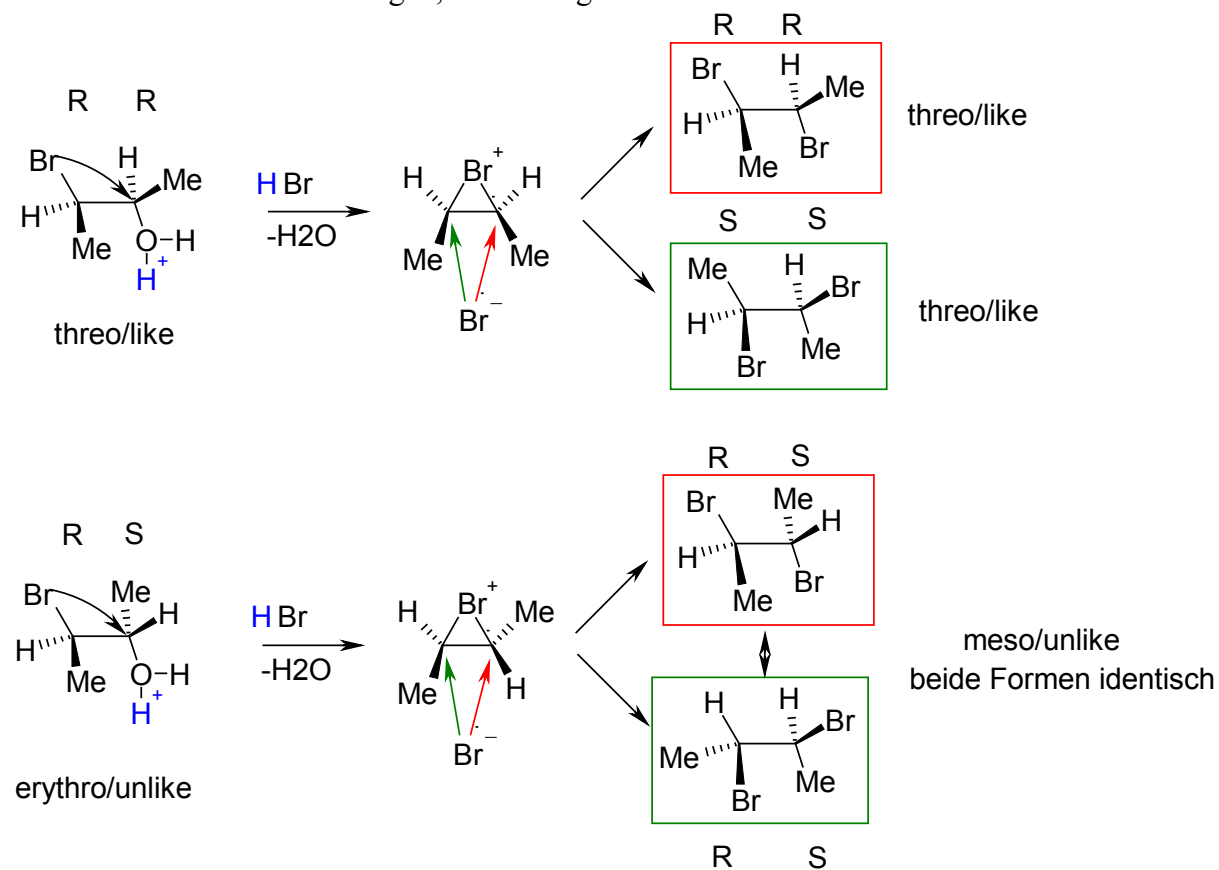


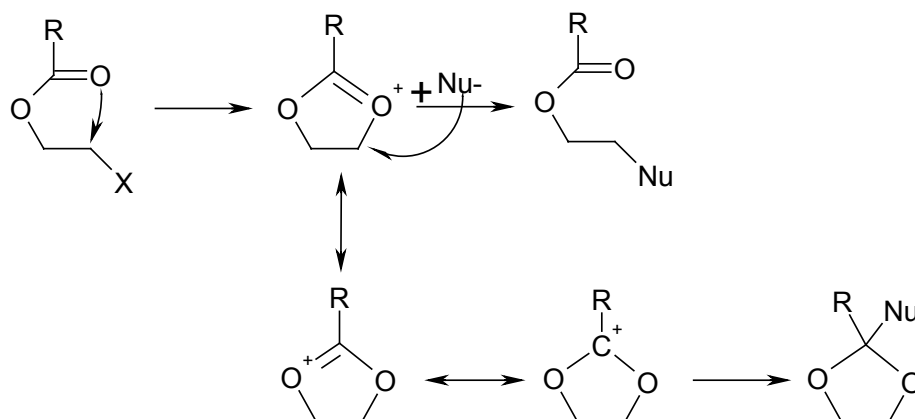
1.6.4 Nachbargruppeneffekte

1. Erhöhte Reaktionsgeschwindigkeit 2. Retention

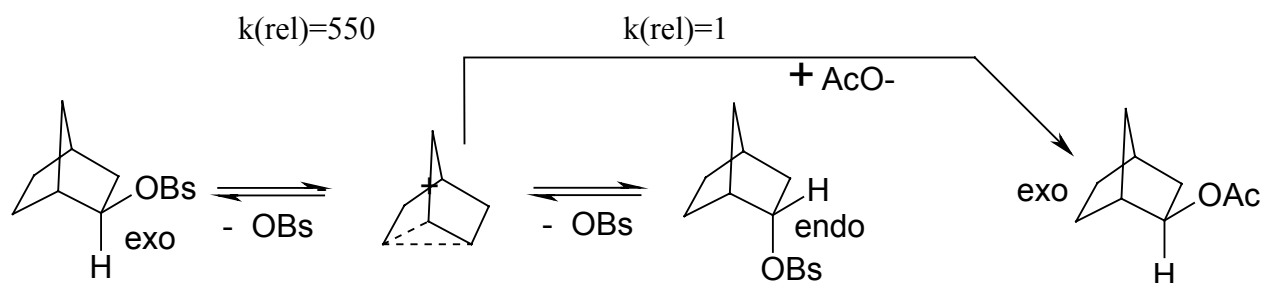
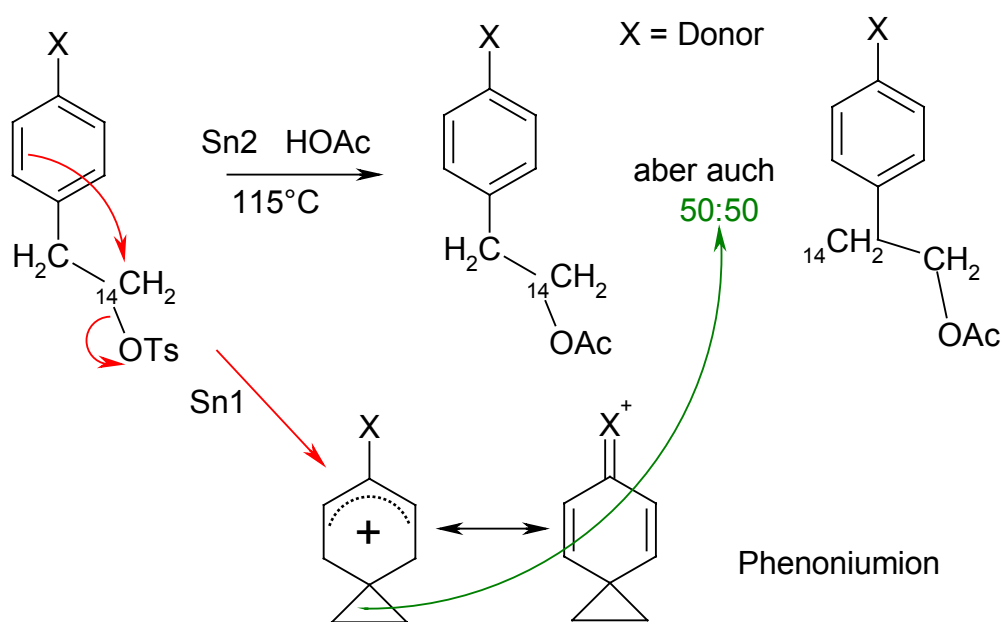
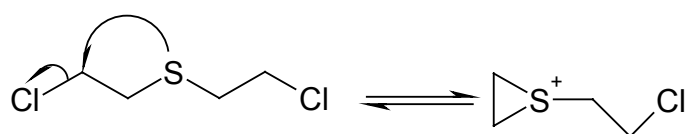


Nachbargruppen: CO_2^- ; $O-CO-R$; $O-R$; OH ; O^- ; NR_2 ; SR ; S^- ; I ; Br
 Π -Bindungen; σ -Bindungen

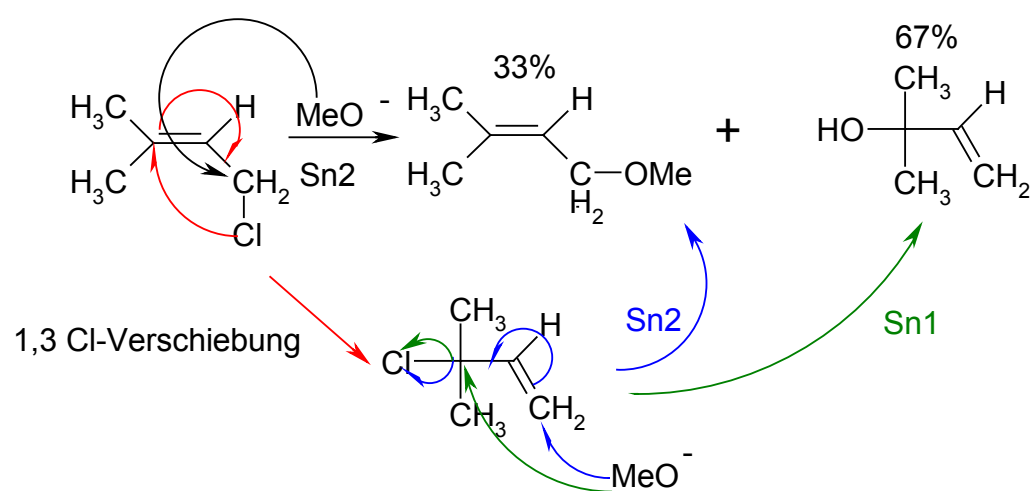
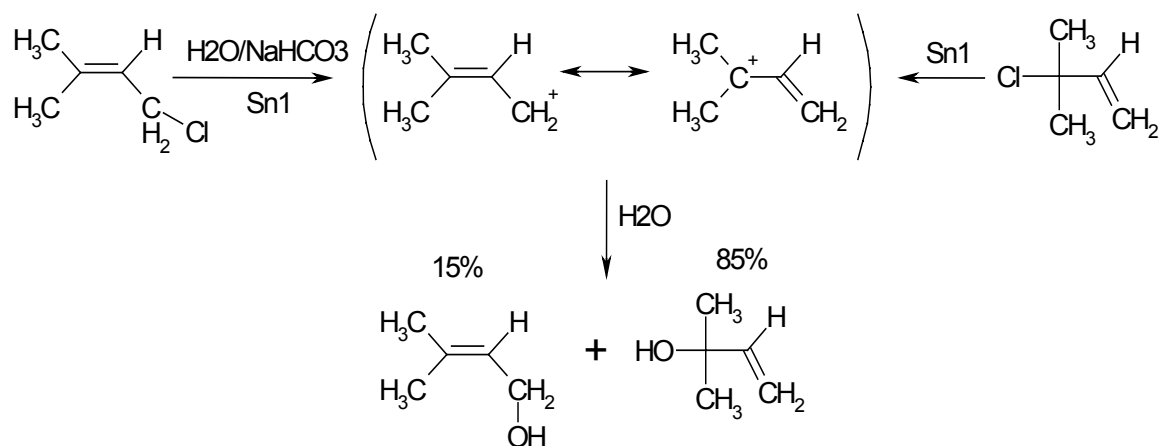




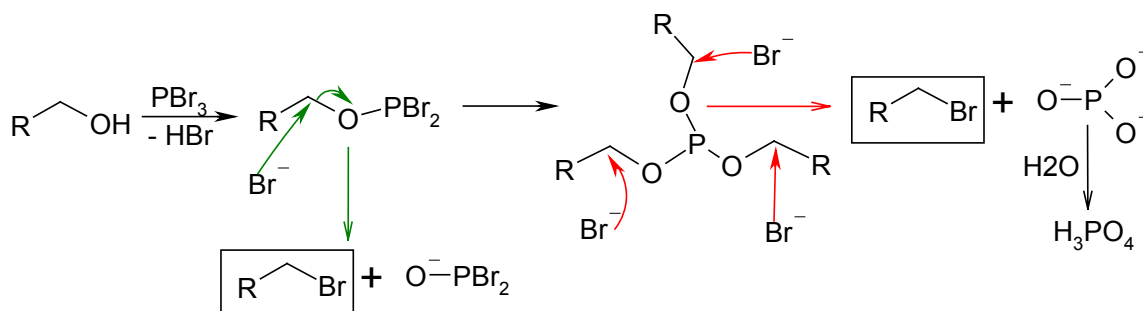
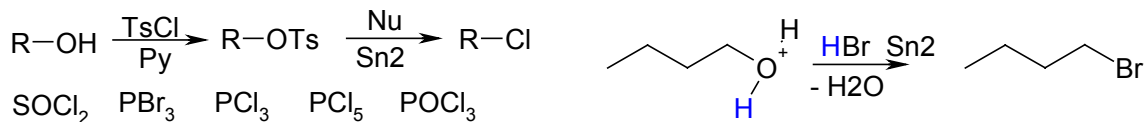
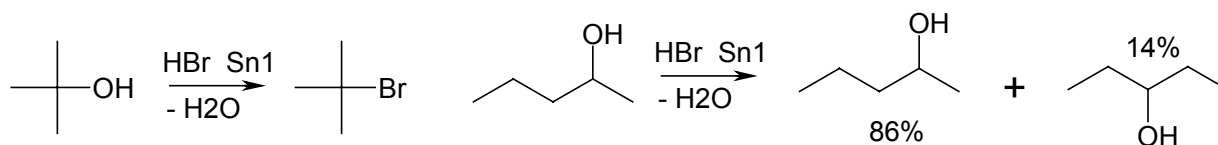
Die Wirkung des Kampfgases S-LOST beruht auf einem Nachbargruppeneffekt.

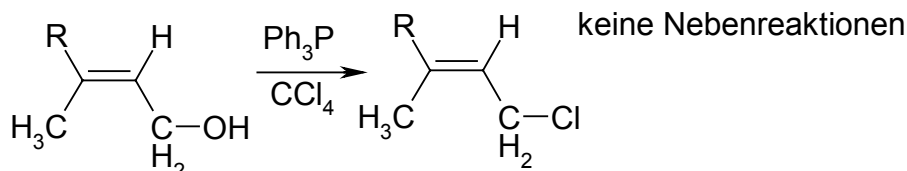
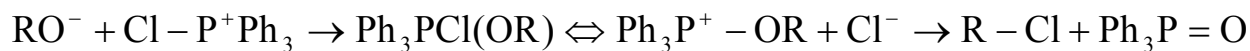
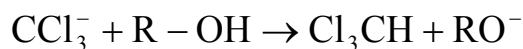
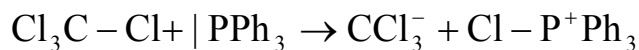


1.6.5 Allyl-derivate

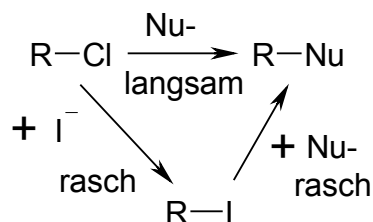


1.6.6 Präparative Aspekte

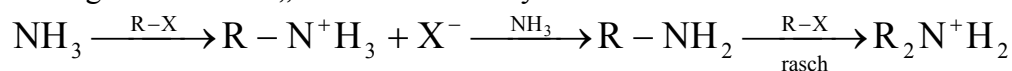
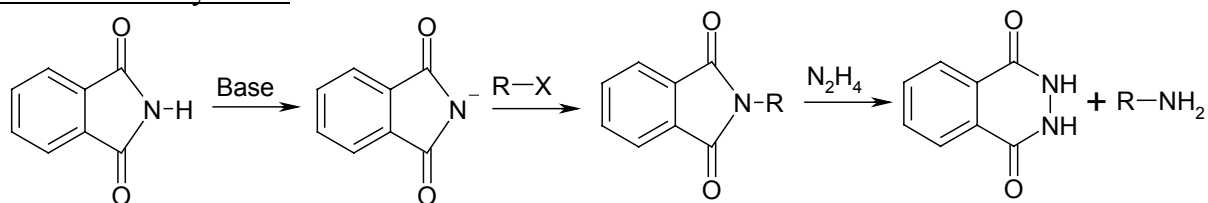


Appel-Reaktion (Alkohole zu Halogeniden)

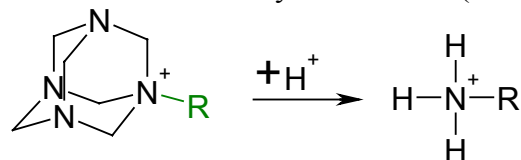
Folgereaktionen: Katalyse mit Iodid



Unmöglichkeit einer „normalen“ Aminsynthese mit Sn

Gabriel-Aminsynthese:

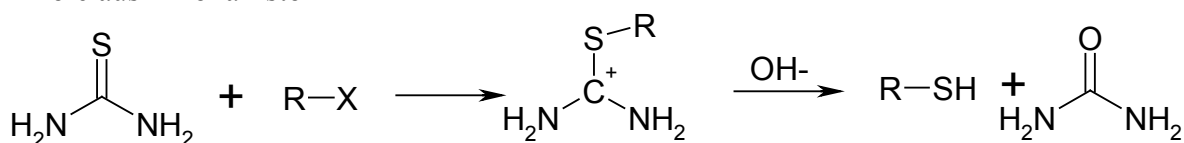
Amine aus Hexamethylentetraamin (Urotropin)



Amine aus Aziden:

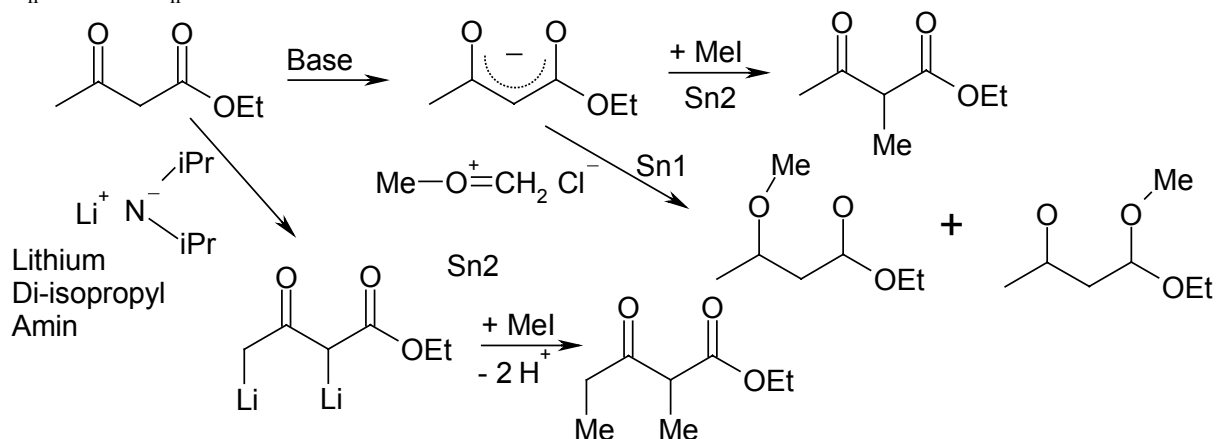


Thiole aus Thioharnstoff



1.6.7 Stabilisierungseffekte

S_n1 versus S_n2



S_n1: harte Säuren und Basen; Ladungen

S_n2: weiche Säuren und Basen; Orbitalbeteiligung

1.7 Radikalische aliphatische Substitution

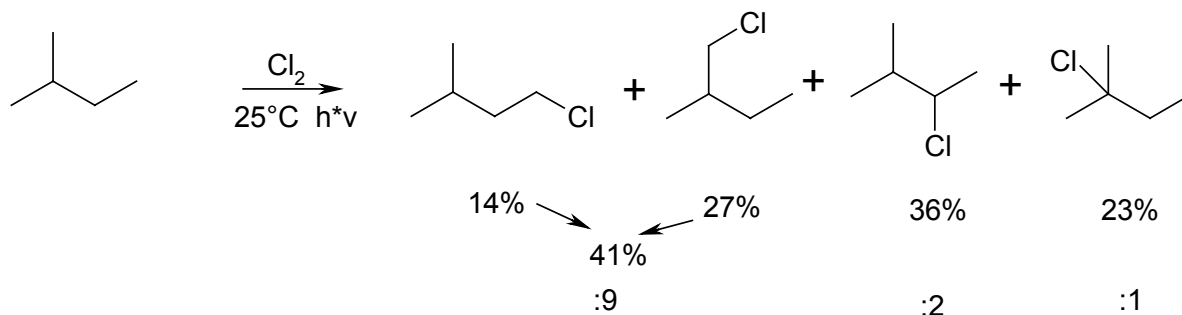
1.7.1 Halogenierungen

alle Angaben in ΔH (kJ/mol)

Phase	Reaktion	Fluor	Chlor	Brom	Iod
Start	$X - X \xrightarrow[\Delta]{h\nu} 2X \cdot$	+37	+58	+46	+36,5
Kette 1	$X \cdot + CH_4 \rightarrow HX + \cdot CH_3$	-32	+1	+17	+33
Kette 2	$\cdot CH_3 + X_2 \rightarrow XCH_3 + X \cdot$	-72	-26	-24	-20
Σ Kette	$X_2 + CH_4 \rightarrow XCH_3 + HX$	-104	-25	-7	+13
Abbruch 1	$X \cdot + \cdot CH_3 \rightarrow XCH_3$				
Abbruch 2	$H_3C \cdot + \cdot CH_3 \rightarrow C_2H_6$				

Die Reaktion mit Fluor läuft explosionsartig; bei Iod liegt das Gleichgewicht auf der falschen Seite. Praktisch durchführbar sind daher nur Chlorierungen und Bromierungen.

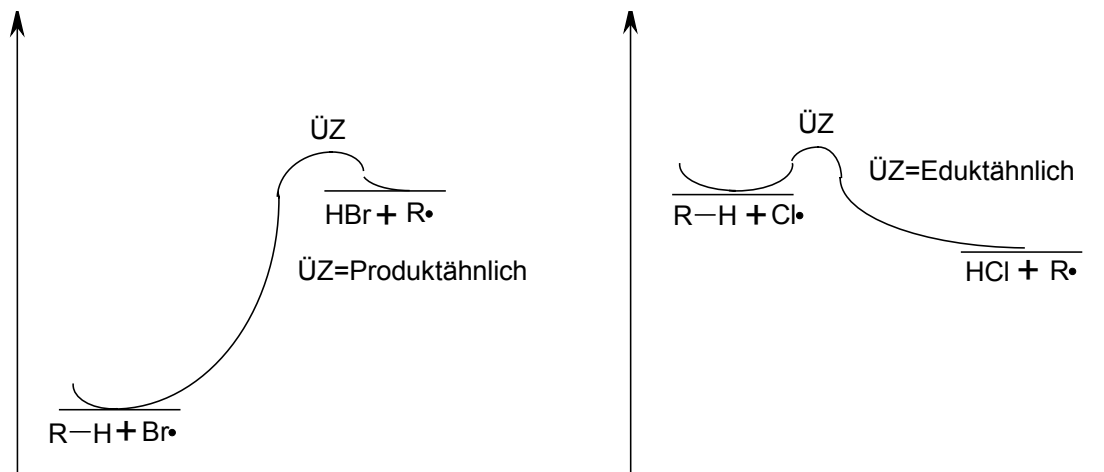
Selektivität



Halogen	primär	sekundär	tertiär
Chlor	1	4	5
Brom	1	250	6300
Fluor	1	1,2	1,4

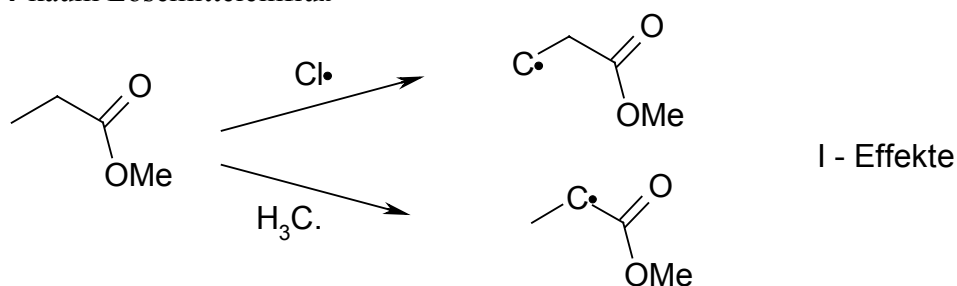
→ Je reaktiver, desto unselektiver!

1.7.2 Hammond-Prinzip

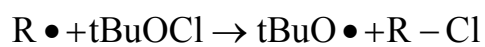
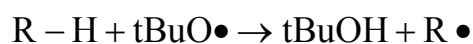
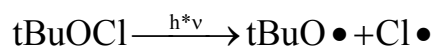
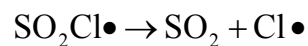
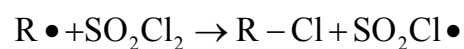
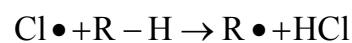
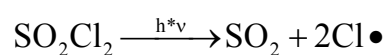


Lösemittel	tertiär	primär
Gasphase	3,7	1
CCl ₄	3,5	1
H ₃ C-NO ₂	3,3	1
Dioxan	5,6	1

→ kaum Lösemiteleinfluß

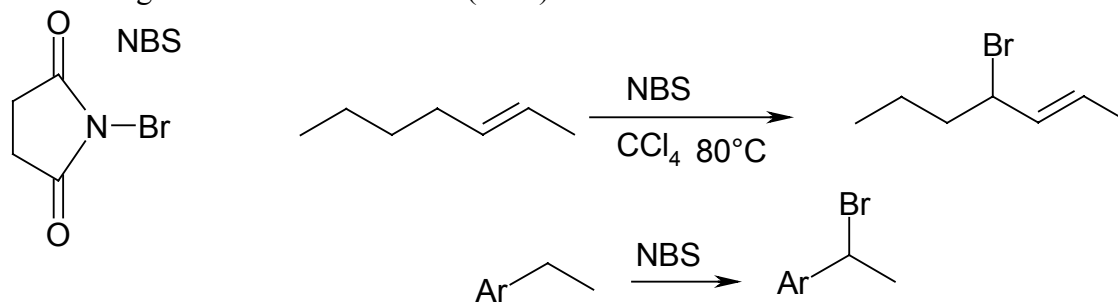


1.7.3 Präparative Aspekte

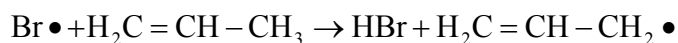
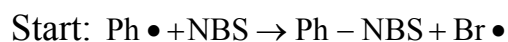
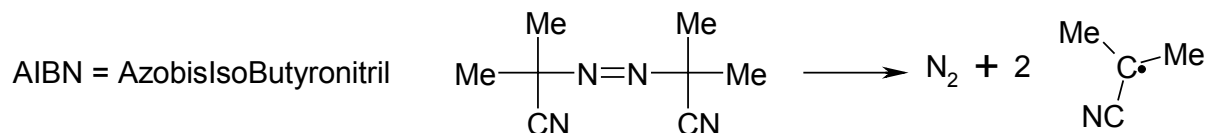
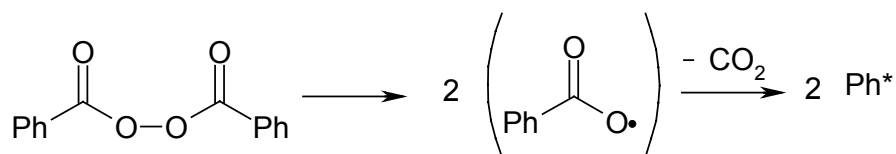


prim : sek : tert = 1 : 12 : 44

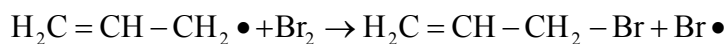
Bromierung mit N-Bromsuccinimid (NBS)



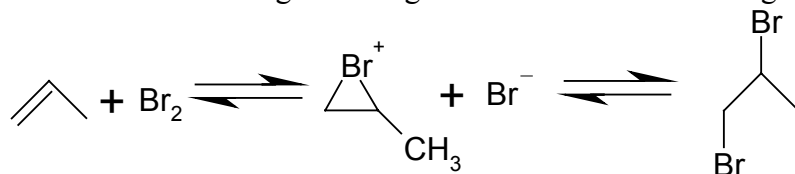
Radikalstarter



3 Schritte !!

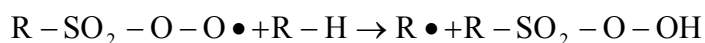
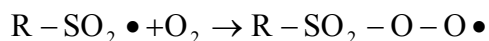
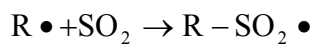
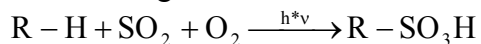


Bei normaler Bromzugabe erfolgt Addition an C=C Bindung

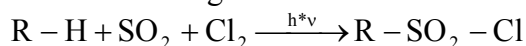


→ Brom(radikal)konzentration klein halten

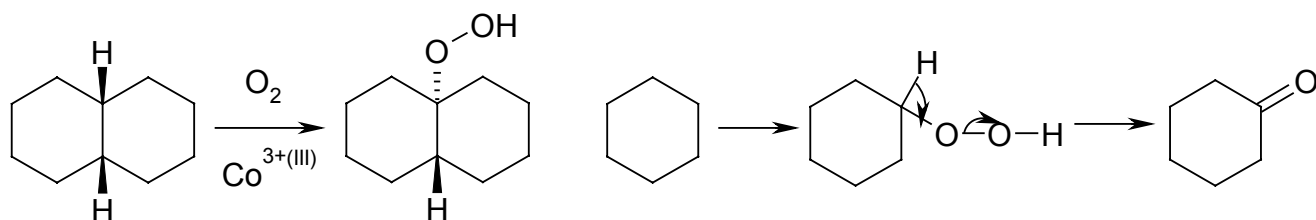
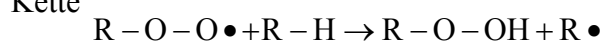
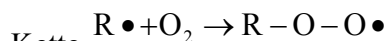
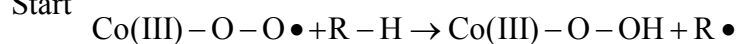
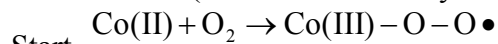
Sulfonierung



Sulfochlorierung Druck!!



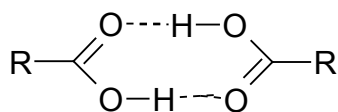
Auffoxidation (Schwermetallkatalysiert)



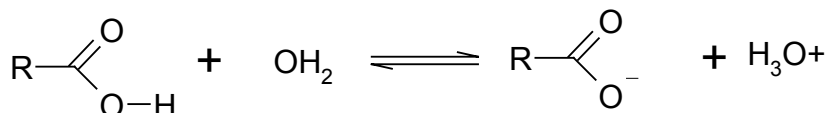
2 Carbonsäuren und Derivate

2.1 Eigenschaften

Dimerbildung



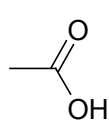
Dissoziation



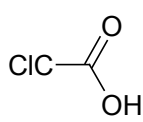
Säurestärke: $K_S = K_A = \frac{[\text{R}-\text{CO}_2^-][\text{H}_3\text{O}^+]}{[\text{R}-\text{COOH}]}$ $K_A \text{ ca. } 10^{-5} \rightarrow \text{p}K_A \text{ ca. } 5$

Zum Vergleich: Alkohole $\text{R}-\text{OH} + \text{H}_2\text{O} \leftrightarrow \text{R}-\text{O}^- + \text{H}_3\text{O}^+$ $\text{p}K_A \text{ ca. } 16$

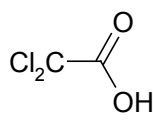
Grund: Mesomeriestabilisierung des Anions, daher O-H Bindung geschwächt



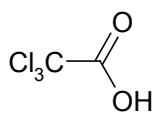
pKa 4,76



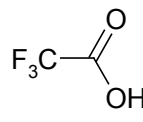
2,86



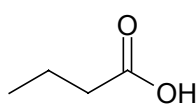
1,29



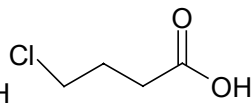
0,65



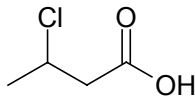
-0,6



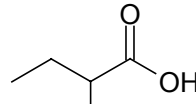
pKa 4,86



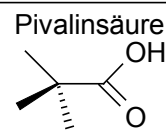
4,52



4,06



2,84



5,05

2.2 Hammett-Gleichung

(Verknüpfung von Thermodynamik und Kinetik)

$$\log \frac{k}{k_0} = \sigma * \rho$$

k = Geschwindigkeitskonstante einer substituierten Verbindung

k_0 = Geschwindigkeitskonstante einer unsubstituierten Verbindung

ρ = Reaktionskonstante

σ = Substituentenkonstante

Ursprüngliche Definition: $\log \frac{k}{k_0} = \sigma$ für Reaktion

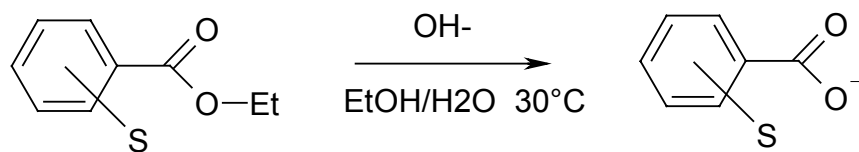
$\sigma > 0$ Substituierte Säure stärker

$\sigma < 0$ Substituierte Säure schwächer

Substituent ist e^- -Donor

Substituent ist e^- -Akzeptor

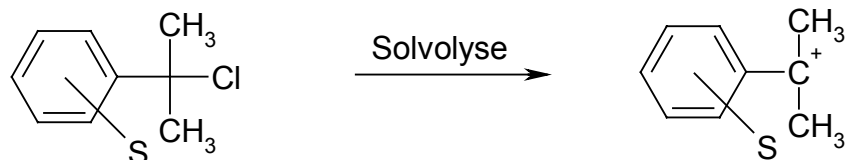
σ -Werte: siehe Tabelle σ vereint I- und M- Effekte



$$\rho = +2,43$$

$\rho > 0$ e^- -Zug beschleunigt die Reaktion

$\rho < 0$ e^- -Schub beschleunigt die Reaktion



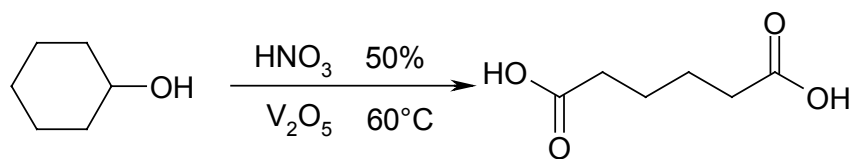
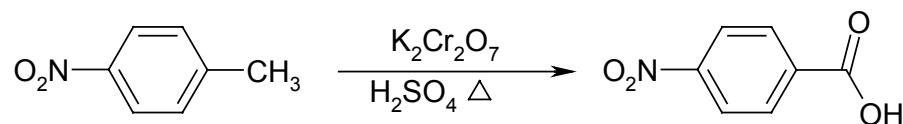
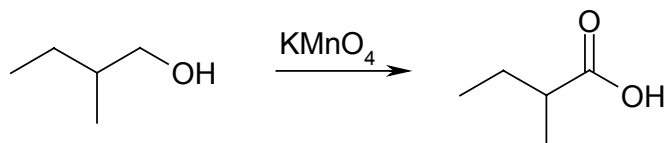
$$\rho = -4,63$$

ρ ist die Steigung der Geraden der linearen Regression eines $\log(k/k_0)$ (y-Achse) gegen σ (x-Achse)

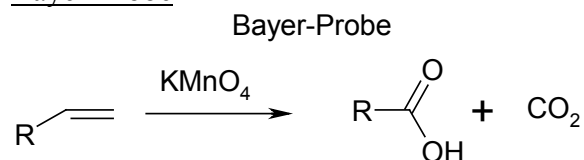
wenn $|\rho| > 3$ dann hat die Reaktion einen ausgeprägt ionischen Charakter
dann werden anstelle von σ -Werten die σ^+ oder σ^- -Werte verwendet

2.3 Synthesen

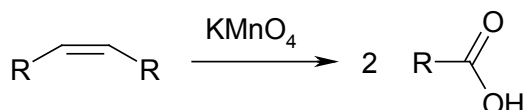
Oxidativ



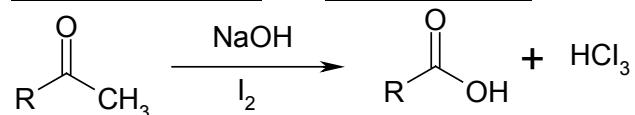
Bayer-Probe



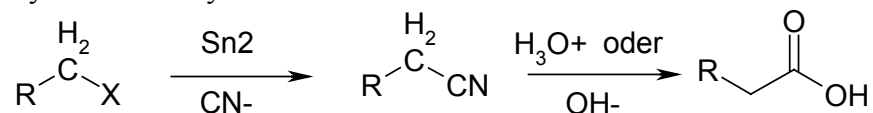
symmetrische oder endständige Alkene



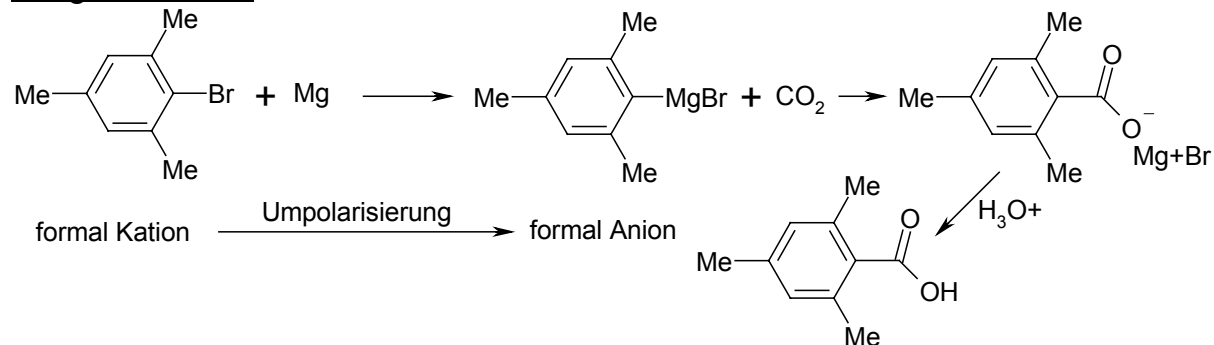
Haloform-Reaktion und Iodoform-Probe



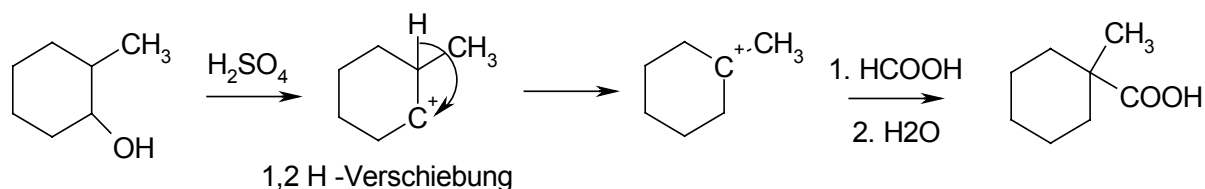
Synthese mit Cyanid



Grignard-Reaktion

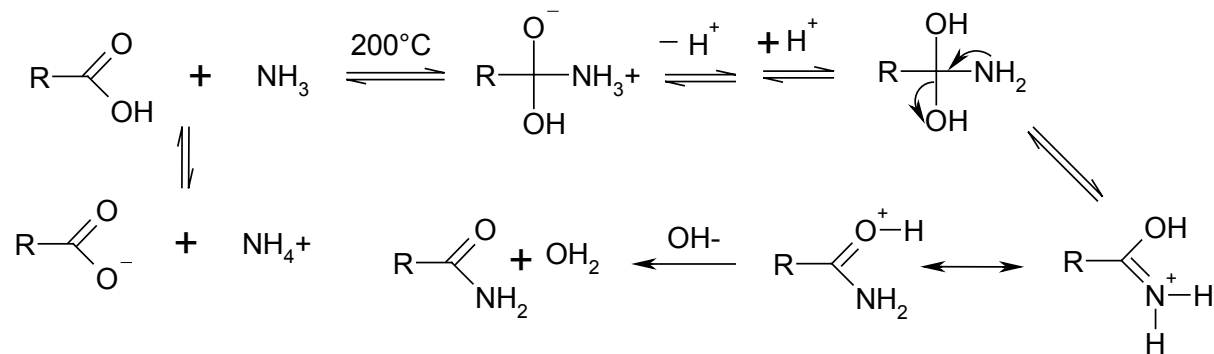


Koch-Haaf-Reaktion

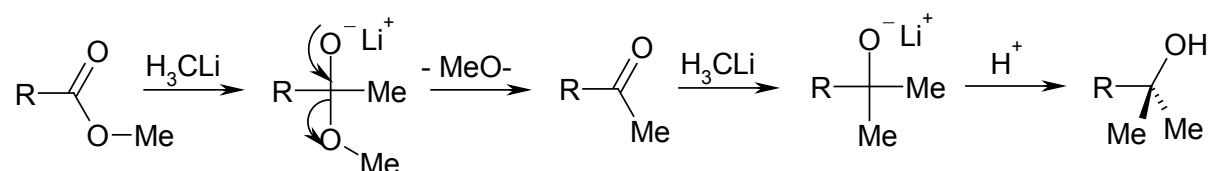
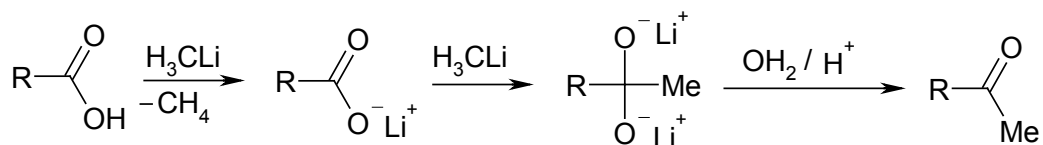
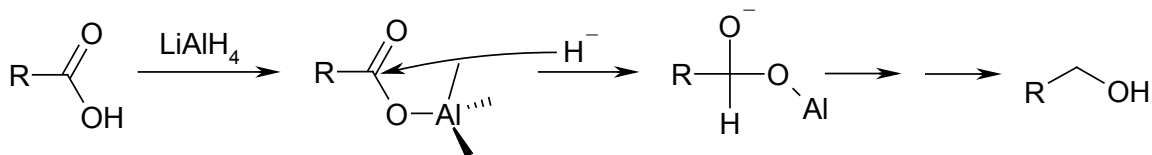


2.4 Reaktionen

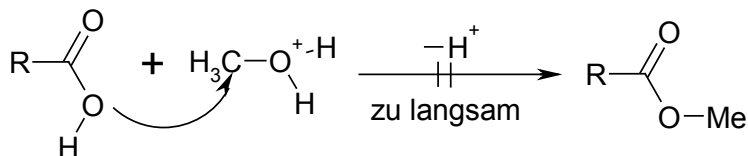
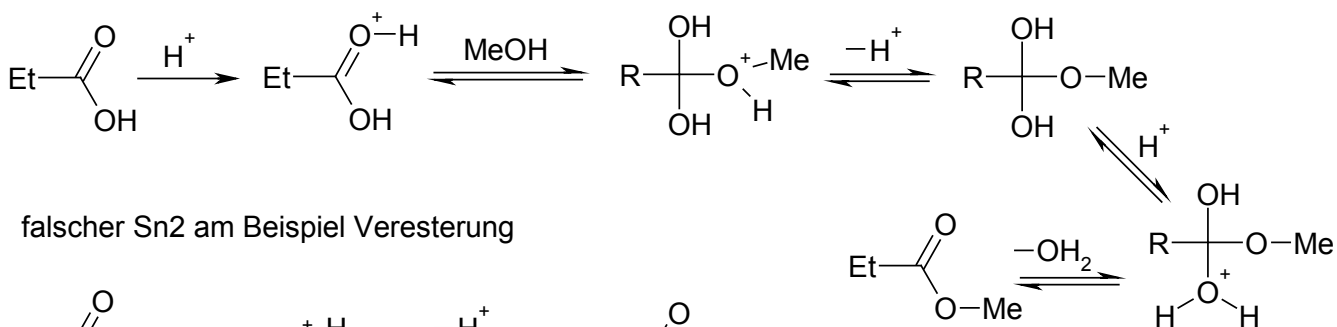
2.4.1 Mechanismen ohne Katalyse



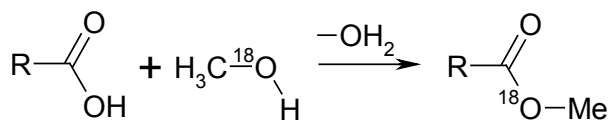
2.4.2 Reduktion und Lithiumorganyle



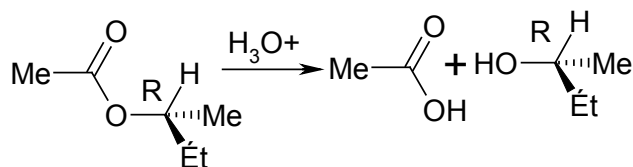
2.4.3 Säurekatalysierte Veresterung



Beweis 1

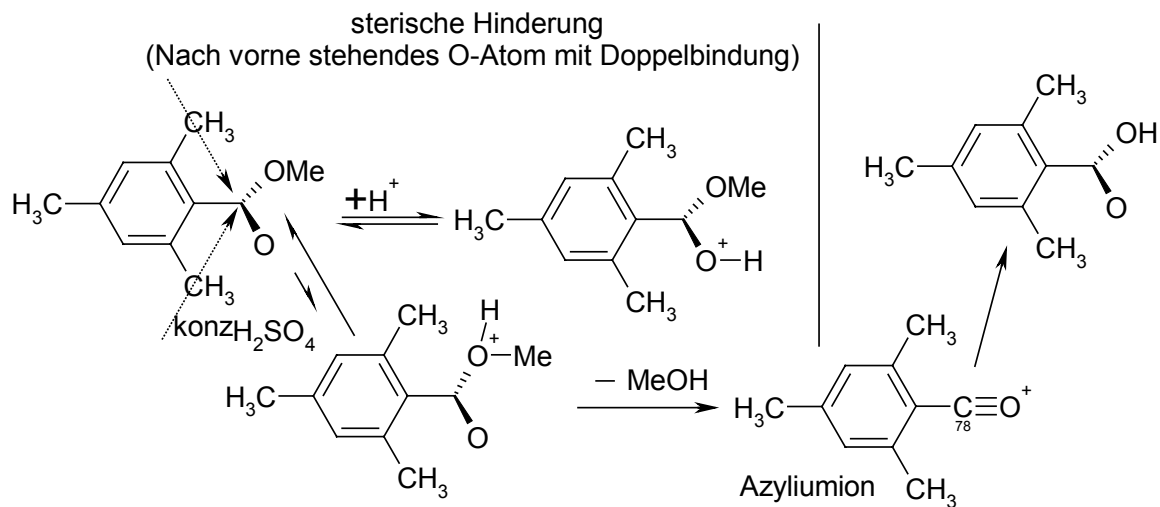


Beweis 2

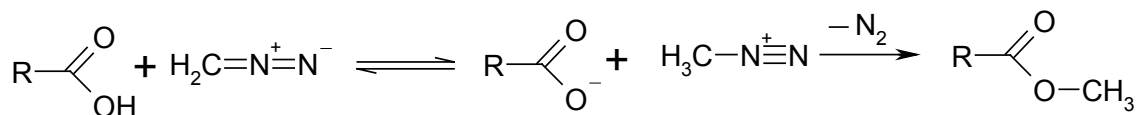


Ausnahmen:

Sterische Hinderung

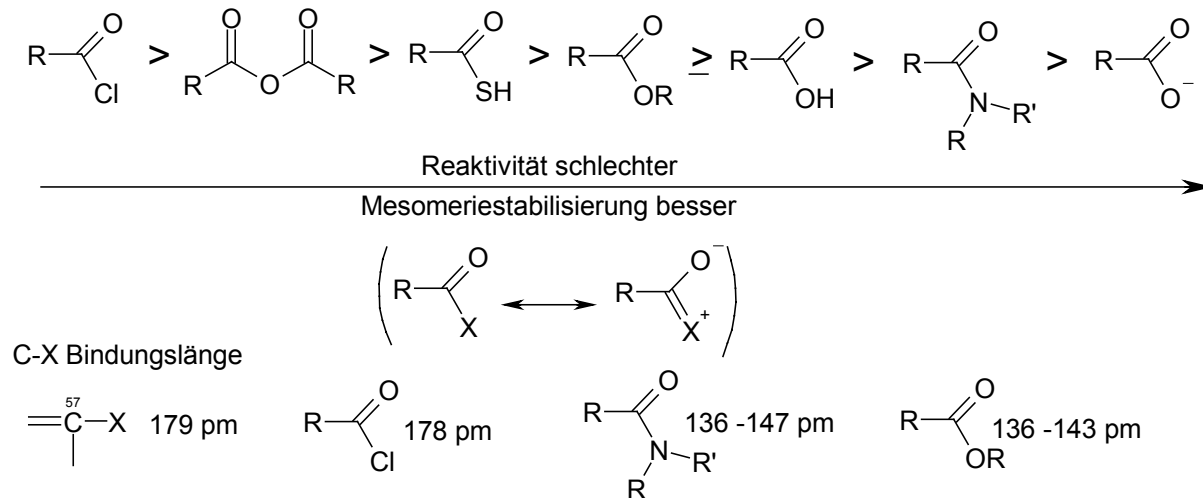


Diazoverbindungen



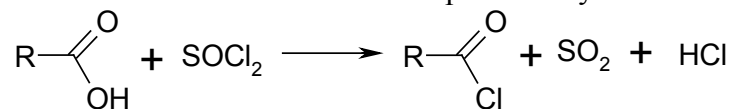
2.5 Carbonsäurederivate

2.5.1 Reaktivität

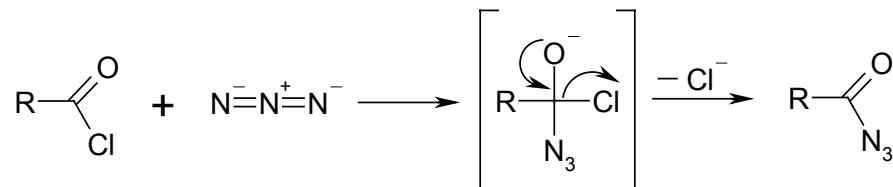


2.5.2 Carbonsäurehalogenide

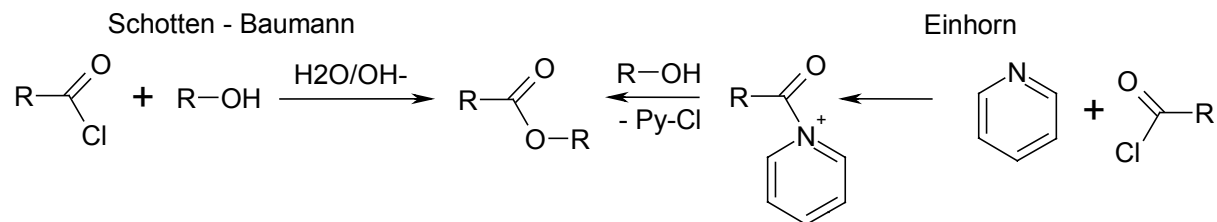
Die Reaktionen und Verfahren, welche Alkohole in Halogenide überführen, funktionieren auch bei Carbonsäuren. Zum Beispiel Thionylchlorid:



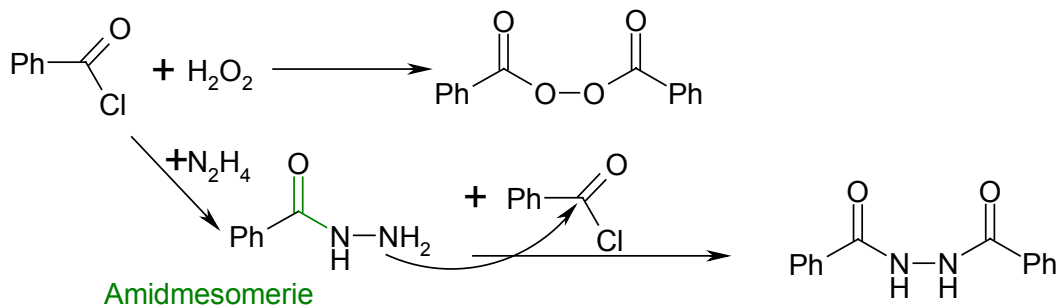
Weitere Reaktionen:



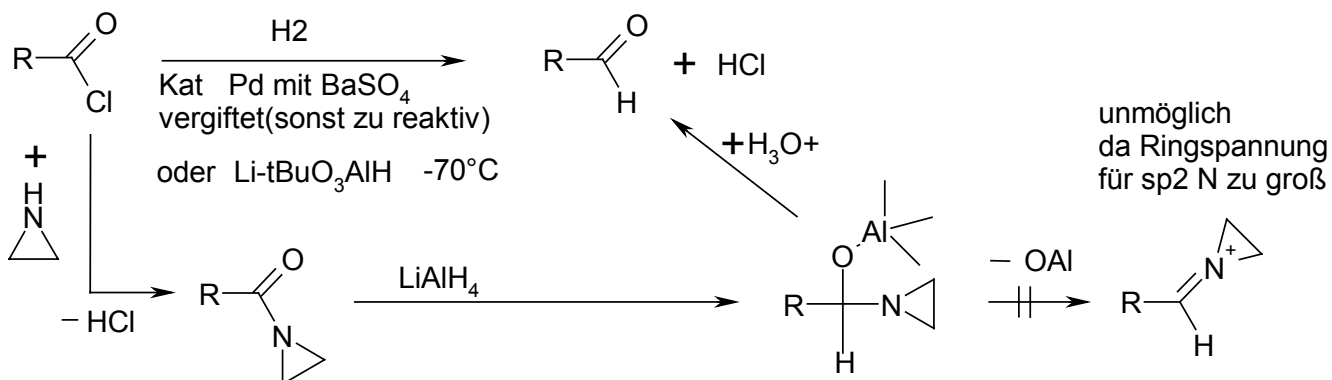
Schotten-Baumann-Reaktion und Einhorn-Reaktion



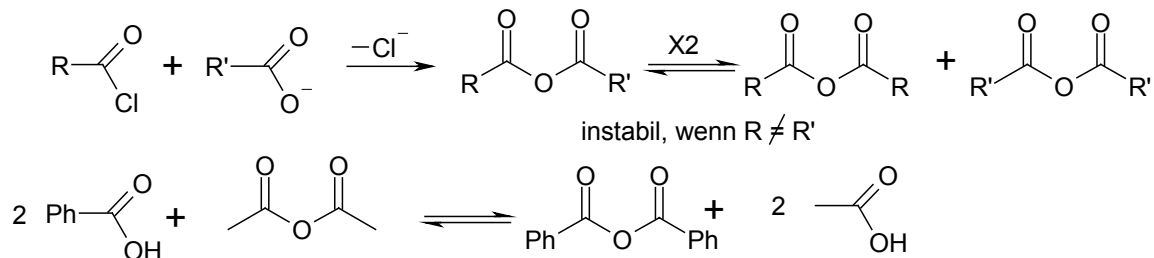
Reaktion mit H_2O_2 oder Hydrazin (α -Effekt)



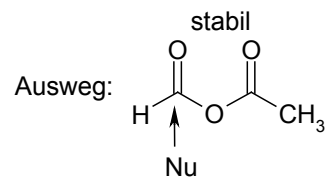
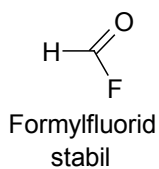
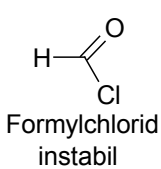
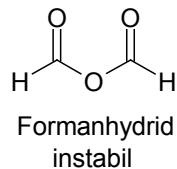
Rosenmund-Reaktion



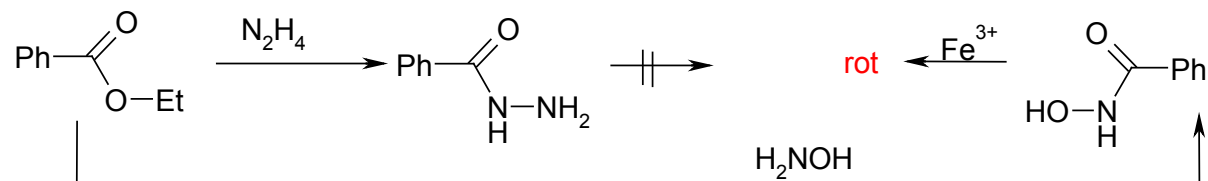
2.5.3 Carbonsäureanhydride



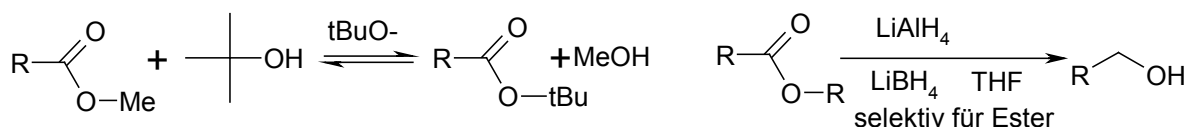
Ausnahmen:



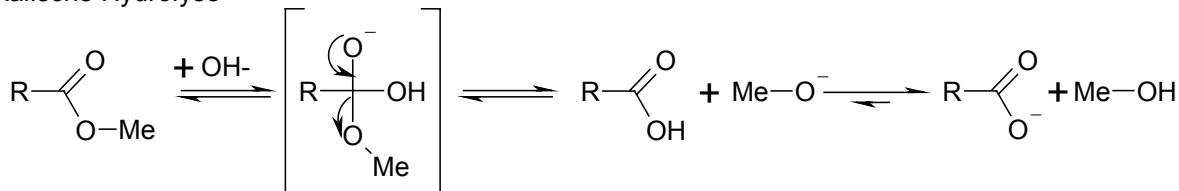
2.5.4 Carbonsäureester



Umestern



alkalische Hydrolyse



2.5.5 Carbonsäureamide

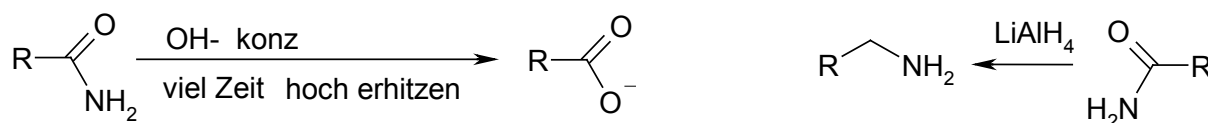
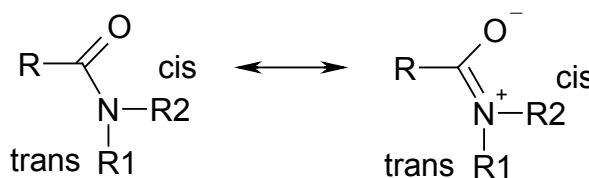
Amidmesomerie:

Rotationsbarriere um die

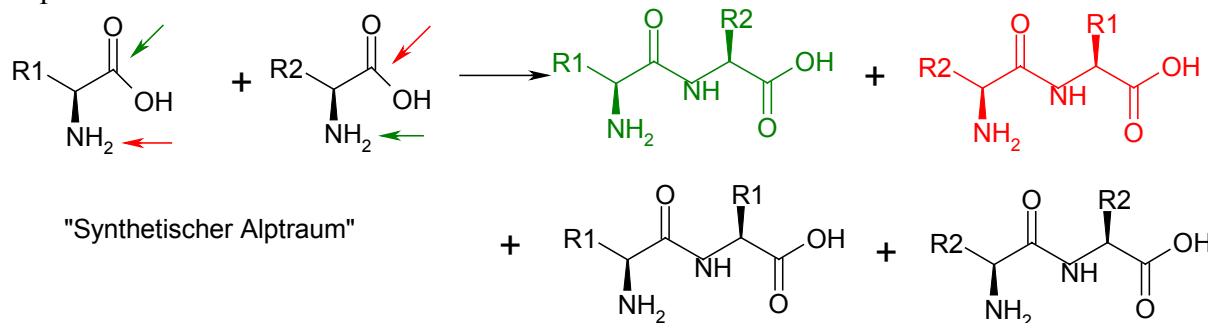
C-N Bindung ca. 22 kcal/mol

(C-C Einfachbindung ca. 5 kcal/mol)

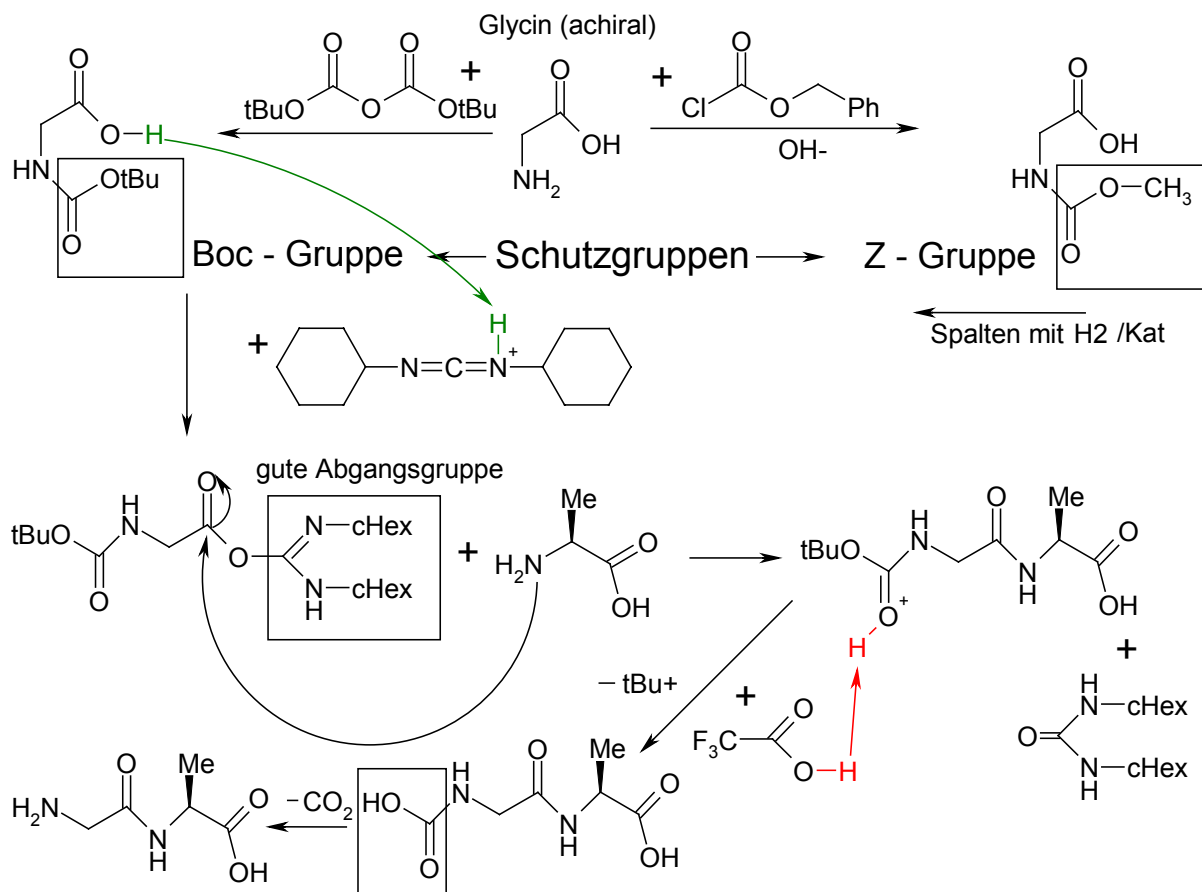
selbst wenn R1=R2 ist im NMR

 $\delta \text{R1} \neq \delta \text{R2}$ wegen cis/trans

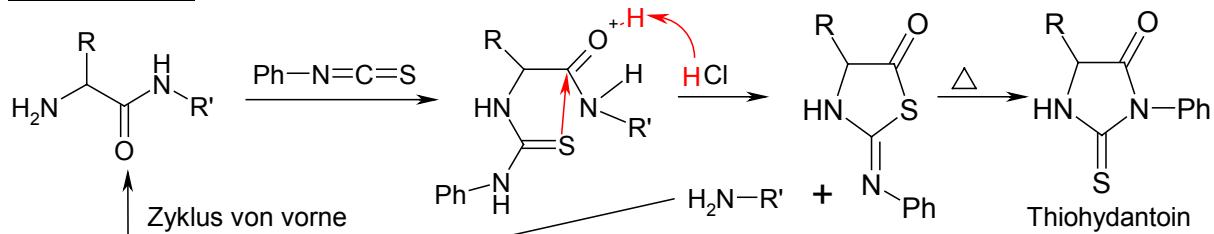
Peptide



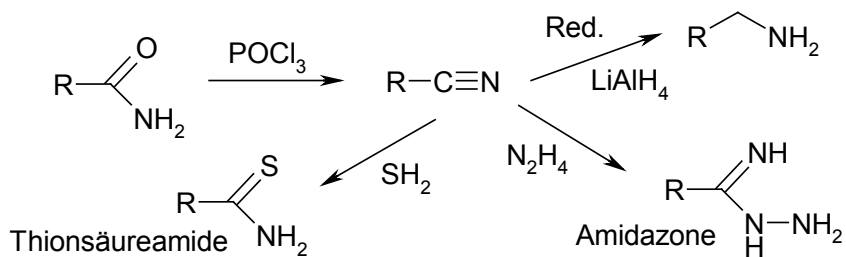
Ein Ausweg ist die Verwendung von Schutzgruppen.



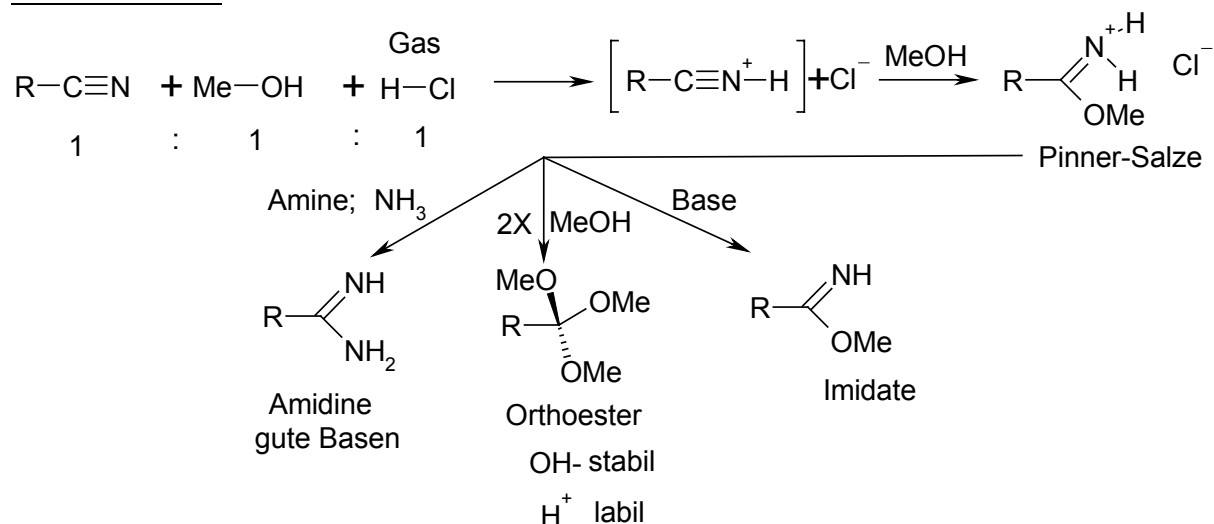
Edman-Abbau



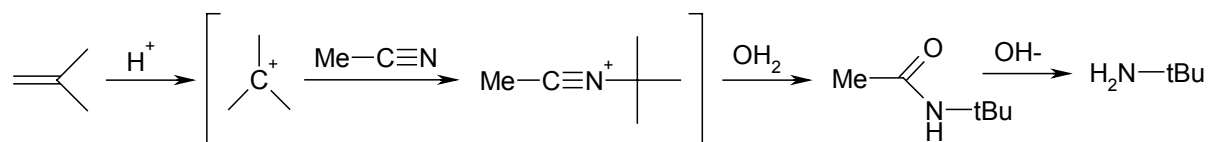
2.5.6 Nitrile



Pinner-Reaktion

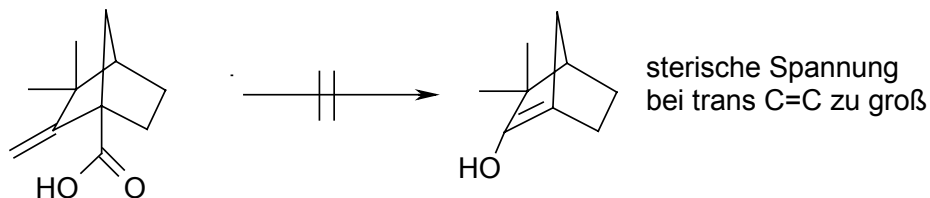
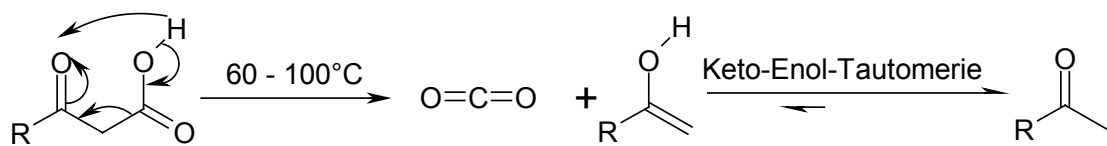
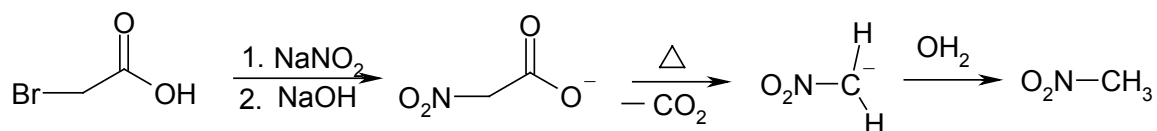
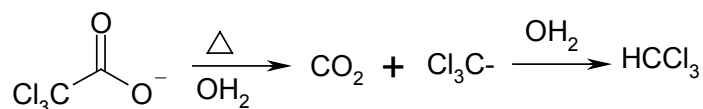


Ritter-Reaktion



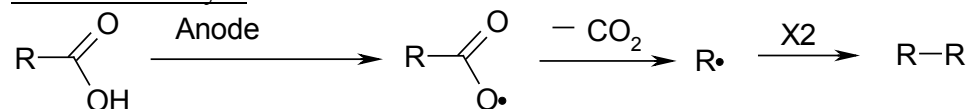
2.6 Abbaureaktionen

2.6.1 Thermische Decarboxylierung

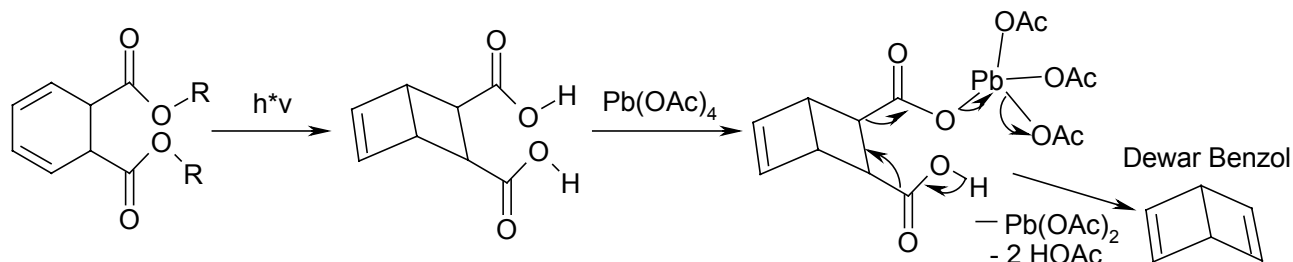


2.6.2 Elektrochemische Decarboxylierung

Kolbe-Elektrolyse



2.6.3 Oxidative Decarboxylierung

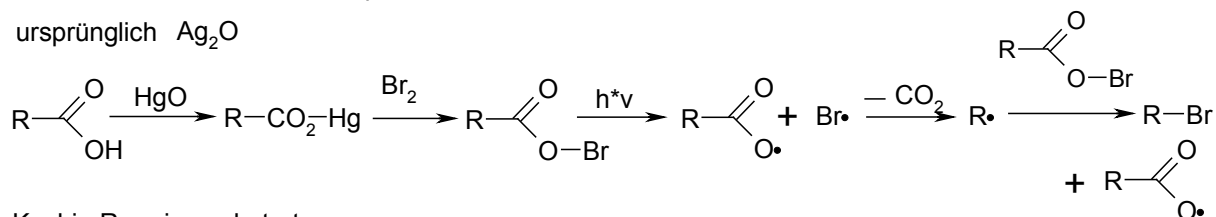


2.6.4 Abbau nach Hundsdicker

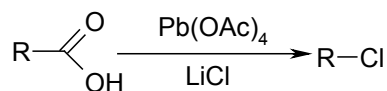
Hundsdicker-Reaktion und Kochi-Reaktion

Hundsdiecker -Reaktion R = prim, sek

ursprünglich Ag₂O

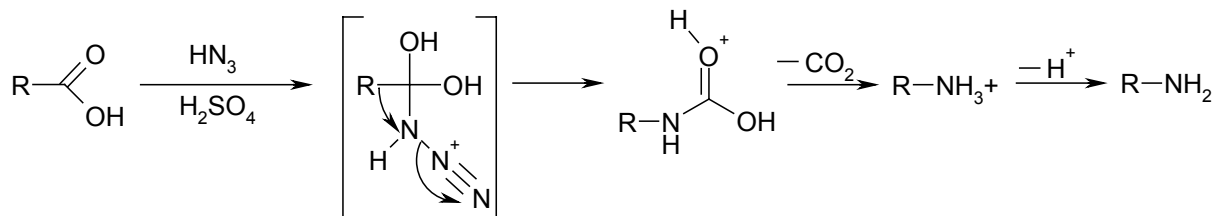


Kochi R= prim, sek, tert

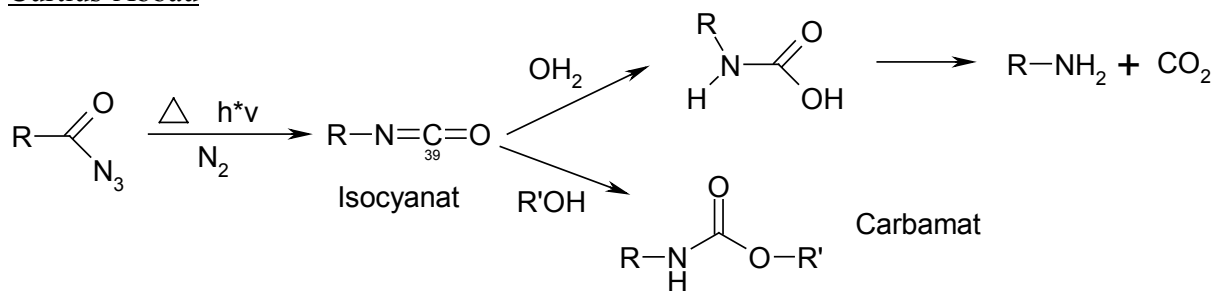


2.6.5 Schmidt, Curtis und Hoffmann-Abbau

Schmidt-Abbau

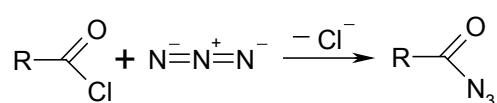


Curtius-Abbau

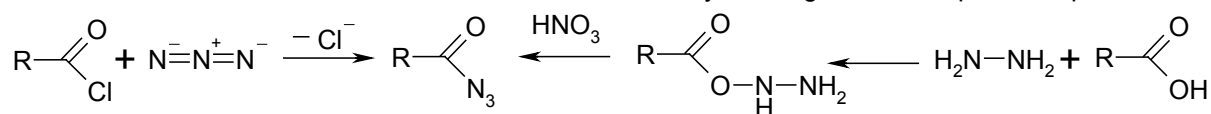


Herstellung der erforderlichen Carbonsäureazide:

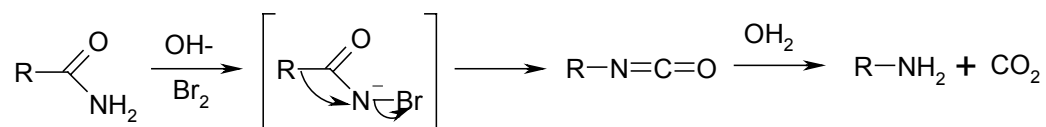
aus Säurechloriden



mit Hydrazin: gutes Nukleophil, da alpha-Effekt



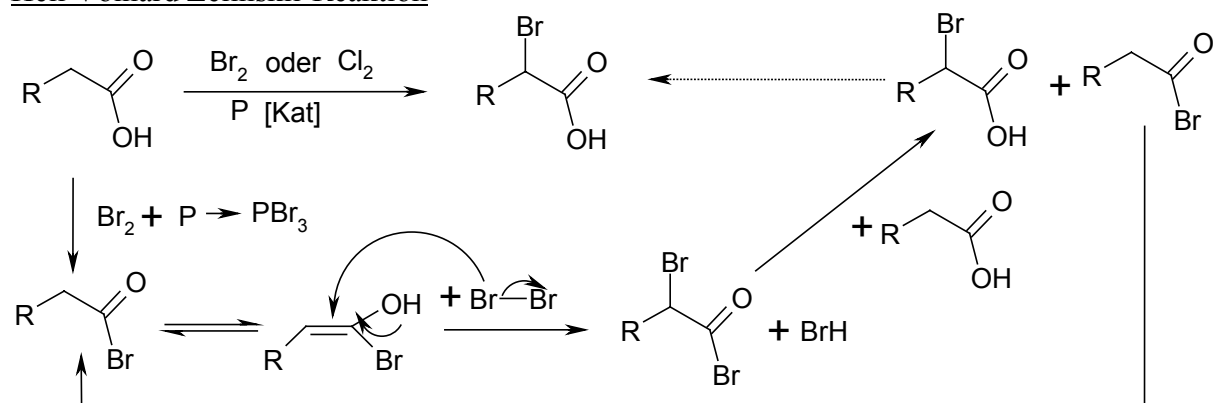
Hofman-Abbau



2.7 Reaktionen der Seitenkette

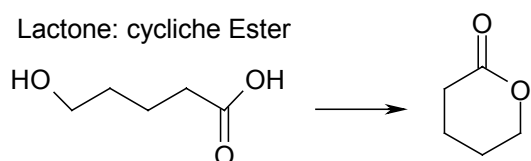
2.7.1 Hell Volhard Zelinskii

Hell Volhard Zelinskii-Reaktion

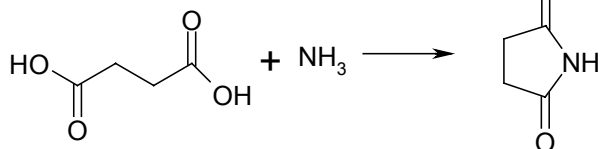


2.8 Zusatz

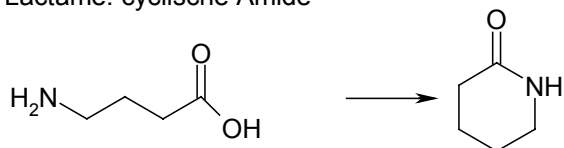
Lactone: cyclische Ester



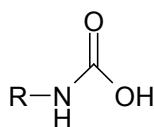
Imide: cyclisches "Azo" Anhydrid



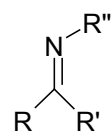
Lactame: cyclische Amide



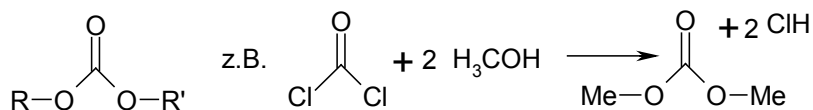
Carbamidsäure



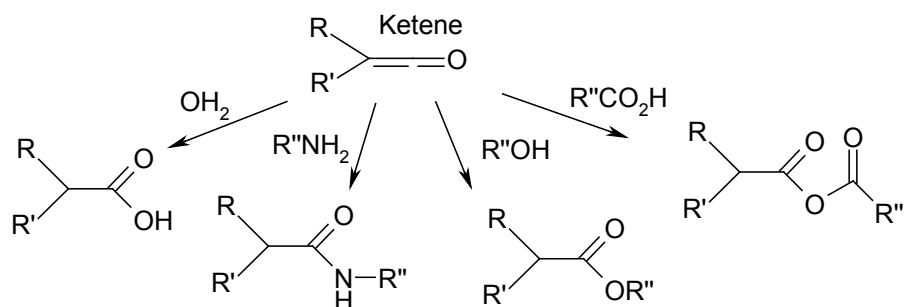
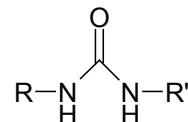
Imine

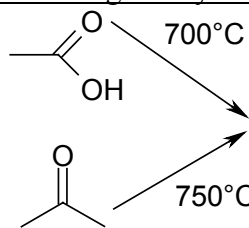


Dialkylcarbonate

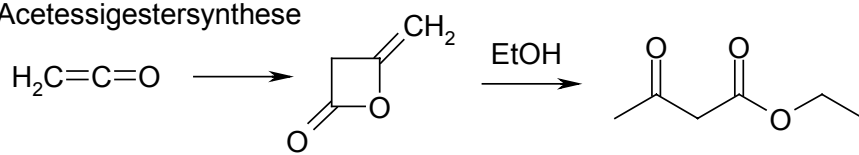


Harnstoffderivate



Acetessigestersynthese

Acetessigestersynthese

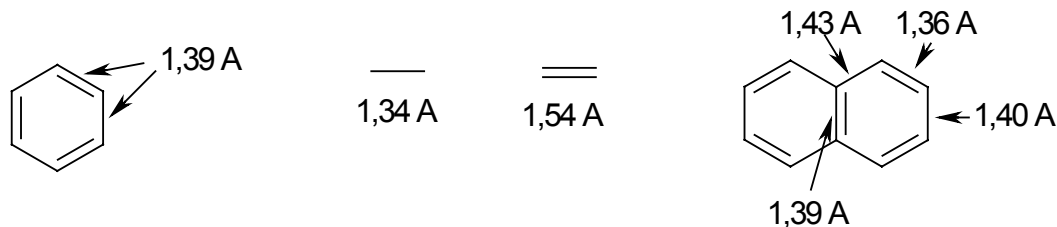


3 Aromatische Substitution

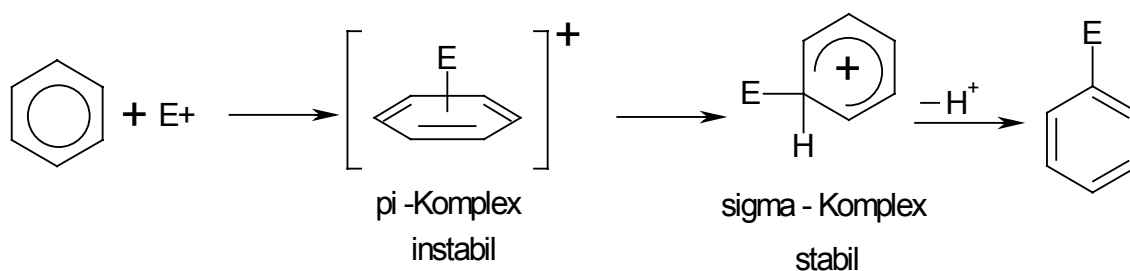
3.1 S_EAr: Mechanismus

3.1.1 σ und π Komplexe

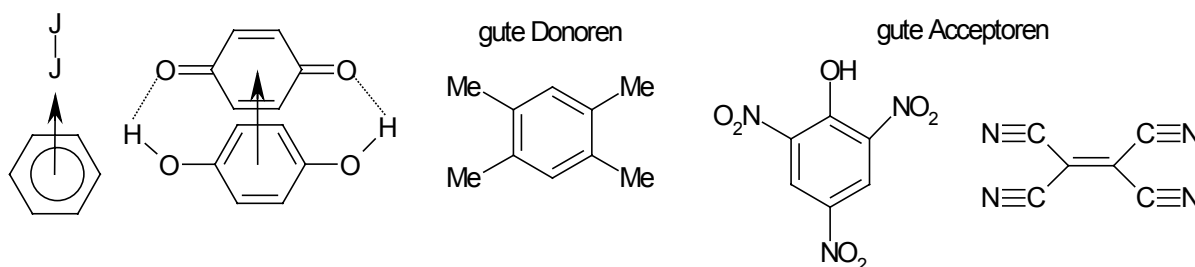
Aromaten:



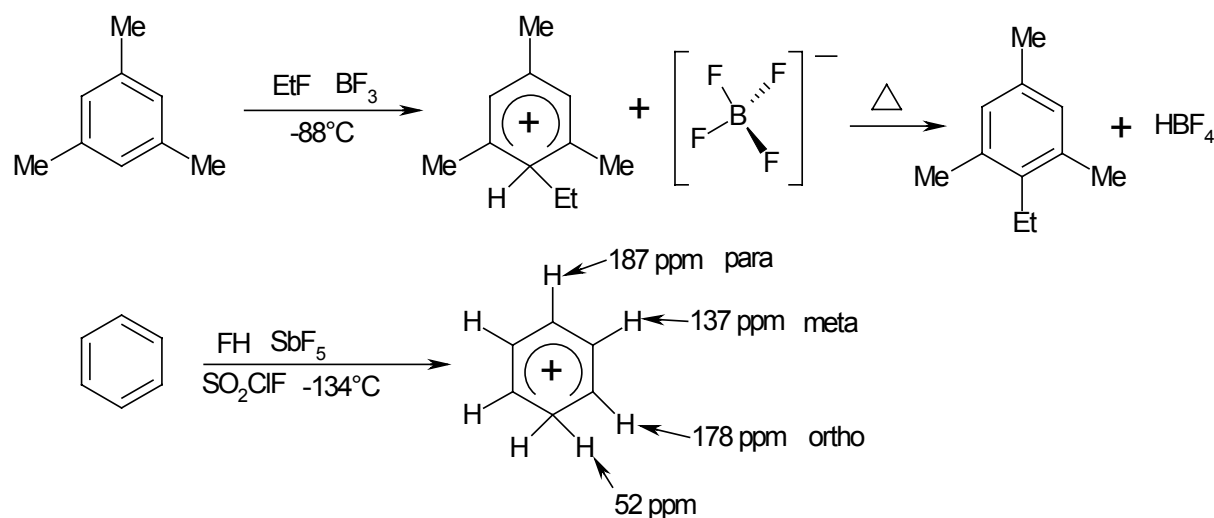
Allgemeiner Mechanismus



Charge-Transfer π Komplexe



Isolierung von σ -Komplexen



3.1.2 Stabilität des σ und π Komplexes:

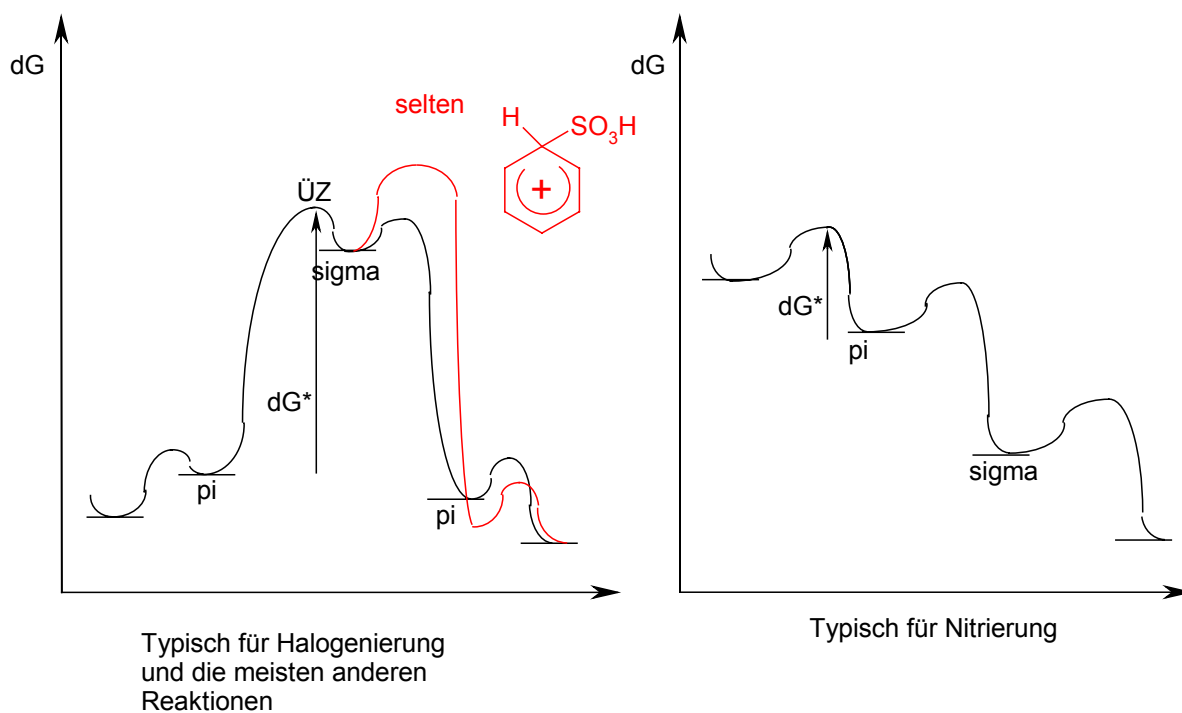


Bestimmung über
UV-Spektrum

Bestimmung über
Leitfähigkeit

π Komplex	σ -Komplex	Lösemittel	k(rel) in HOAc Br_2	k(rel) Sulfolan $\text{NO}_2^+ \text{BF}_4^-$
1	1	Benzol	1	1
1,5	790	Toluol	605	1,7
1,8	7900	o-Xylol	5300	1,8
2,0	1'000'000	m-Xylol	514'000	1,7

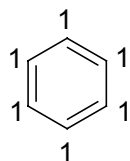
Energieprofile:



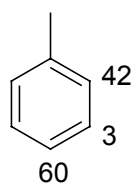
3.1.3 Partielle RG-Konstanten

Aussagen über Konkurrenzreaktionen und Produktverhältnisse

$\text{HNO}_3 / \text{HOAc}$

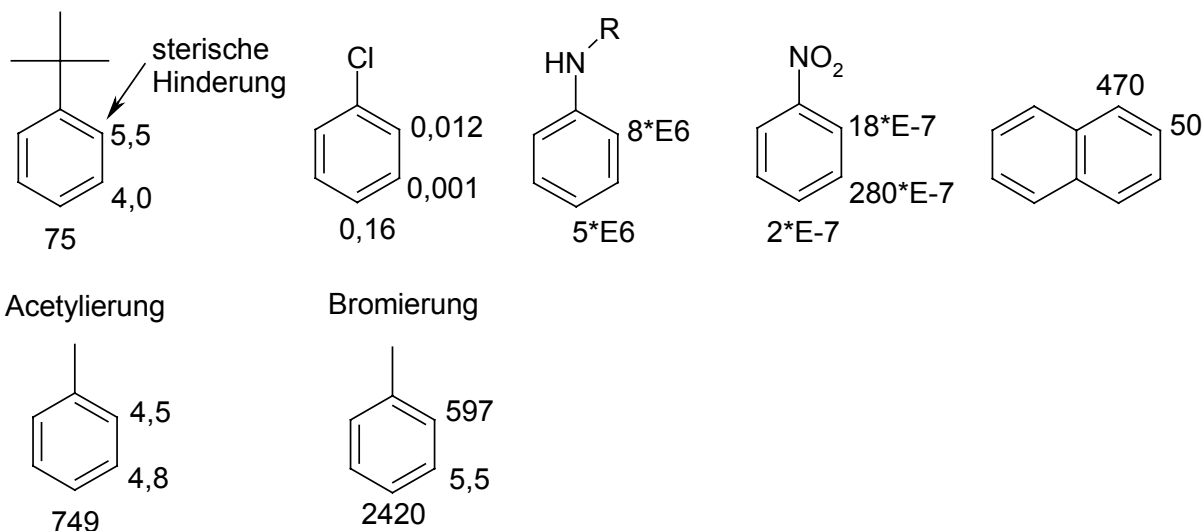


definitionsgemäß

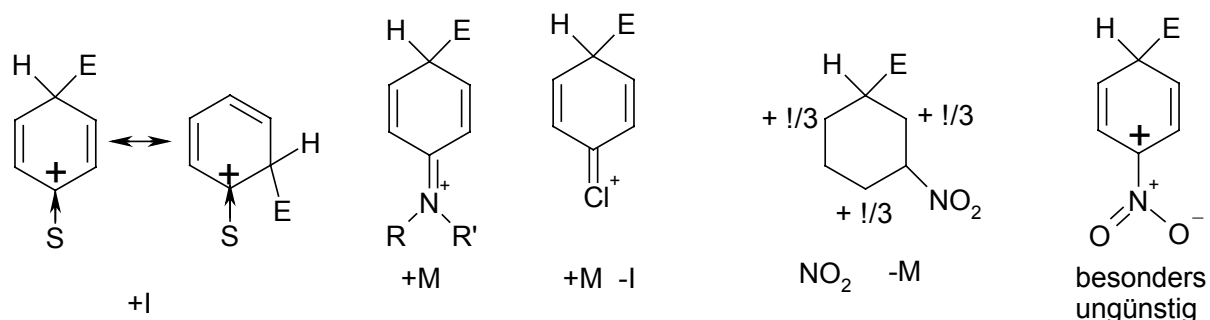


$$\frac{k(\text{Toluol})}{k(\text{Benzol})} = \frac{42 \cdot X_2 + 3X_3 + 60}{6X_1} = \frac{150}{6} = 25$$

$$o : m : p = 42X_2 : 2X_3 : 60 = 56\% : 4\% : 40\%$$



o, p Lenkung: +I +M Substituenten m Lenkung: -M Substituenten (-I)



3.2 Elektrophiler Stickstoff

3.2.1 Nitrierung

Nitrierungsmittel

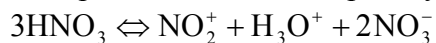
1. Nitriersäure: $\text{HNO}_3 : \text{H}_2\text{SO}_4 = 1 : 2$



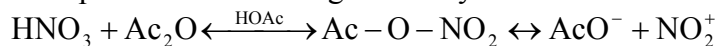
Van't Hoff'scher Faktor (Zahl der entstehenden Ionen) = 4

Nitroniumkation Nitrylkation NO_2^+ $\text{O}=\overset{+}{\text{N}}=\text{O}$

2. Salpetersäure über Autoprotolyse

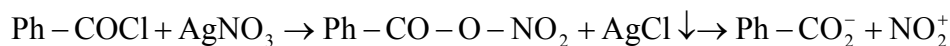


3. Salpetersäure und Essigsäureanhydrid

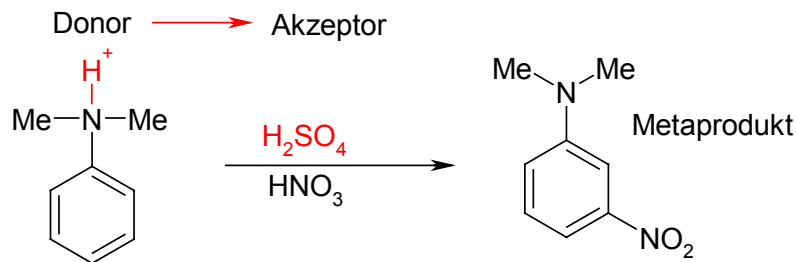


4. Nitrylterafluorborat: $\text{NO}_2^+\text{BF}_4^-$ (Salz)

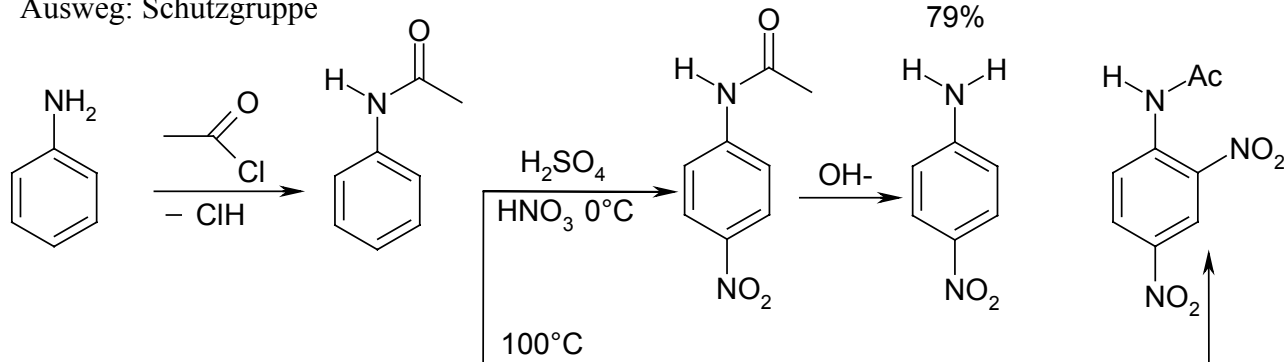
5. Carbonsäurechloride



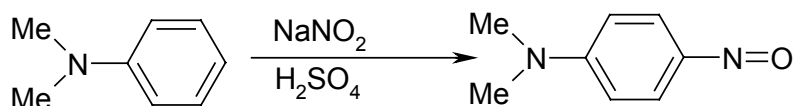
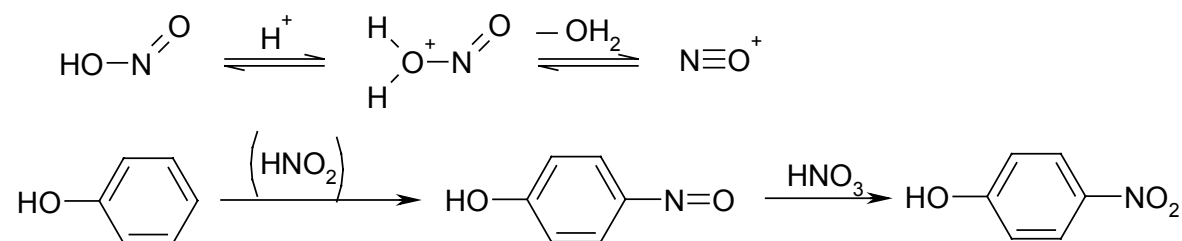
Probleme mit Nitriersäure:



Ausweg: Schutzgruppe



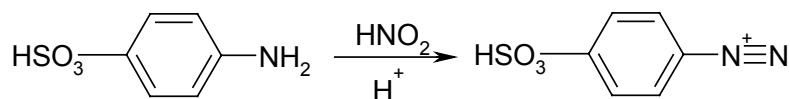
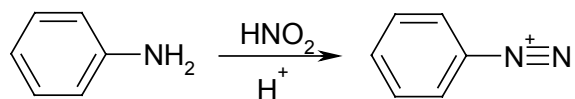
3.2.2 Nitrosierung



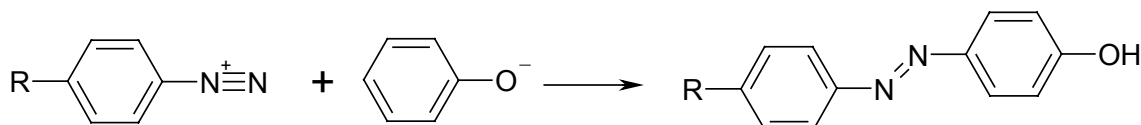
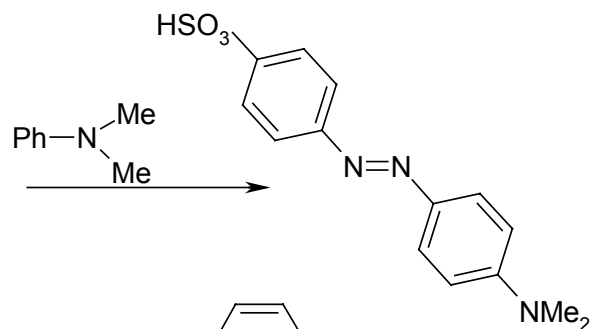
$\text{N} \equiv \text{O}^+$ Nitrosylkation weniger reaktiv

3.2.3 Azokupplung

R	NO_2	SO_3^-	H	CH_3	OCH_3
K(rel)	1360	13	1	0,4	0,1

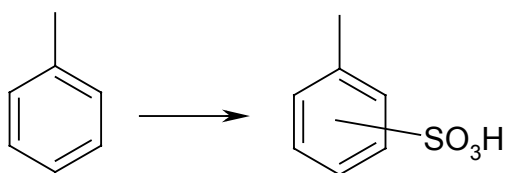
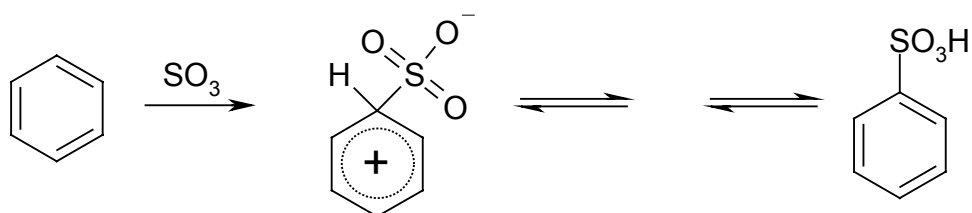
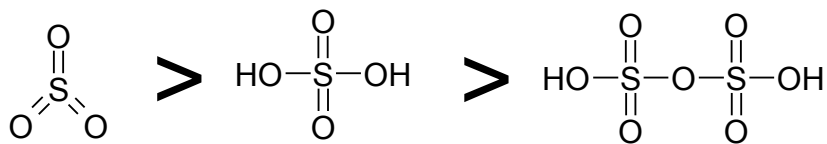


Sulfanilsäure

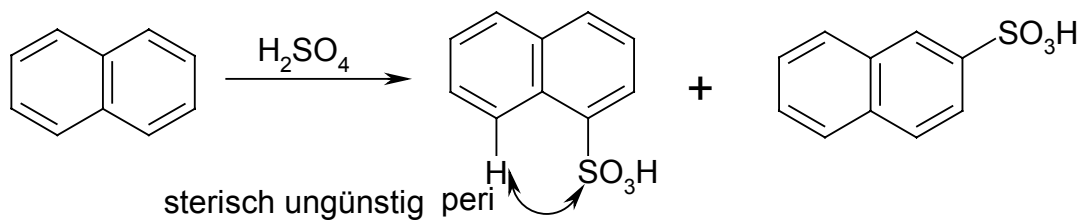


3.3 Elektrophiler Schwefel

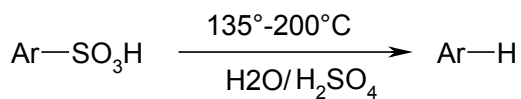
3.3.1 Sulfonierung



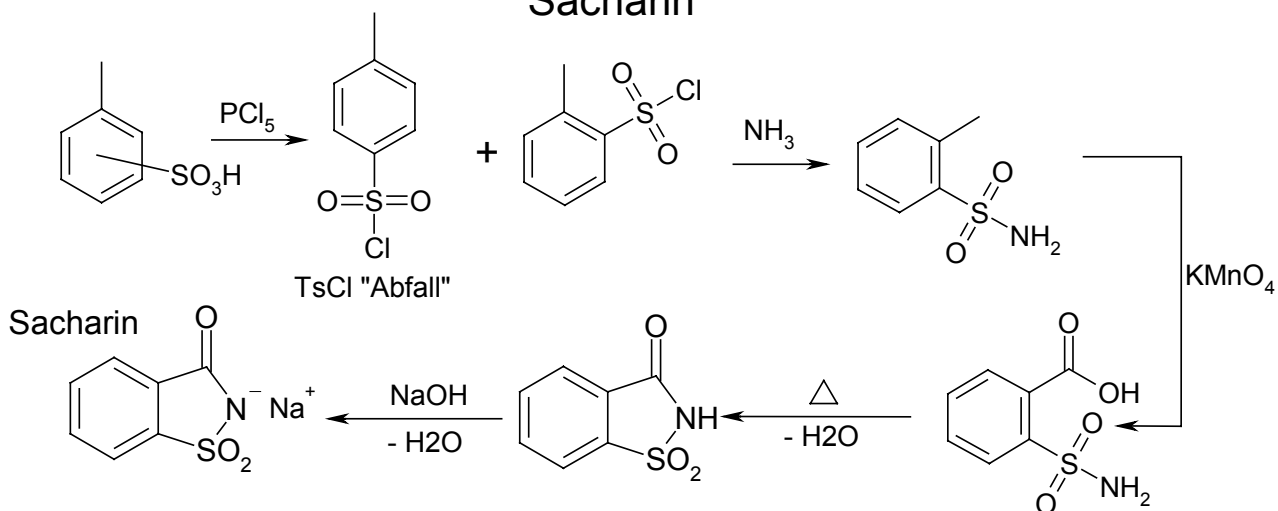
	o	m	p
0°C	43	4	53
100°C			>=90



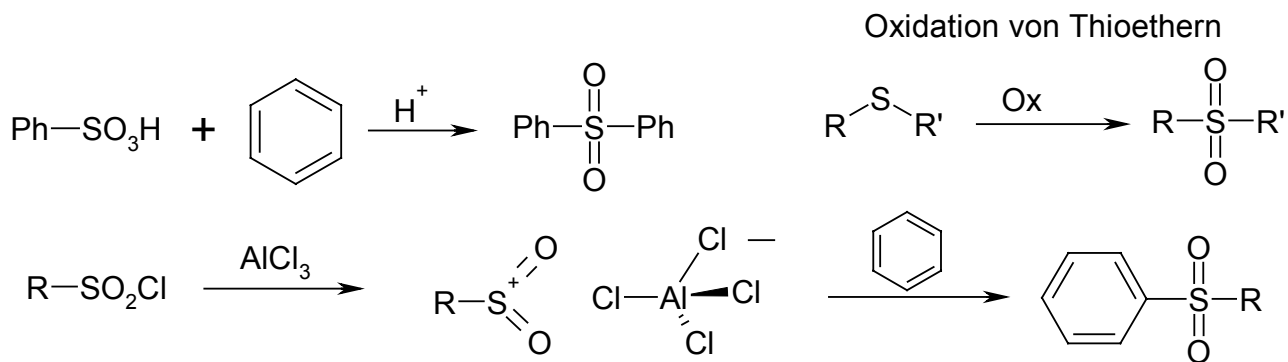
kinetische Kontrolle 80°C	96%	4%
thermodynamische Kontrolle 165°C	15%	85%



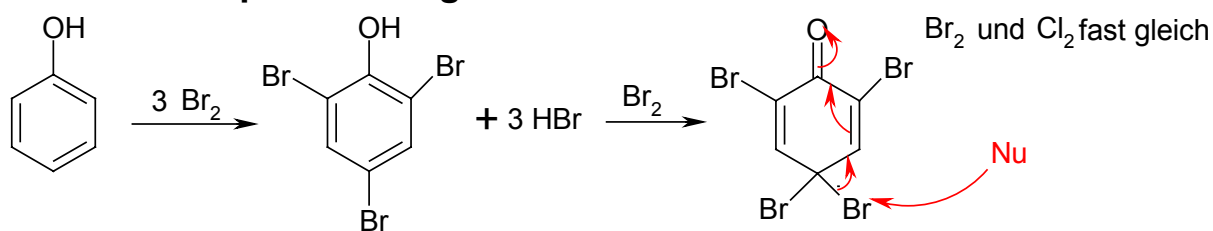
Sacharin



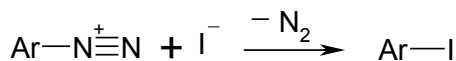
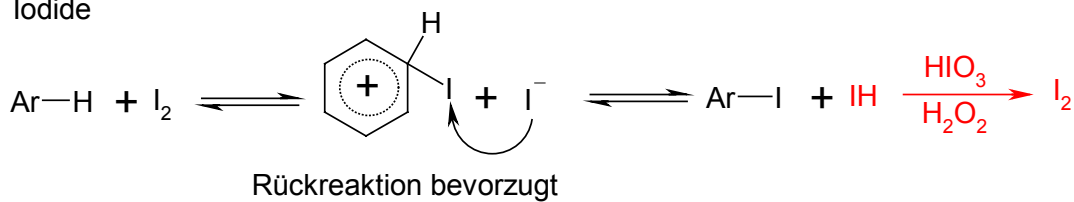
3.3.2 Sulfonylierung



3.4 elektrophiles Halogen

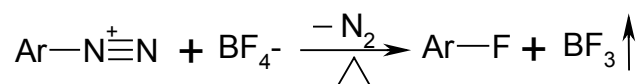


Iodide

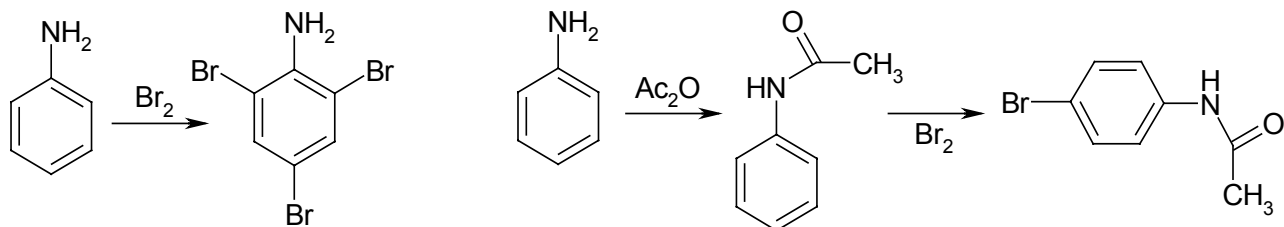


Schiemann-Reaktion

Wird wasserfrei durchgeführt



Schutzgruppen



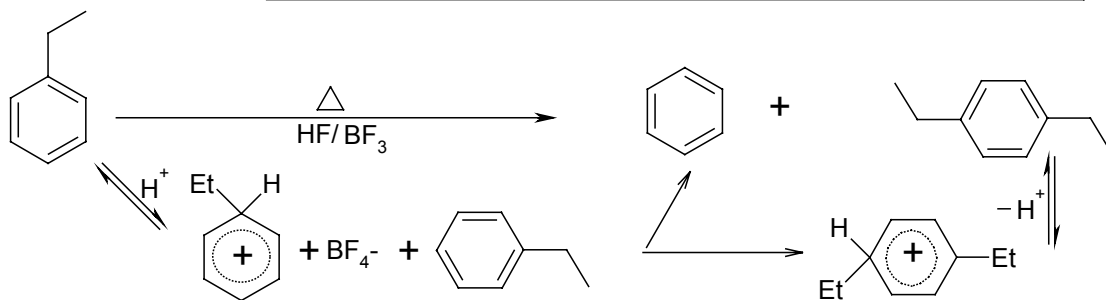
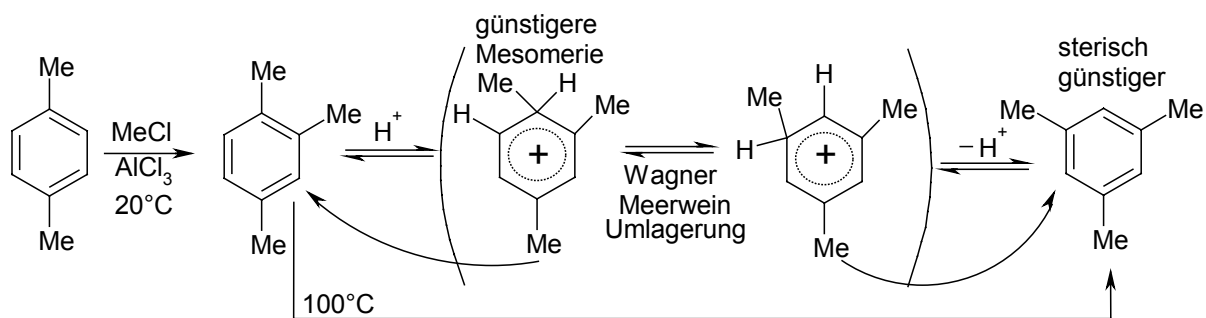
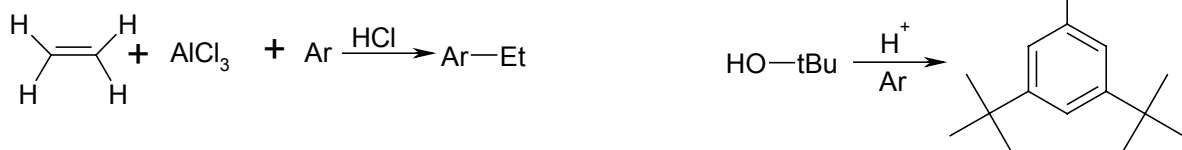
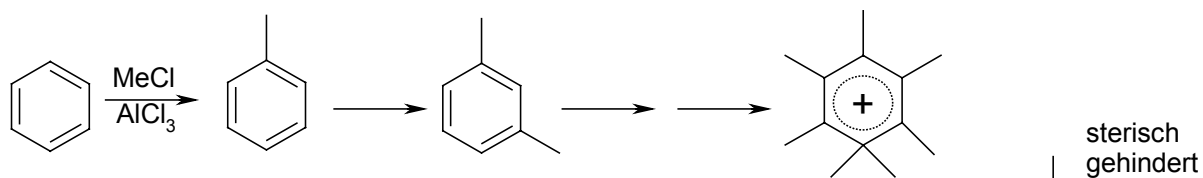
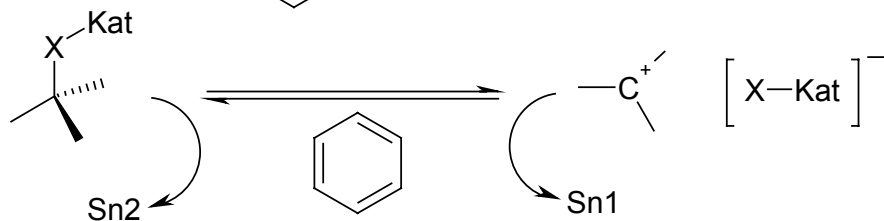
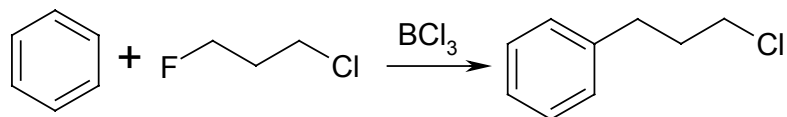
Katalysatoren: AlCl_3 (scharf) $\text{Fe} \xrightarrow{\text{X}_2} \text{FeX}_3^{\text{III}}$ mild

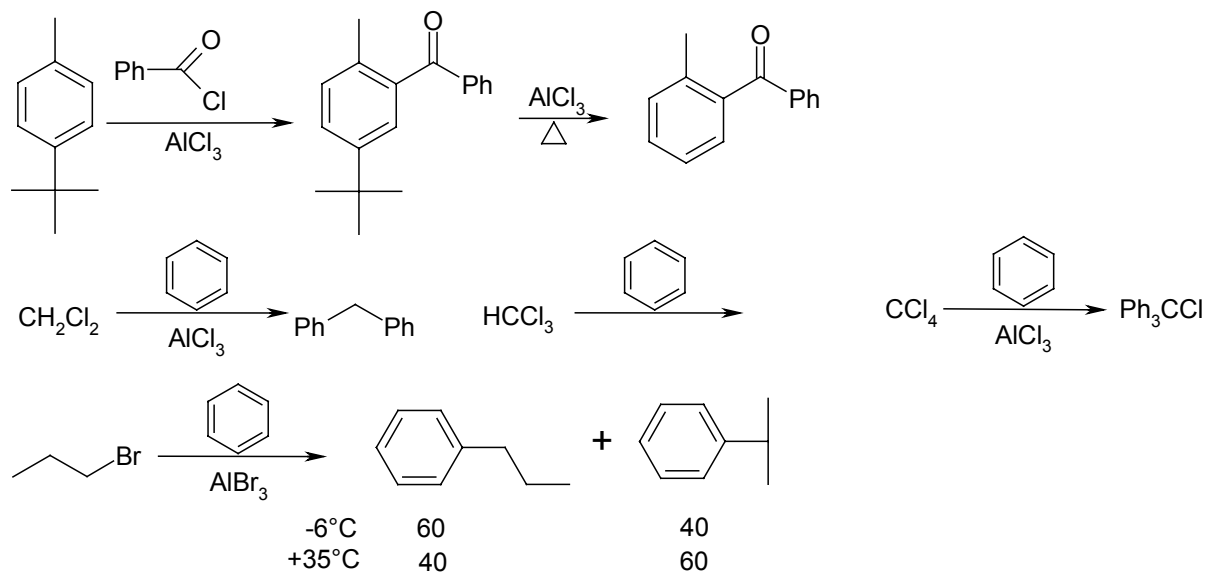
3.5 elektrophiler Kohlenstoff

3.5.1 Friedel-Crafts-Alkylierung

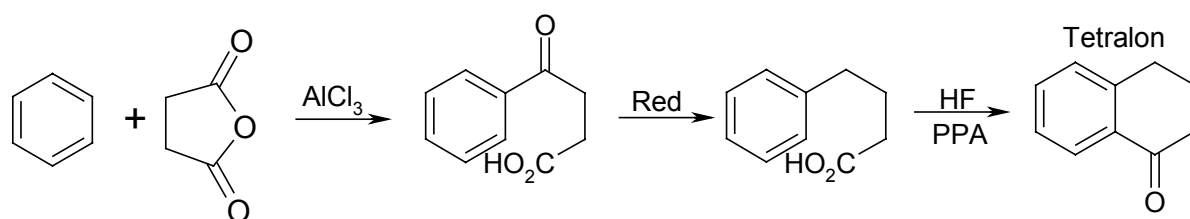
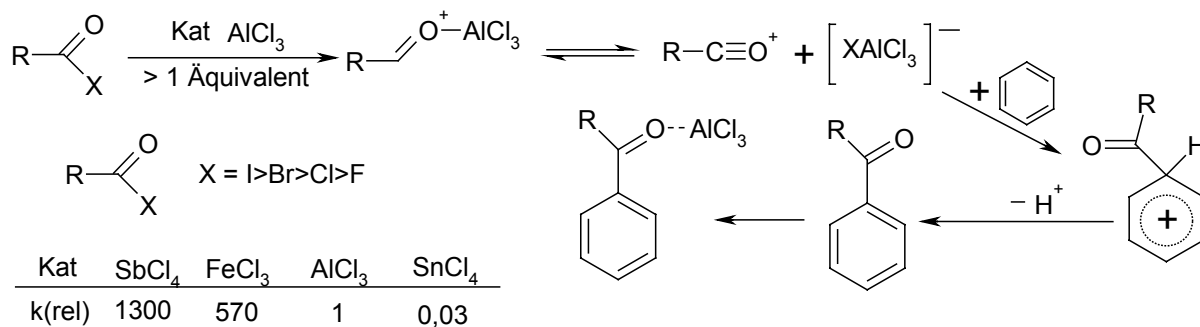
Katalysatoren: $\text{AlBr}_3 > \text{AlCl}_3 > \text{FeCl}_3 > \text{SnCl}_4 > \text{BF}_3 > \text{TiCl}_4 > \text{ZnCl}_2$

Kat = BCl_3 : $\text{R}-\text{F} > \text{R}-\text{Cl} > \text{R}-\text{Br} > \text{R}-\text{I}$

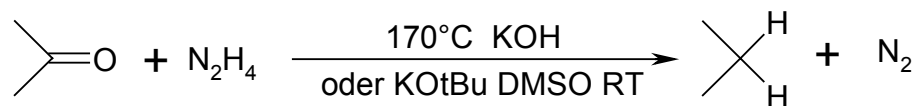




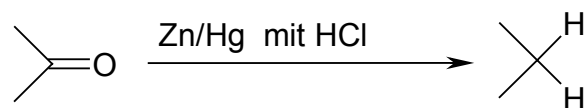
3.5.2 Friedel-Crafts-Acylierung



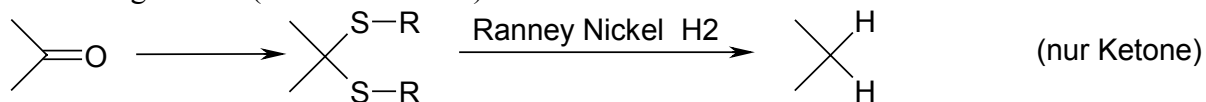
3.5.3 Wolff-Kishner-Reduktion



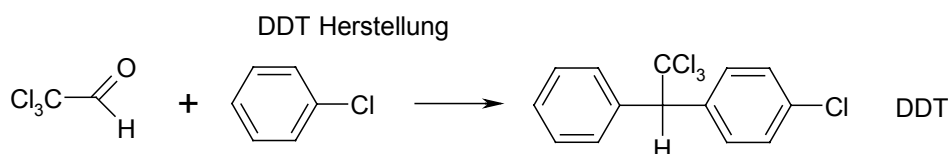
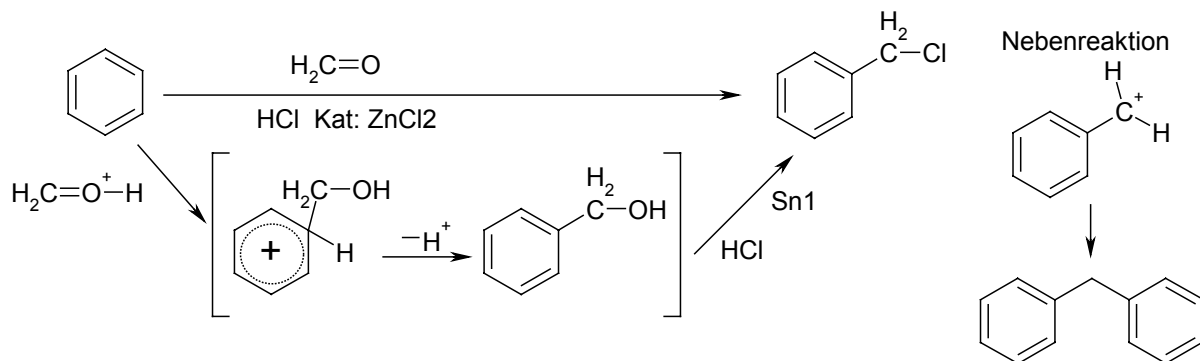
3.5.4 Clemmensen-Reduktion



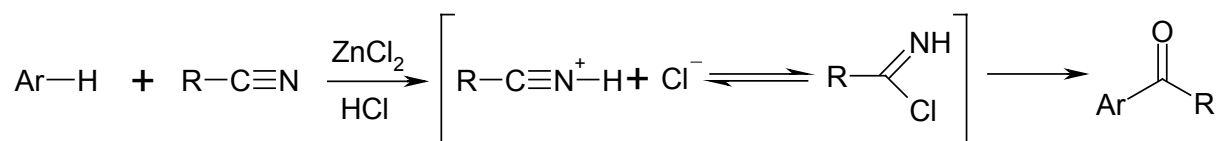
weiter Möglichkeit (ohne Nahmen !?)



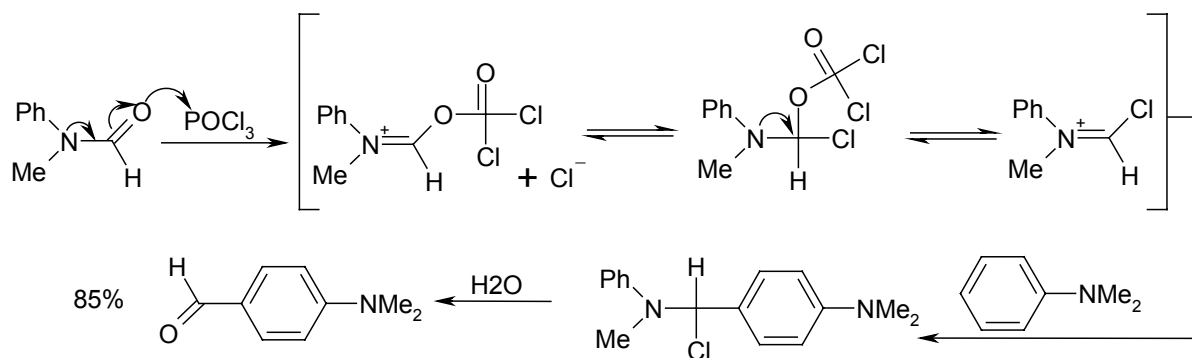
3.5.5 Chlormethylierung



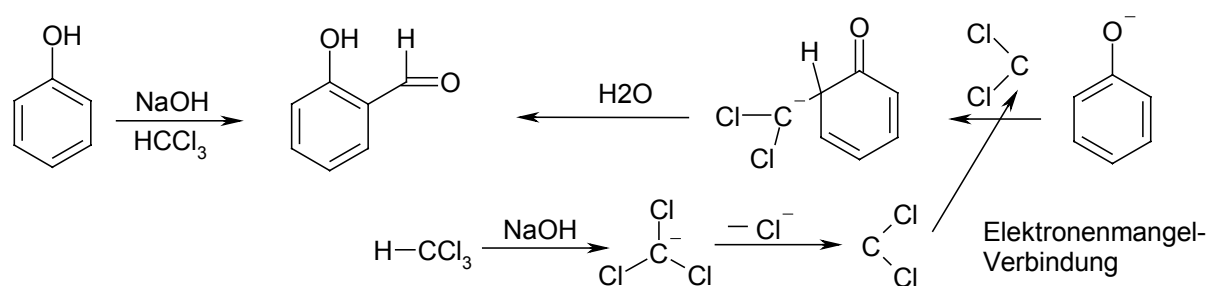
3.5.6 Gattermann-Hoesch-Reaktion



3.5.7 Vilsmeier-Haack-Reaktion

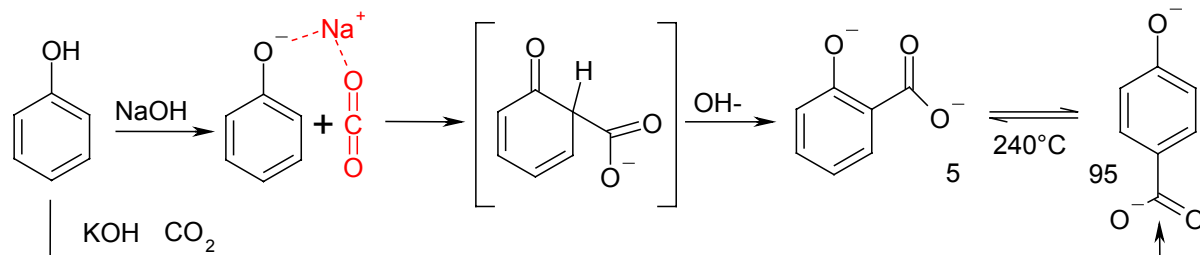


3.5.8 Reimer-Tiemann-Reaktion

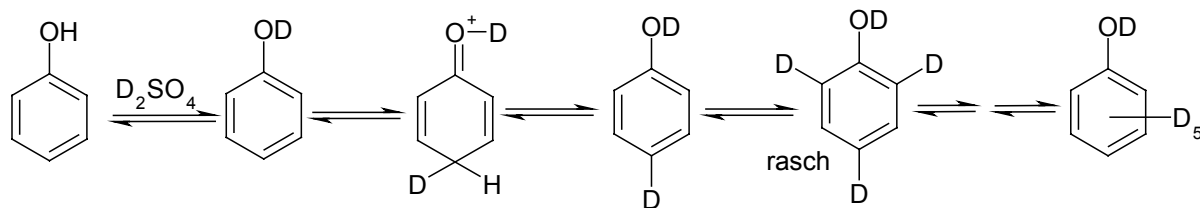


3.5.9 Kolbe-Schmitt-Reaktion

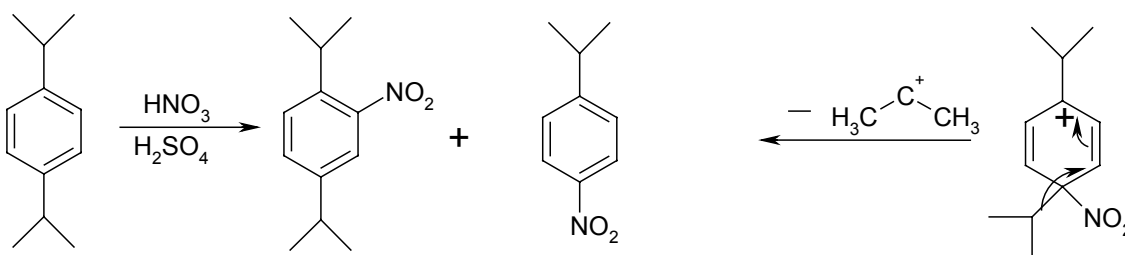
Synthese aromatischer Carbonsäuren, geht nur mit Phenolat-anion



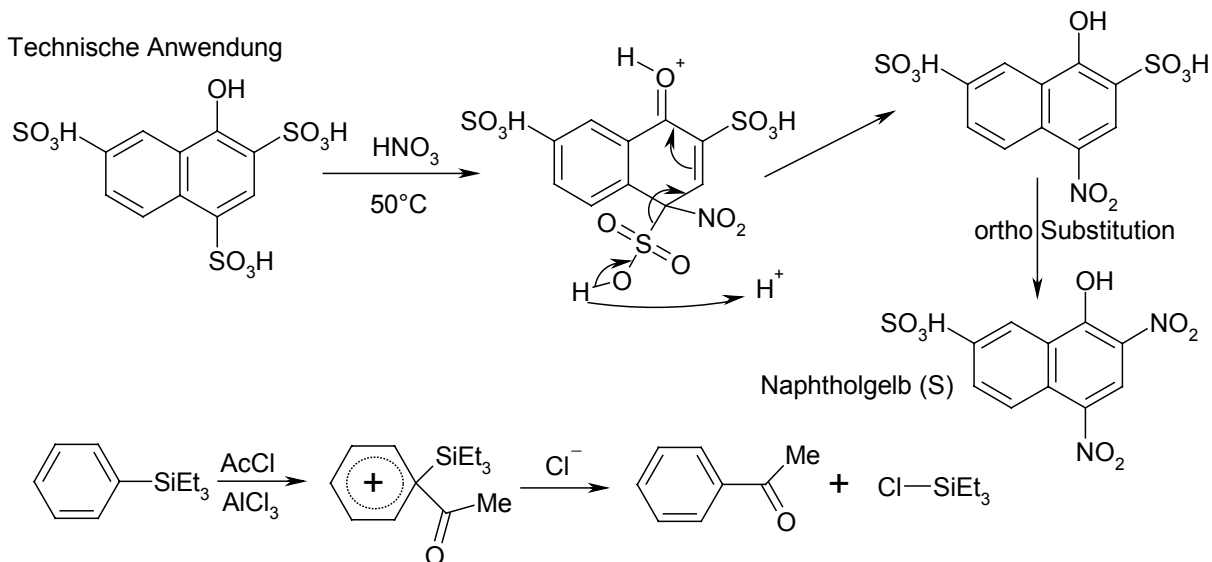
3.5.10 Deuterierung



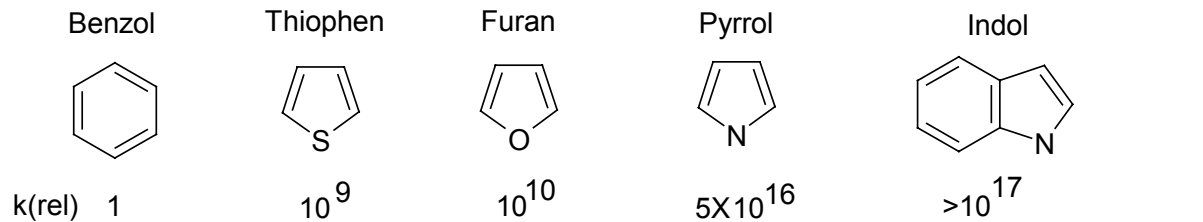
3.5.11 Ipso-Substitution



Technische Anwendung

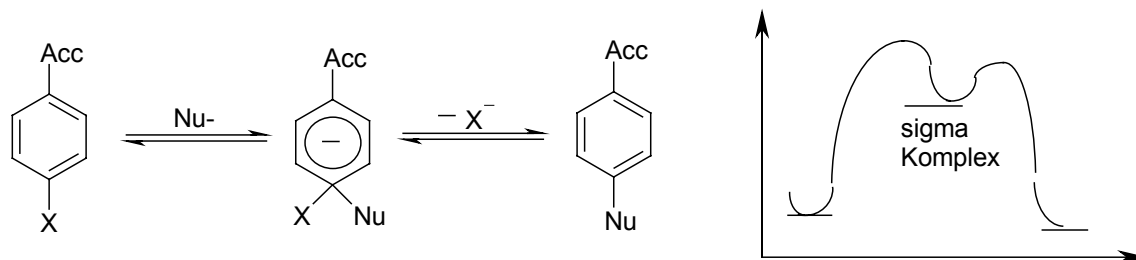


3.6 Reaktivität von Heteroaromaten

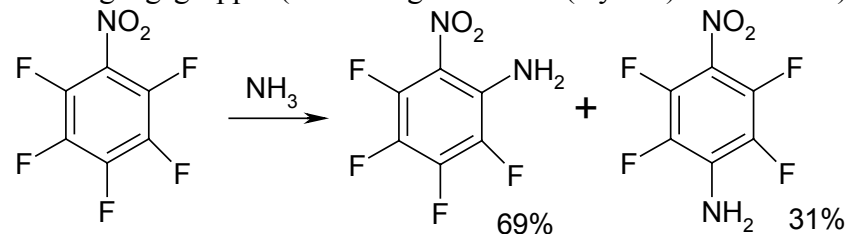


3.7 S_NAr: Additions-Eliminierungsmechanismus

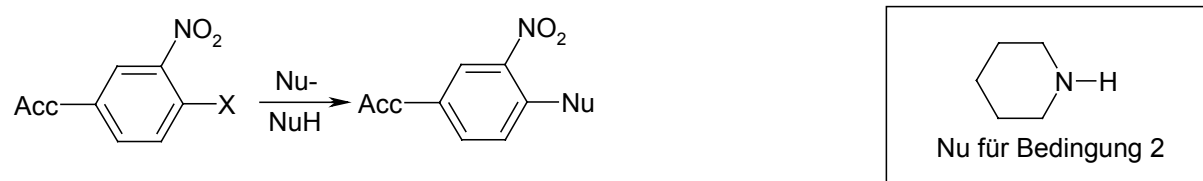
3.7.1 Additions-Eliminierungsmechanismus



X= Abgangsgruppe (in der Regel nicht H⁻ (Hydrid) Wasserstoff)



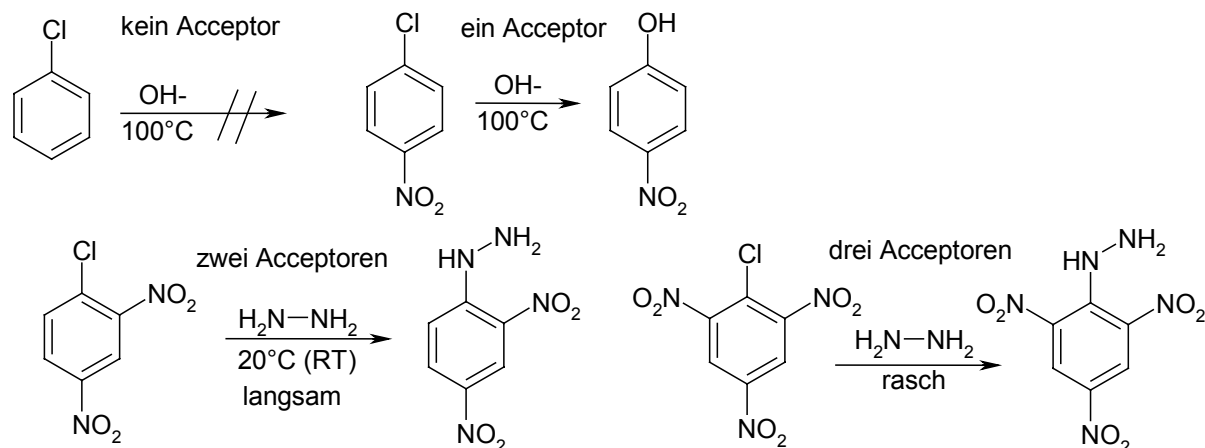
3.7.2 Die aktivierende Gruppe



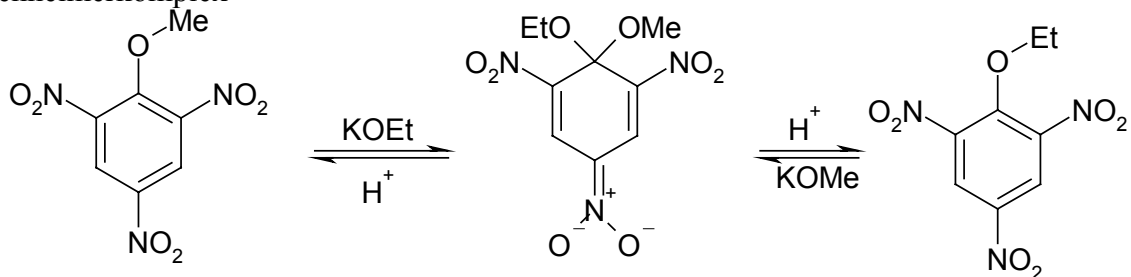
Acc	N ₂ ⁺	NO	NO ₂	C≡N	Cl	H	Me	MeO	NH ₂
k(rel)	$3,8 \cdot 10^8$	$5 \cdot 10^5$	$6 \cdot 10^5$	$4 \cdot 10^{-4}$	15	1	0,15	0,018	$1,2 \cdot 10^{-4}$
Bedingung	1	1	1	1	1	1	2	2	2

Bedingung 1: X= Cl Nu⁻=MeO⁻

Bedingung 2: X=Br Nu= siehe oben



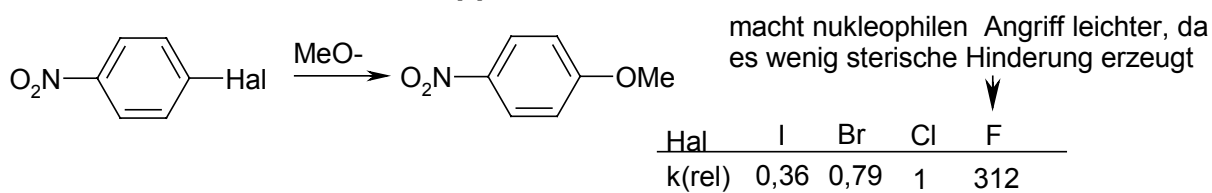
Meisenheimerkomplex



3.7.3 Die eintretende Gruppe

RG besser je besser das Nucleophil; Zeigt Sn2 Lösemittelleffekte (dipolar-aprotische gut)

3.7.4 Die austretende Gruppe

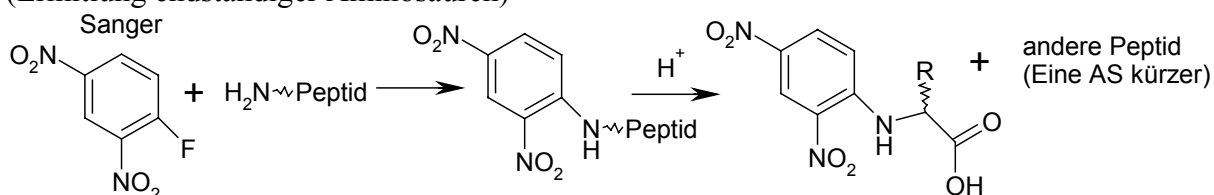


(Fluor ist aber eigentlich sonst eine schlecht Abgangsgruppe)

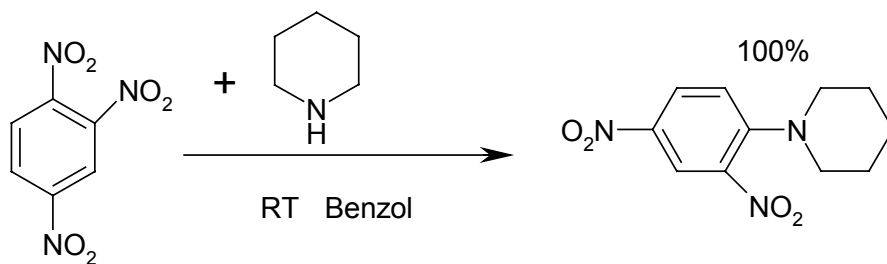
$\text{F} \gg \text{NO}_2^- > \text{OTs} > \text{Hal} \approx \text{SO}_3\text{H} > \text{N}_3 > \text{OR}$

3.7.5 Sanger-Reagenz

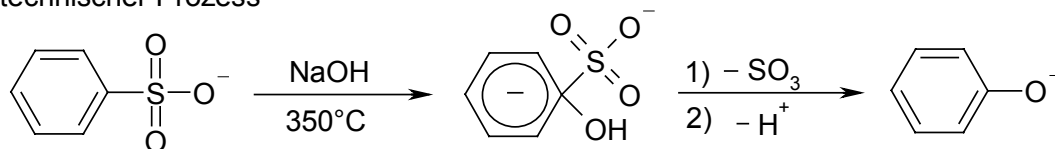
(Ermittlung endständiger Aminosäuren)



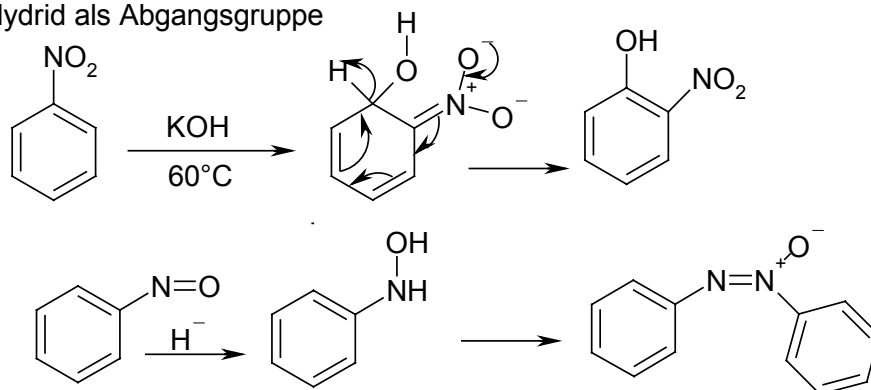
3.7.6 weitere Reaktionen:



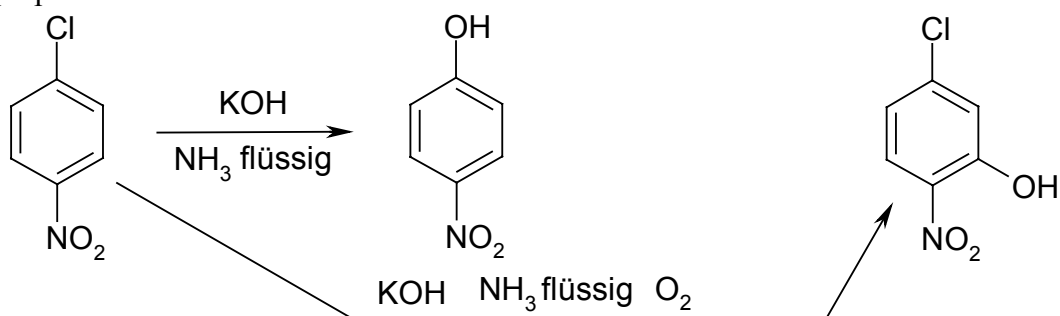
technischer Prozess



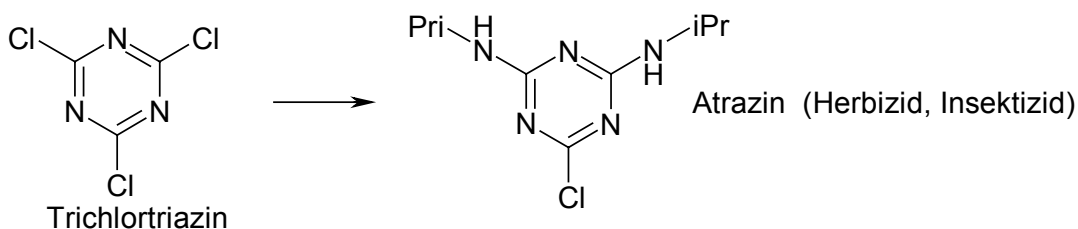
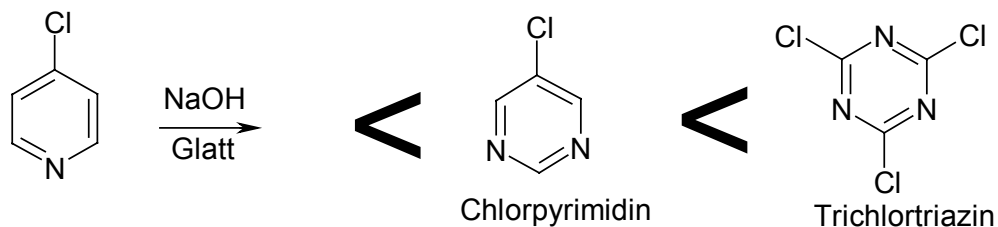
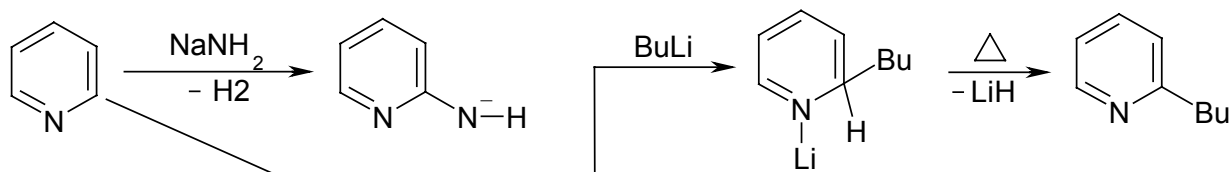
Hydrid als Abgangsgruppe



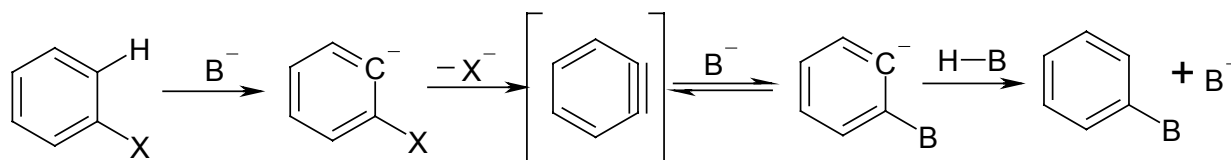
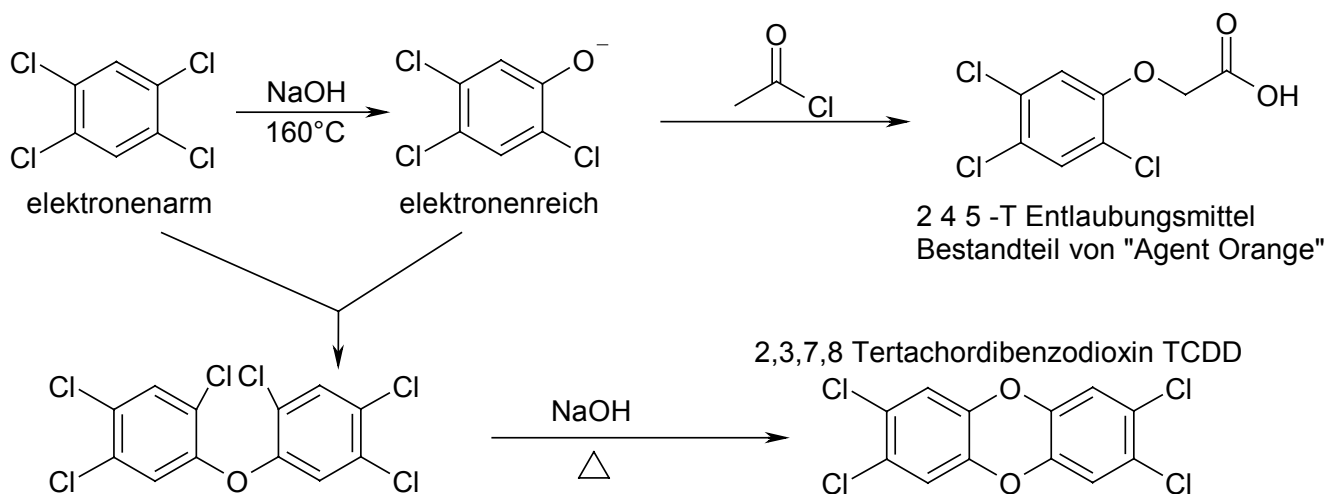
präparativ kaum nutzbar Ausnahme:



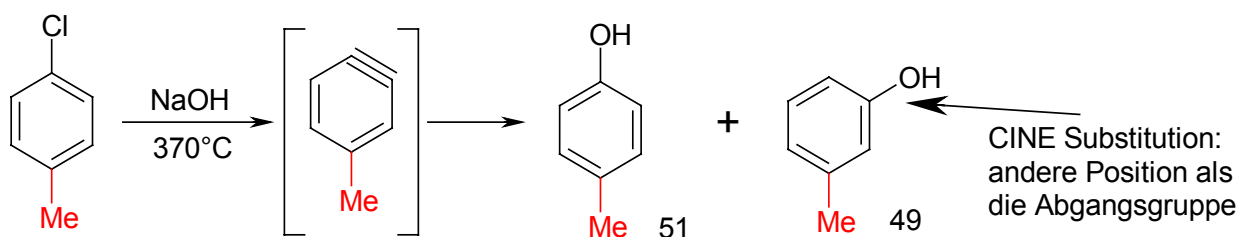
Merkregel: NO_2 am Ring ungefähr gleich N im Ring (Tschitschibain)



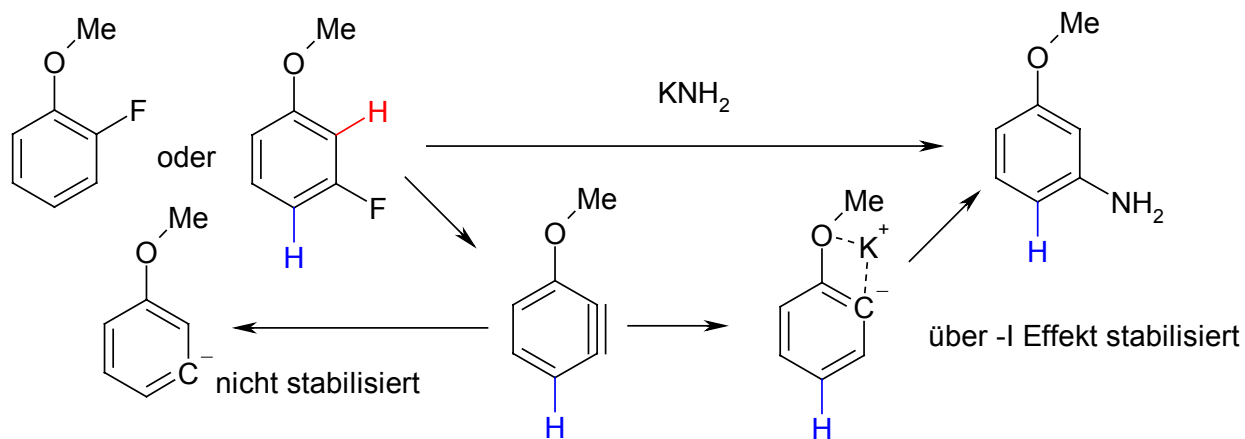
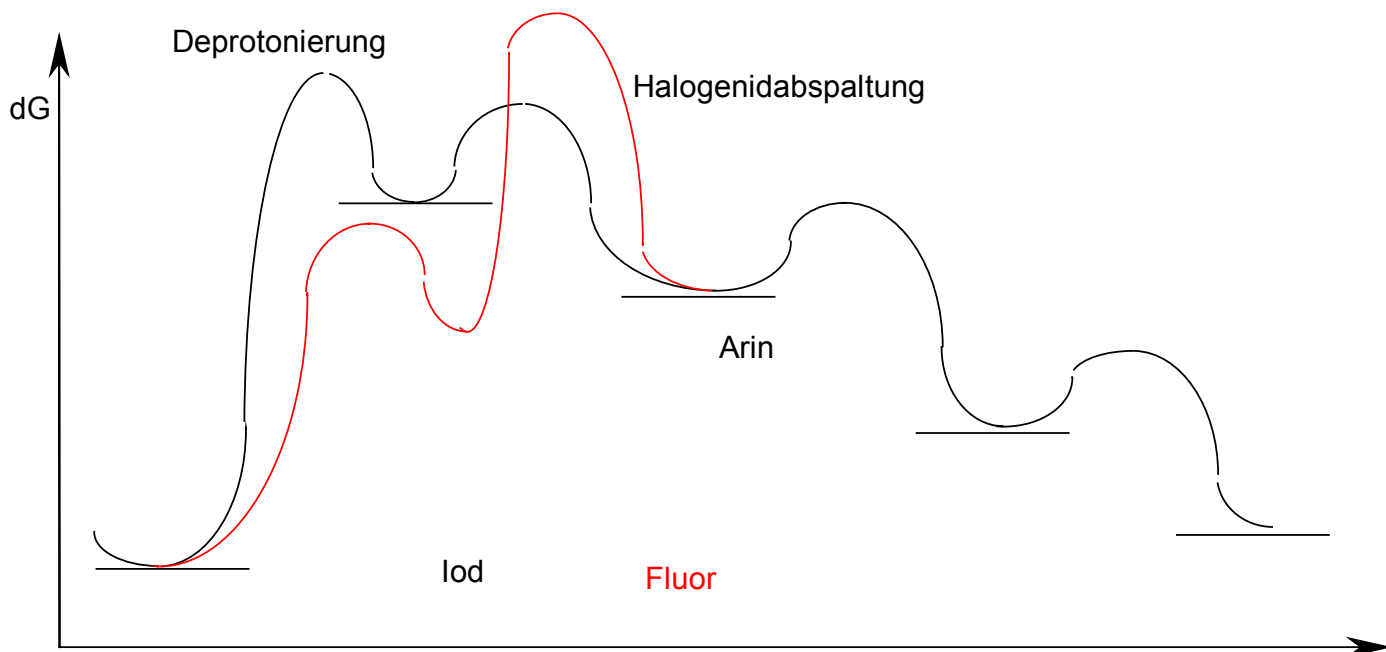
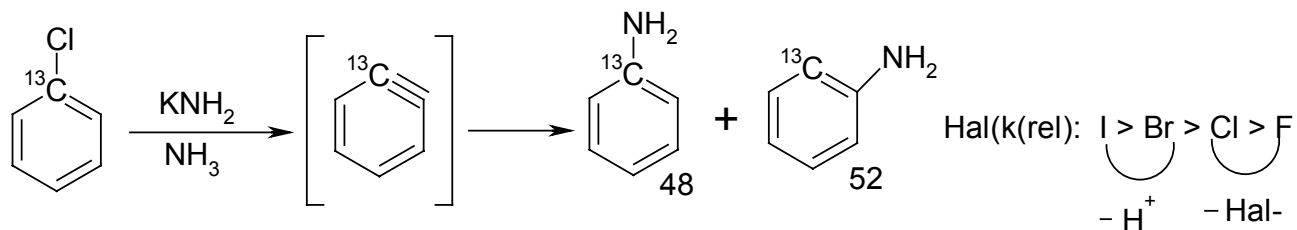
TCDD (umgangssprachlich Dioxin) und Verwandte:



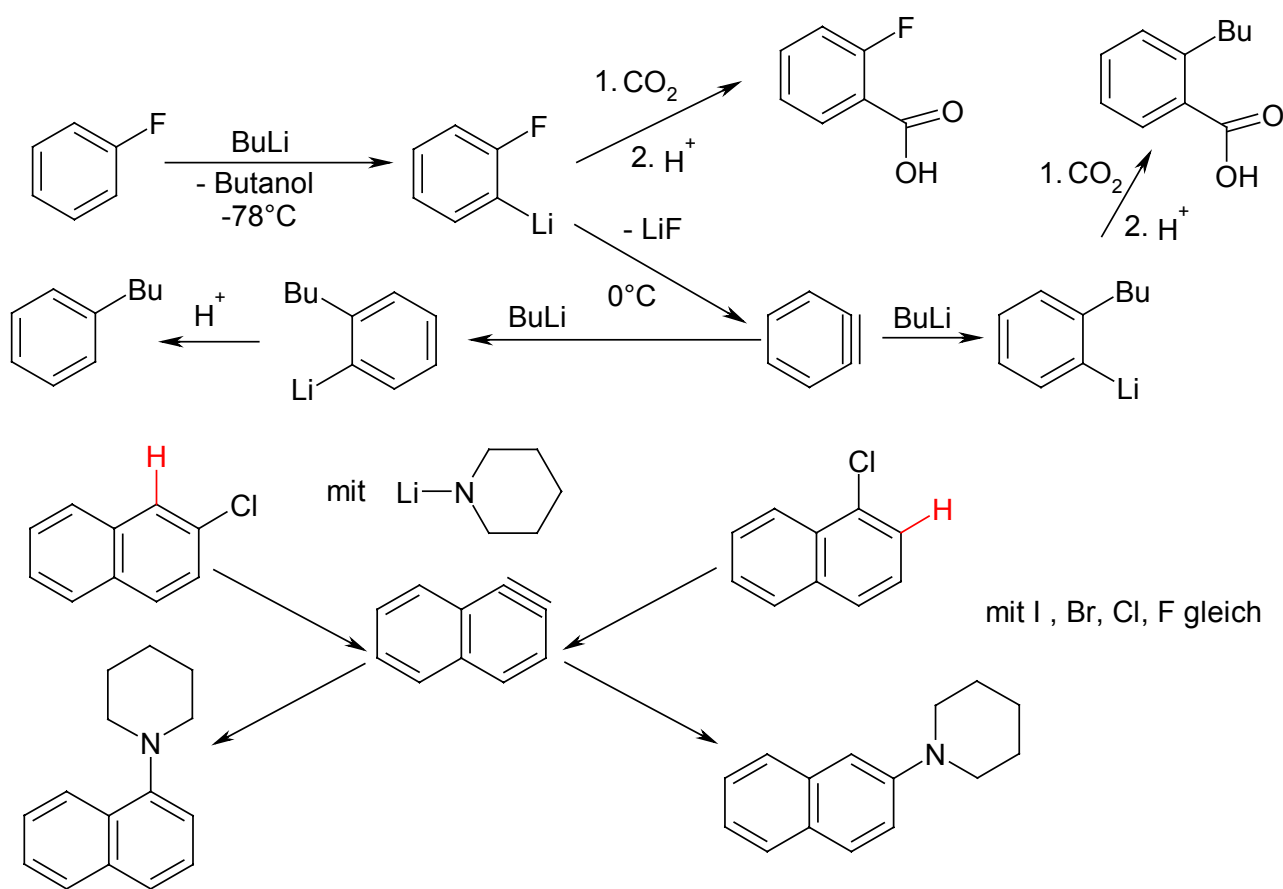
3.8 $\text{S}_{\text{N}}\text{Ar}$: Eliminierungs-Additionsmechanismus



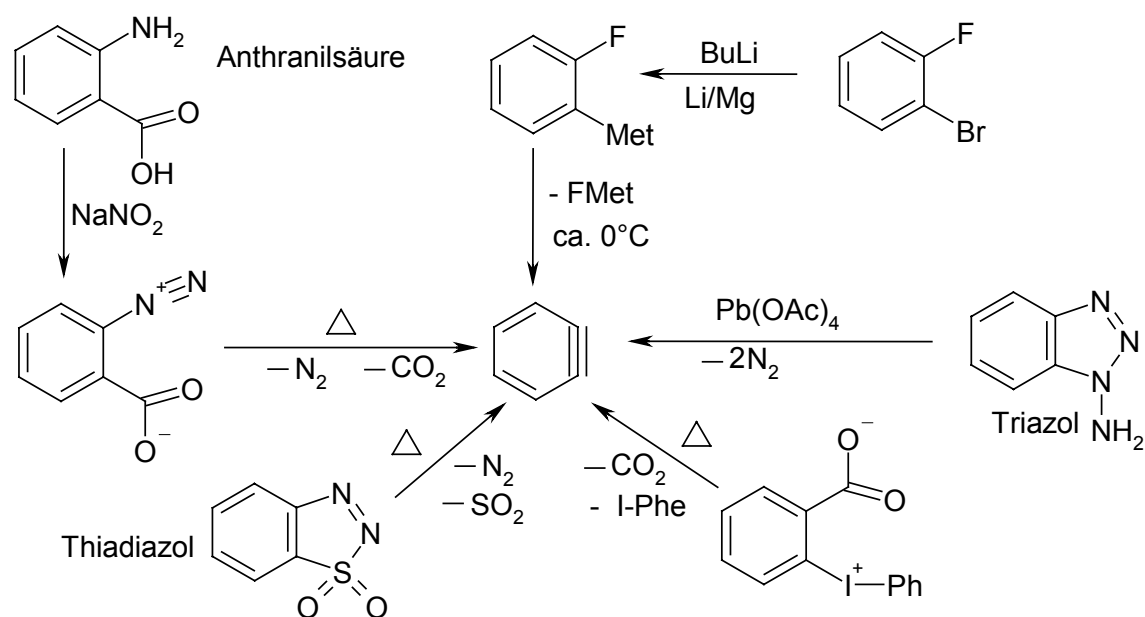
3.8.1 Roberts-Reaktion



3.8.2 Nachweis von Zwischenstufen

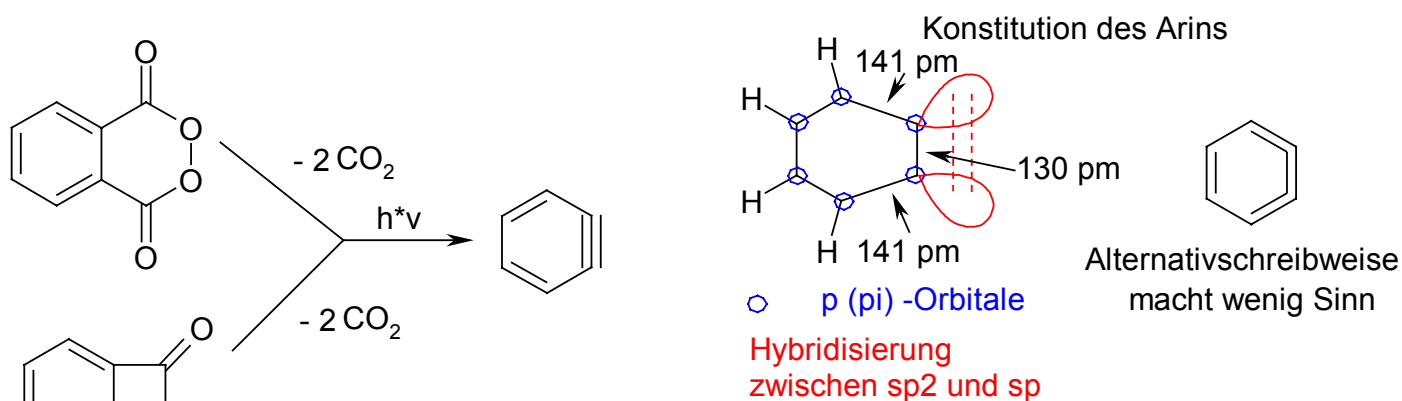


3.8.3 Zugangswege zum Arin:

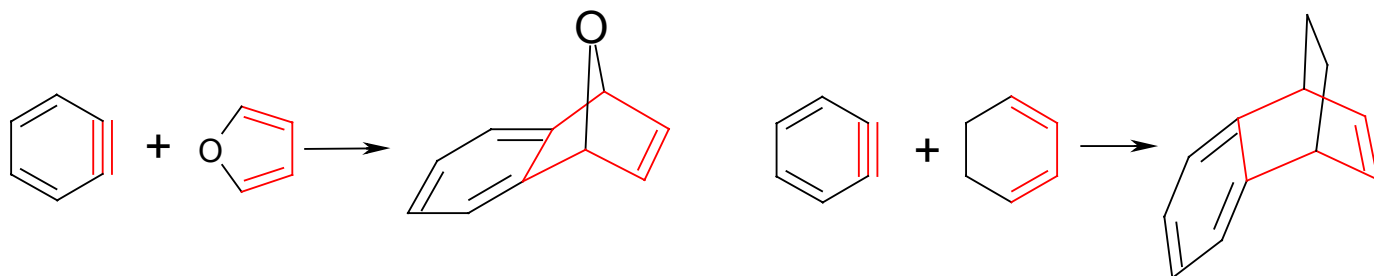


3.8.4 Isolierung des Arins: Chapman

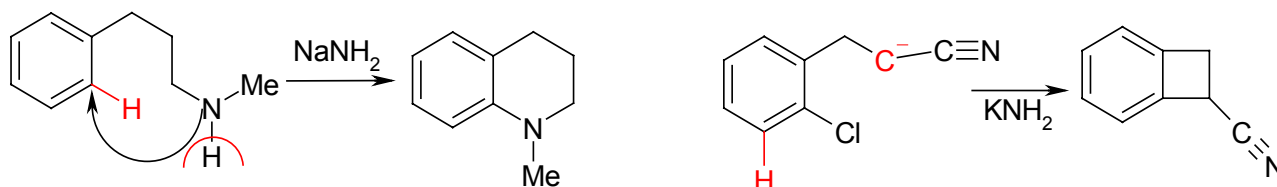
bei 8°K in einer Argonmatrix



3.8.5 Diels - Alder mit Arin

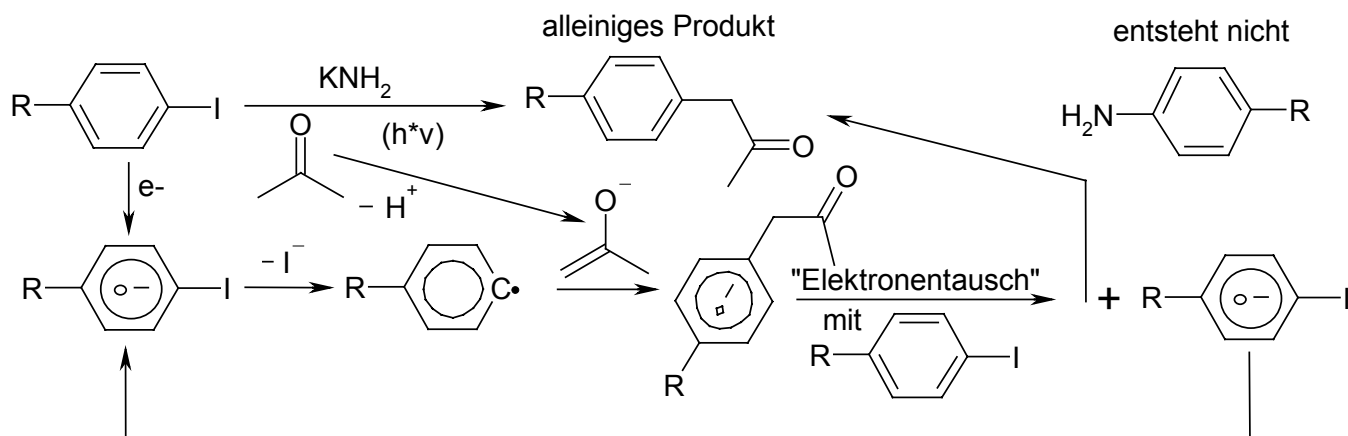


Intramolekulare Reaktionen

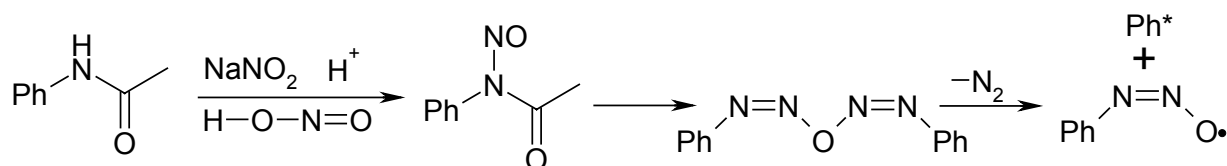
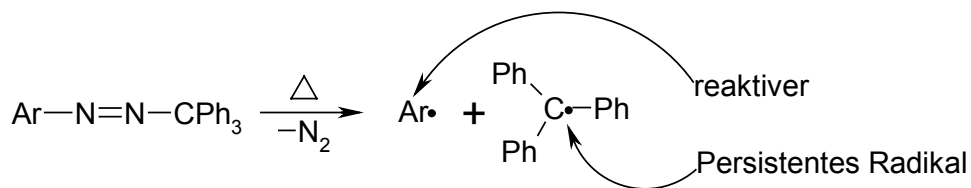
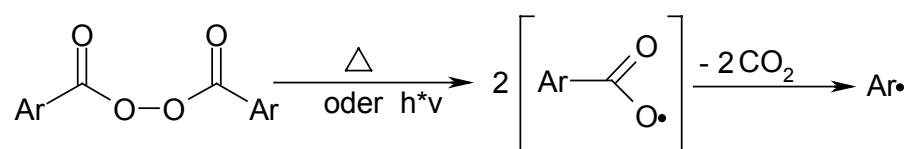


3.9 S_{RN}Ar: Nukleophile-Radikalische-Sub.

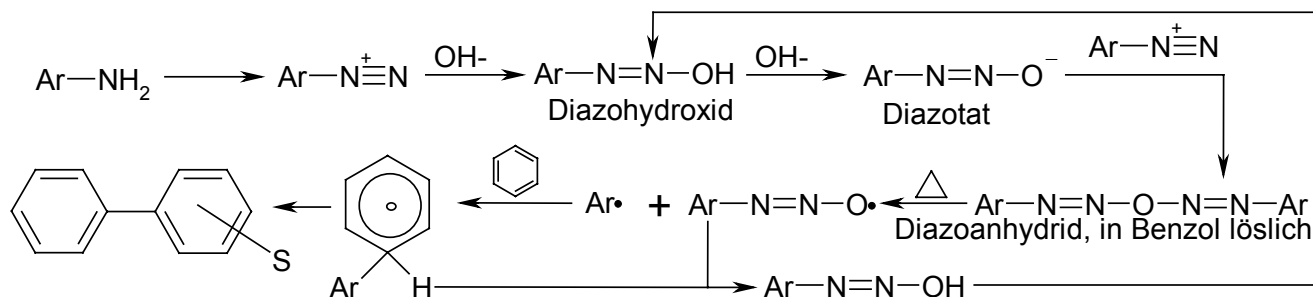
Funktioniert nach einem Radikalkettenmechanismus; wird auch Bunnet S_{RN}I genannt



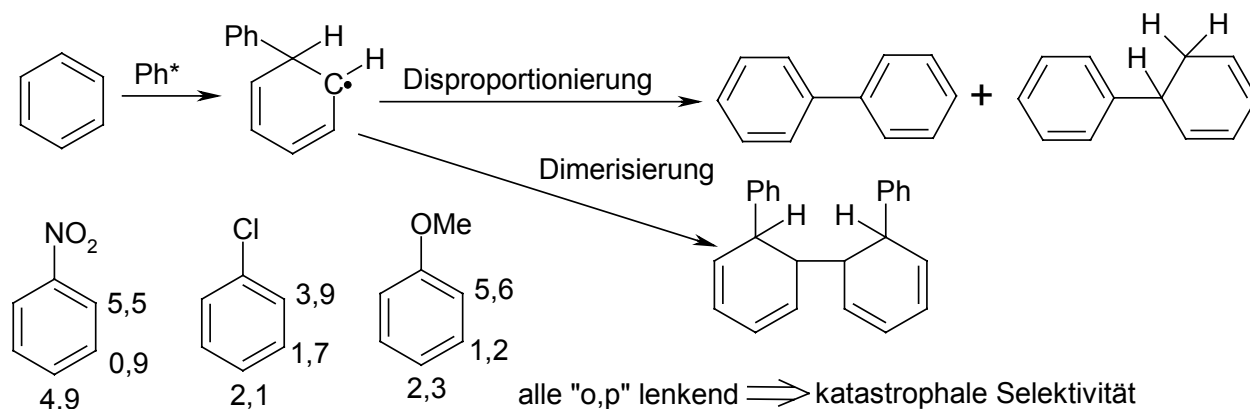
3.10 Radikalische aromatische Substitution S_RAr



3.10.1 Gomberg-Bachmann-Reaktion

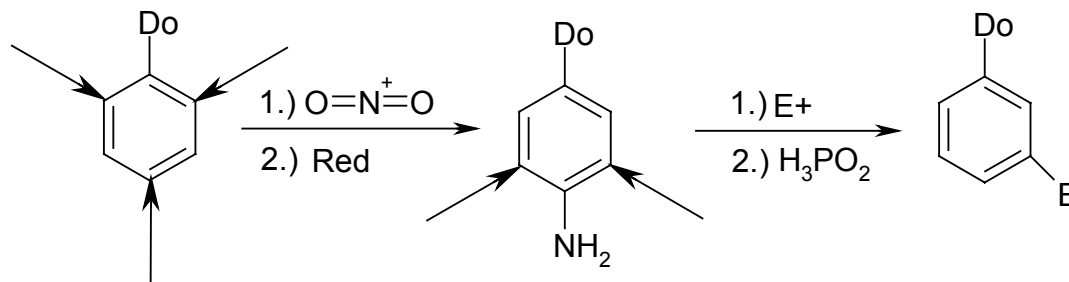


präparative Probleme: Selektivität ist schlecht

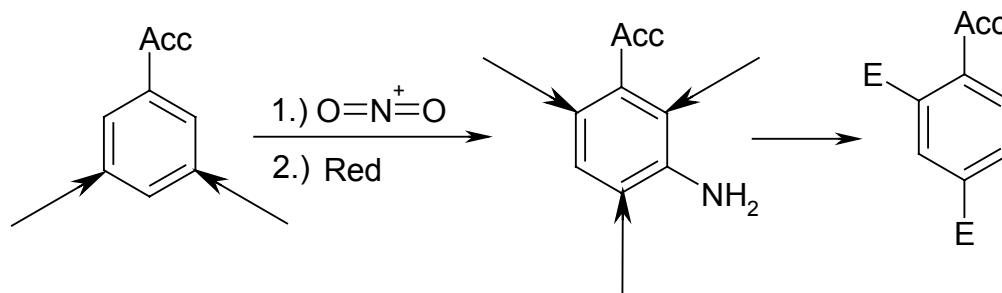


3.11 Zusammenfassung

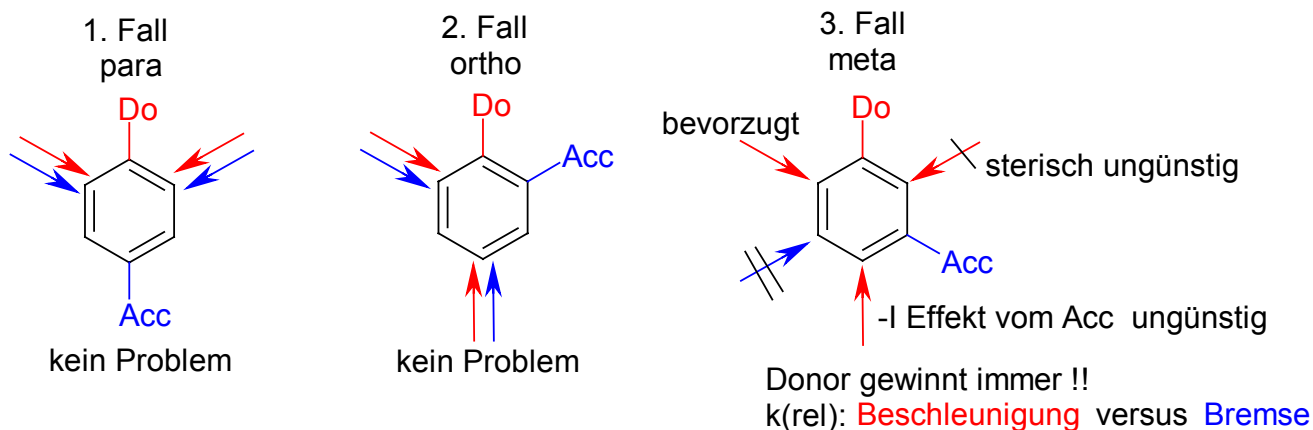
3.11.1 Meta -Substitutionstrategie



3.11.2 o,p Substitutionstrategie

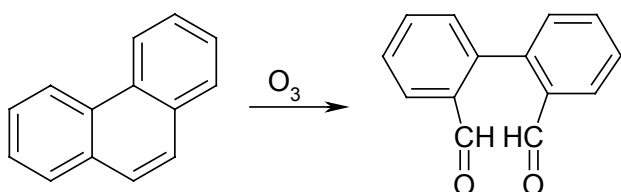
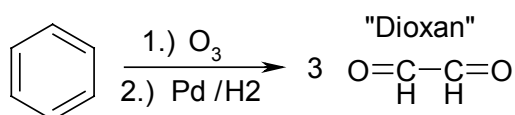
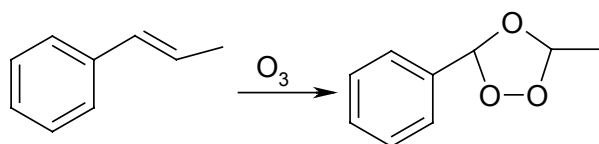
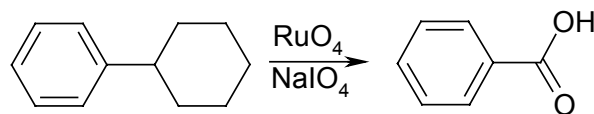
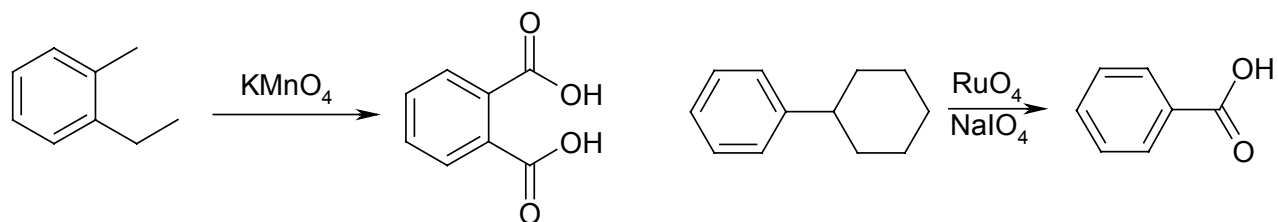


3.11.3 Donor Akzeptor Konkurrenz

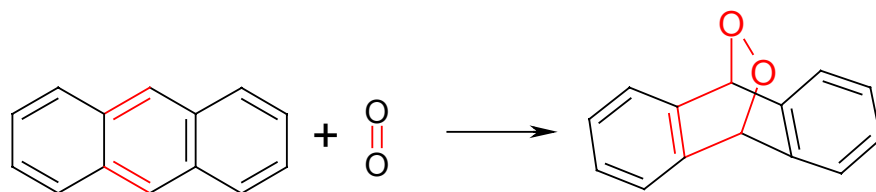
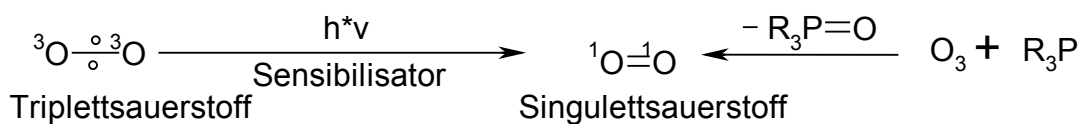
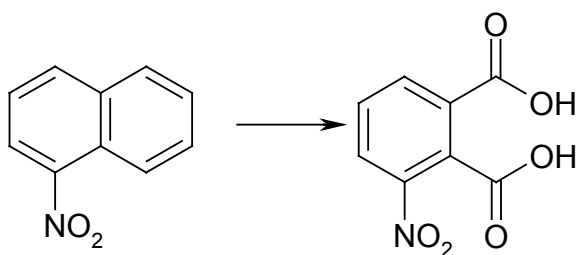
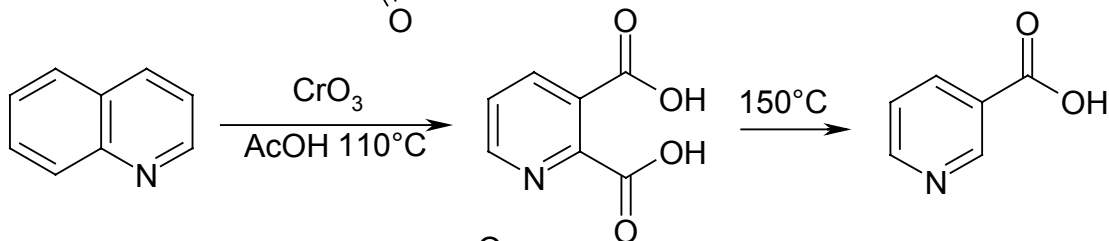
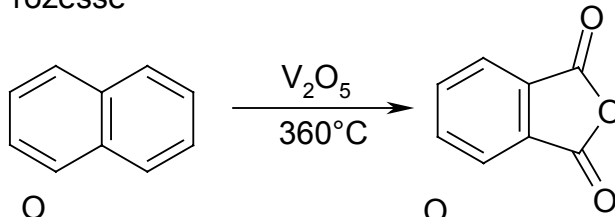
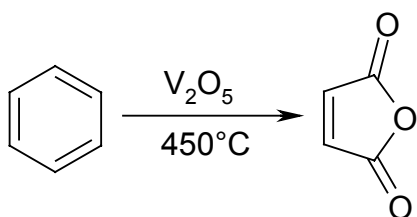


3.12 Oxidation und Reduktion

3.12.1 Oxidation

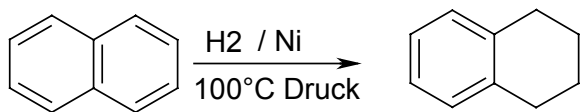


Technische Prozesse

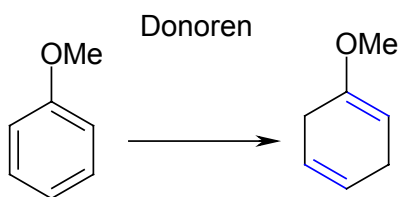
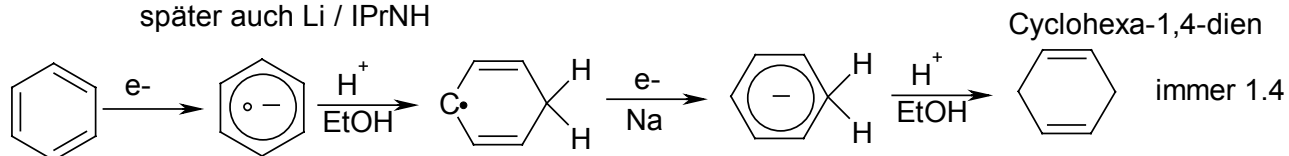


3.12.2 Reduktion

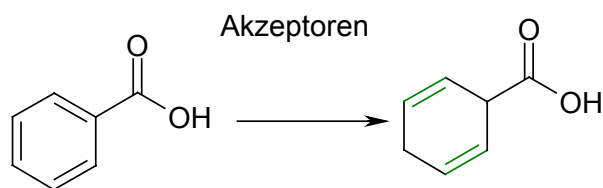
Birch-Reduktion



BIRCH Na/NH₃flüssig + EtOH(Protonenspender)
später auch Li / IPrNH

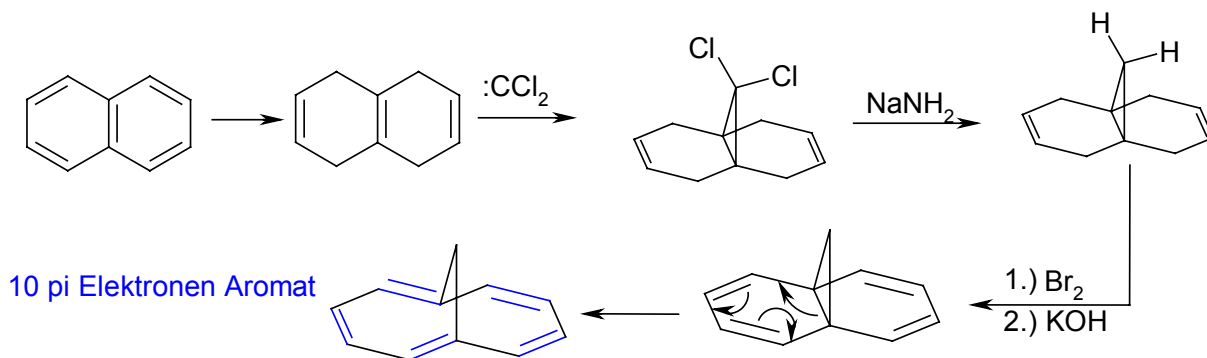


Donoren enden immer neben C=C
Doppelbindung in Konjugation



Akzeptoren enden an
nicht konjugierten Positionen

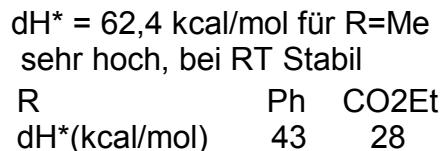
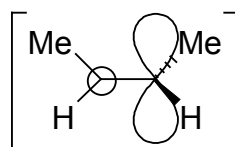
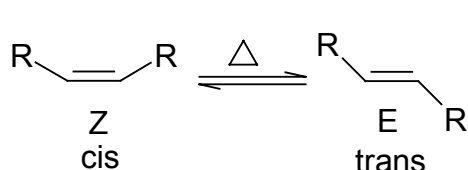
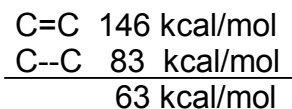
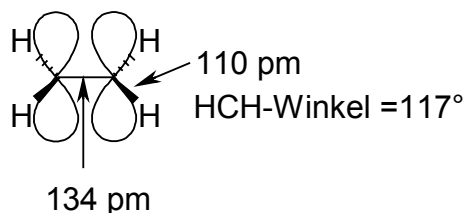
Carbene:



4 Alkene und Alkine

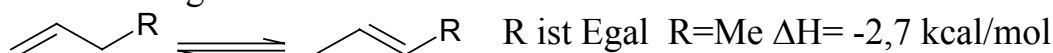
4.1 Alkene

4.1.1 Struktur und Isomerie



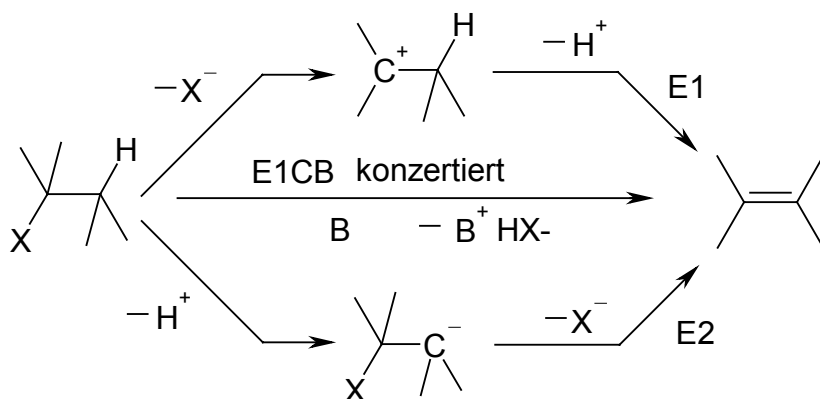
Trans ist thermodynamisch stabiler als cis, wenn R mit C beginnt

Verschiebungen



4.1.2 Darstellung durch trans-HX-Eliminierung

4.1.2.1 Mechanismen, Stereochemie, Orientierung



X= Hal, O⁺H₂; OSO₂R; S⁺R₂; N⁺R₄; (OH⁻)

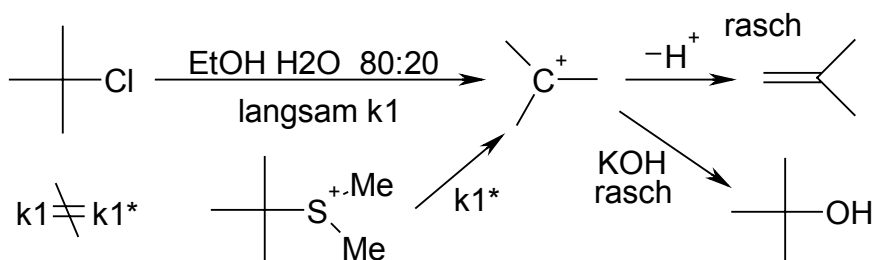
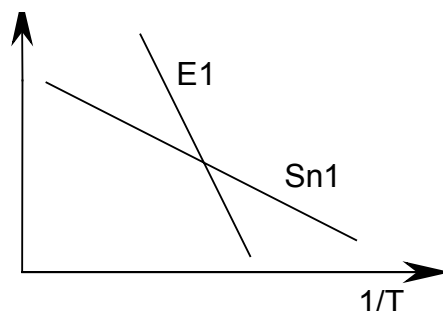
E1: $RG = k_1[R-X]$

Erster Schritt (Bildung des Carbeniumions) ist Geschwindigkeitsbestimmend

Arrhenius-Gleichung:

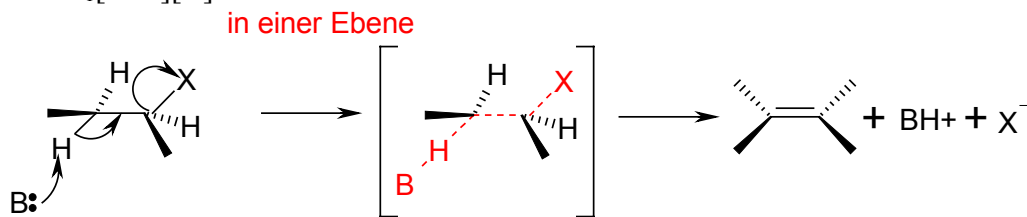
$$k = A e^{\frac{-E_A}{RT}} \quad \lg k = \lg \left(-\frac{E_A}{RT} \right)$$

Hohe Temperatur : E1
Tiefe Temperatur : S_{N1}



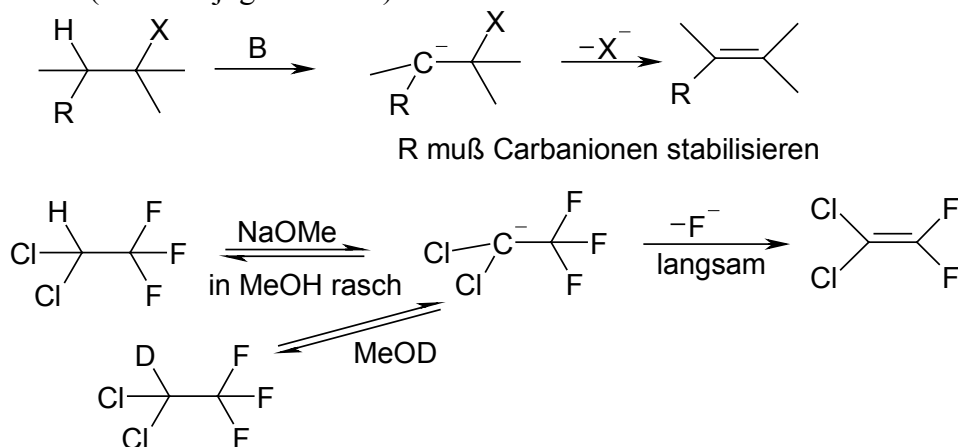
4.1.2.2 E2: Mechanismus

$$RG = k_1 [R-X][B]$$

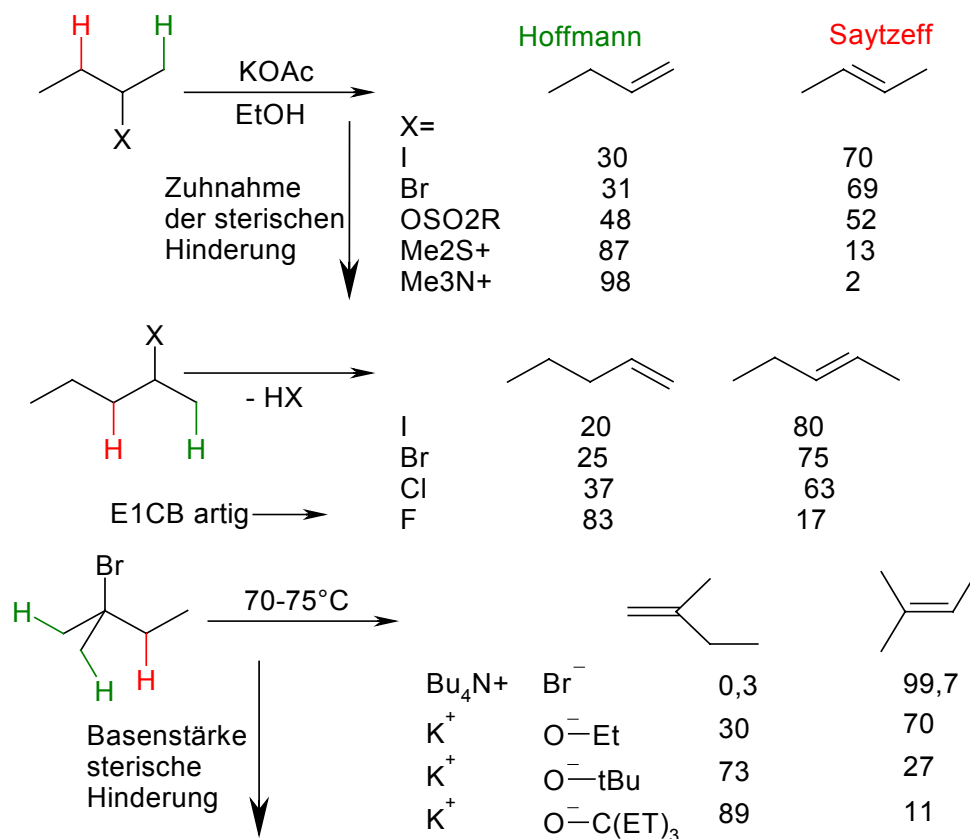


4.1.2.3 E1_{CB}: Mechanismus

selten (CB= conjugierte Base)

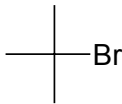
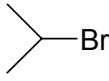
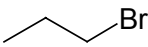


4.1.2.4 Orientierung nach HOFFMANN und SAYTZEFF



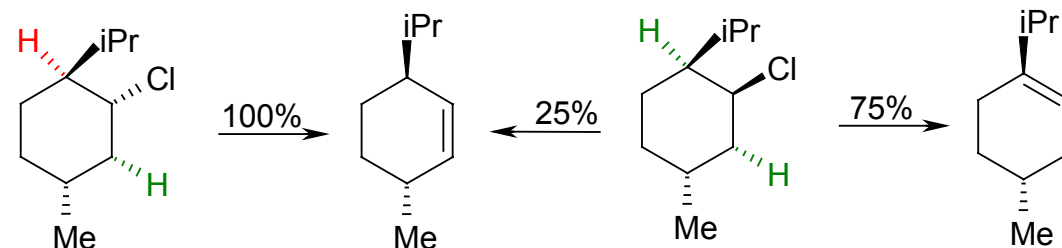
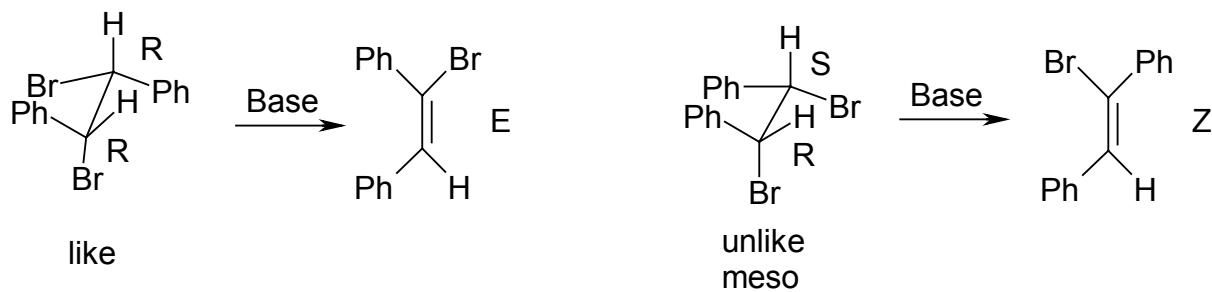
Sterische
Hinderung und
E1_{CB}-artiger
Mechanismus
verschieben
nach
Hoffmann!

4.1.2.5 Eliminierung versus nukleophile Substitution

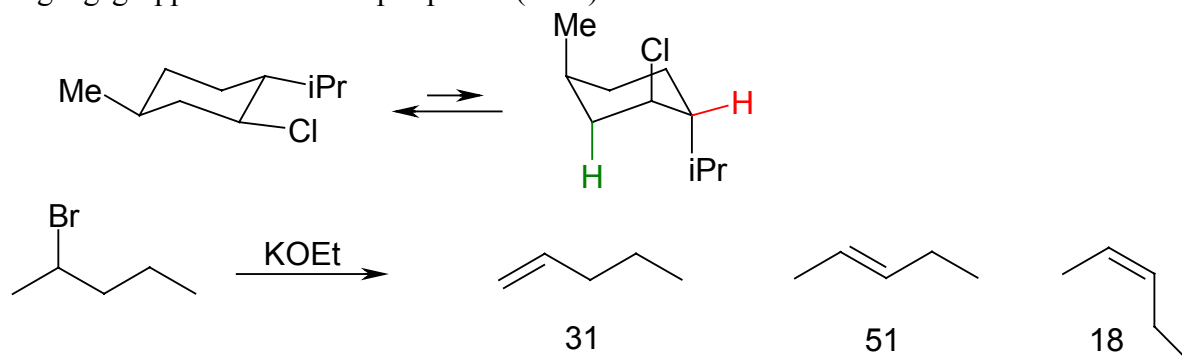
			% Elimination
tert		$\text{Bu}_4\text{N}^+ \text{Cl}^-$	96
		$\text{Na}^+ \text{O}^- \text{Et}$	100
sec		$\text{Bu}_4\text{N}^+ \text{Cl}^-$	0
		$\text{Na}^+ \text{O}^- \text{Et}$	75
prim		$\text{Bu}_4\text{N}^+ \text{Cl}^-$	0
		$\text{Na}^+ \text{O}^- \text{Et}$	8,8

Substrateeinfluß groß starke Base \rightarrow E2

4.1.2.6 Stereochemie bei E2

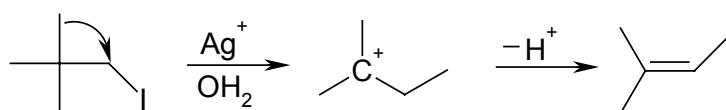
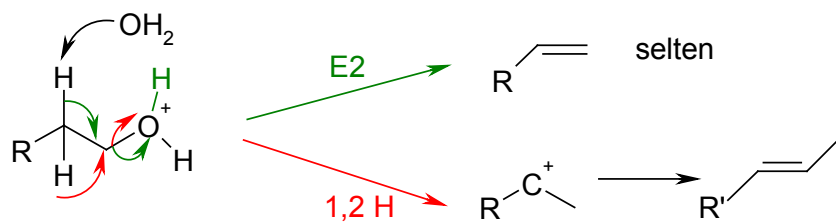
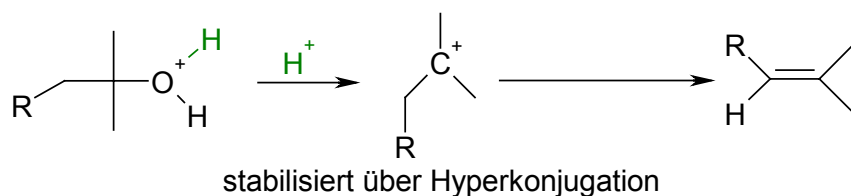


Abgangsgruppen müssen antiperiplanar (trans) stehen!!

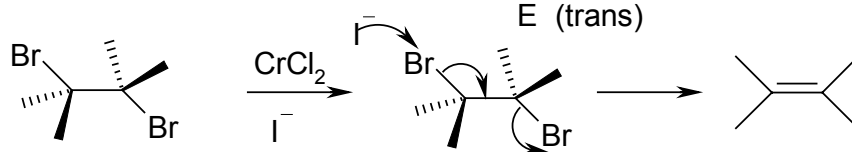
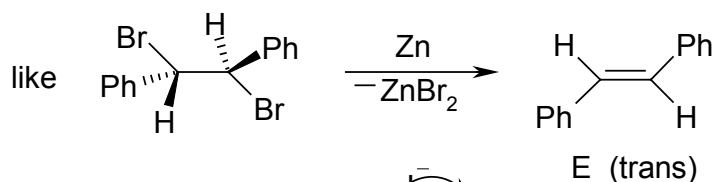
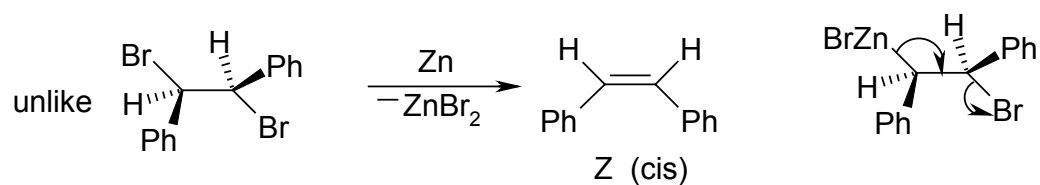


4.1.2.7 Dehydratisierung von Alkoholen

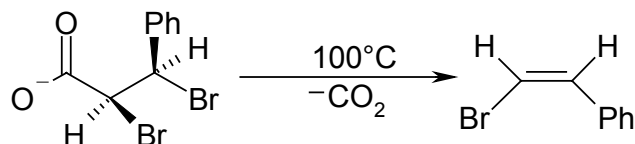
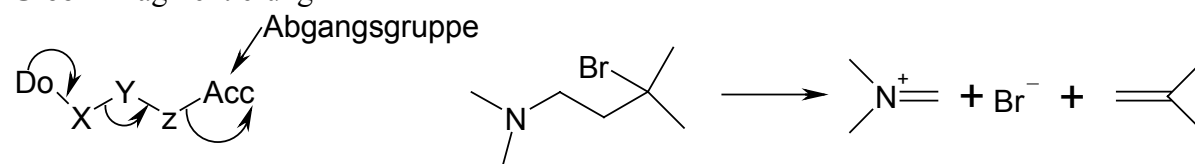
tert > sec >> prim $\text{S}_{\text{N}}1$ ähnlich
E1.....(E2)



4.1.2.8 weitere trans-Eliminierungen



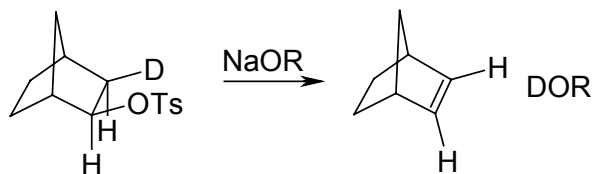
Grob – Fragmentierung



4.1.3 Darstellung durch cis-HX-Eliminierung

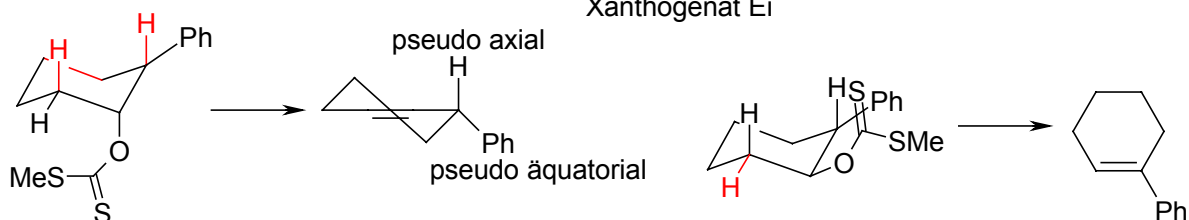
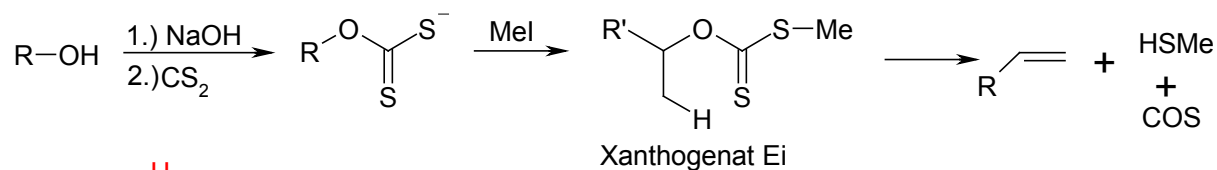


4.1.3.1 Geometrie lässt trans nicht zu:

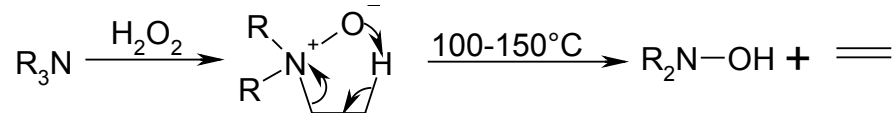


4.1.3.2 Chugaev-Reaktion

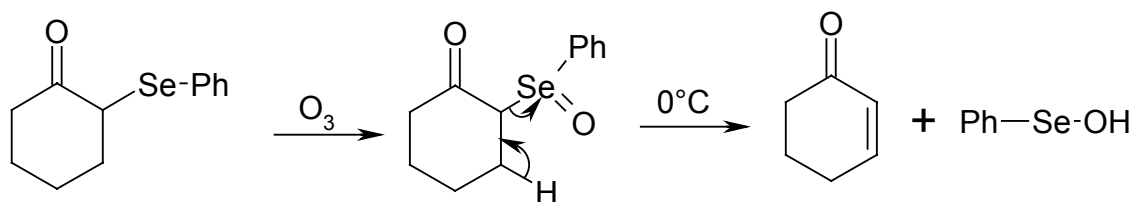
Pyrrolyse von Xanthogenaten



4.1.3.3 COPE Eliminierung

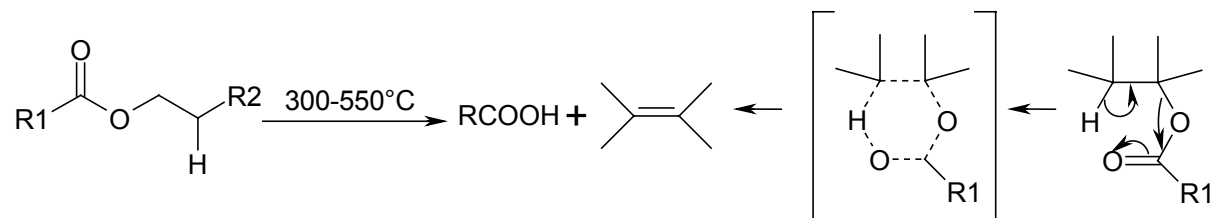


4.1.3.4 Selenoxid-Eliminierung



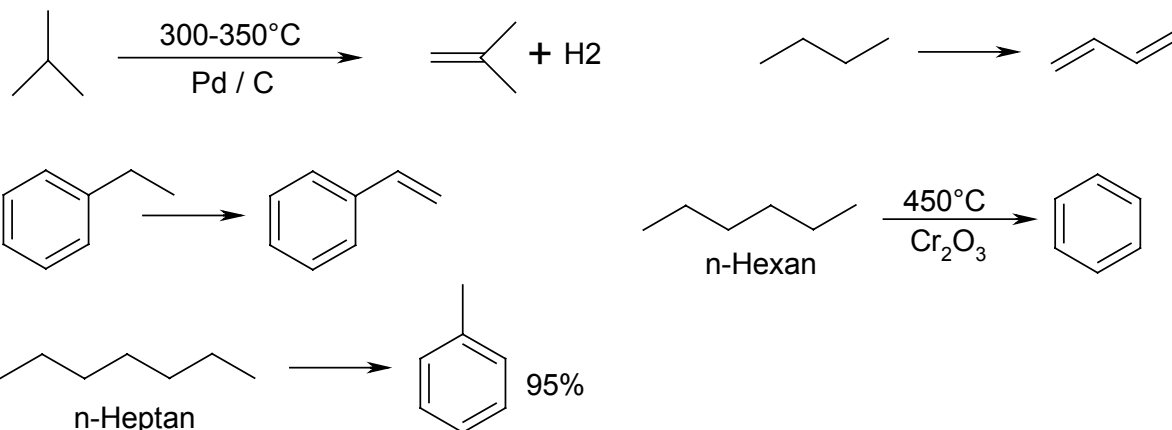
4.1.3.5 Esterpyrolyse

(FVP= Flash Vacuum Pyrolysis)

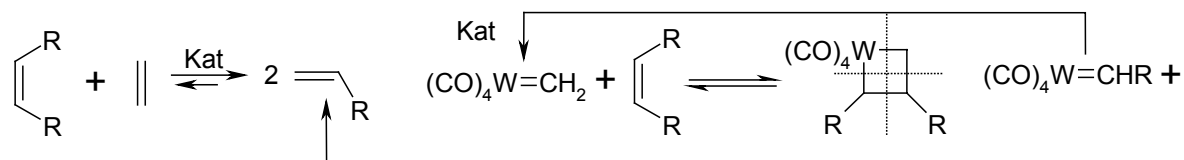


4.1.4 Alkan-Dehydrierung

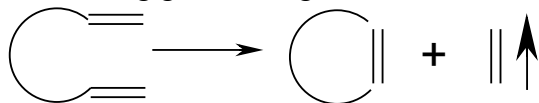
Diese Reaktionen sind eher von technischem Interesse



4.1.5 Alkenmetathese

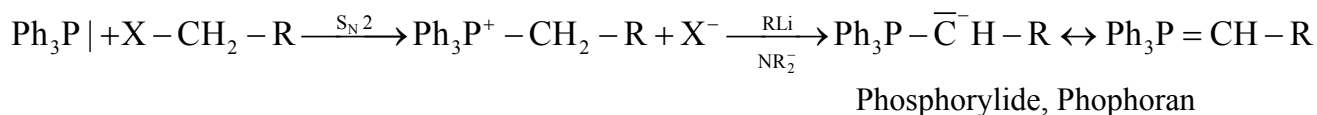


Herstellung großer Ringe

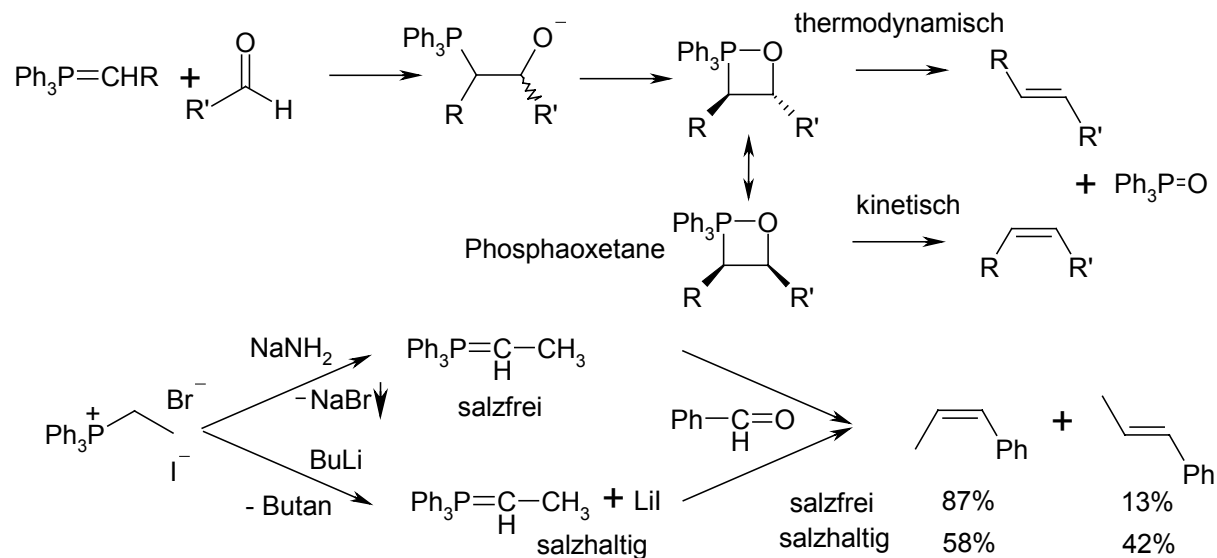


4.1.6 Wittig-Reaktion

4.1.6.1 Herstellung von Phosphoryliden

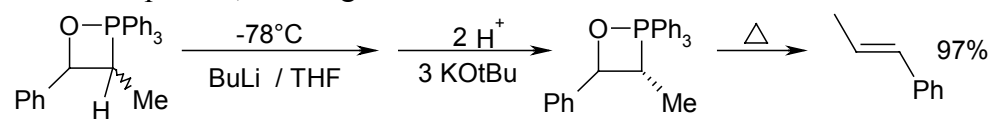


4.1.6.2 Reaktionsmechanismus

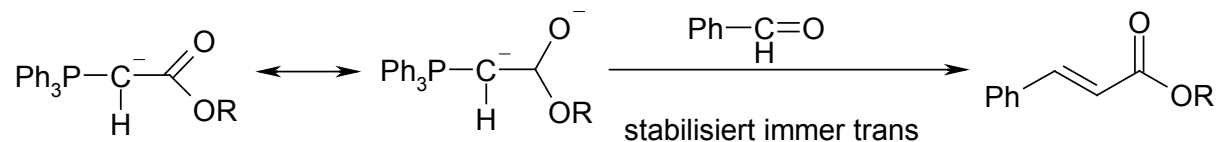


4.1.6.3 Schlosser Variante

Tiefe Temperatur, vorwiegend trans-Produkt

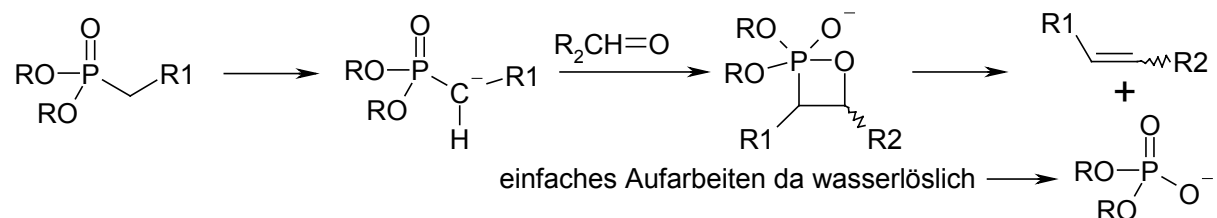


4.1.6.4 Stabilisierte Ylide

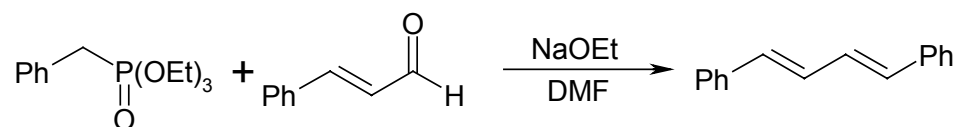
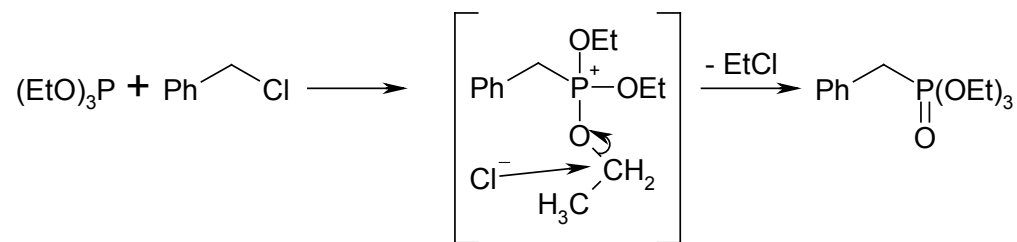


4.1.7 Horner-Wadsworth-Emmons-Reaktion

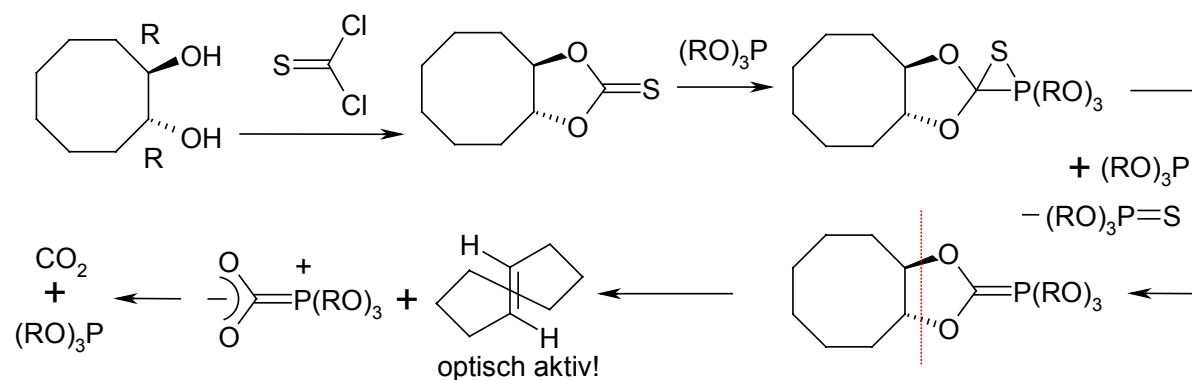
4.1.7.1 Mechanismus



4.1.7.2 Arbuzov-Reaktion

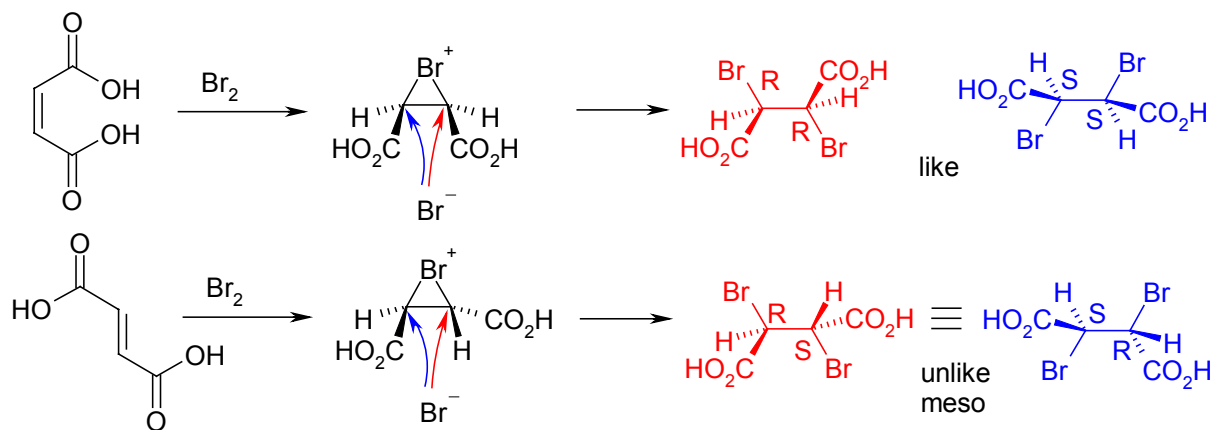
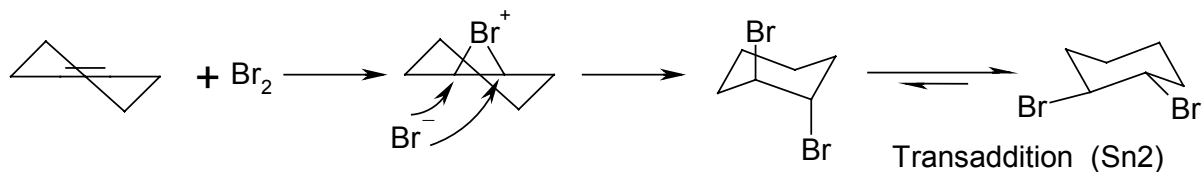


4.1.8 Corey-Winter-Synthese (Fragmentierung)

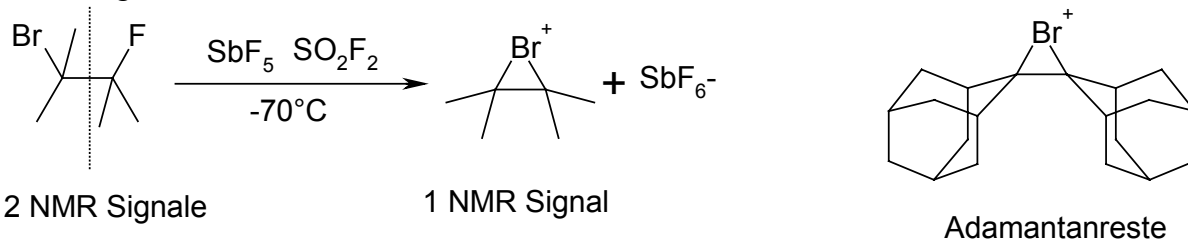


4.1.9 Reaktionen der Alkene

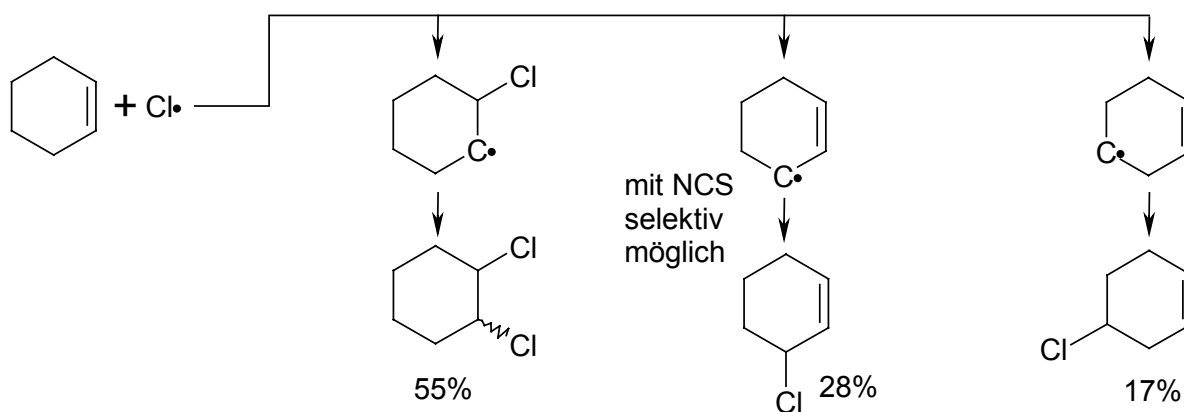
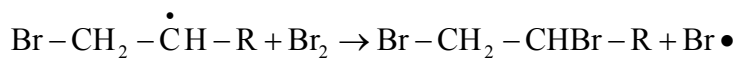
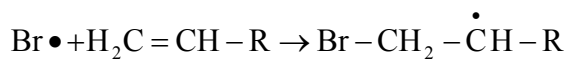
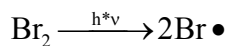
4.1.9.1 Halogenaddition



Isolierung von Zwischenstufen:



Radikalisch:



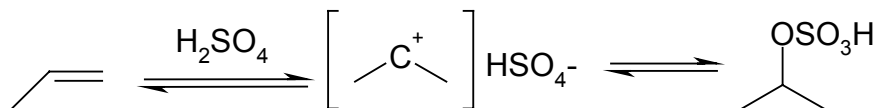
4.1.9.2 Addition von HX

Rückreaktion der Eliminierung

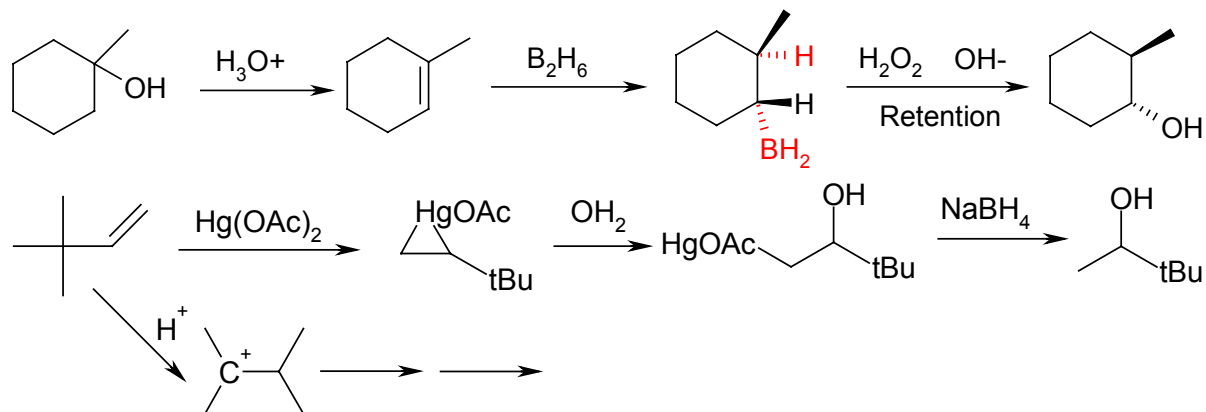
Ionisch: H-Hal H-SO₄H H-OH (Rückreaktion von E1)

Regel von Markownikow: Es bildet sich das stabilere Carbeniumion

(auch: Der Wasserstoff geht ans wasserstoffreichere C-Atom, das Halogen ans wasserstoffärmere C-Atom)

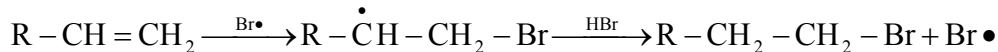


4.1.9.3 Hydroborierung / Quecksilberreagenzien



4.1.9.4 Radikalische Addition von HX

anti-Markownikow !!!



Radikalstarter: Δ oder $h\nu$

Start: $\text{R}\cdot + \text{H}-\text{CCl}_3 \rightarrow \text{RH} + \cdot\text{CCl}_3$

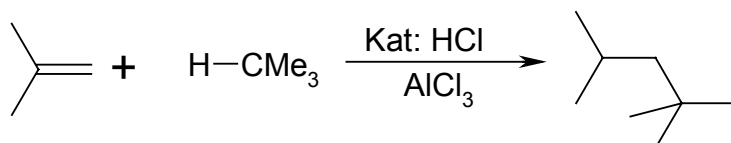
Kette: $\text{R}-\text{CH}=\text{CH}_2 + \cdot\text{CCl}_3 \rightarrow \text{R}-\dot{\text{C}}\text{H}-\text{CH}_2-\text{CCl}_3$

$\text{R}-\dot{\text{C}}\text{H}-\text{CH}_2-\text{CCl}_3 + \text{H}-\text{CCl}_3 \rightarrow \text{R}-\text{CH}_2-\text{CH}_2-\text{CCl}_3 + \cdot\text{CCl}_3$

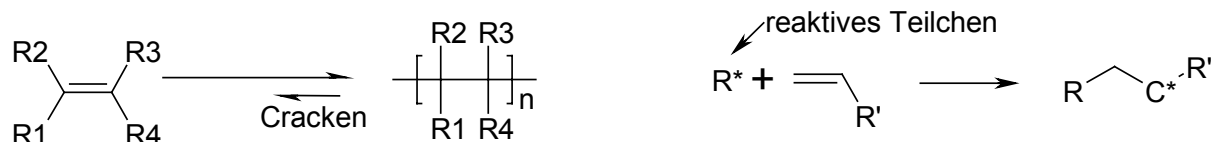
Mögliche Substanzen: H-CCl₃; Cl-CCl₃; Br-CCl₃; H-SiCl₃; H-SR; H-SnBu₃

4.1.9.5 Ipatieff-Reaktion

Addition von R₃C-H an terminale Alkene

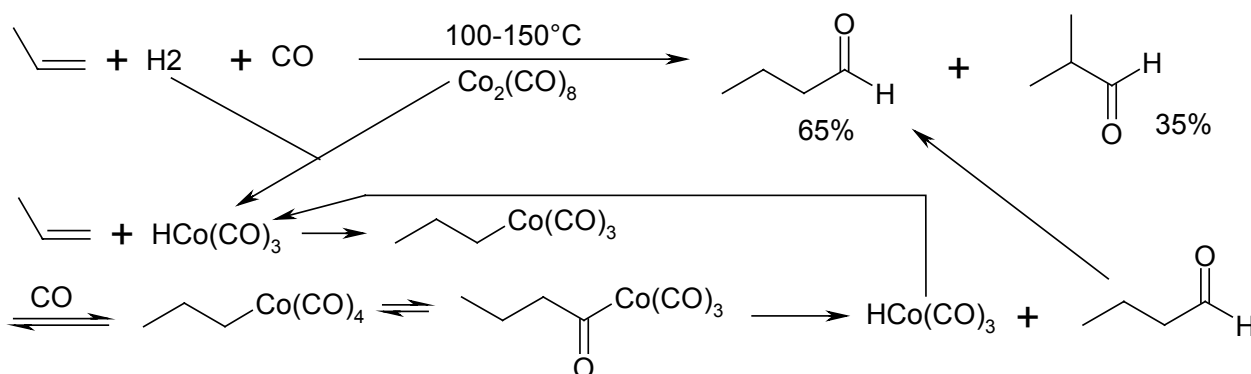


4.1.9.6 Polymerisation



Mechanismen: radikalisch anionisch kationisch

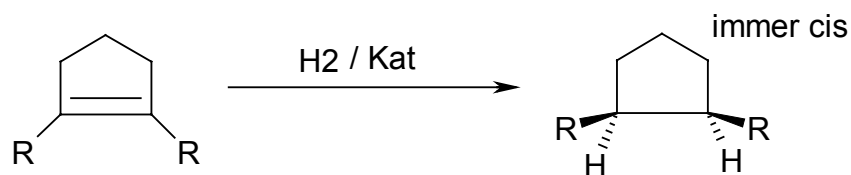
4.1.9.7 Oxosynthese



monosubstituierte C=C > disubstituierte C=C > trisubstituierte C=C

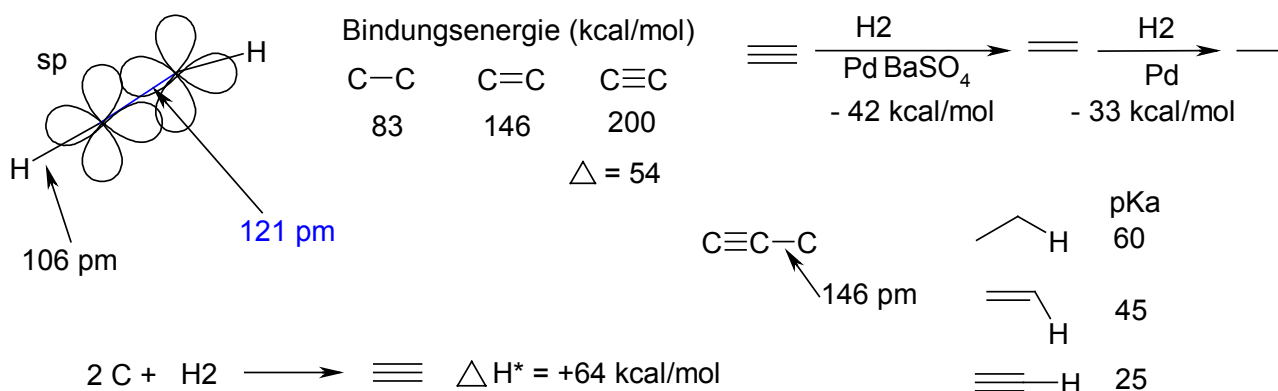
4.1.9.8 Katalytische Hydrierung

hoch stereospezifische Reaktion



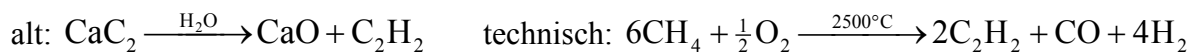
4.2 Alkine

4.2.1 Eigenschaften

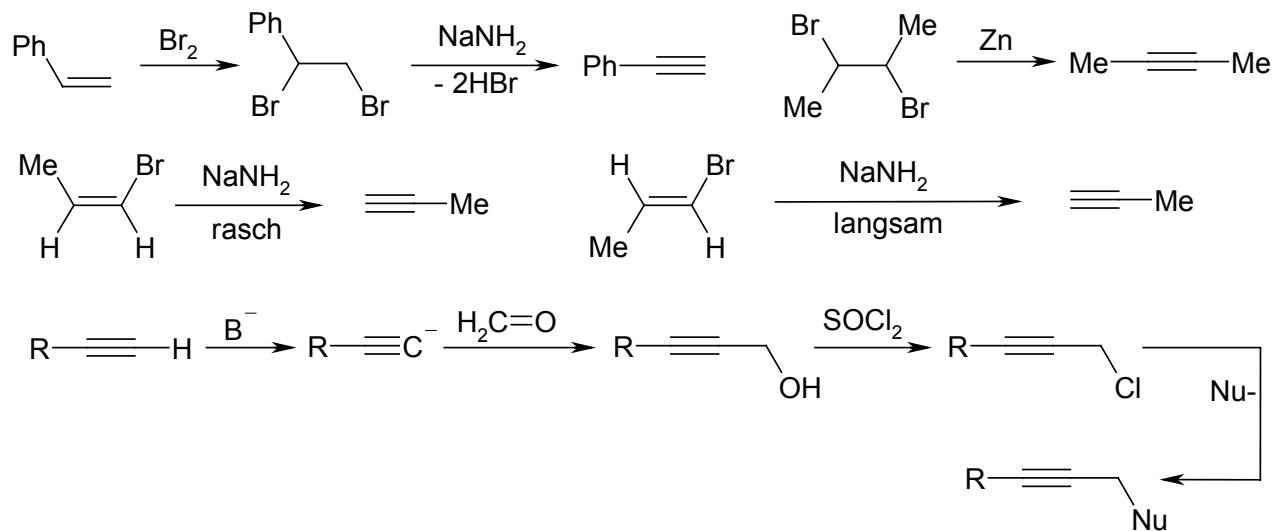


4.2.2 Herstellung

4.2.2.1 Herstellung von Ethin

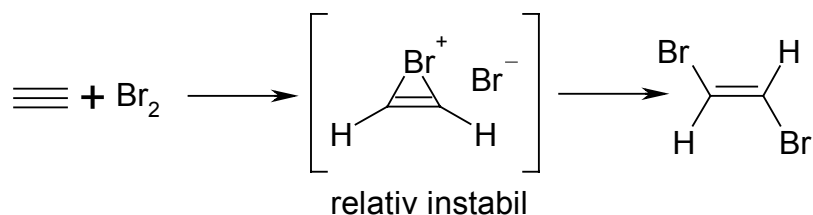


4.2.2.2 Laborsynthesen für Alkine

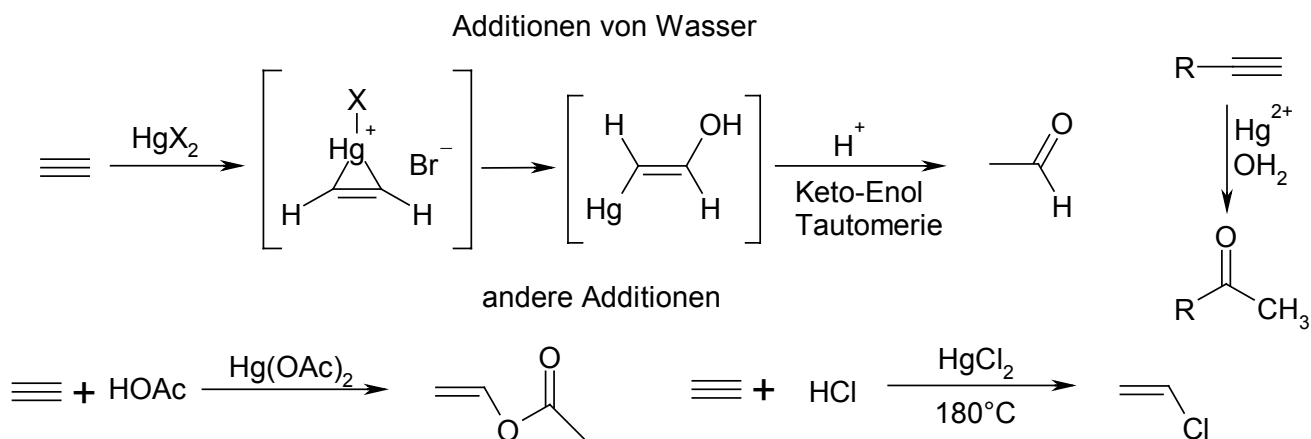


4.2.3 Reaktionen

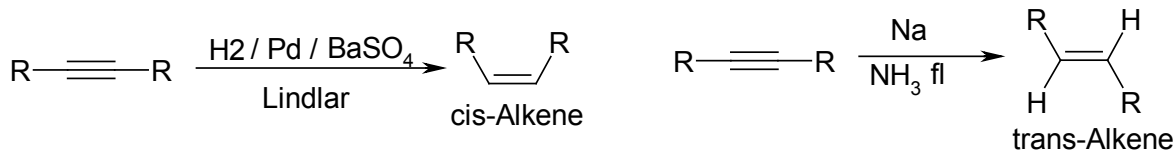
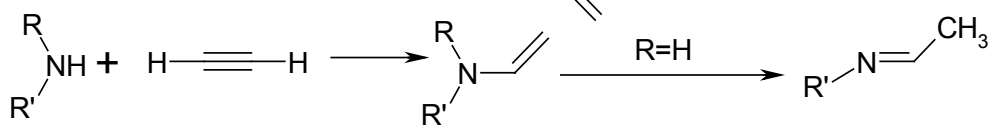
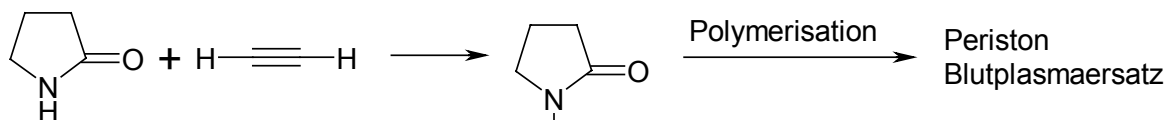
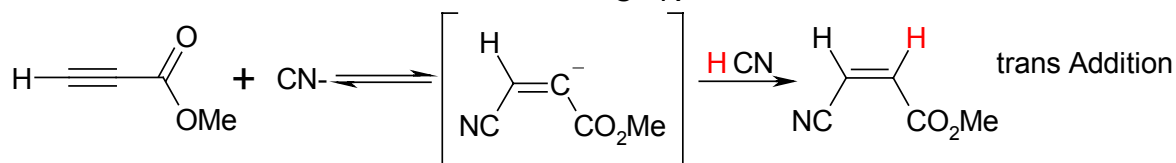
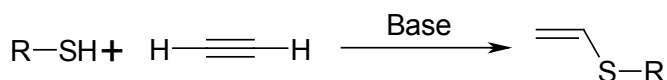
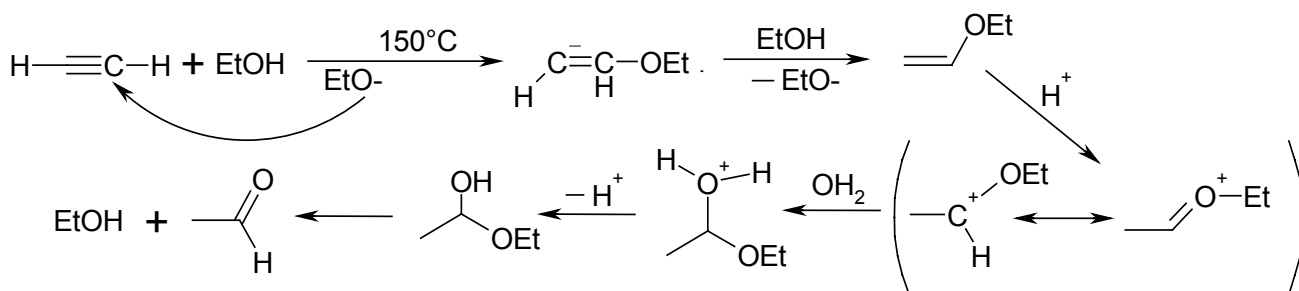
4.2.3.1 Elektrophile Addition



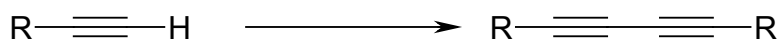
4.2.3.2 H-X Addition mit Hg^{2+} -Kat



4.2.4 Nukleophile Addition



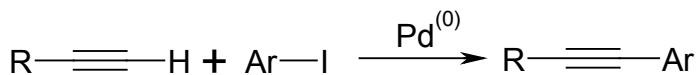
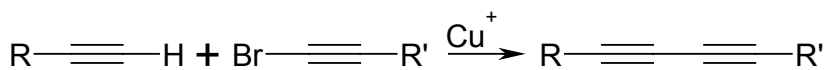
4.2.5 Oxidative Kupplung



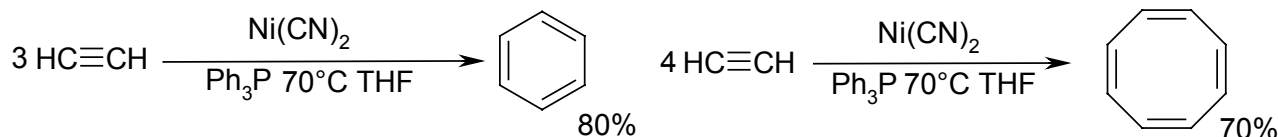
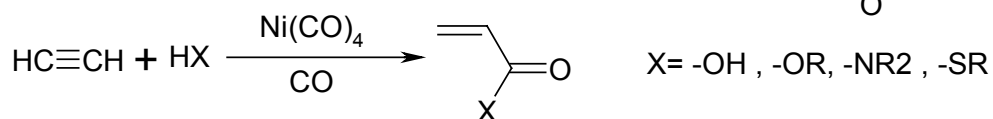
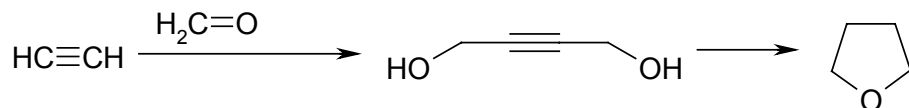
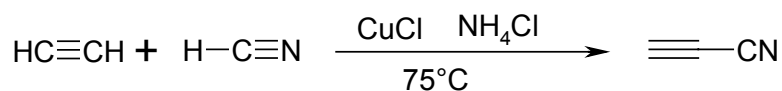
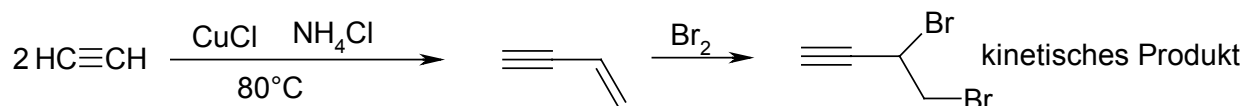
Eglinton-Kupplung: $\text{Cu}(\text{OAc})_2$ in Pyridin ($\overset{\text{II}}{\text{Cu}} \rightarrow \overset{\text{I}}{\text{Cu}}$)

Glaser-Kupplung: $\text{Cu}(\text{I})\text{X} \quad \text{NH}_4^+$ in NH_3 mit O_2

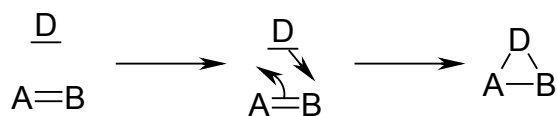
Cadiot-Chockiewiez-Kupplung:



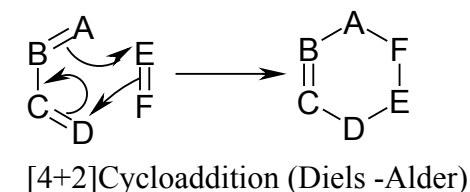
4.2.5.1 Technik des Ethins (Acetylen)



4.3 Cycloadditionen der Alkene und Alkine



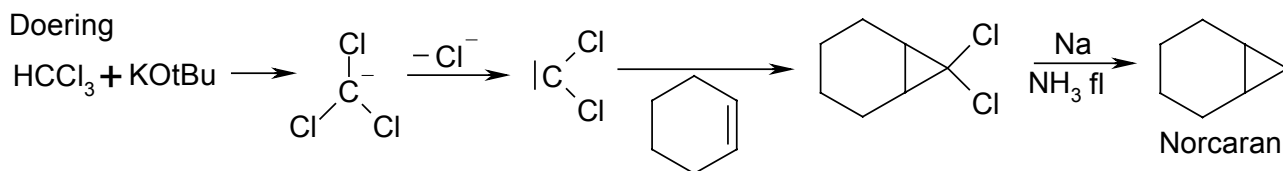
[2+1] Cycloaddition



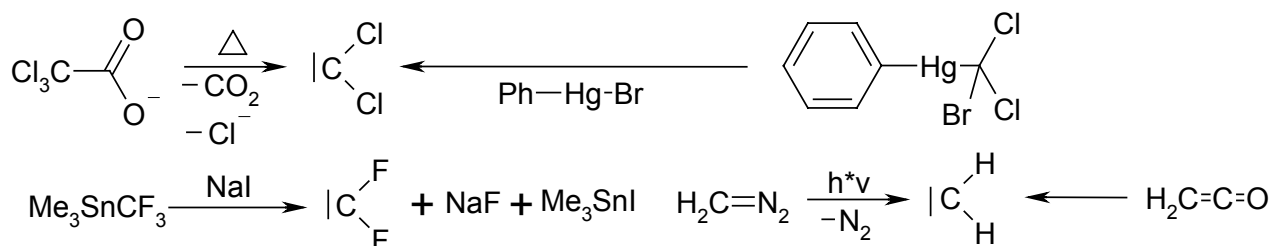
[4+2] Cycloaddition (Diels - Alder)

allgemein: [m+n]Cycloaddition m,n : Zahl der beteiligten Atome

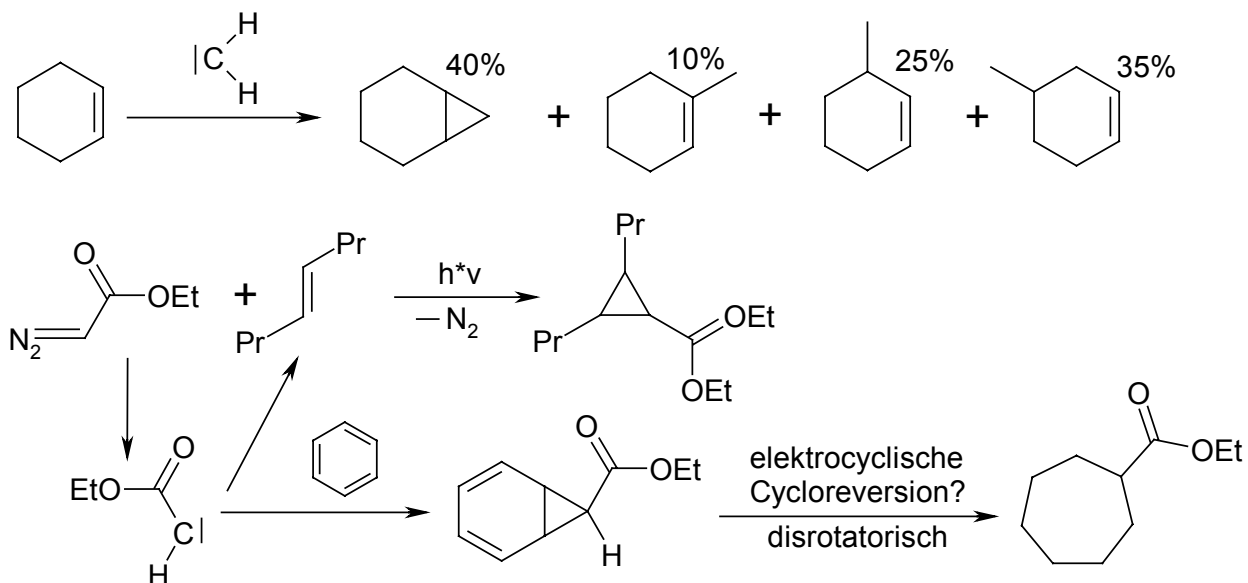
4.3.1 [2+1]Cycloaddition



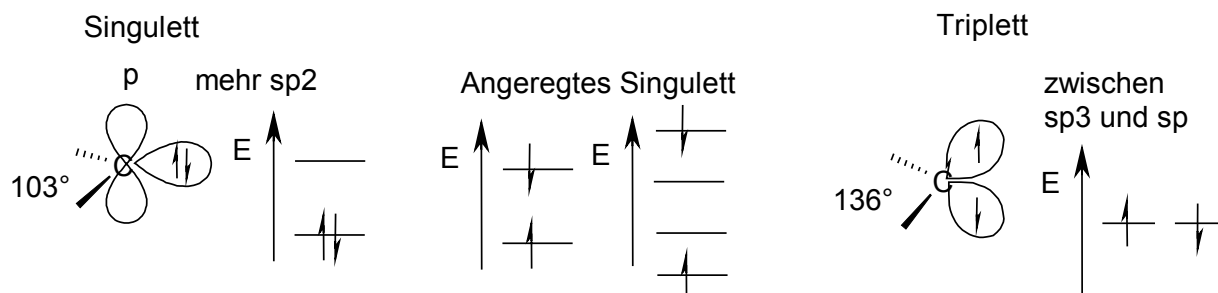
4.3.1.1 Zugangswege zu Carbenen



4.3.1.2 Reaktionen der Carbene



4.3.1.3 Singulett und Triplett Carbene

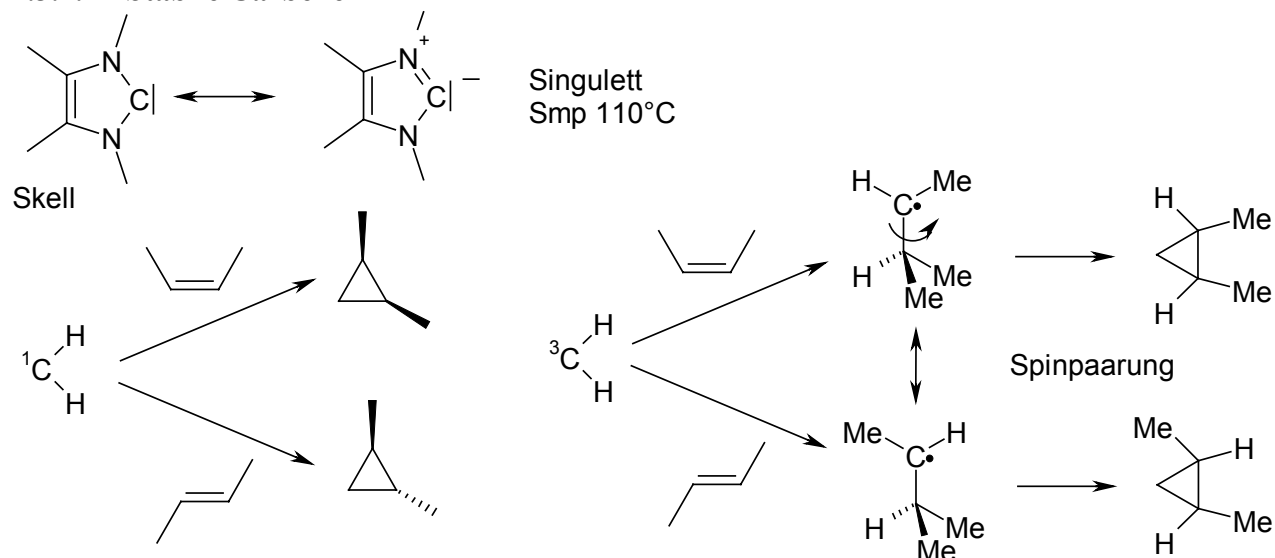


Zuerst entsteht immer Singulett, danach Änderung durch Substituenteneffekte:

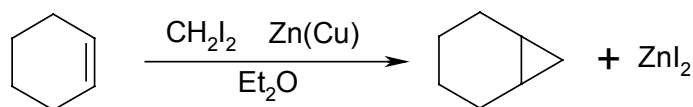
Singulett: $|\text{CCl}_2| |\text{CBr}_2|$ (stabilisieren leeres p -Orbital)

Triplett: $:\text{CH}_2$ $:\text{C}(\text{CN})_2$ $:\text{C}(\text{Ph})_2$ (Stabilisieren Radikale über Mesomerie)

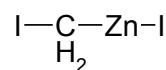
4.3.1.4 Stabile Carbene



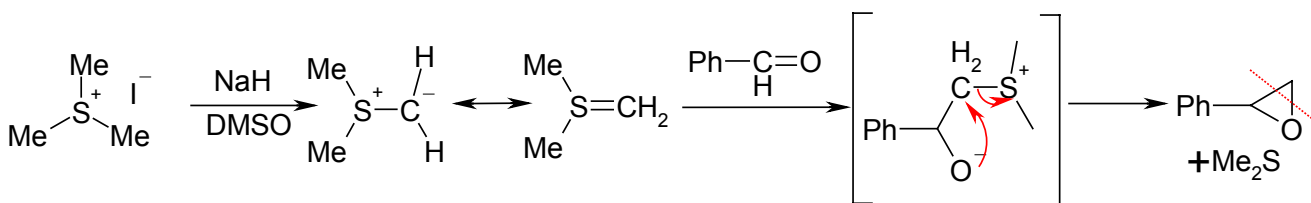
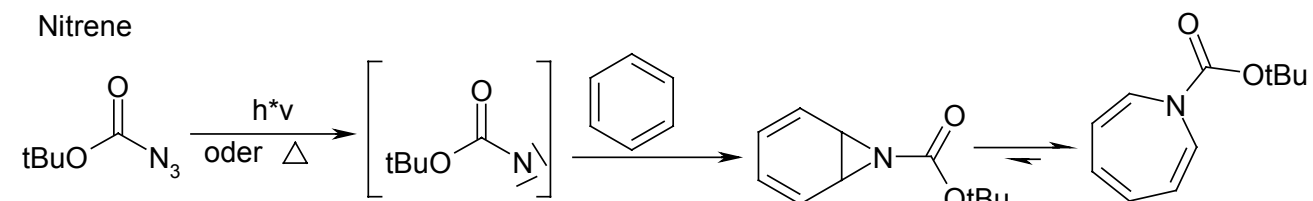
4.3.1.5 Carbenoide: Simmons-Smith-Reaktion



wahrscheinliche Zwischenstufe

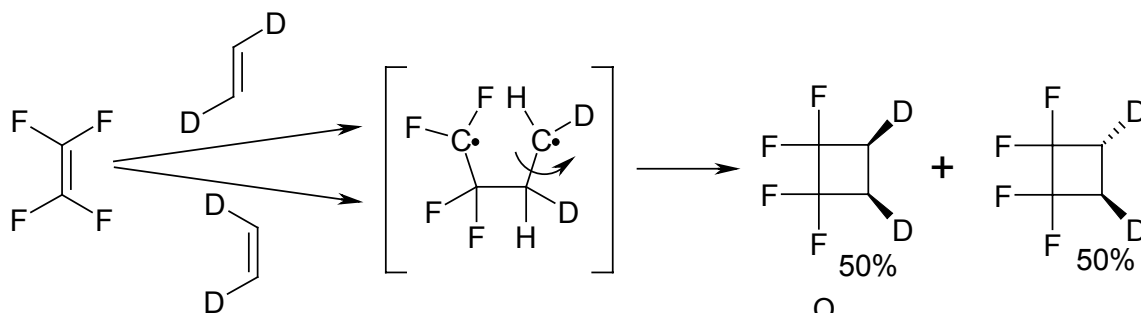
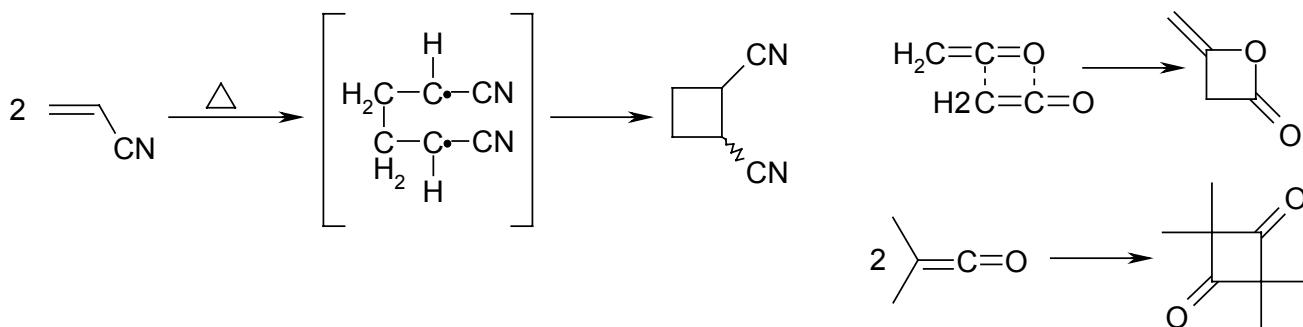


Nitrene



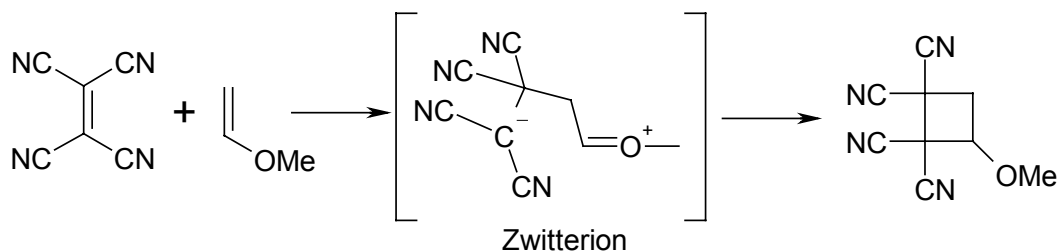
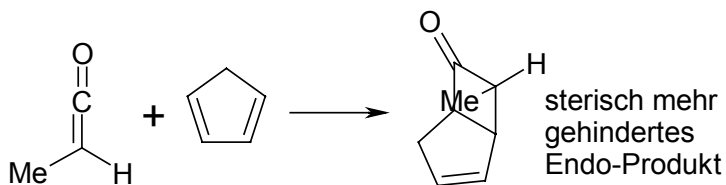
4.3.2 [2+2] Cycloaddition

prinzipiell nicht stereospezifisch (Ausnahmen)



Ausnahme:

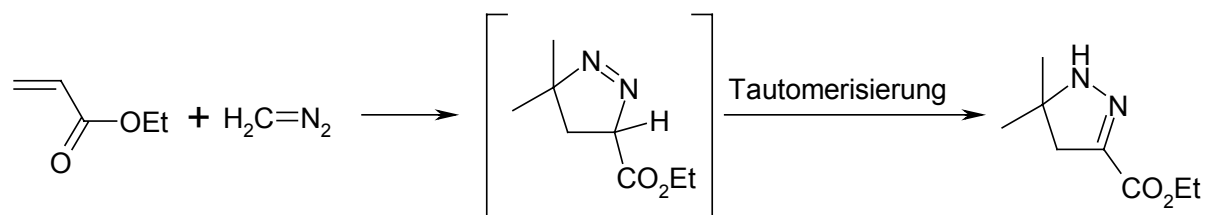
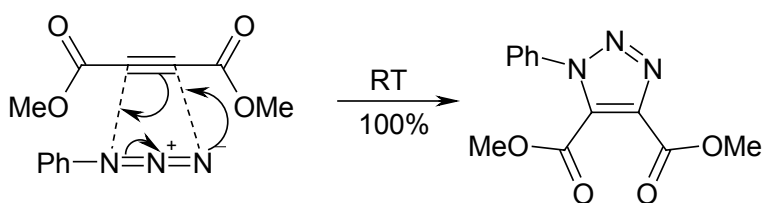
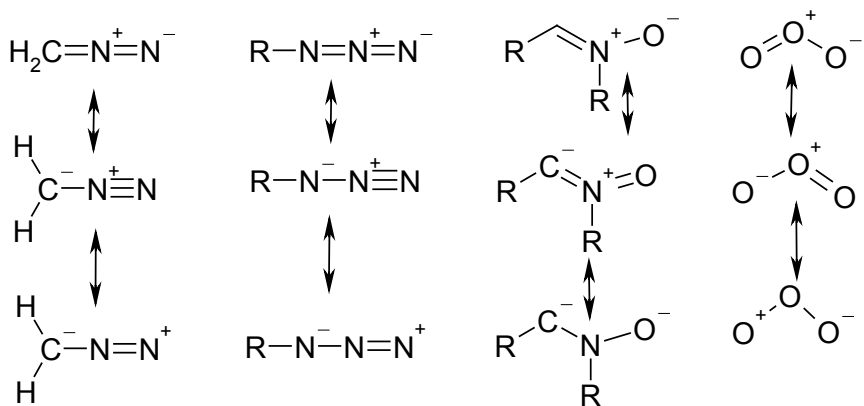
- Keine Diels-Alder bei Ketenen
2. stereospezifisch



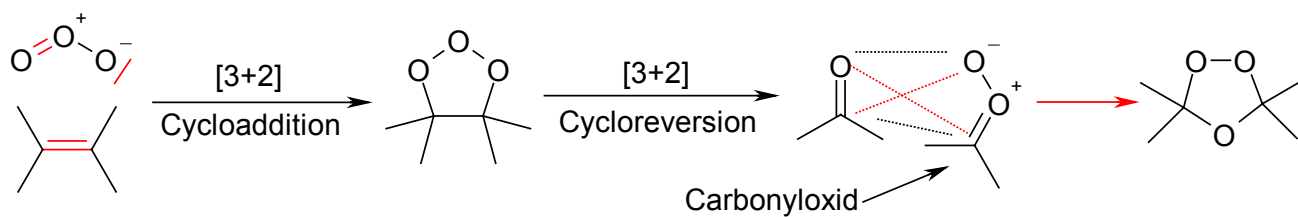
4.3.3 [3+2] Cycloaddition

1,3 dipolare Cycloaddition

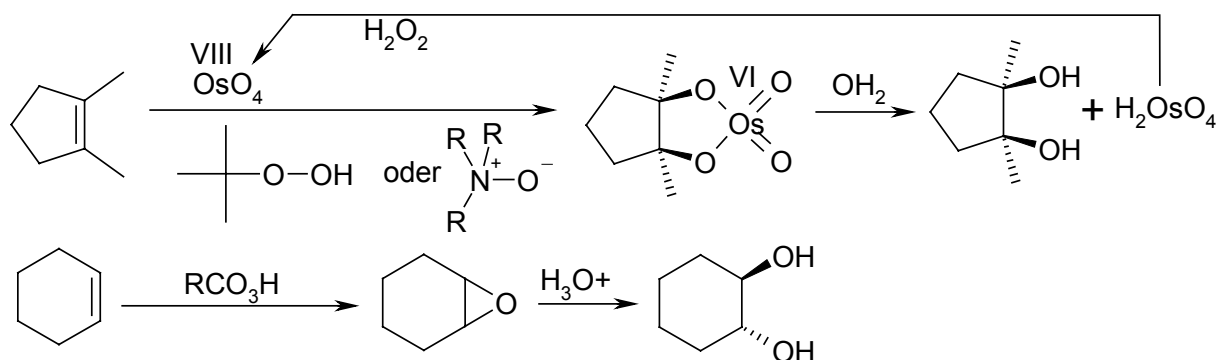
4.3.3.1 Beispiel für 1,3-Dipole



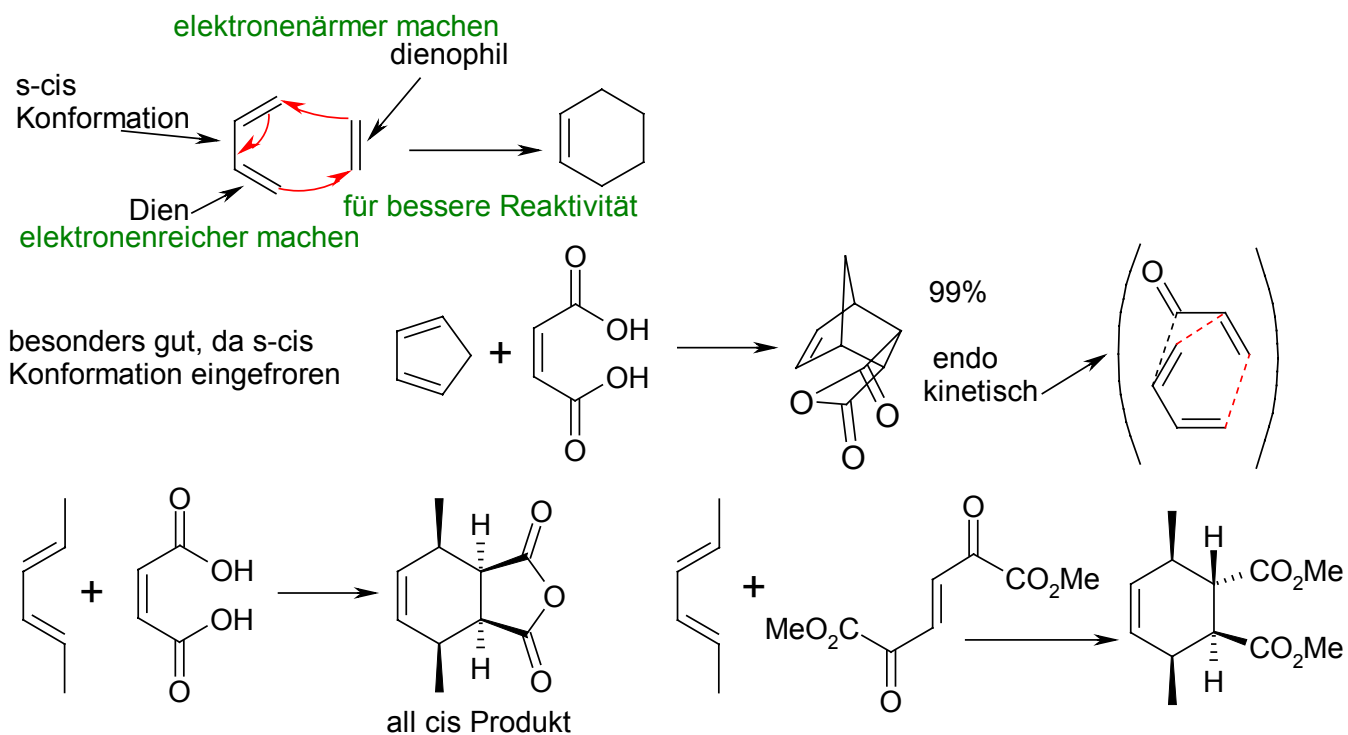
4.3.3.2 Ozonolyse



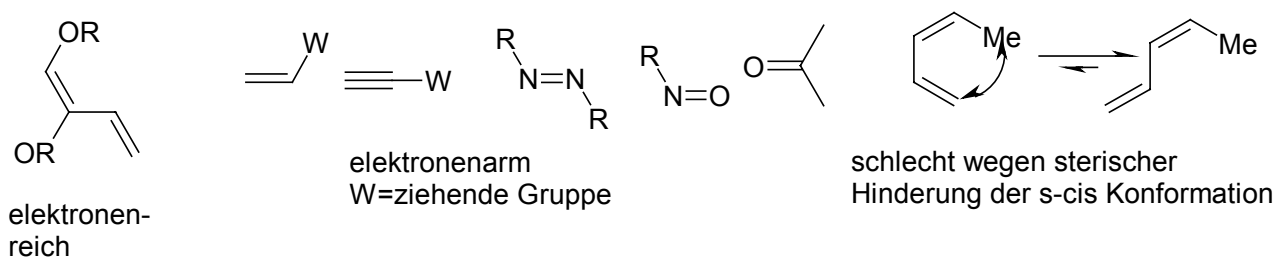
4.3.3.3 Weitere Reaktionen



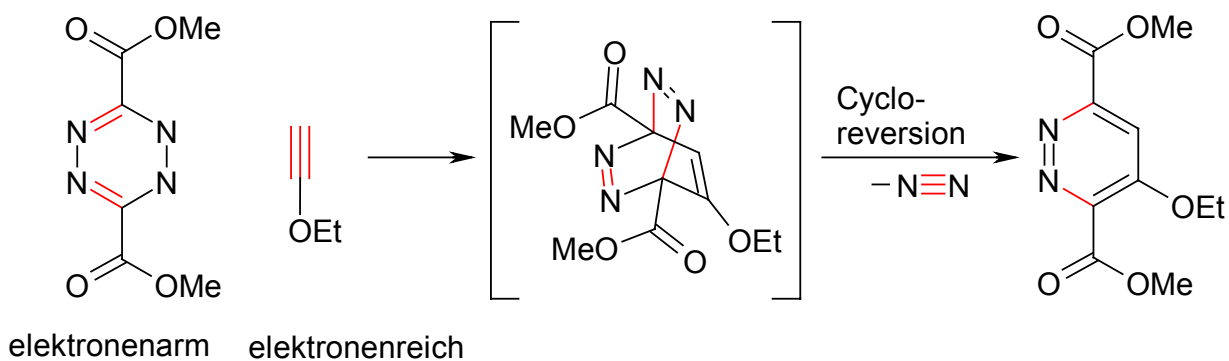
4.3.4 [4+2] Cycloaddition: Diels-Alder-Reaktion



relative Stereochemie bleibt erhalten, bevorzugt wird das Endo-Produkt gebildet

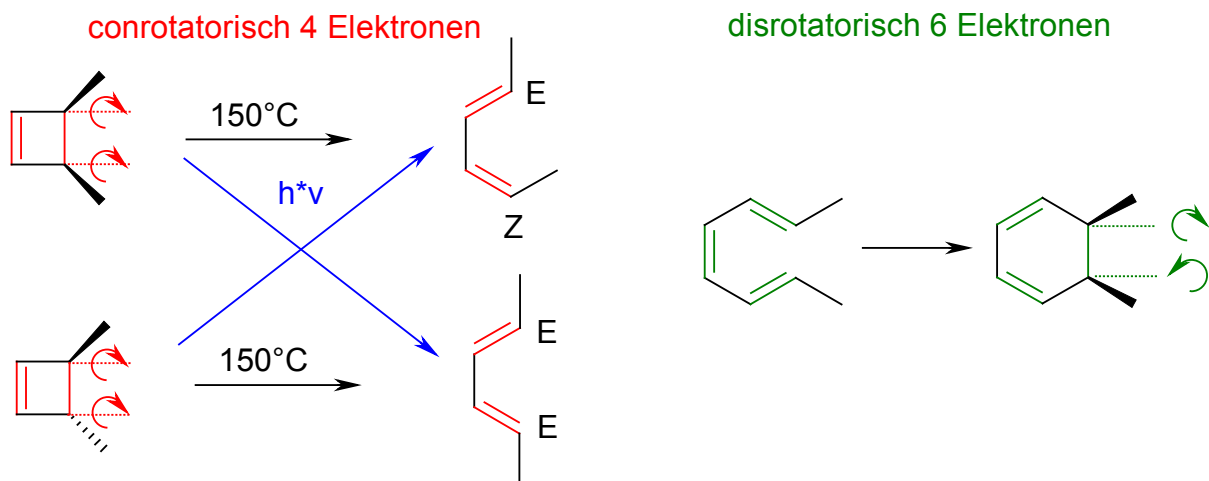
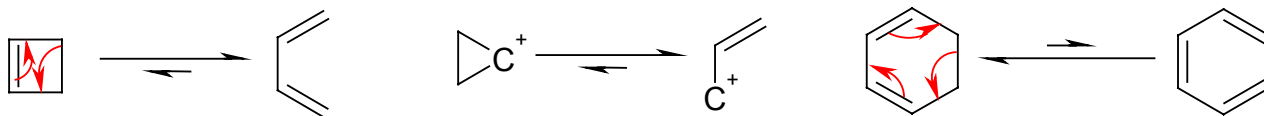


Reverse Diels-Alder (auch Diels -Alder mit inversem Elektronenbedarf):



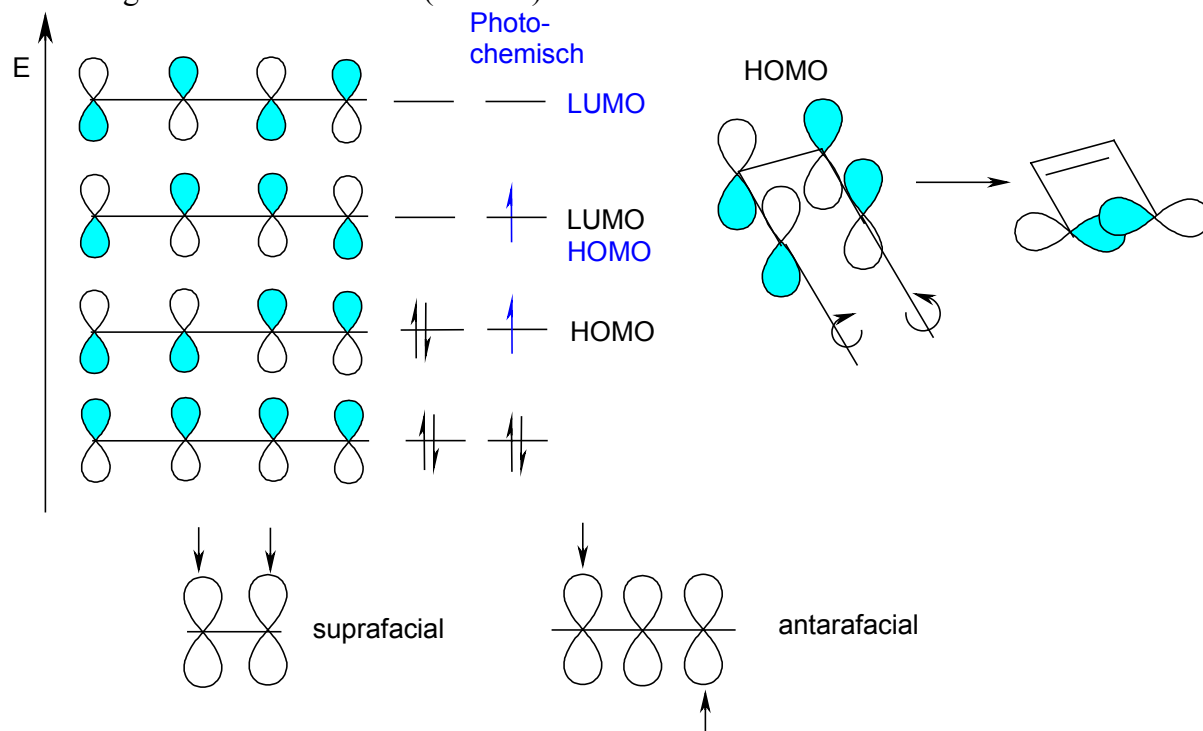
4.4 Woodward-Hoffmann-Regeln

Prinzip der Erhaltung der Orbitalsymmetrie bei electrocyclischen Reaktionen

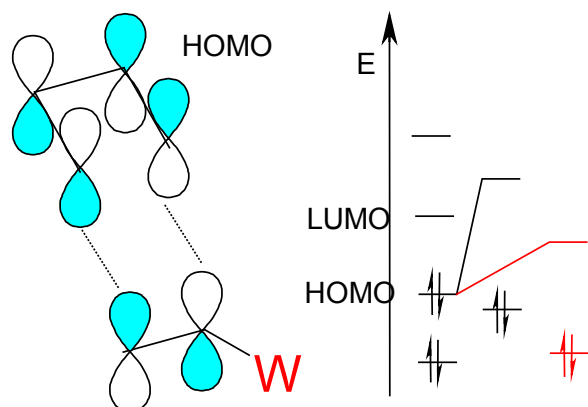


$4n+2$ Elektronen (Hückel-Aromat) \rightarrow **disrotatorisch**
 $4n$ Elektronen (Hückel Anti-Aromat) \rightarrow **conrotatorisch**

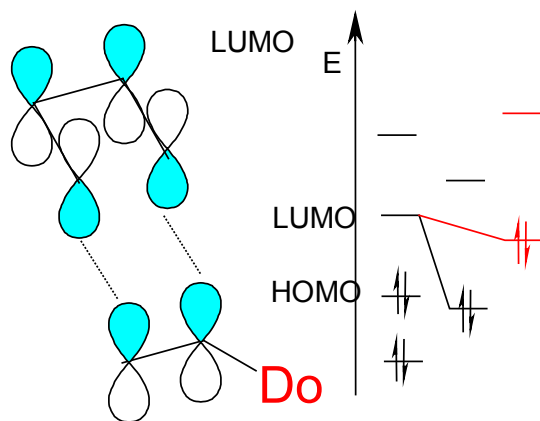
Erklärung: Grenzorbitaltheorie (FUKUI)



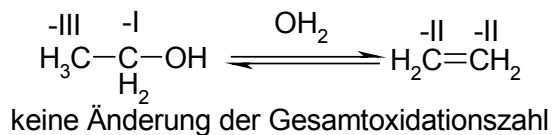
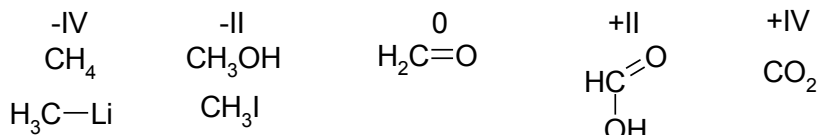
normale Diels-Alder



inverse Diels-Alder



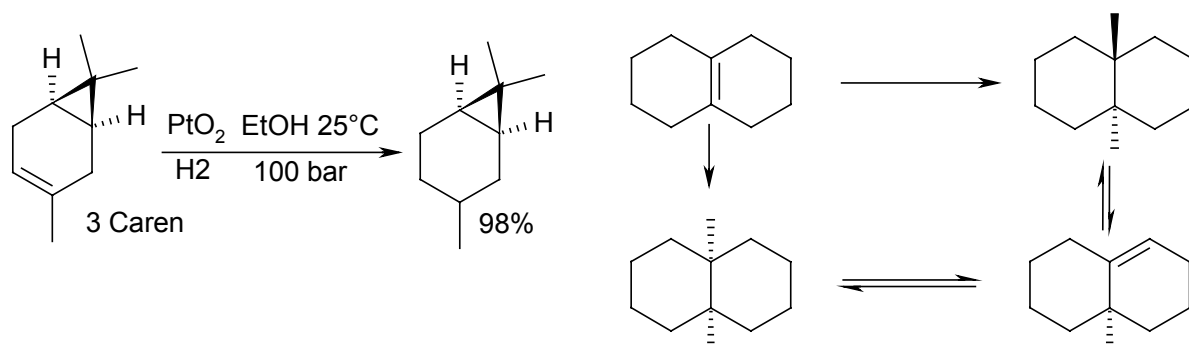
5 Reduktion&Oxidation



5.1 Reduktion

5.1.1 Reduktionsmittel

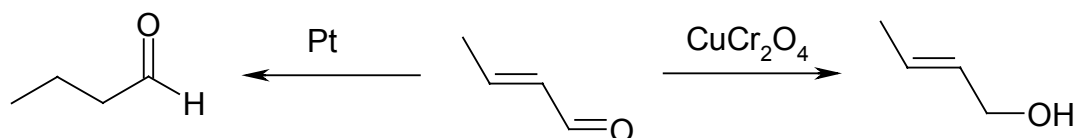
5.1.1.1 Katalytische Hydrierung



Katalysatoren: Platin, Palladium auf Trägern;

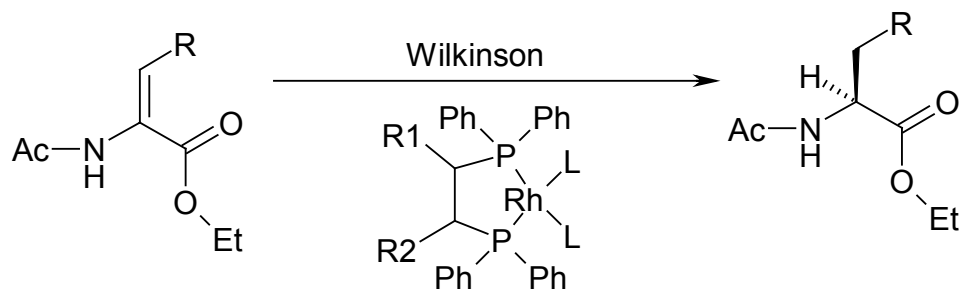
Raney-Nickel: $\text{NiAl} + \text{NaOH} \rightarrow \text{Ni} + \text{Al}(\text{OH})_4^-$

Kupferchromit: $\text{CuO} + \text{Cr}_2\text{O}_3 \rightarrow \text{CuCr}_2\text{O}_4$

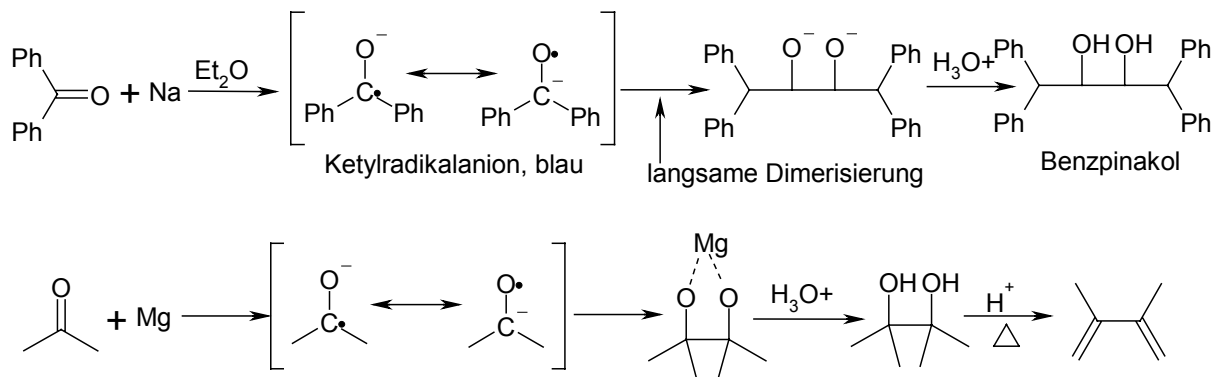


Homogene Katalyse: Katalyse in Lösung, nicht an Oberfläche

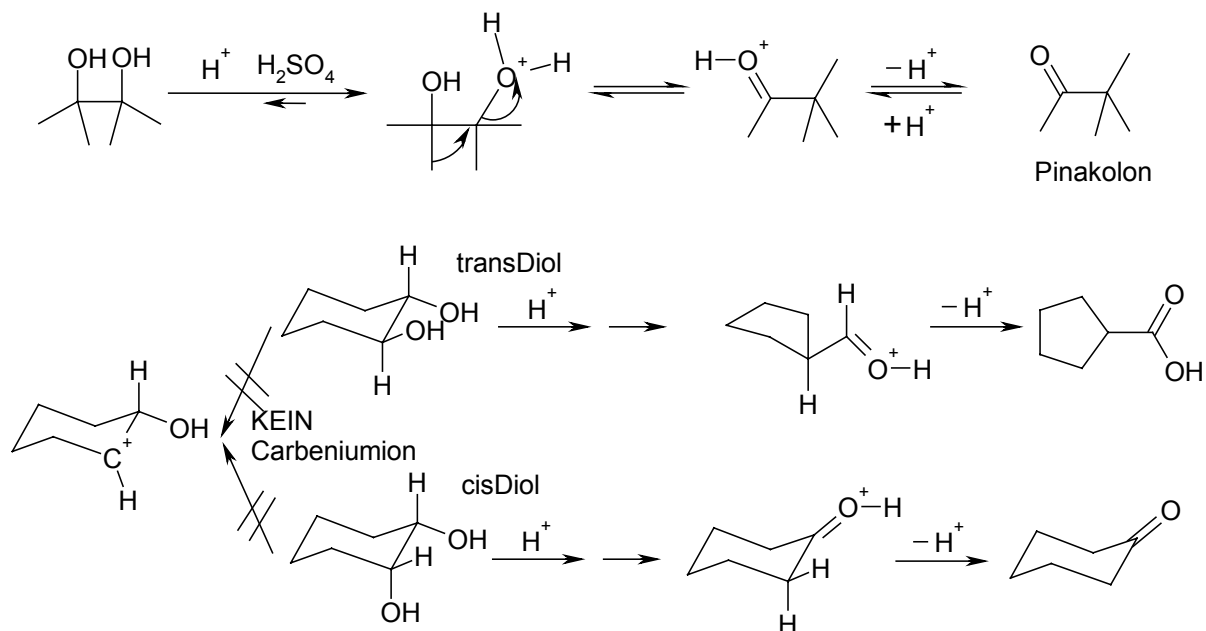
Wilkinson-Katalysator: $\text{ClRh}(\text{PPh}_3)_3$



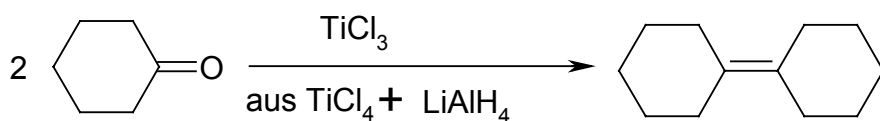
5.1.1.2 Reduktion mit Metallen



5.1.1.3 Pinakol-Umlagerung

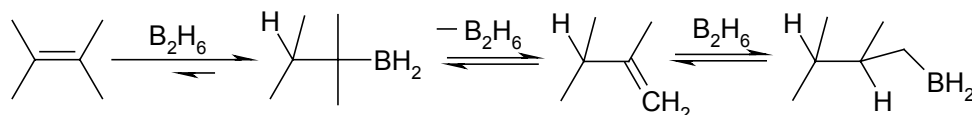
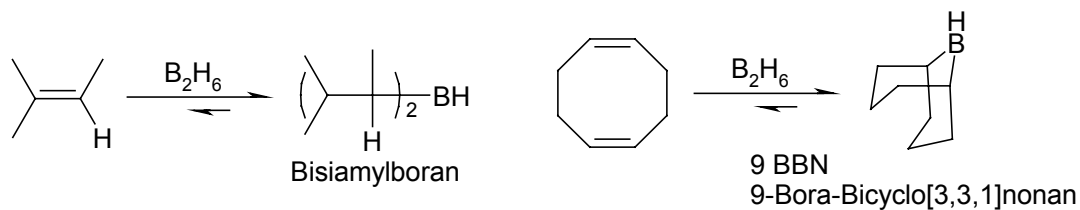


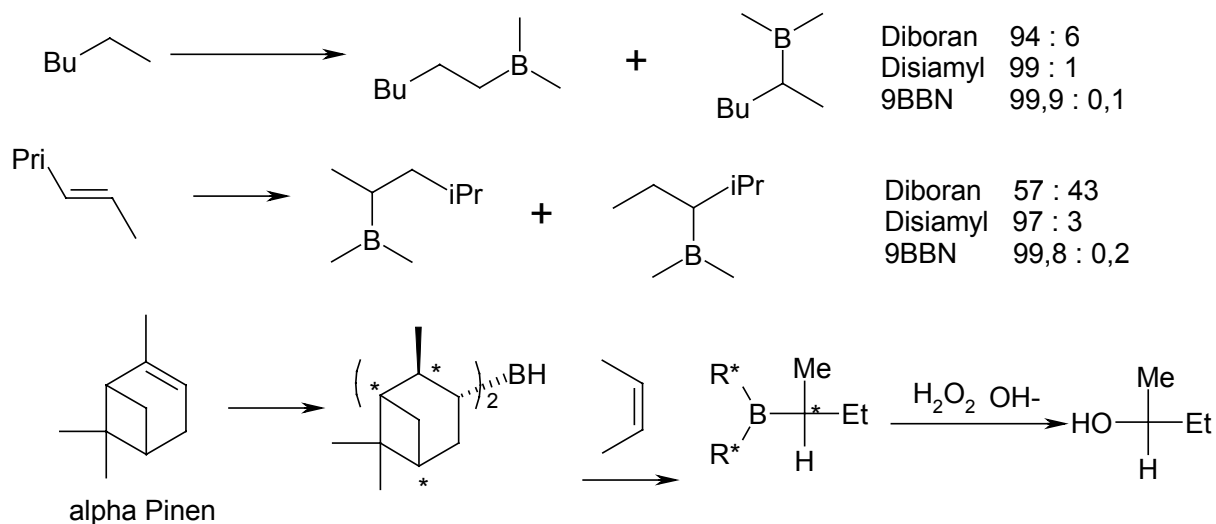
5.1.1.4 McMurrey-Reaktion



5.1.1.5 Reduktion mit Boranen

Diboran: B_2H_6 Synthese aus $2\text{NaBH}_4 + 4\text{BF}_3 \rightarrow 3\text{NaBF}_4 + 2\text{B}_2\text{H}_6$





5.1.1.6 Anorganische Hydride

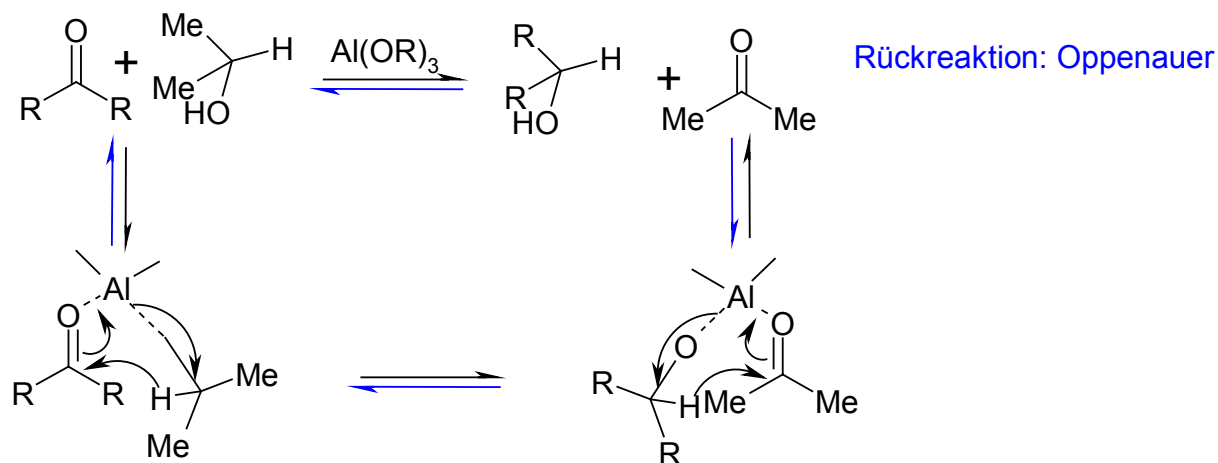


(Nur Aldehyde und Ketone)

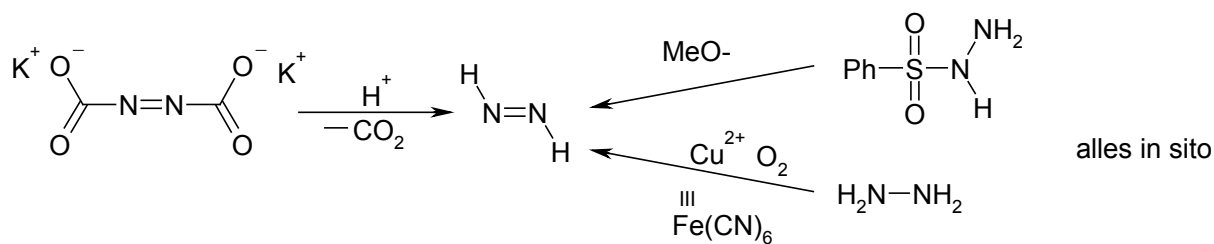
5.1.1.7 Organische Hydriddonatoren

Meerwein-Ponndorf-Verley-Reduktion

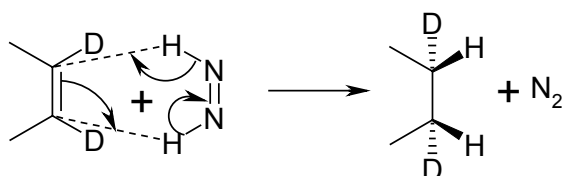
Die Rückreaktion ist als Oppenauer-Oxidation bekannt.



5.1.1.8 Diimin

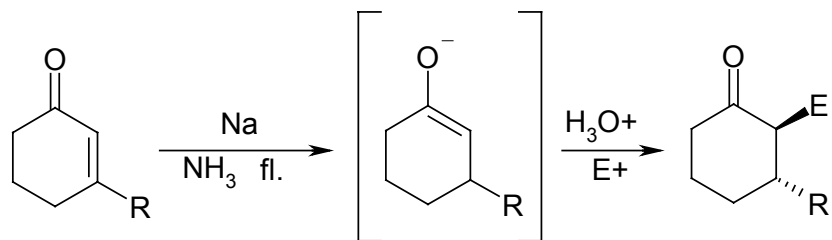


cis Anlagerung von Wasserstoff (konzertierte Endgruppenübertragung):

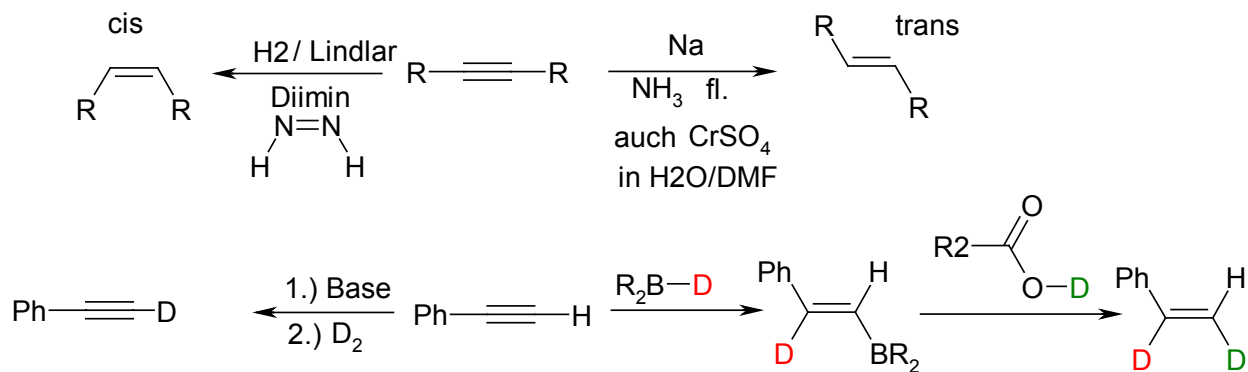


5.1.2 Reduktion funktioneller Gruppen

5.1.2.1 Alkene



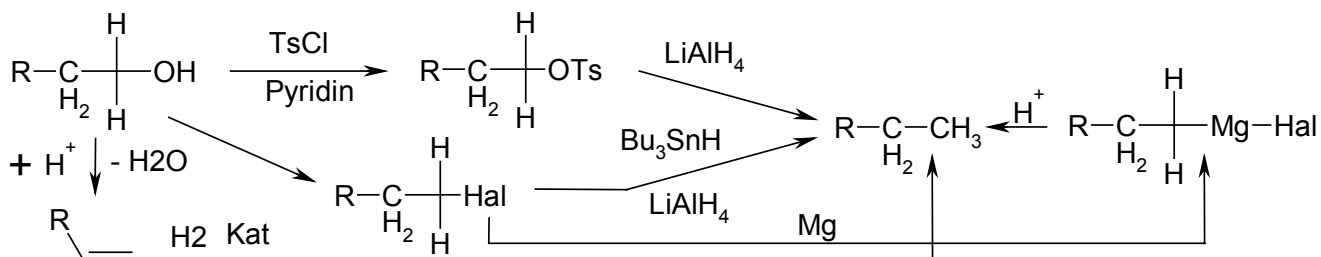
5.1.2.2 Alkine



5.1.3 Aromaten

Birch-Reduktion

5.1.3.1 Halogenide, Alkohole, Ether, Phenole



nie R-OH direkt

radikalisch:

AIBN C_6H_6 im Rückfluss:

Start: $R \cdot + HSnBu_3 \rightarrow RH + \cdot SnBu_3$

Kette: $R'-Br + \cdot SnBu_3 \rightarrow R' \cdot + BrSnBu_3$

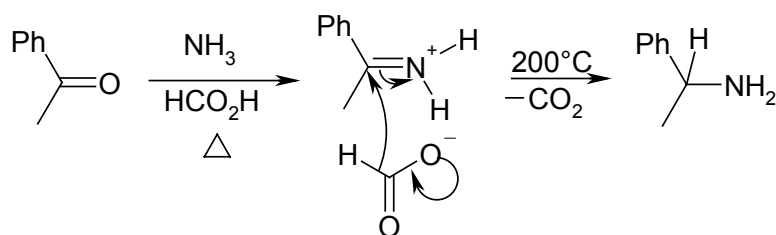
$R' \cdot + HSnBu_3 \rightarrow RH + \cdot SnBu_3$

$I > Br > Cl$ F inert

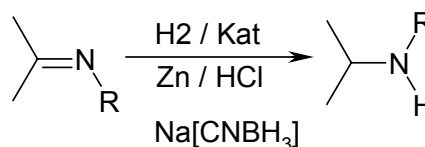
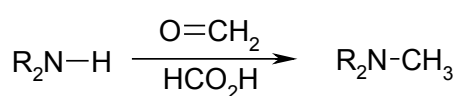
5.1.3.2 Aldehyde und Ketone

zu Alkoholen: (NaBH₄)

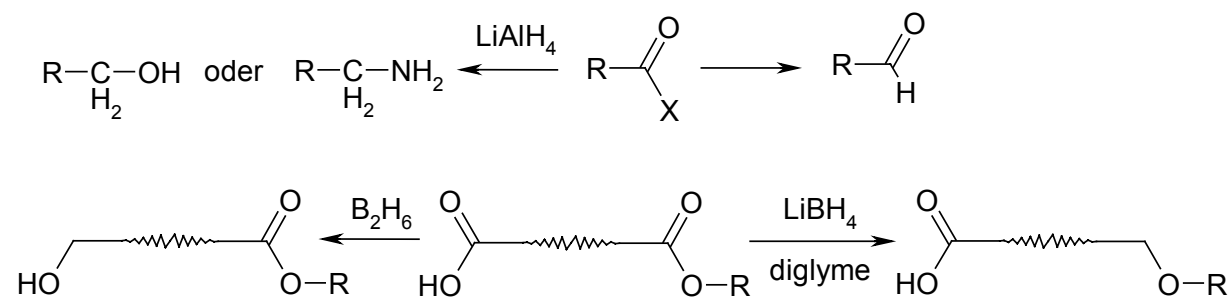
Reduktive Aminierung (Leukert-Wallach-Reaktion)



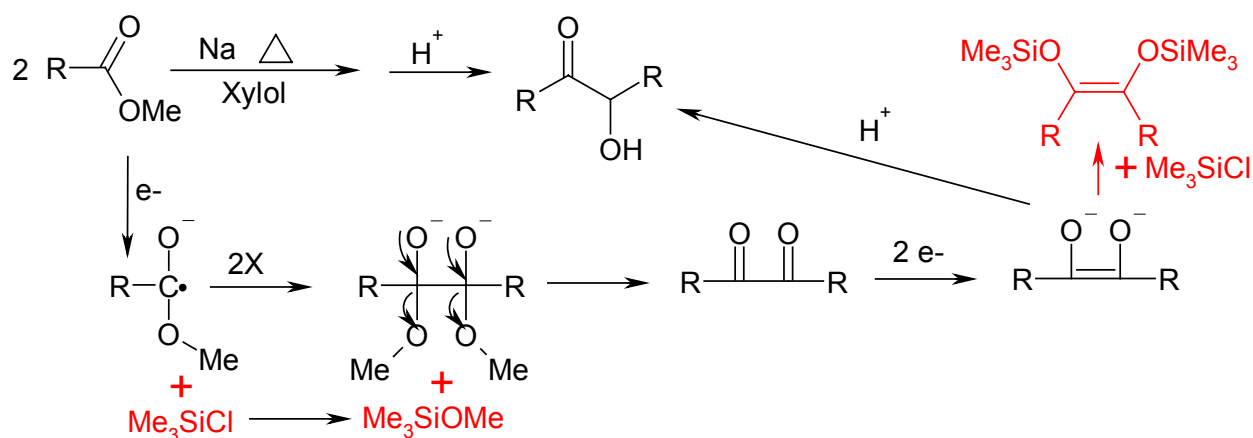
Eschweiler-Clarke



Reduktion zu Kohlenwasserstoffen: Wolf-Kishner-Reduktion, Clemensen-Reduktion, etc.



5.1.3.3 Carbonsäuren und Derivate

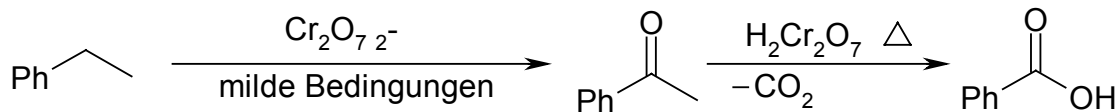


5.1.3.4 Acyloin-Kondensation

5.2 Oxidation

5.2.1 Alkane

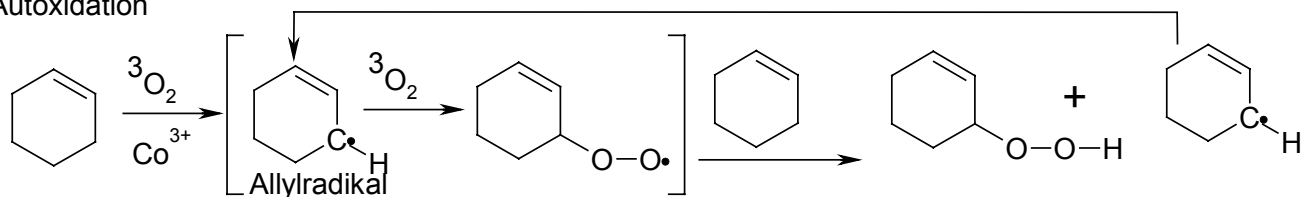
Chromsäure und Kaliumpermanganat



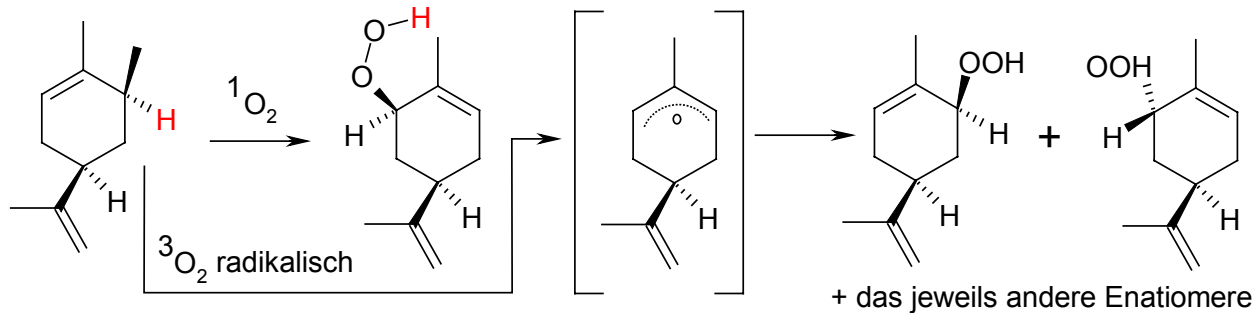
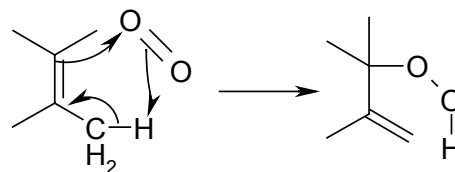
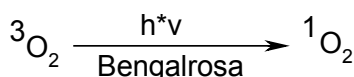
5.2.2 Alkene

5.2.2.1 Autoxidation, Singulett-Sauerstoff

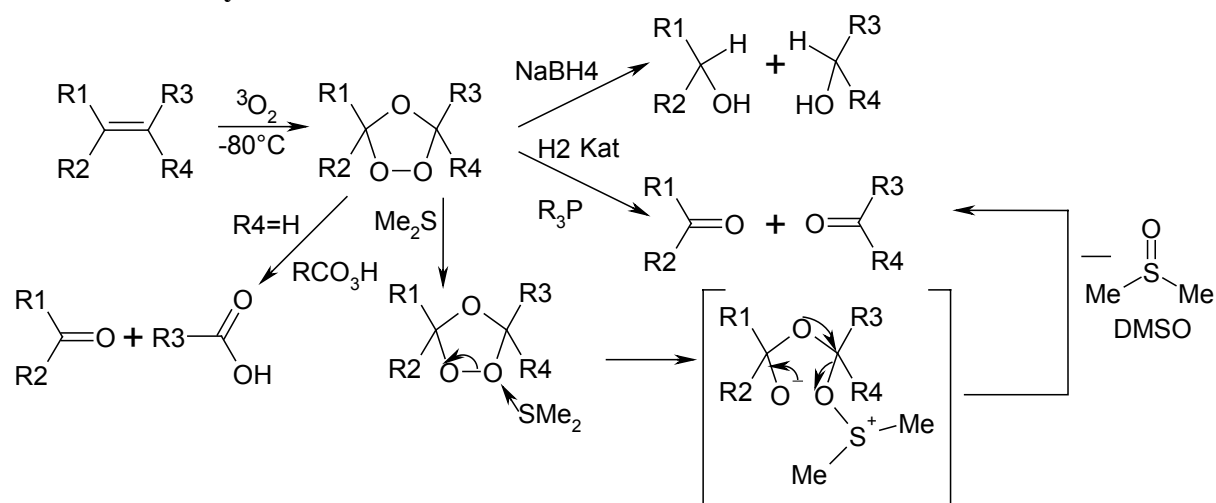
Autoxidation

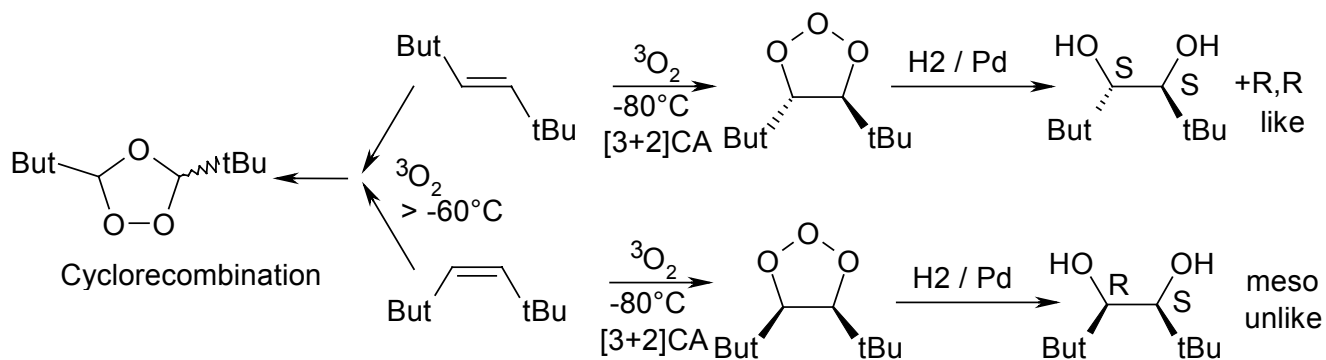


Singulett-Sauerstoff

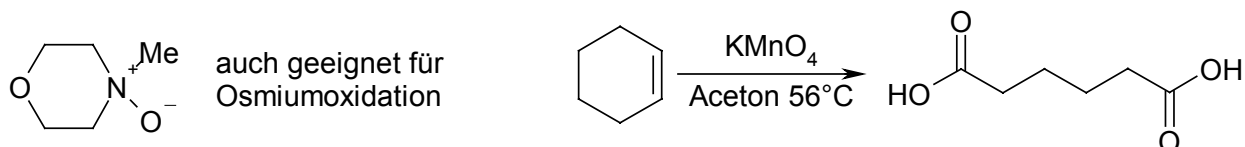
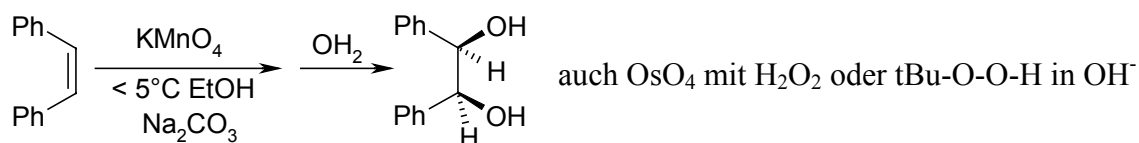


5.2.2.2 Ozonolyse

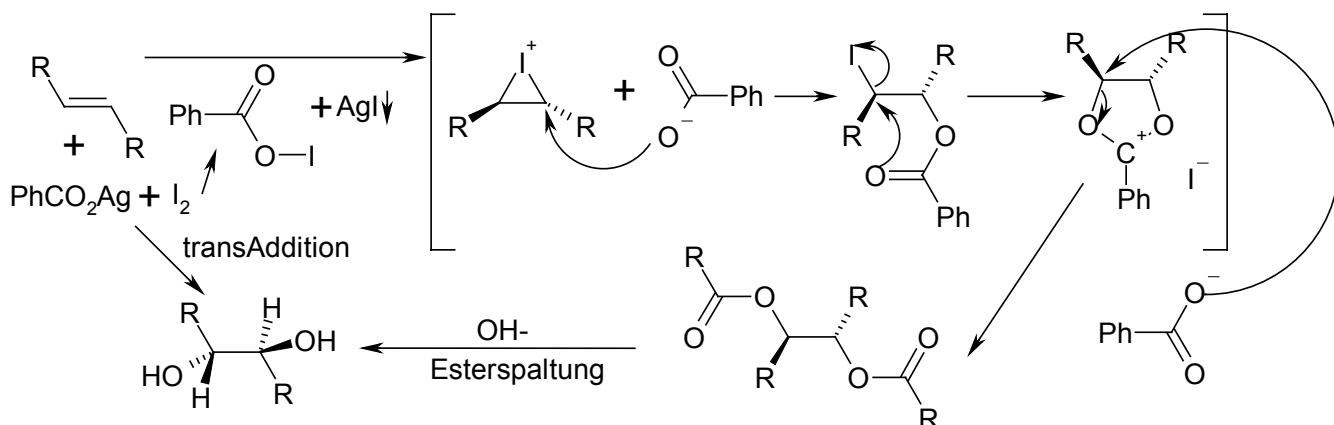




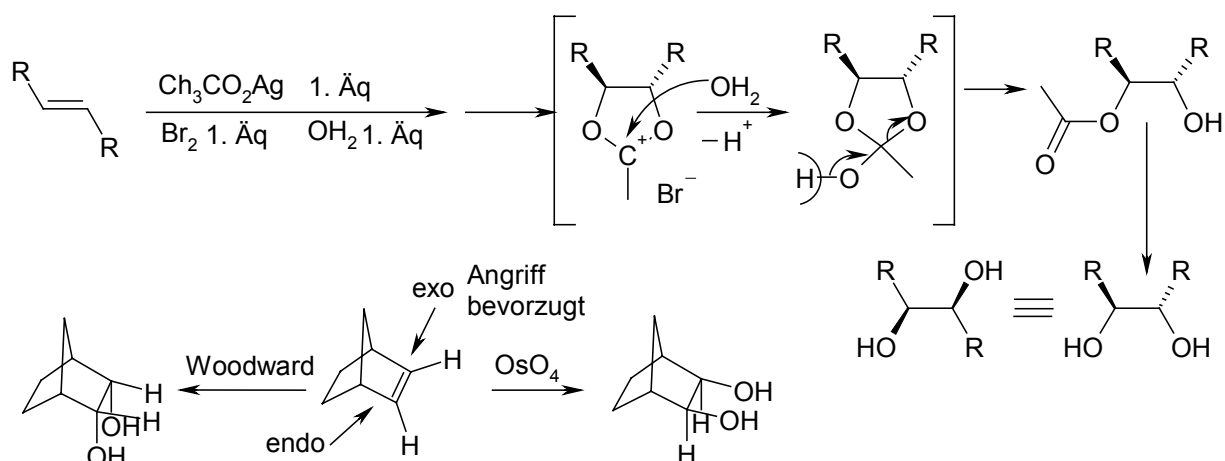
5.2.2.3 Diole (Glycol)



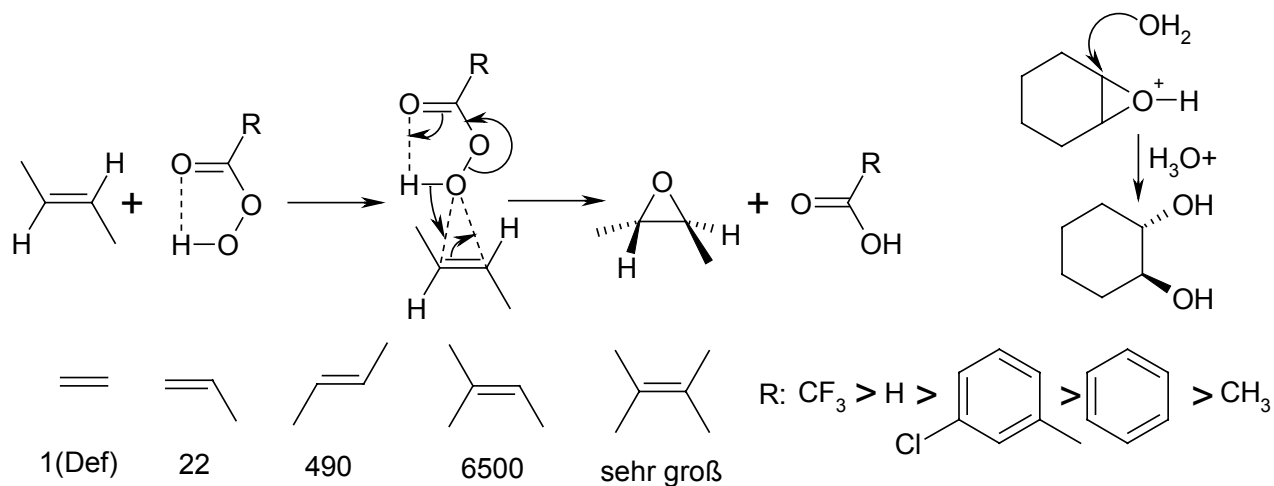
Prevost-Reaktion:



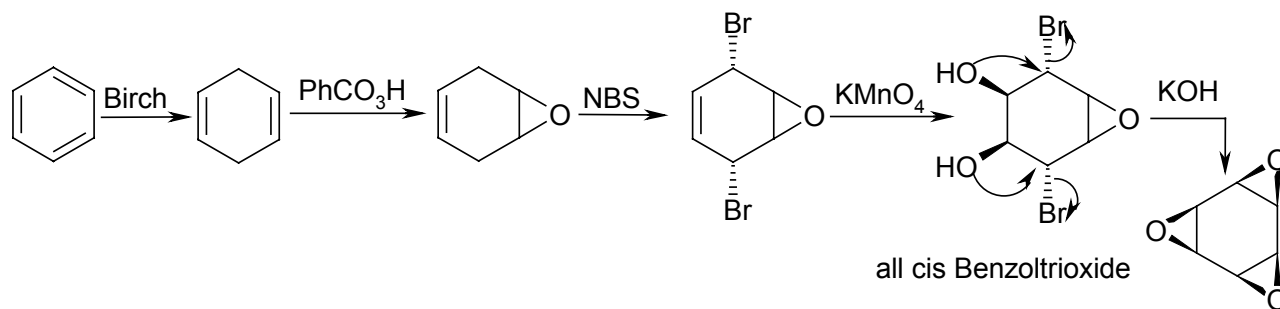
Woodward syn-Hydroxylierung



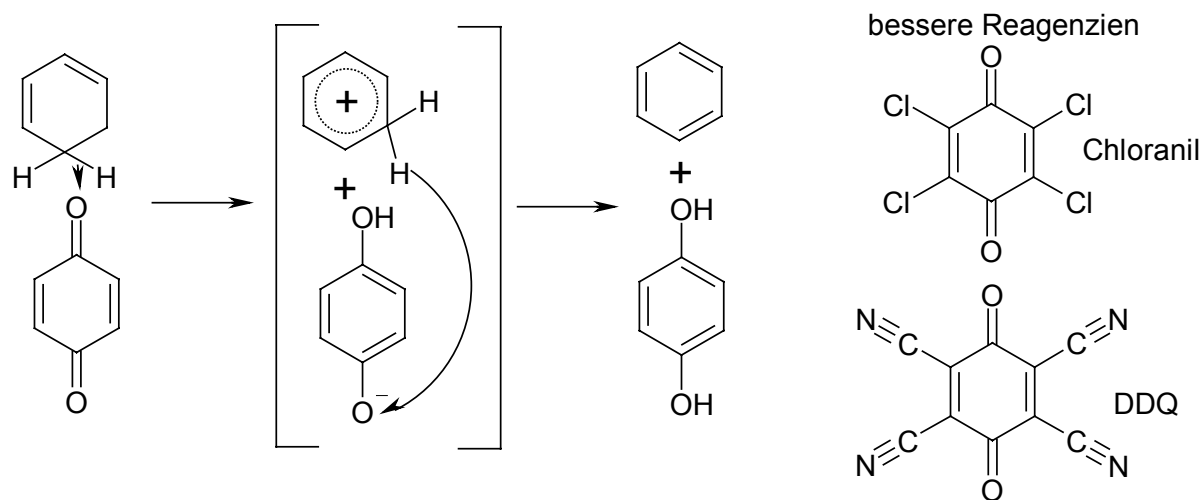
5.2.2.4 Epoxide



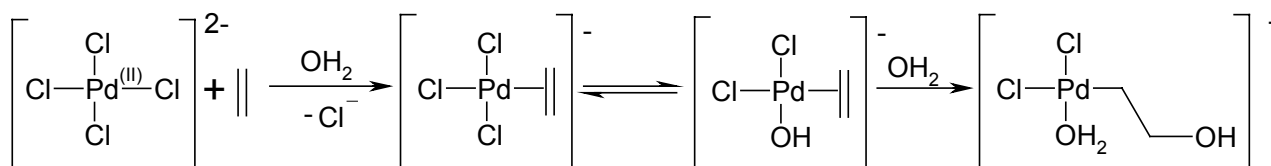
Prinzbach-Reaktion

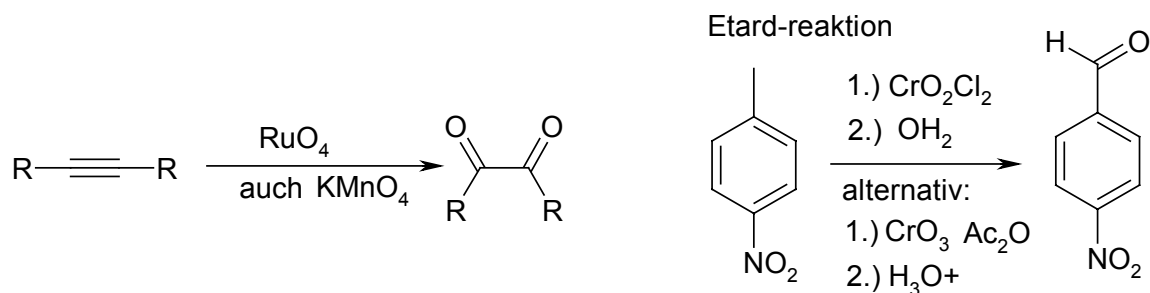
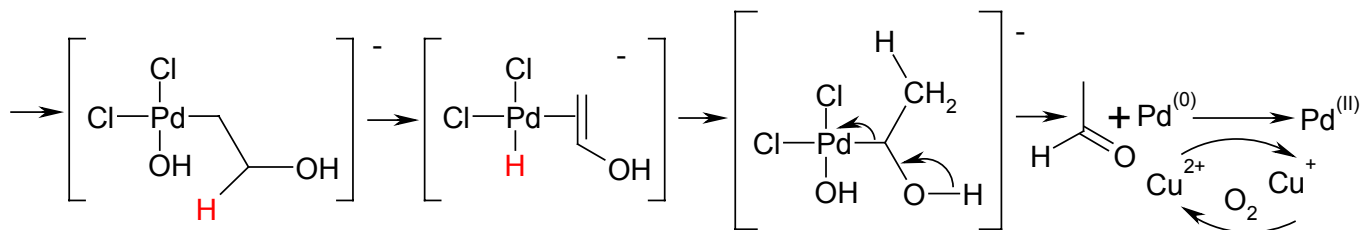


5.2.2.5 Dehydrierung mit Chinonen



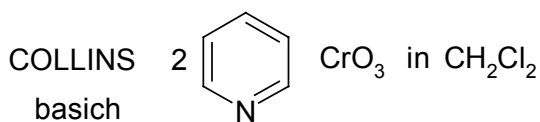
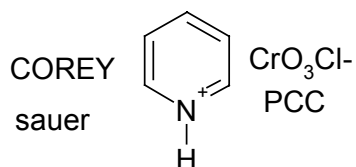
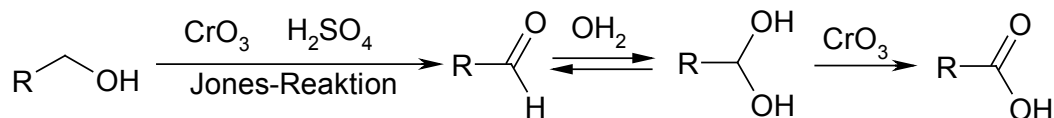
5.2.2.6 Oxidation mit Pd-Salzen (Wacker-Prozess)





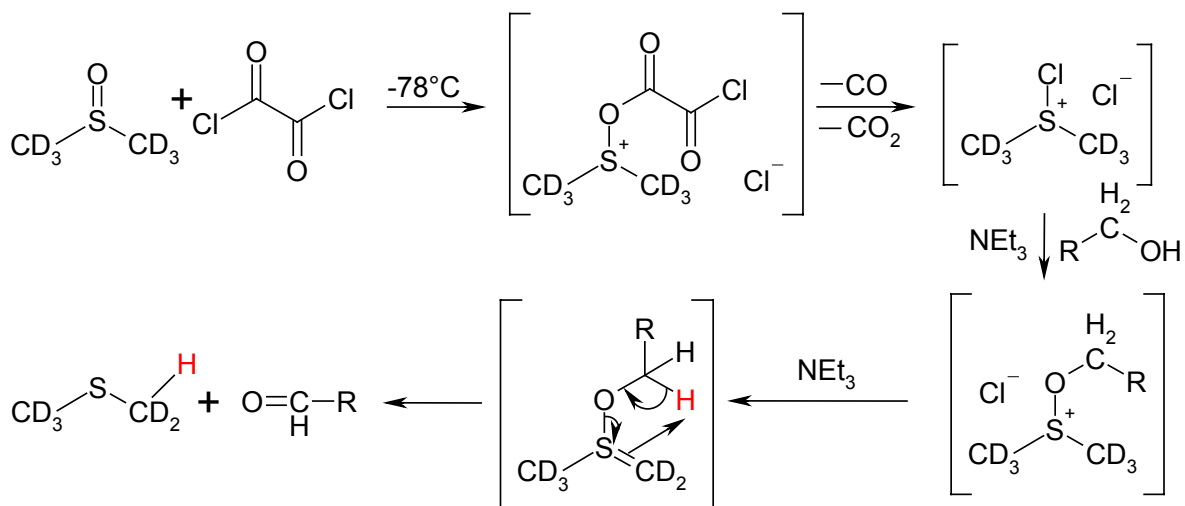
5.2.3 Alkine

5.2.4 Alkohole

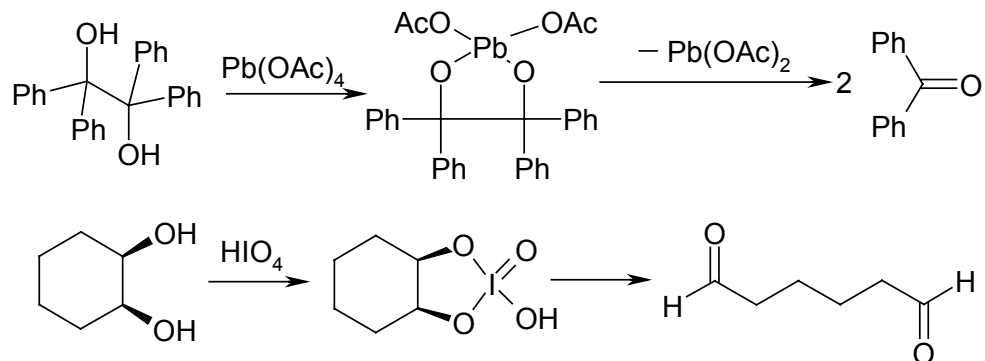


5.2.4.1 Chromsäure

5.2.4.2 Swern-Oxidation

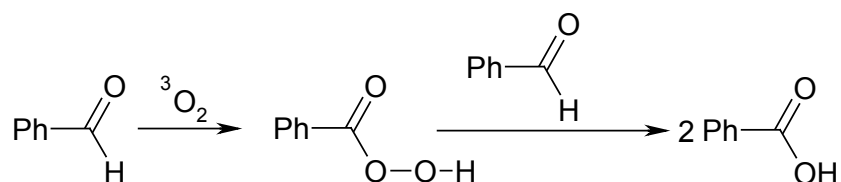


5.2.4.3 Glykolspaltung

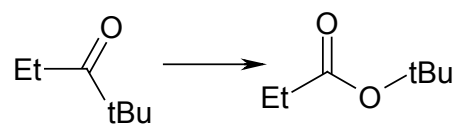
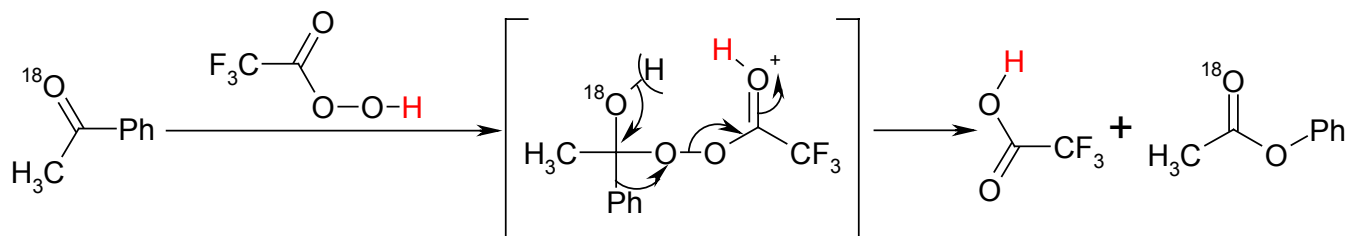


5.2.5 Aldehyde

Autoxidation



5.2.6 BAYER-VILLIGER-Oxidation

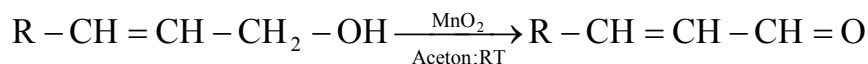


Wanderungstendenz
tert > H, Ph > sec > prim > Me

6 Carbonylverbindungen

6.1 Darstellung der Aldehyde und Ketone

6.1.1 Oxidation



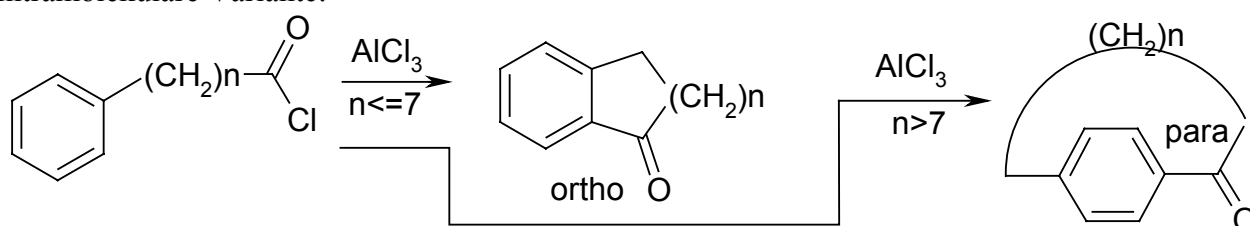
6.1.2 Reduktion

Rosenmund-Reaktion abgeschwächtes LiAlH_4

6.1.3 Aromatische Aldehyde und Ketone

6.1.3.1 Friedel-Crafts-Alkylierung

Intramolekulare Variante:

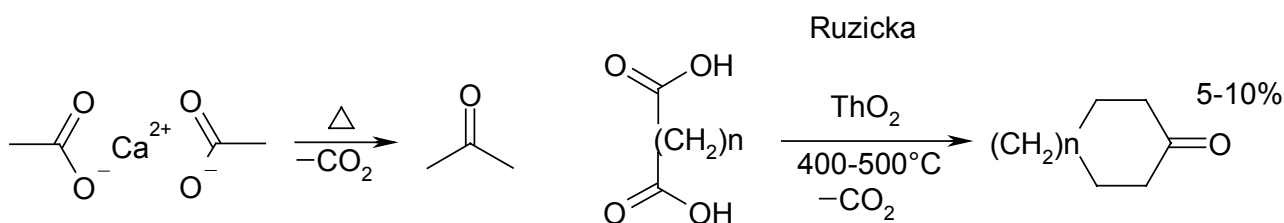


6.1.3.2 Hydrolyse geminaler Dihalogenide



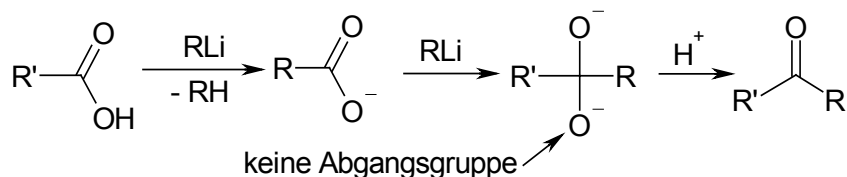
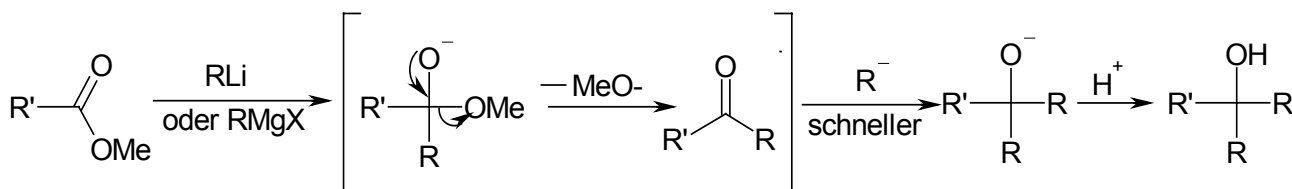
6.1.4 Thermische Decarboxylierung von Carbonsäuresalzen

Ruzicka-Synthese: Wird wegen des ThO_2 kaum angewandt.

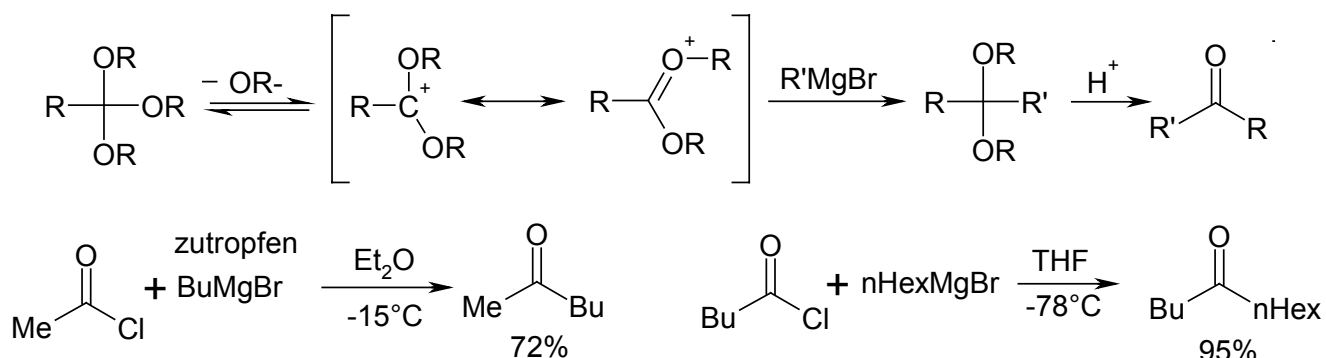


6.1.5 Metallorganische Synthesen

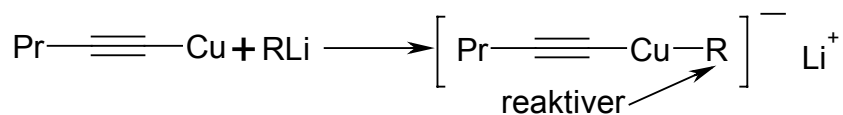
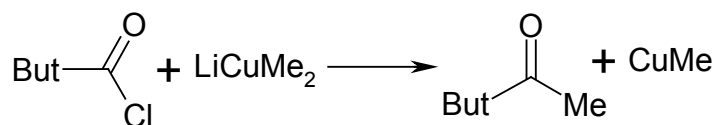
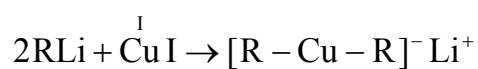
6.1.5.1 Organolithiumverbindungen



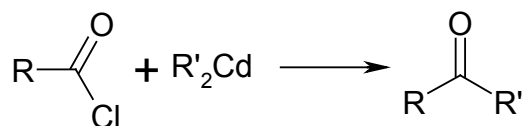
6.1.5.2 Grignard-Reagenzien



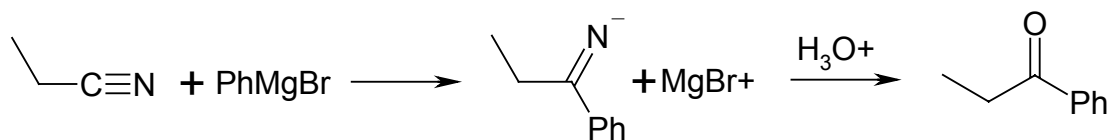
6.1.5.3 Organocuprate



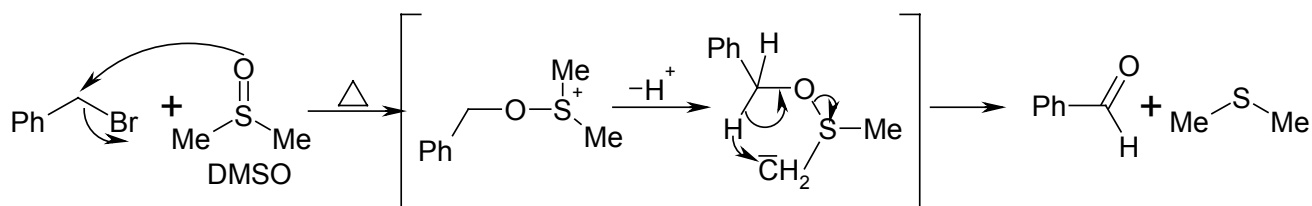
6.1.5.4 Organocadmium



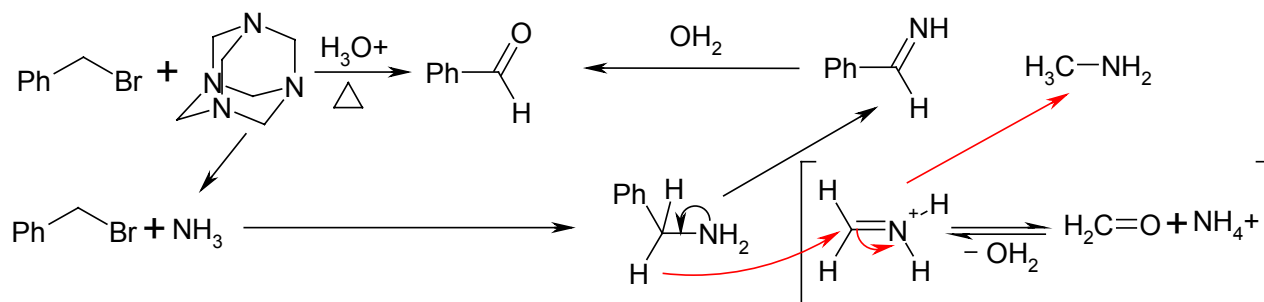
6.1.5.5 Nitrile + Grignard



6.1.6 Kornblum-Oxidation

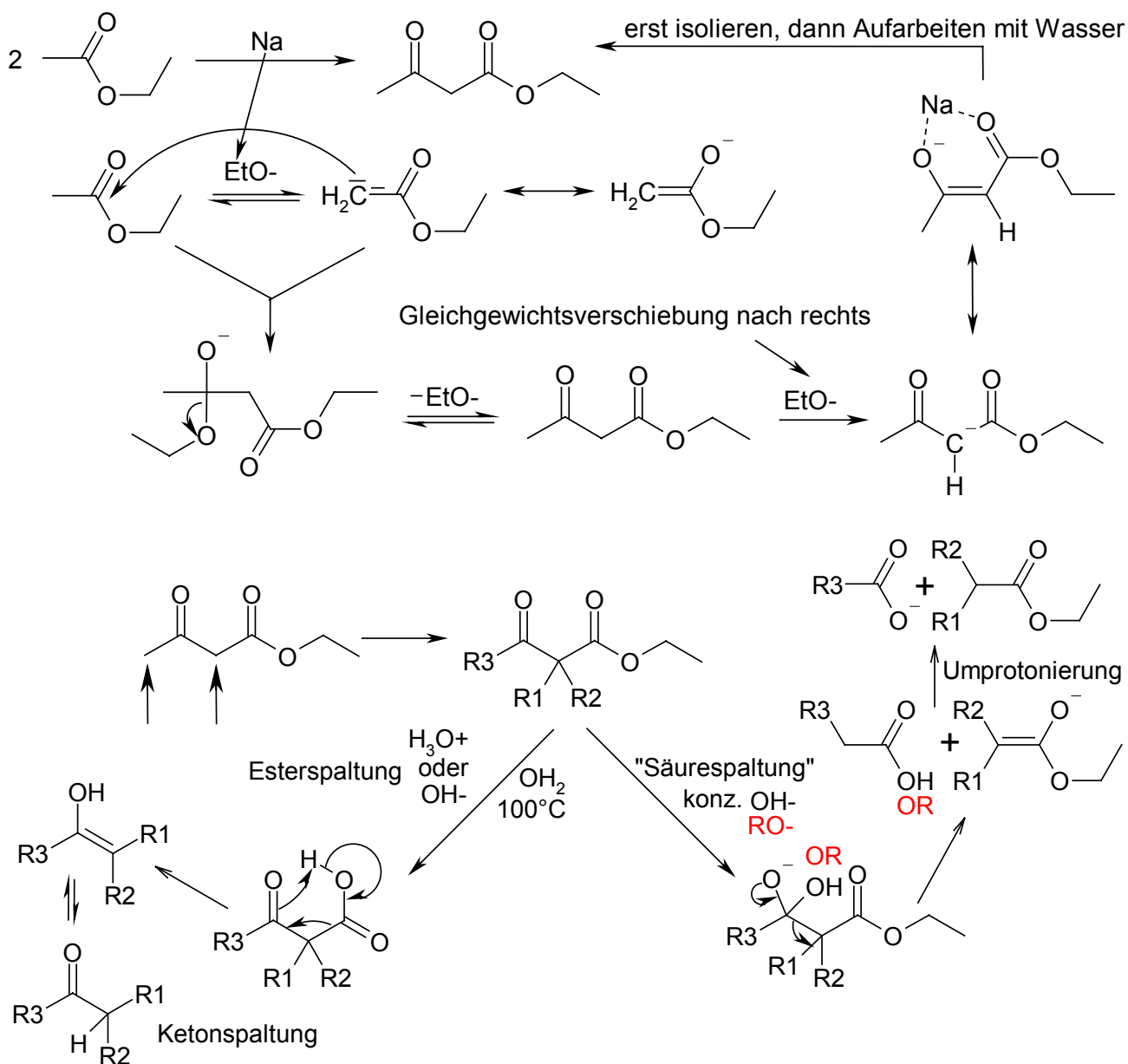


6.1.7 Sommelet-Reaktion

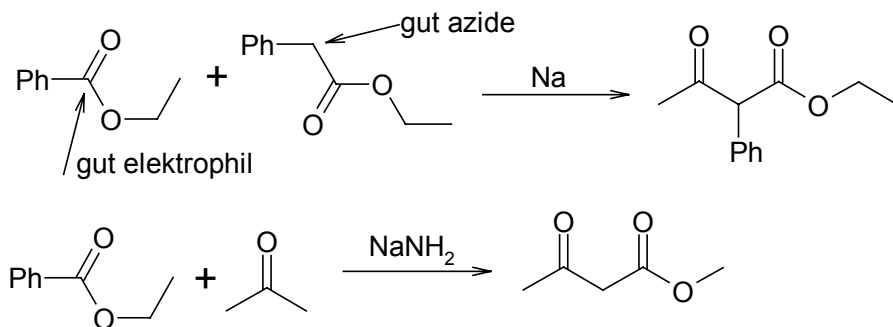


6.1.8 Esterkondensation (Claisen-Kondensation)

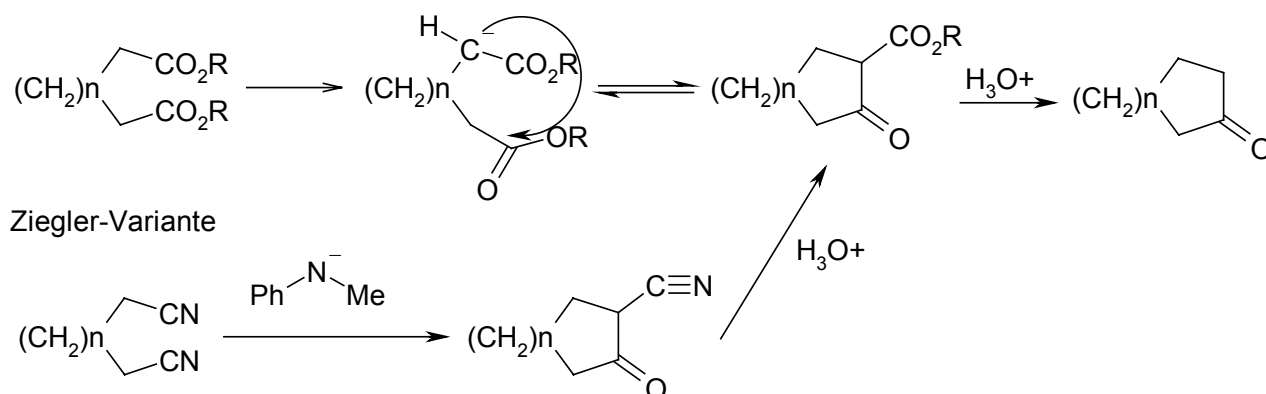
6.1.8.1 Mechanismus



6.1.8.2 Verschiedene Ester

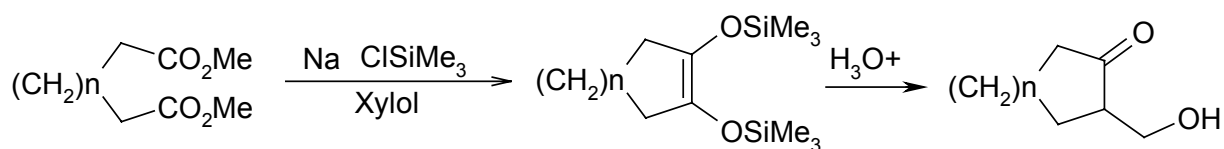


6.1.8.3 Dieckmann-Variante (Intramolekular)



6.1.9 Acyloin-Kondensation

(siehe auch Redox!)

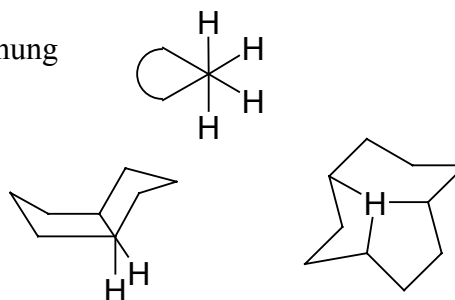


Ringbildungstendenz

1. Bayer-Spannung: ideal = $109,5^\circ$ Tetraederwinkel
 Cyclopropan 60° Cyclobutan 90° 5,6,7-Ringe fast ideal

2. Pitzer-Spannung, Konformative Spannung
 5,6,7-Ringe fast ideal

3. Transannulare Wechselwirkung
 (treten von 8 bis 12 auf)



4. Entropie
 Dreiringe

Vierringe



3 Hauptkonfigurationen je Bindung
 $\rightarrow 1/9$ nur nutzbar (1 von 9)
 \rightarrow Dreiringe bilden sich leichter

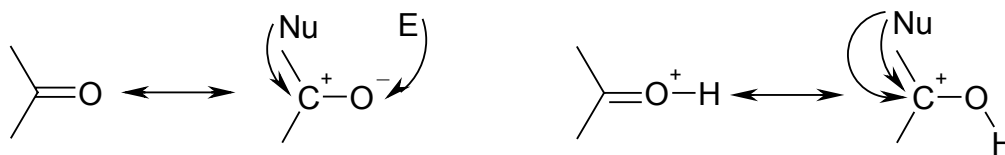


$1/81$ statistisch
 energetisch noch
 ungünstiger

6.2 Bindungszustand

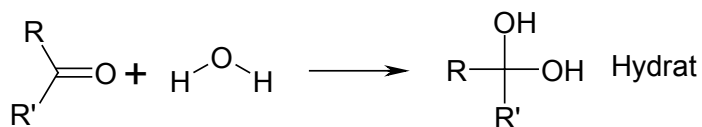
C-C : 83 C=C : 146 $\rightarrow \pi = 63$

C-O : 86 C=O : 175 $\rightarrow \pi = 89$ C=O meist(nicht immer) günstiger

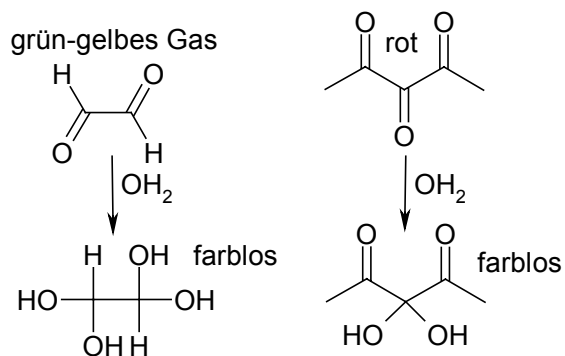


6.3 Reaktionen

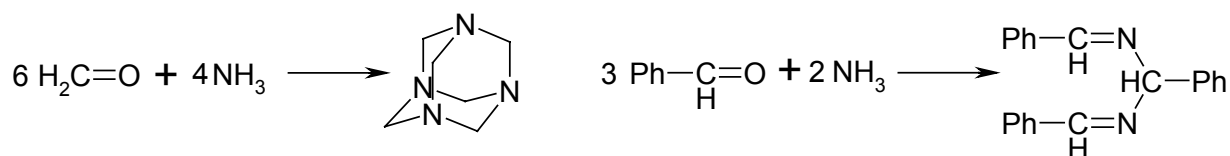
6.3.1 Nucleophile Addition von H-X



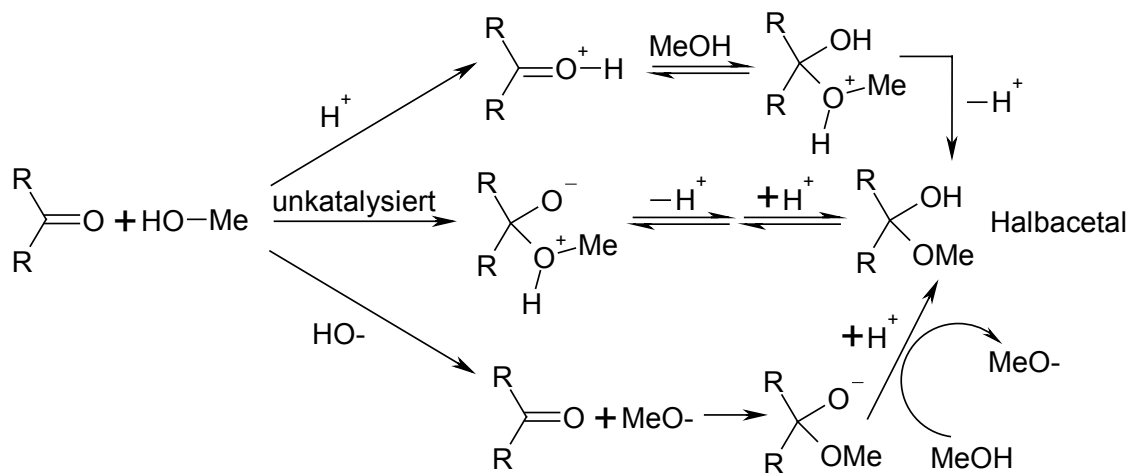
R	R'	%Hydrat
H	H	>98
H	Me	64
H	Et	57
Me	Me	<1
H	CCl ₃	100
Me	CH ₂ Br	57



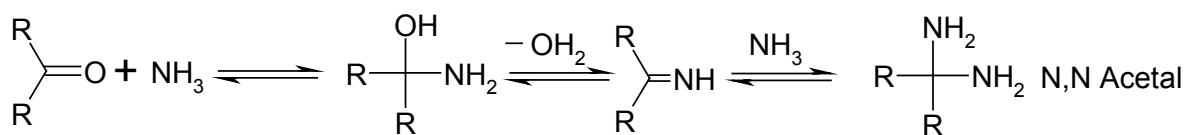
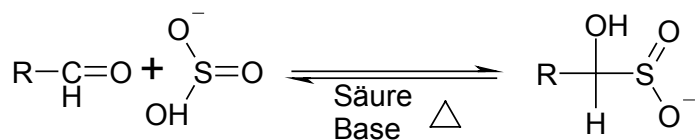
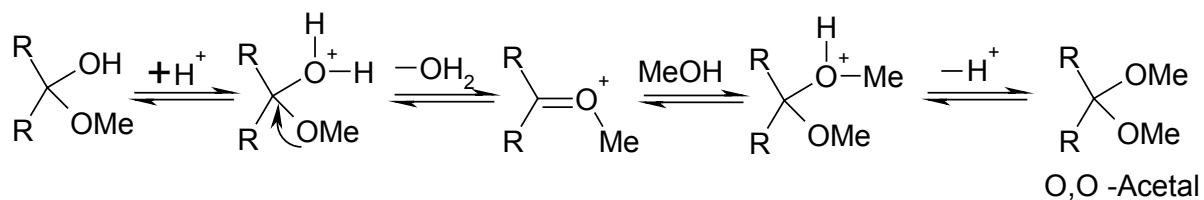
6.3.2 Addition von Ammoniak



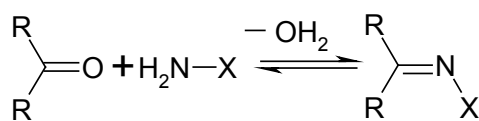
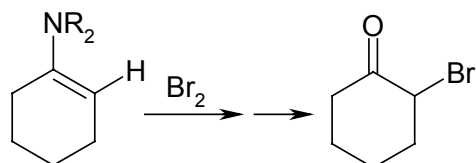
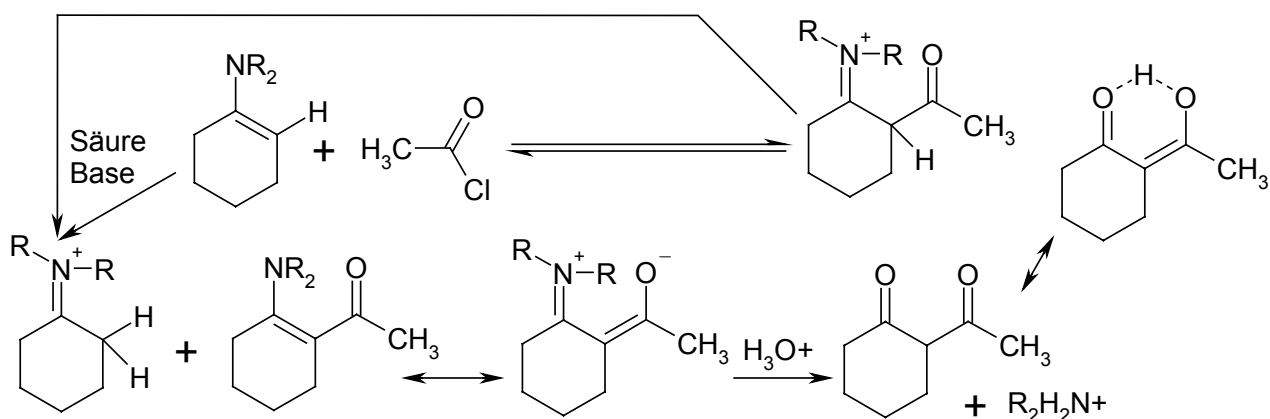
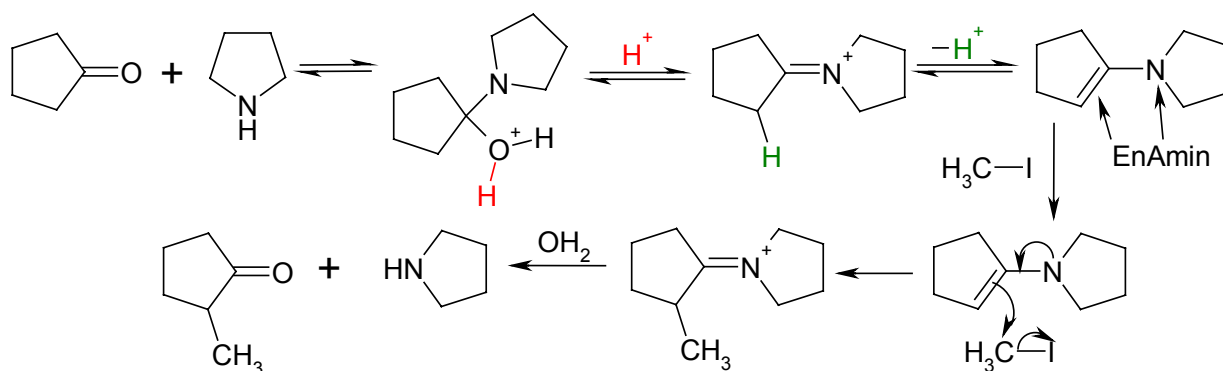
6.3.3 Addition von Alkoholen



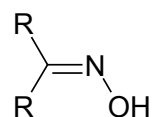
Weiterreaktion ist säurekatalysiert:



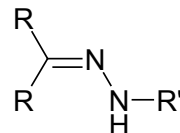
6.3.4 Enamine



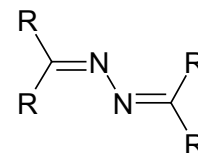
X= OH
Oxime



X= NHR'
Hydrazone

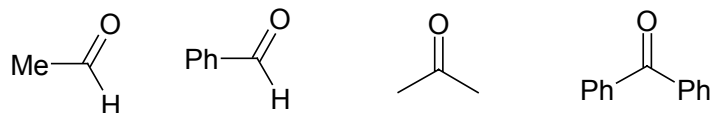
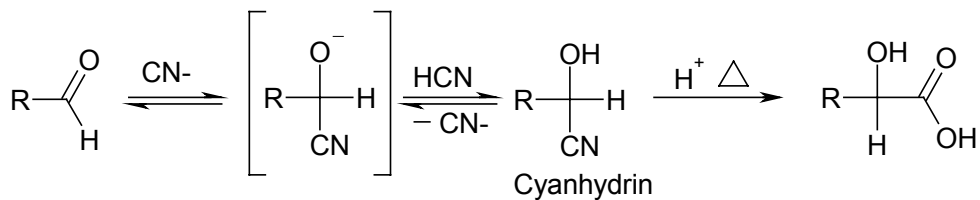


Azine



6.3.5 Addition von C-H aciden Verbindungen

6.3.5.1 Cyanid und Strecker-Synthese



% Cyanhydrin

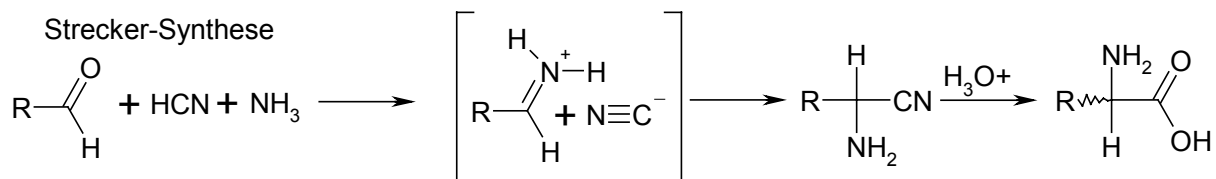
94

84

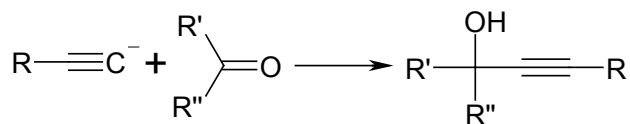
34

0

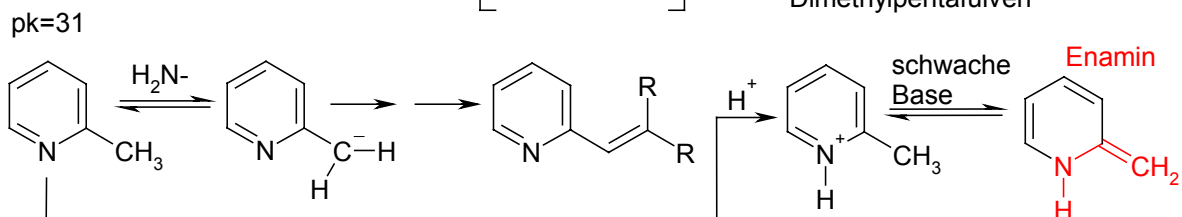
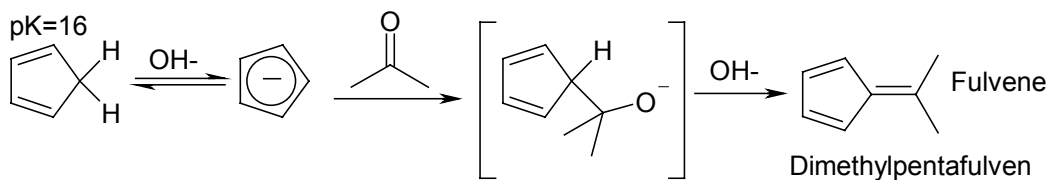
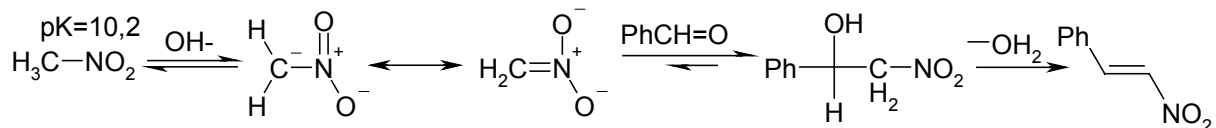
Strecker-Synthese



6.3.5.2 Ethine

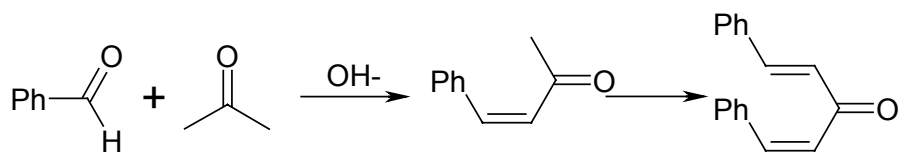
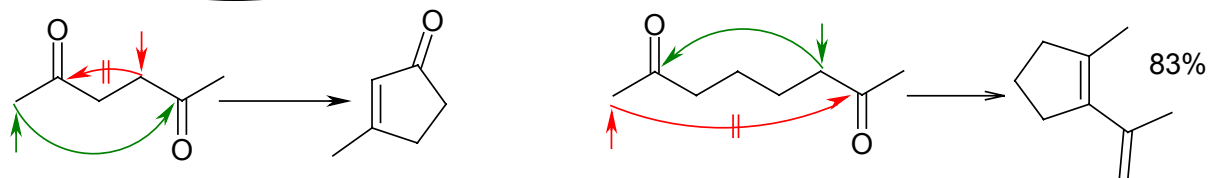
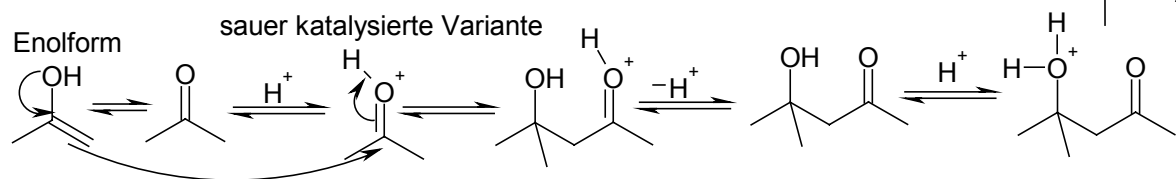
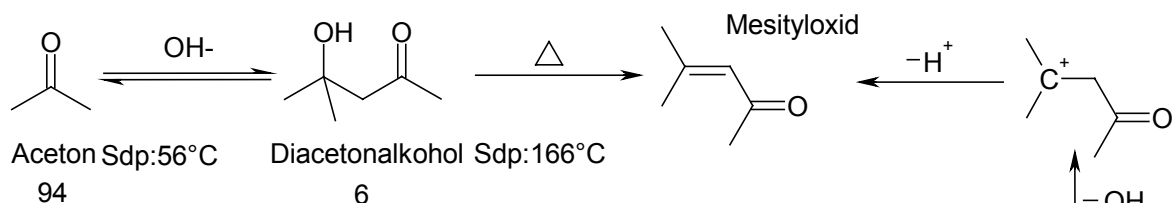
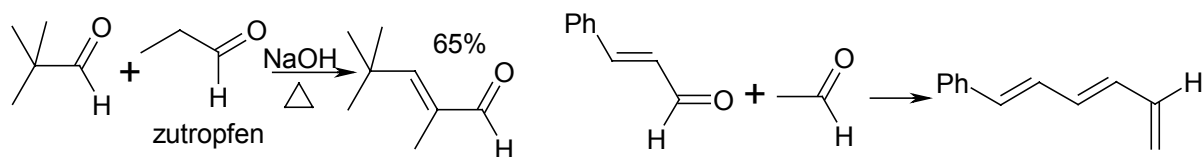
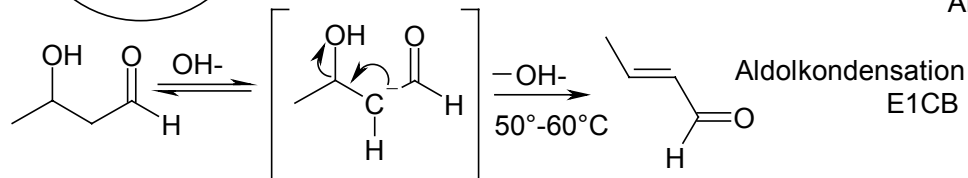
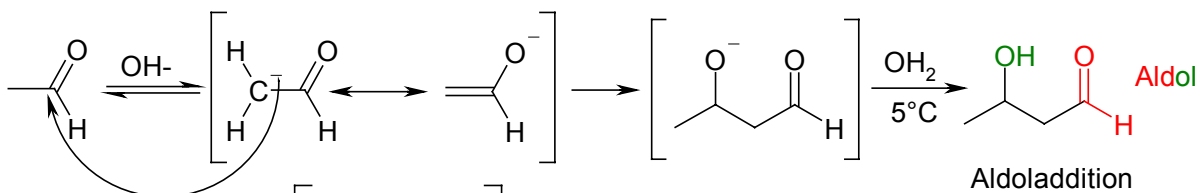


6.3.5.3 Nitroalkane

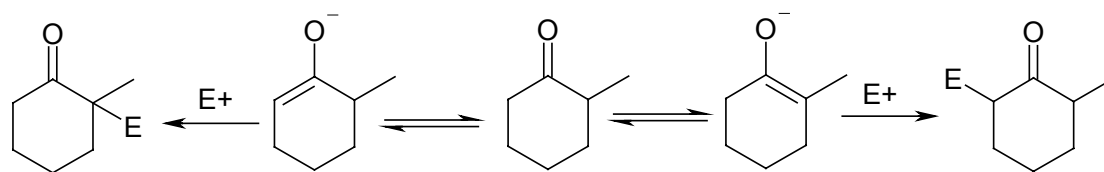


6.3.6 Addition von Enolaten an Aldehyde und Ketone

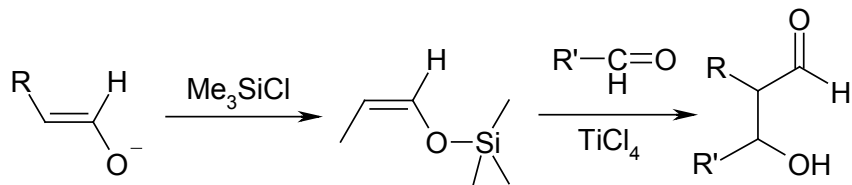
6.3.6.1 Aldoladdition, Aldolkondensation



Gleichgewichtsprobleme

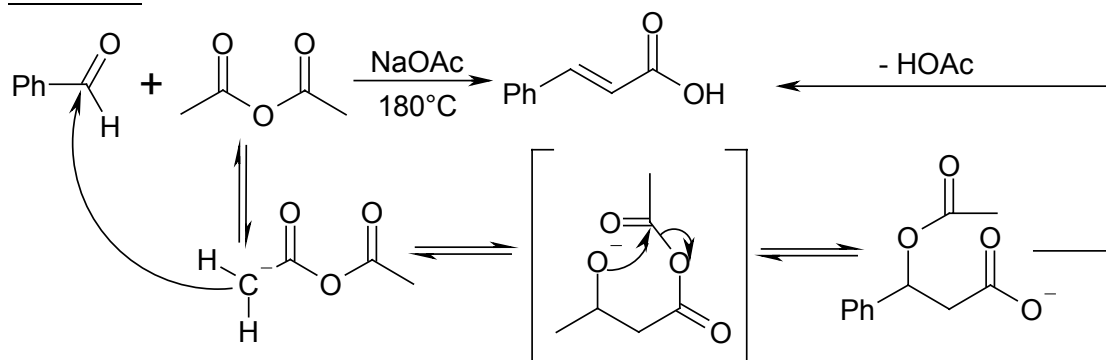


Mukaiyama-Variante

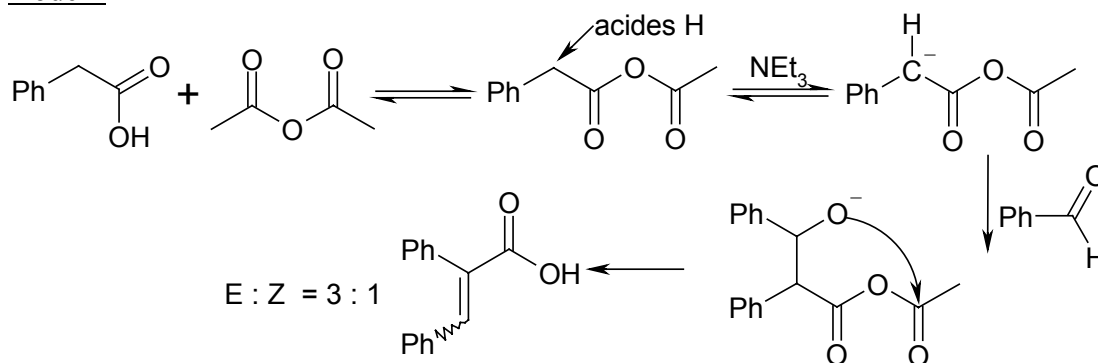


6.3.6.2 Perkin-Synthese

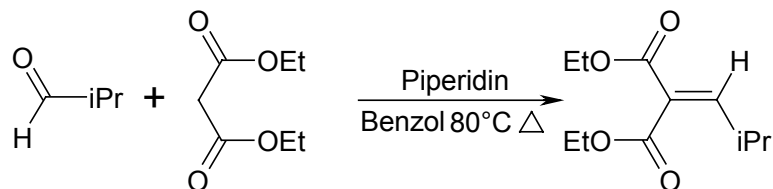
historisch:



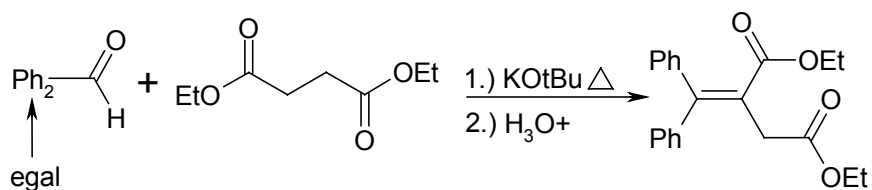
modern



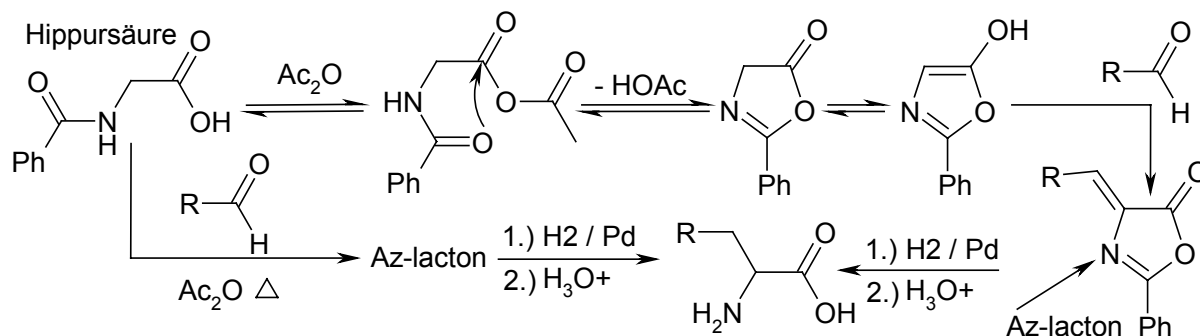
6.3.6.3 Knoevenagel-Kondensation



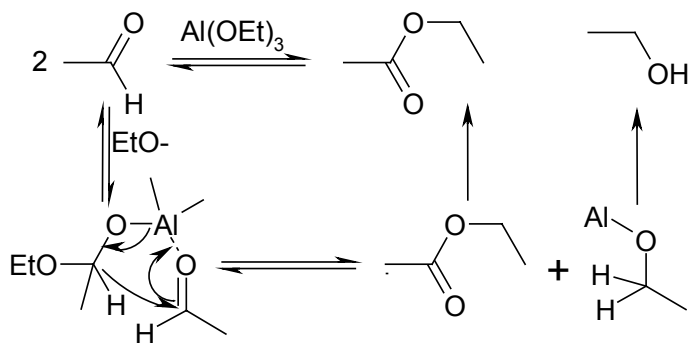
6.3.6.4 Stobbe-Kondensation



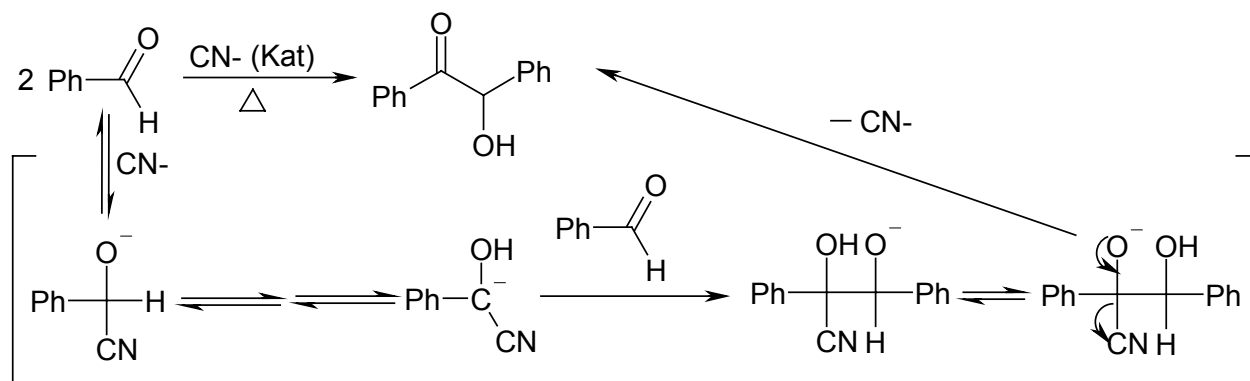
6.3.6.5 Erlenmeyer-Azlacton-Synthese



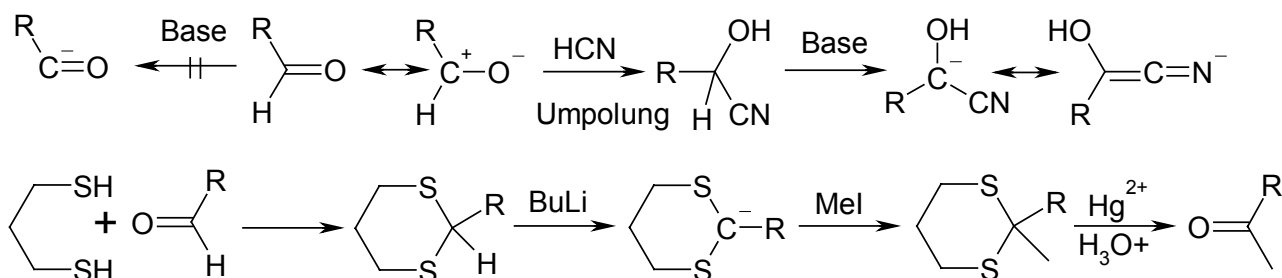
6.3.8.2 Tischenko-Reaktion (Intramolekulare-Variante)



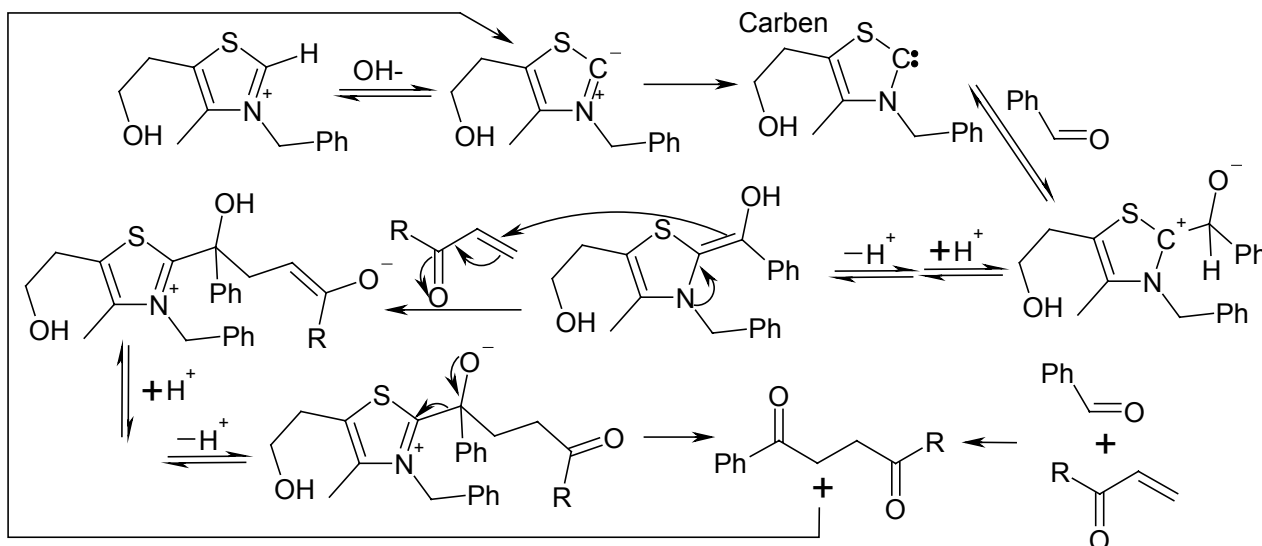
6.3.8.3 Benzoin-Kondensation



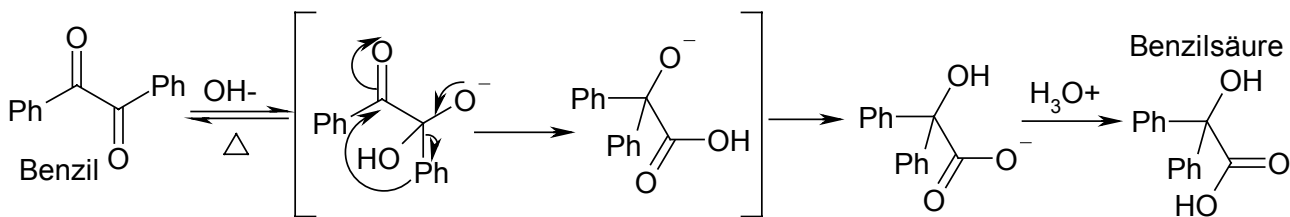
allgemein



Laborvariante für Vitamin B1=Thiamin Synthese

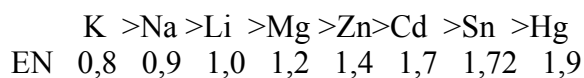


6.3.8.4 Benzilsäure-Umlagerung

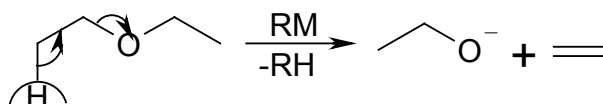


6.3.9 Reaktionen mit metallorganischen Verbindungen

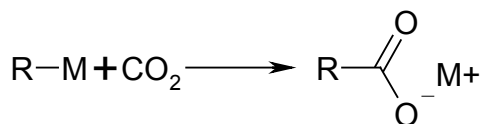
6.3.9.1 Allgemeines



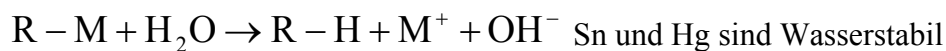
EN \leq 1,0 Etherspaltung



EN \leq 1,5 Reaktion mit CO₂

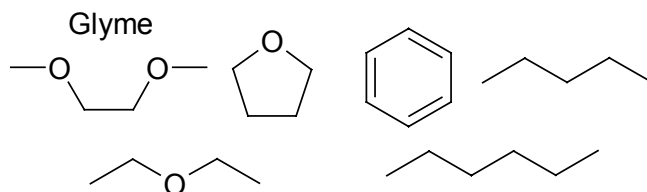
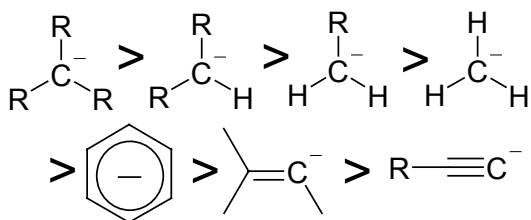


EN \leq 1,7 Reaktion mit H₂O

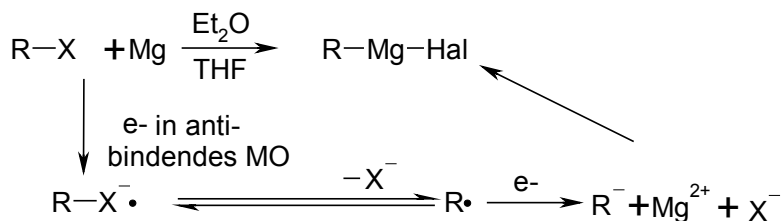


Reaktivität von R

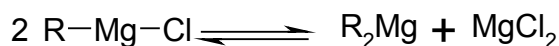
Lösemittel eingeschränkt

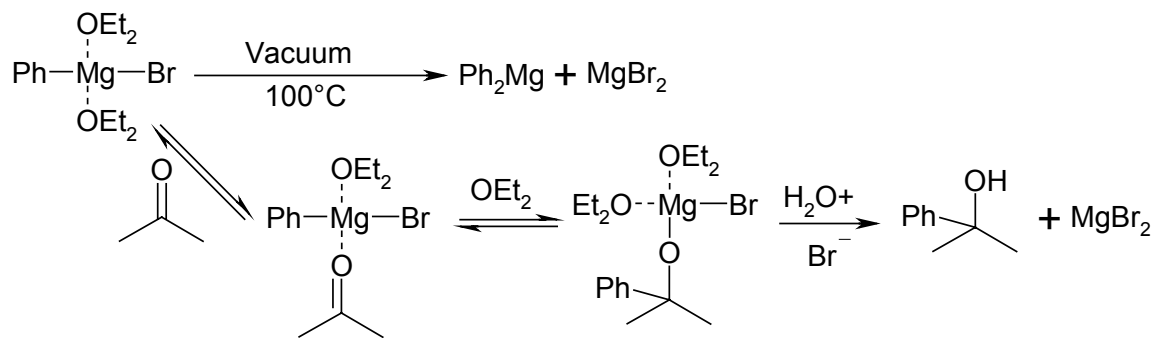


6.3.9.2 Grignard-Verbindungen

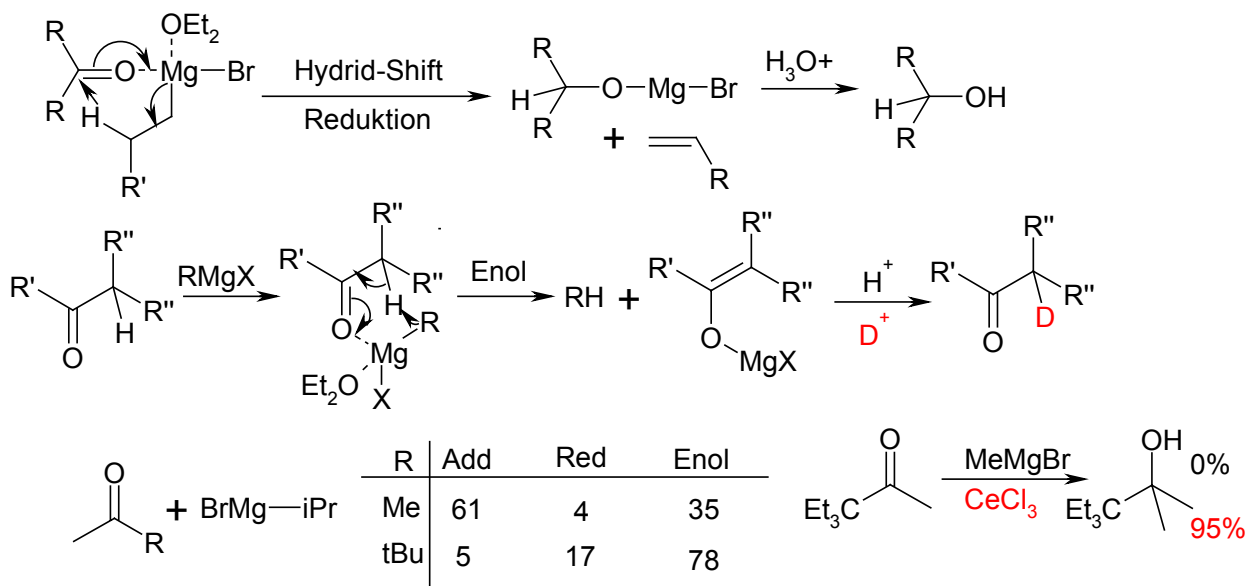


Schlenk-Gleichgewicht

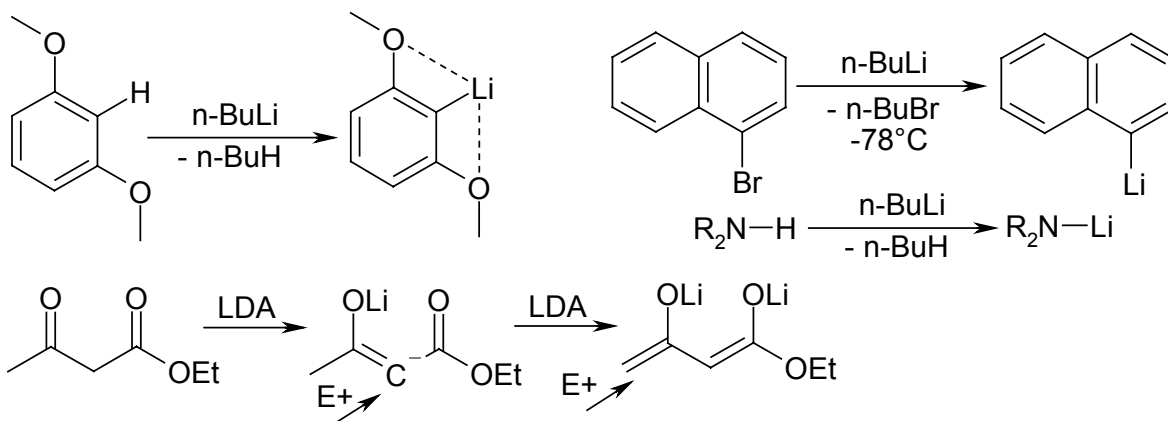
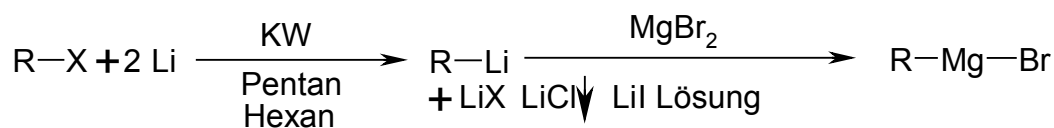




Nebenreaktionen

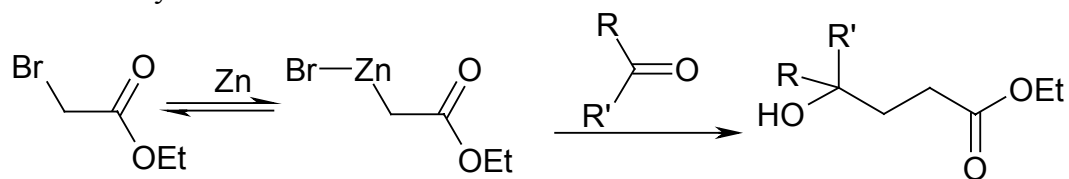


6.3.9.3 Lithiumorganische Verbindungen

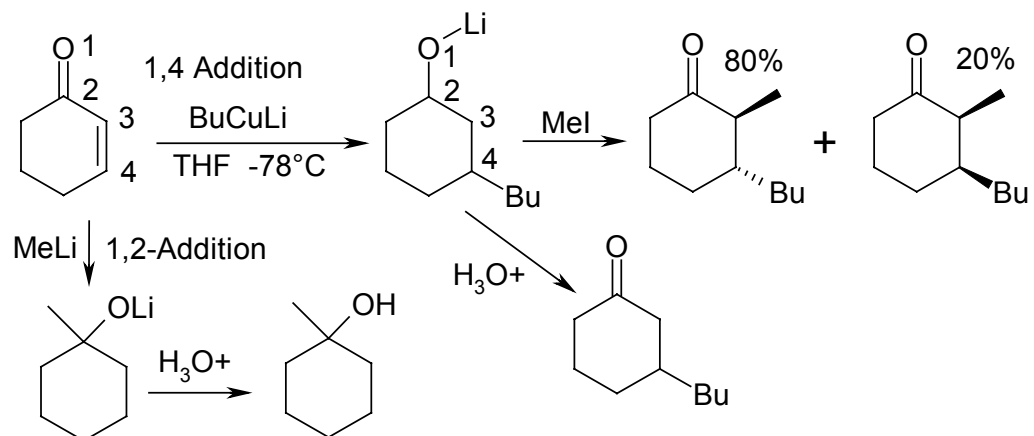


6.3.9.4 Zinkorganische Verbindungen

Reformatsky-Reaktion

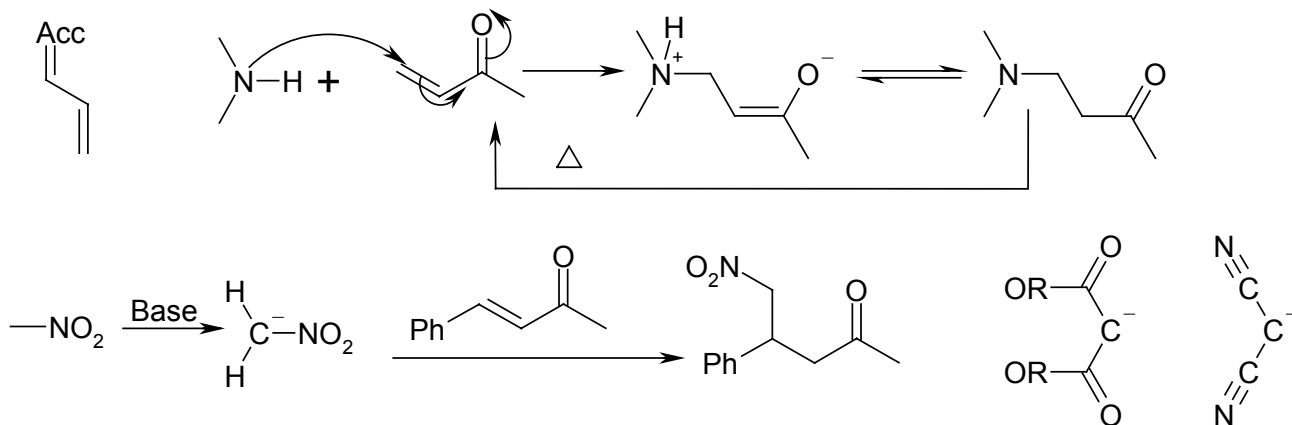


6.3.9.5 Kupferorganische Verbindungen (Organocuprate)

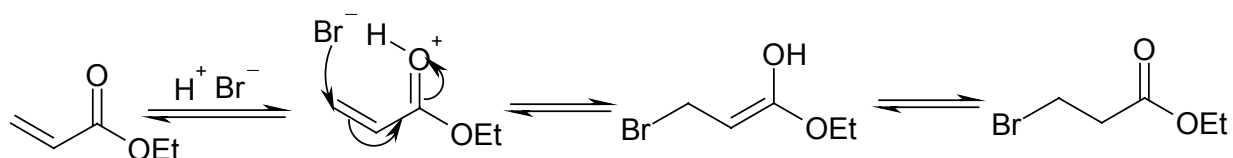


6.3.10 Addition an Michael-Systeme

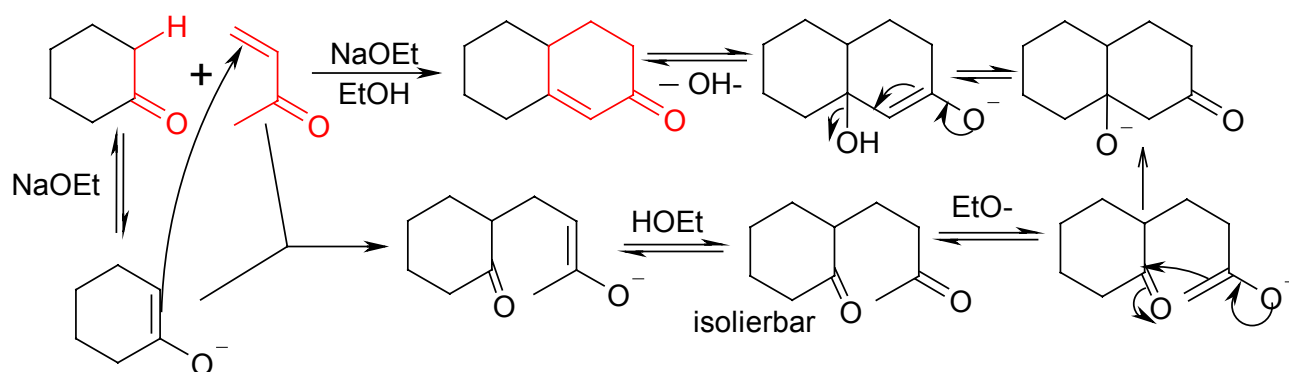
6.3.10.1 Mechanismus der Michael-Addition



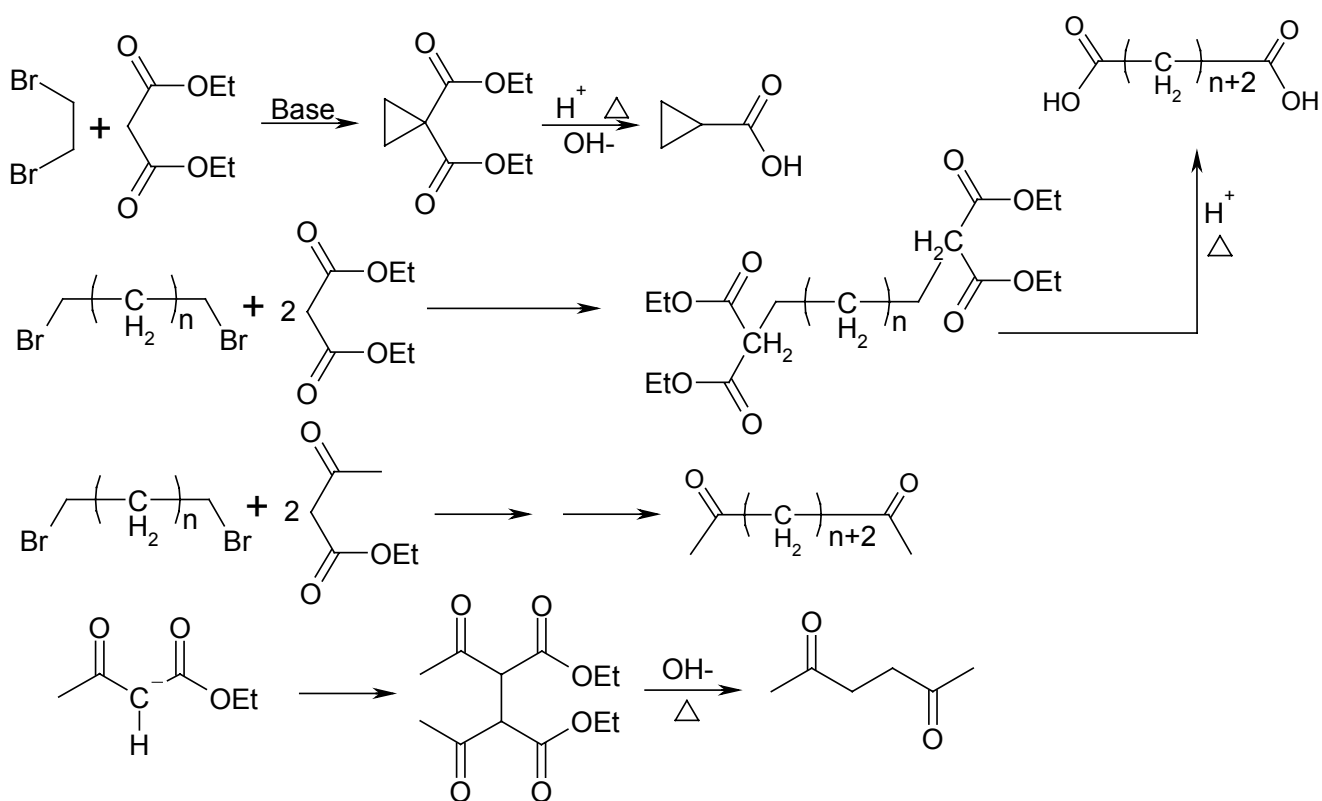
6.3.10.2 sauer katalysiert



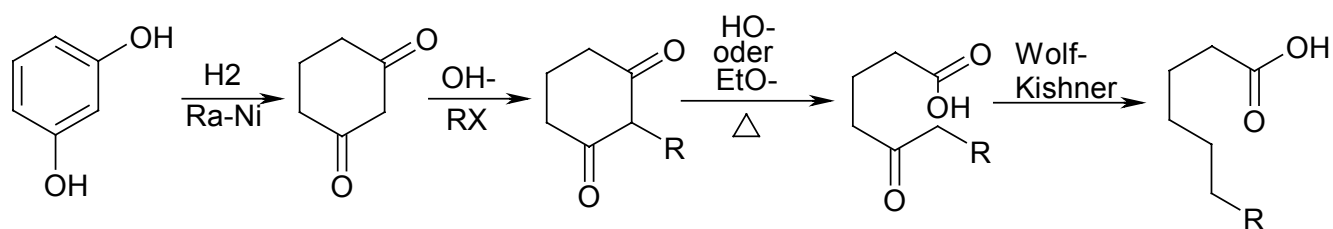
6.3.10.3 Robinson – Anellierung



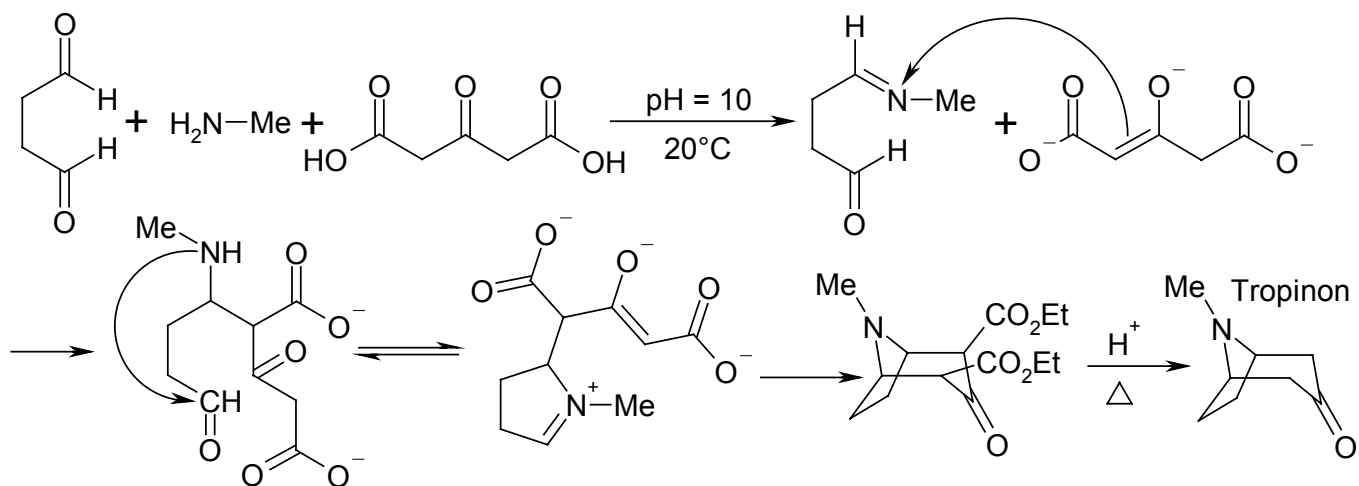
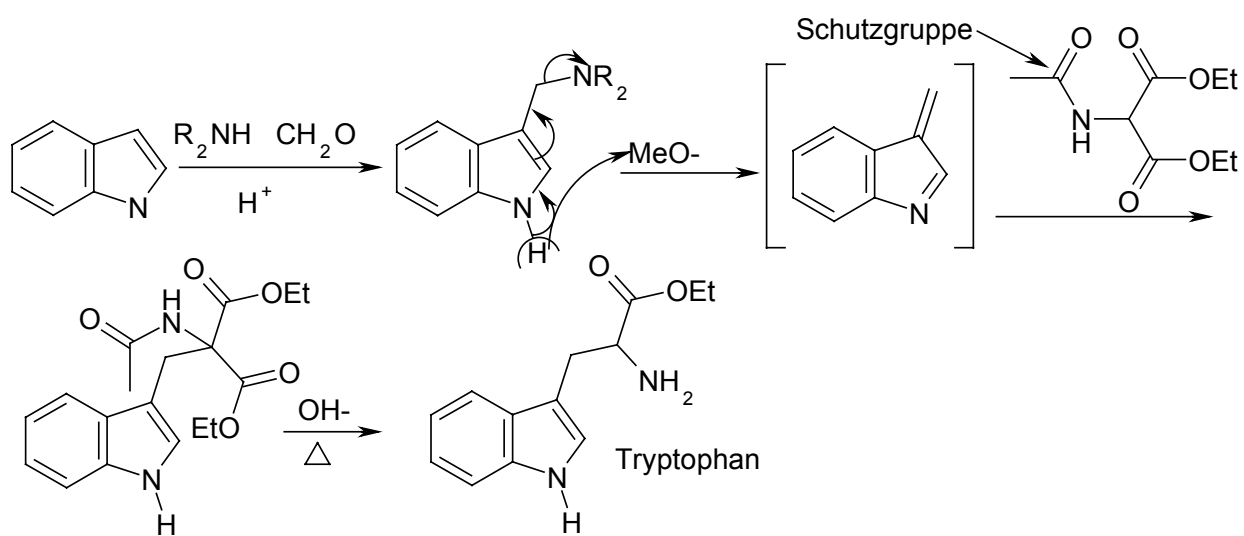
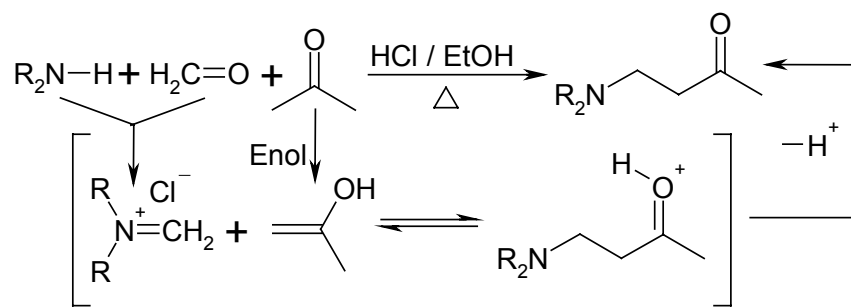
6.3.11 Alkylierung und Acylierung



Stetter-Reaktion

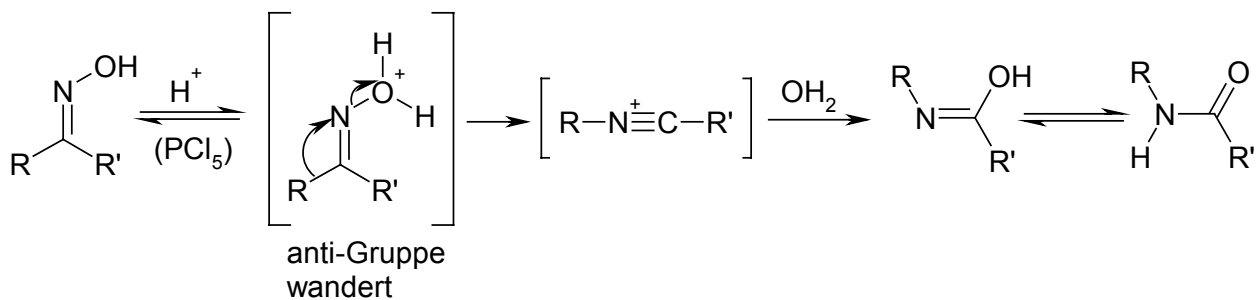


6.3.12 Mannich-Reaktion

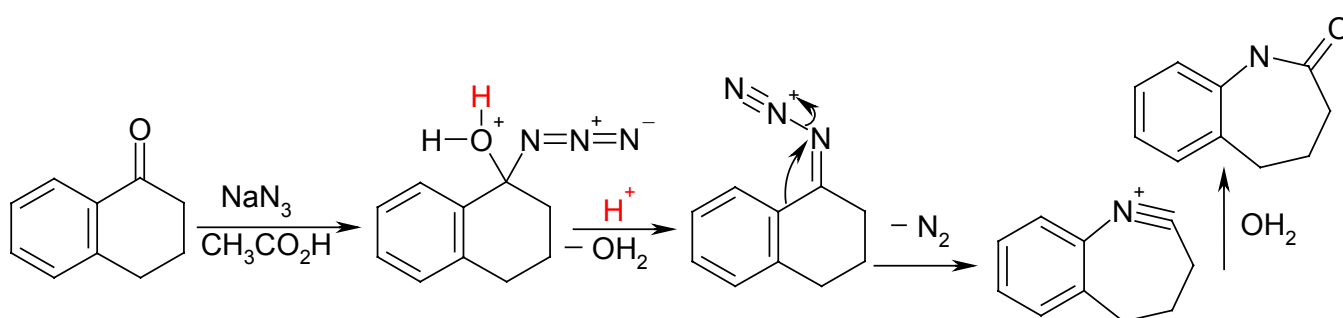


6.4 Umlagerungs-Reaktionen

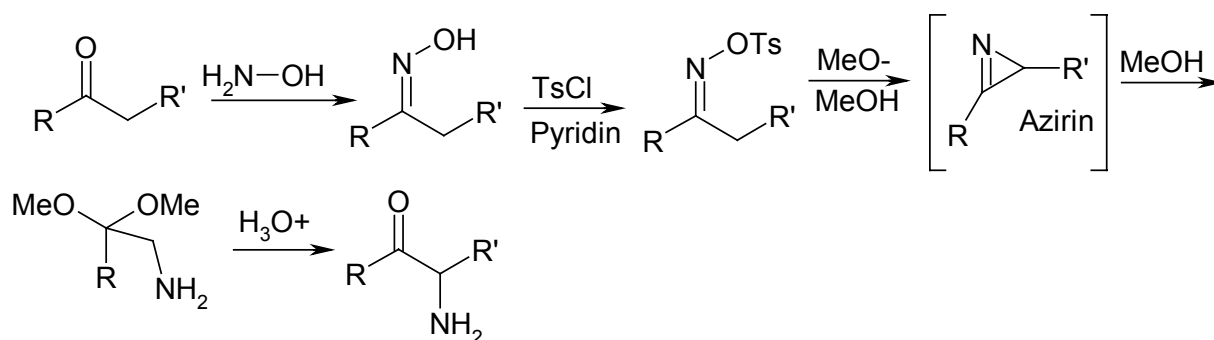
6.4.1 Beckmann-Umlagerung



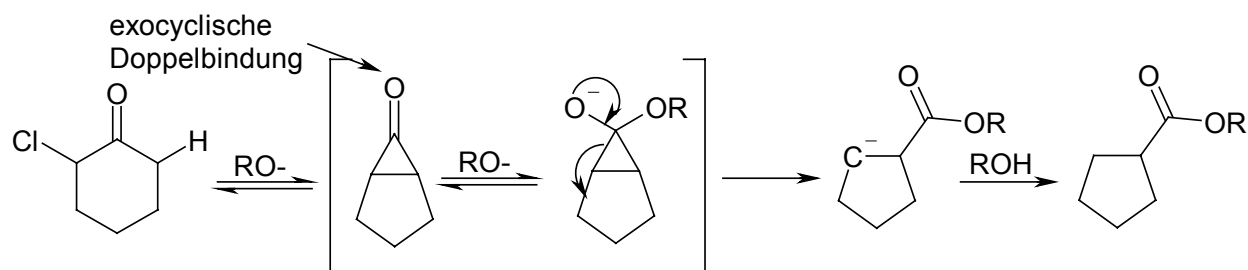
6.4.2 Schmidt-Abbau



6.4.3 Neber-Umlagerung

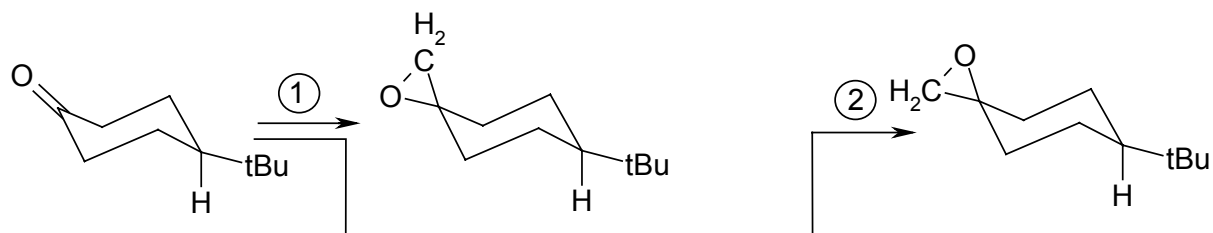


6.4.4 Favorskii-Umlagerung

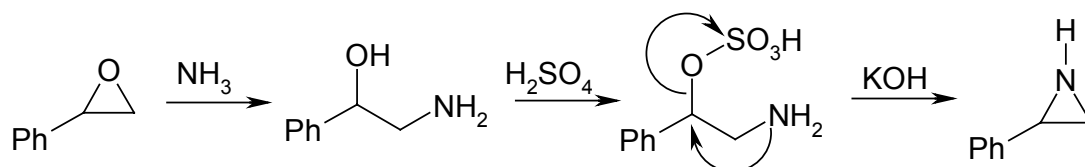


6.5 Synthesen von Heterocyclen

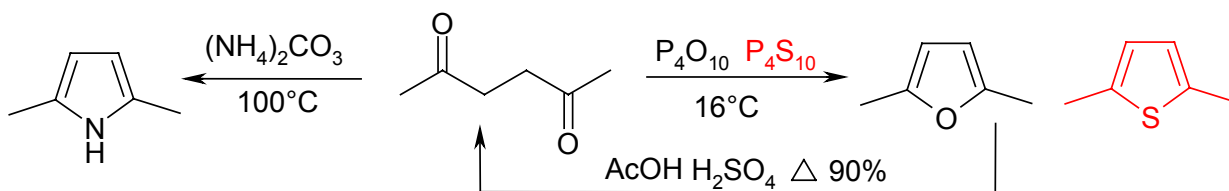
6.5.1 Oxirane



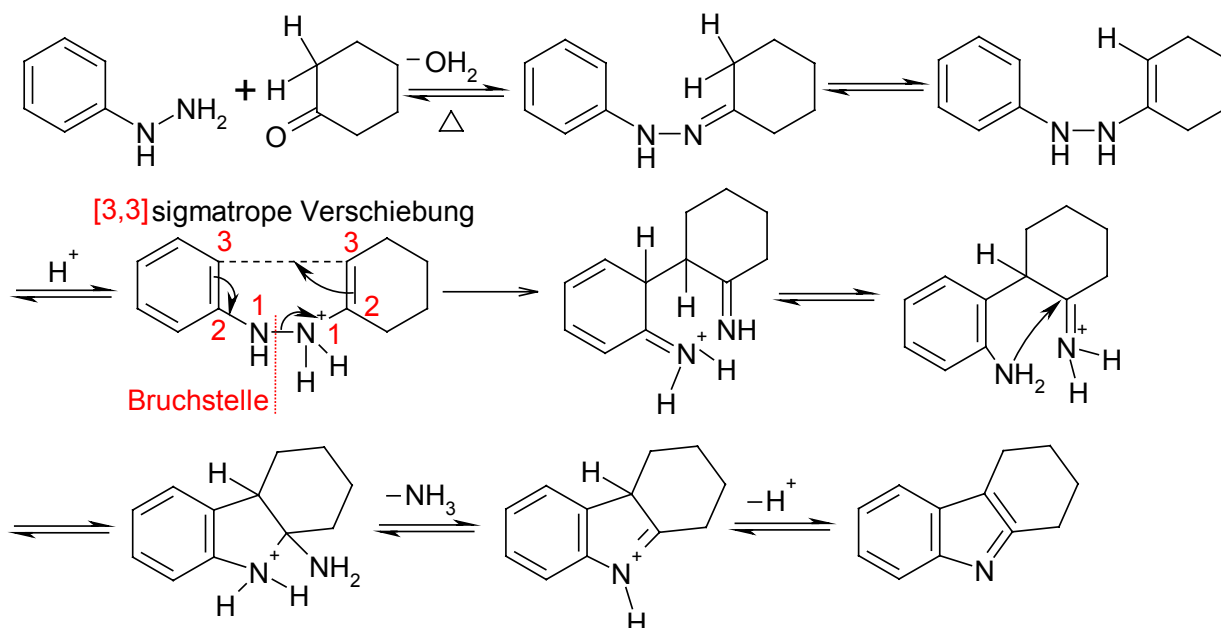
6.5.2 Aziridine



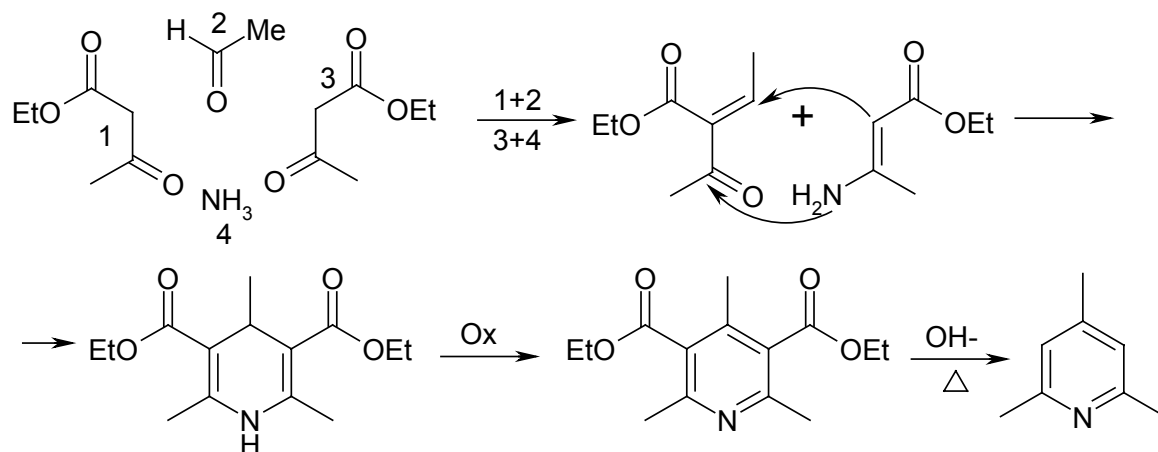
6.5.3 Paal-Knorr-Pyrrol-Synthese



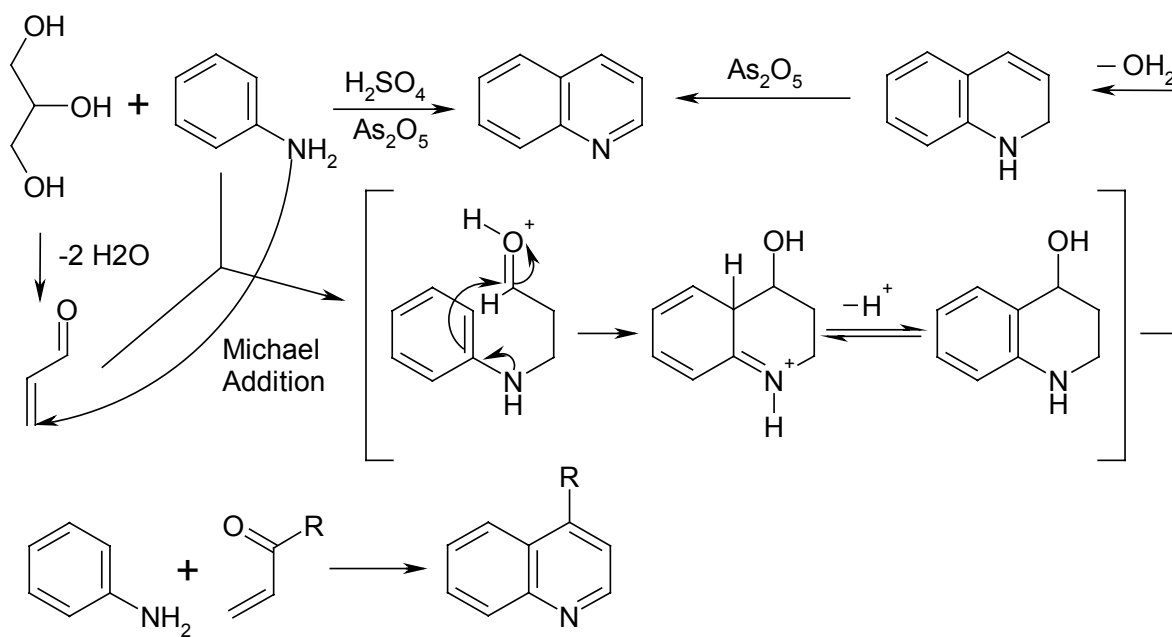
6.5.4 Fischer-Indol-Synthese



6.5.5 Hantzsch-Pyridin-Synthese

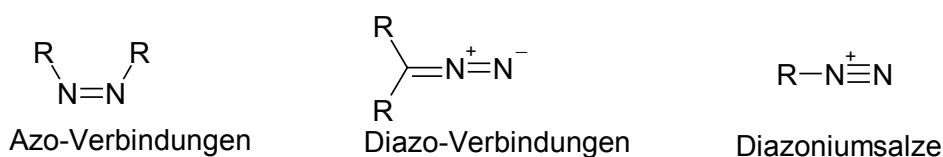


6.5.6 Skaup-Chinolin-Synthese



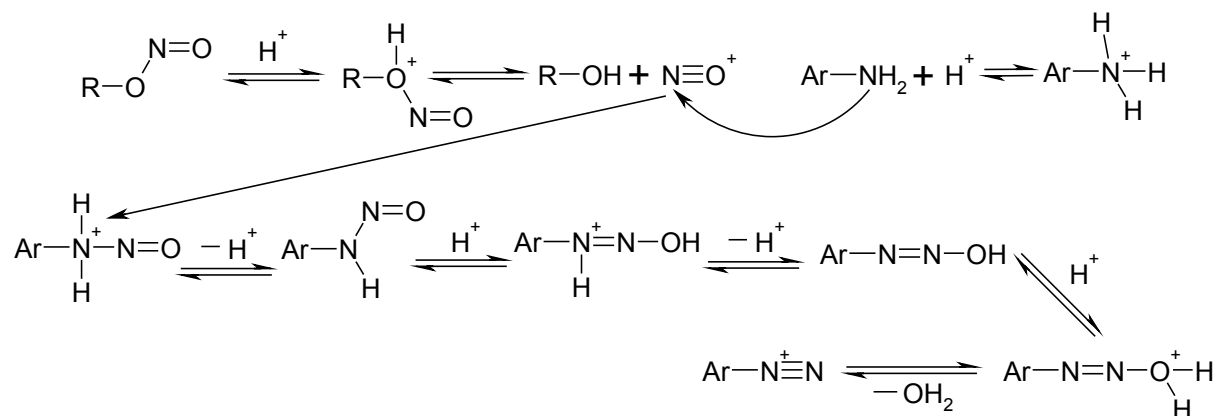
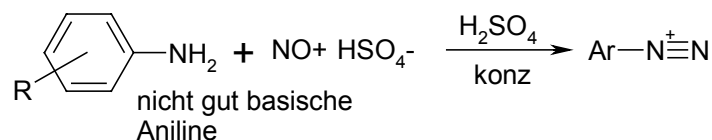
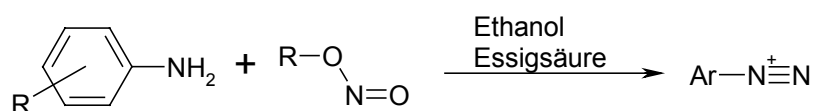
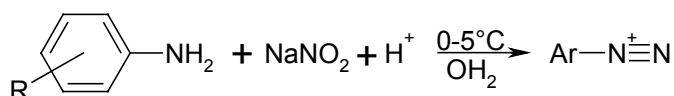
7 Diazoverbindungen

7.1 Nomenklatur



7.2 Aromatische Diazoniumverbindungen

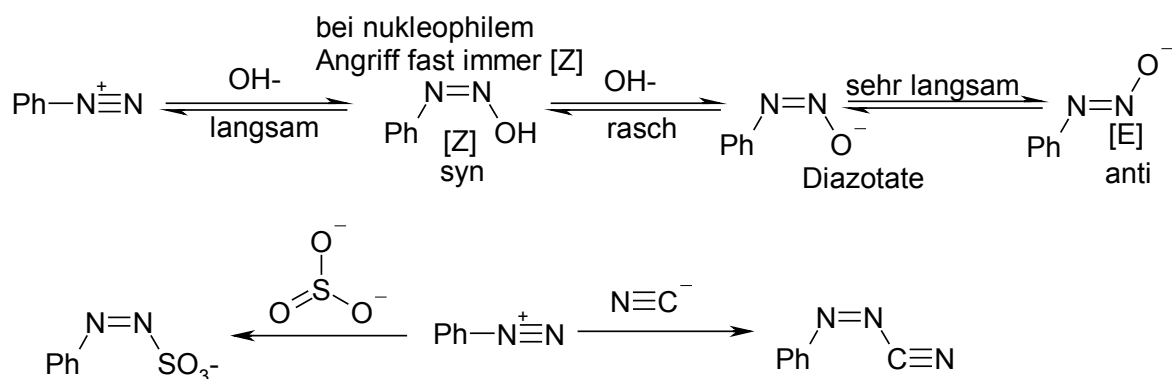
7.2.1 Darstellung



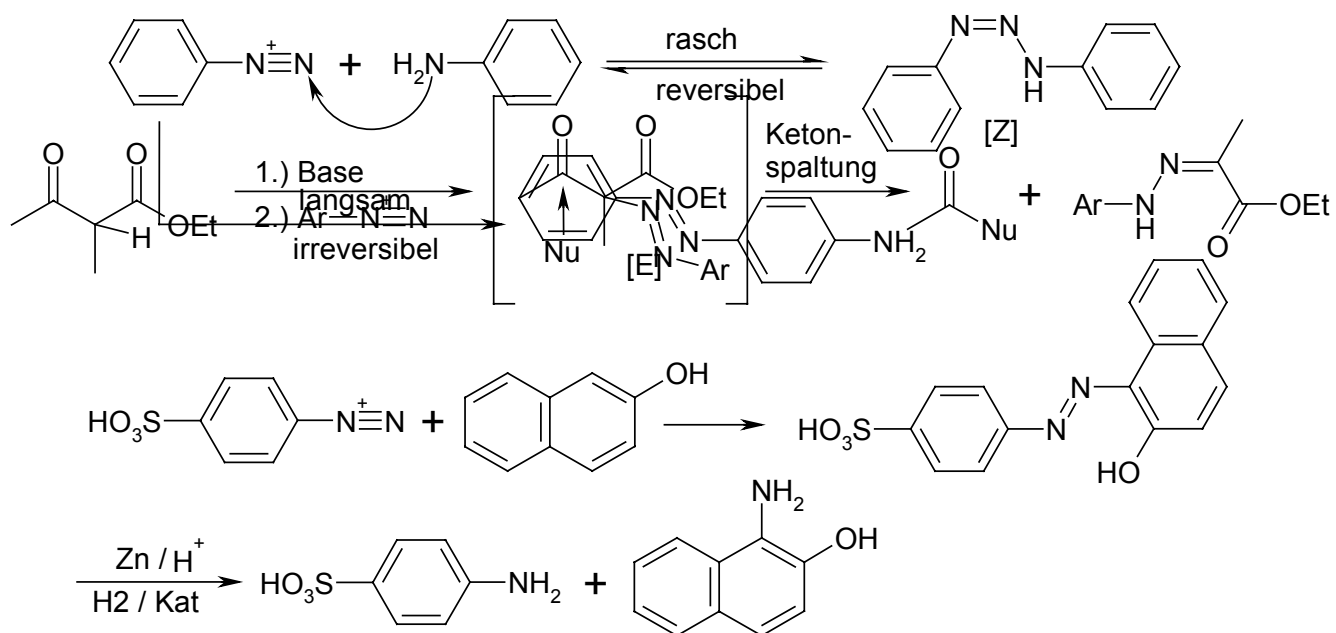
Gegenionen $\text{Cl}^-; \text{HSO}_4^-; \text{BF}_4^-; \text{ClO}_4^-$

7.2.2 Reaktionen ohne Stickstoff-Eliminierung

7.2.2.1 Diazotate, Diazocyanide, Diazosulfite

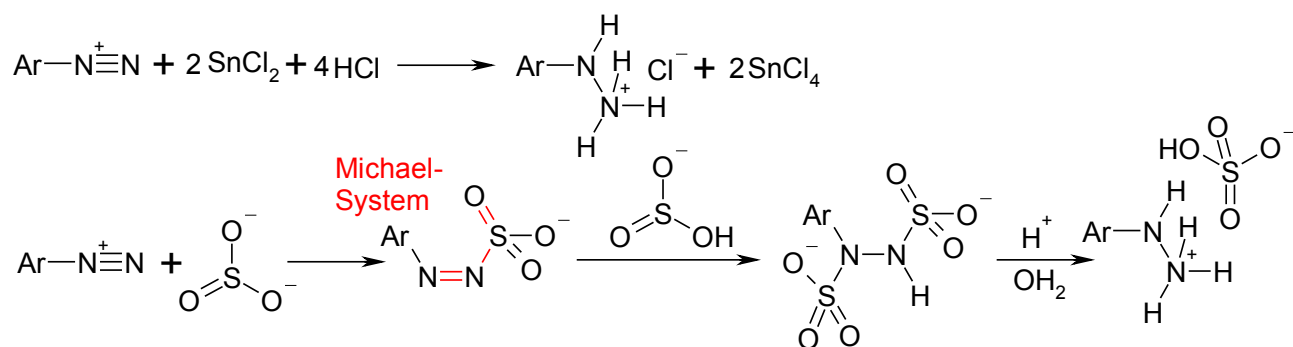


7.2.2.2 Azokupplung



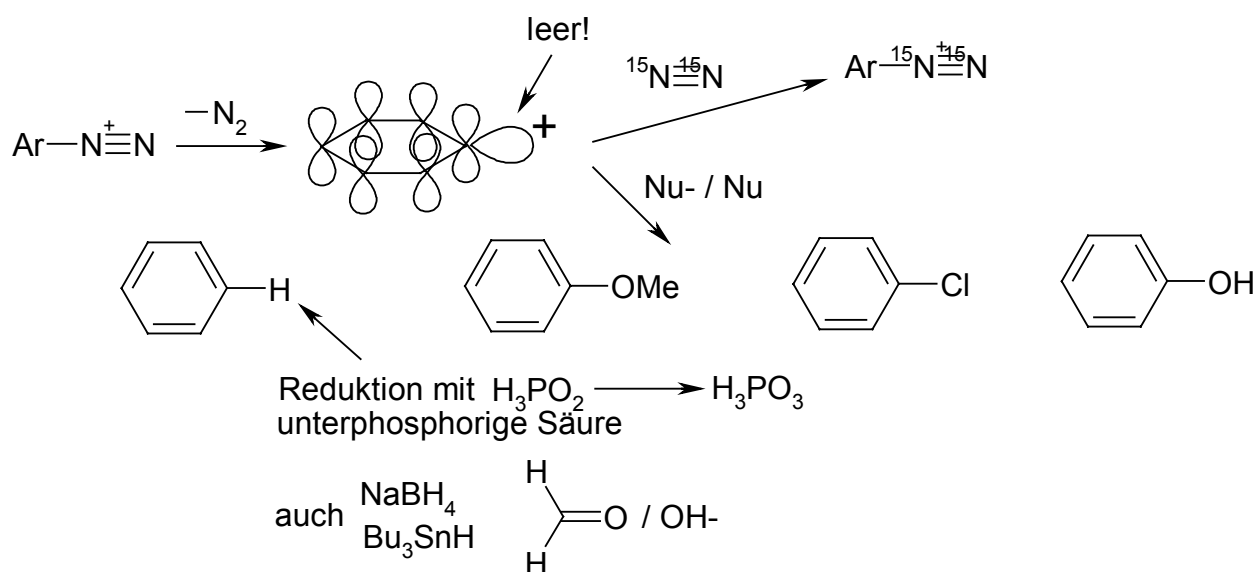
7.2.2.3 Japp-Klingemann-Reaktion

7.2.2.4 Reduktion zu Arylhydrazinen



7.2.3 Reaktionen unter Stickstoff-Eliminierung

7.2.3.1 Phenolverkochung



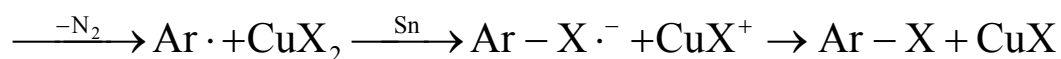
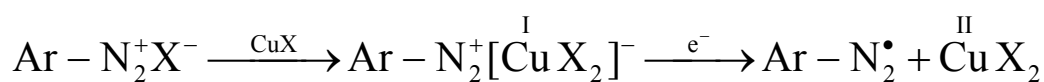
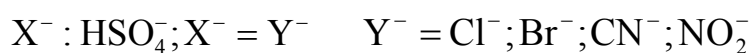
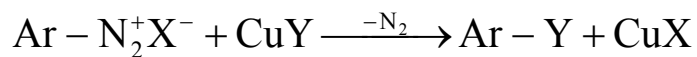
7.2.3.2 Radikalische Arylierung,

siehe: Gomberg-Bachmann-Reaktion 3.10.1 auf S 51

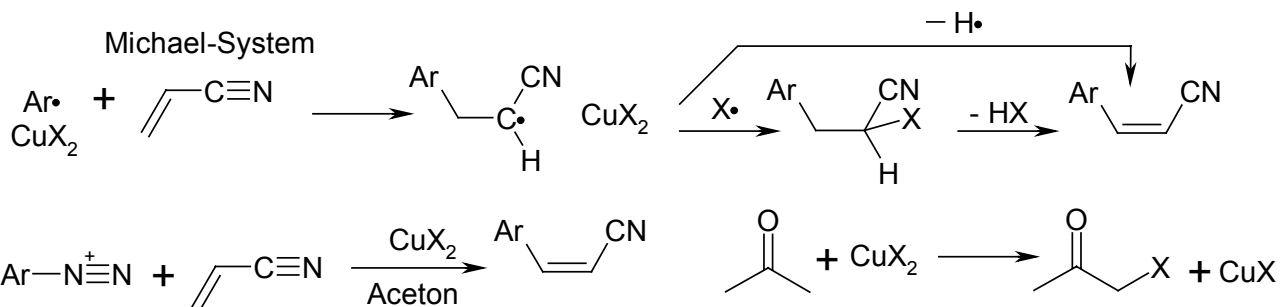
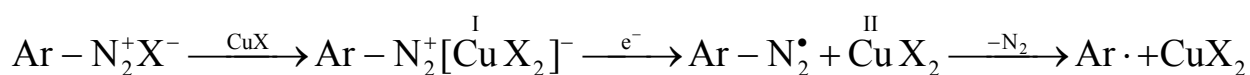
7.2.3.3 Reduktive Desaminierung:

Siehe: Reduktive Desaminierung

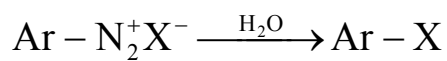
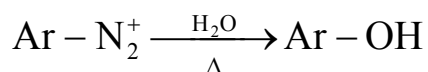
7.2.3.4 Sandmeyer-Reaktion



7.2.3.5 Meerwein-Arylierung

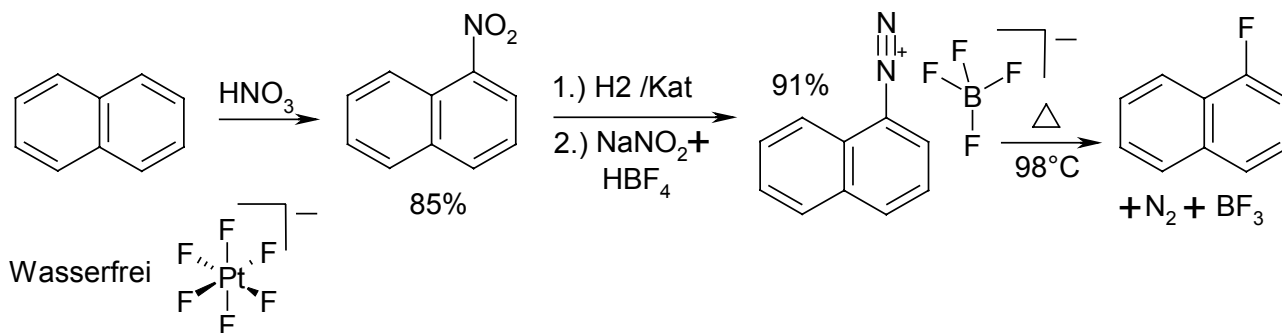


7.2.3.6 weitere Ar-X Synthesen



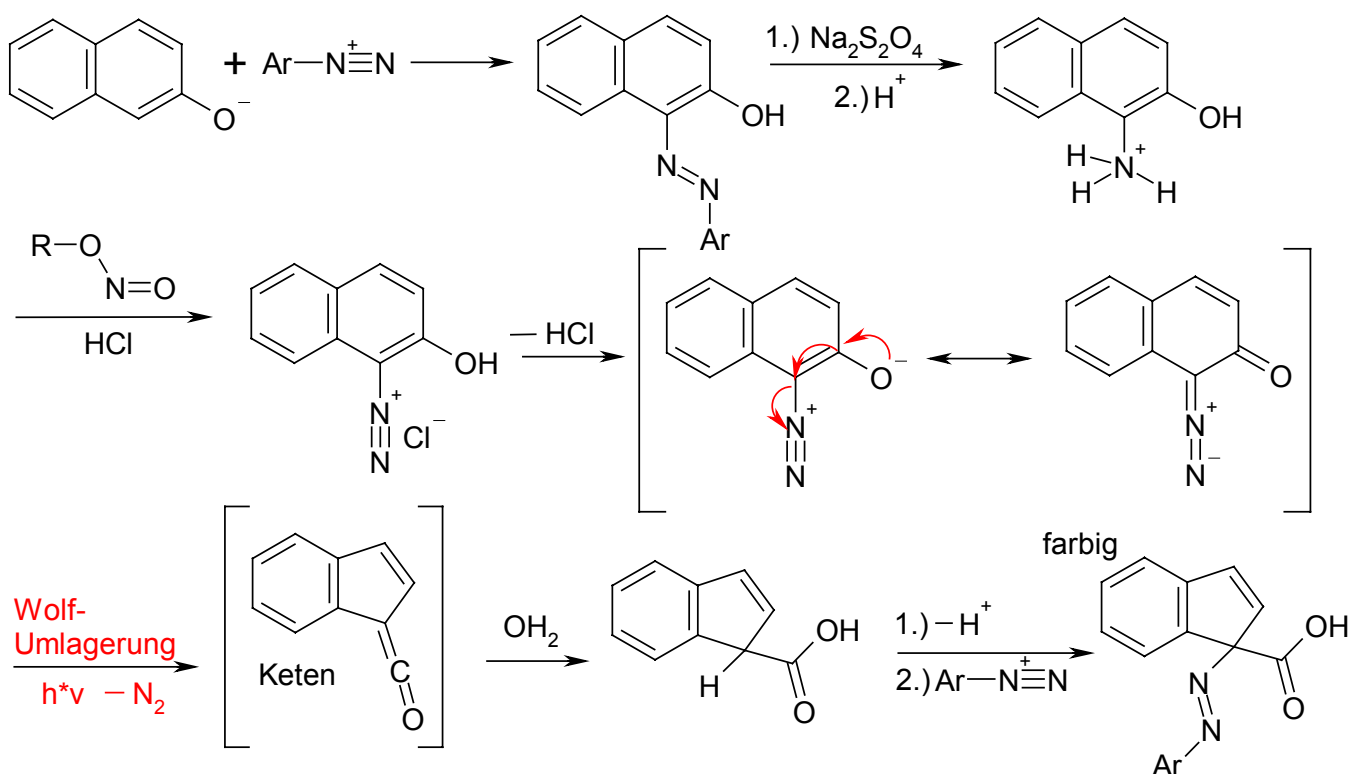
letzteres geht nur für sehr gute Nukleophile $\text{X}^- : \text{I}^-; \text{I}_3^-; \text{R} - \text{S}^-; \text{SCN}^-; \text{N}_3^-$

7.2.3.7 Schiemann-Reaktion

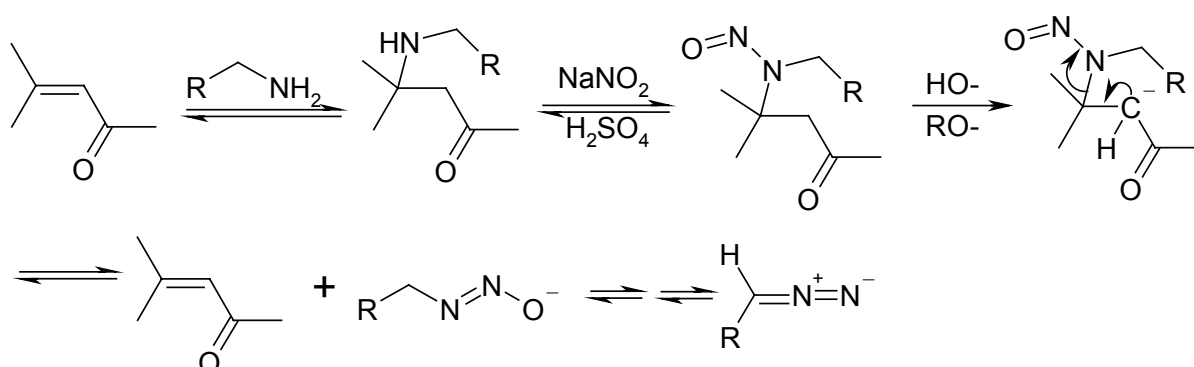


7.2.3.8 Süß-Reaktion (mit Wolf-Umlagerung)

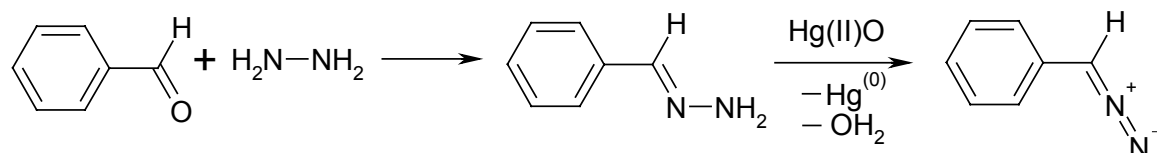
Technisch als Diazotypie (chemischer Kopierer)



7.3.1.3 aus Mesityloxid

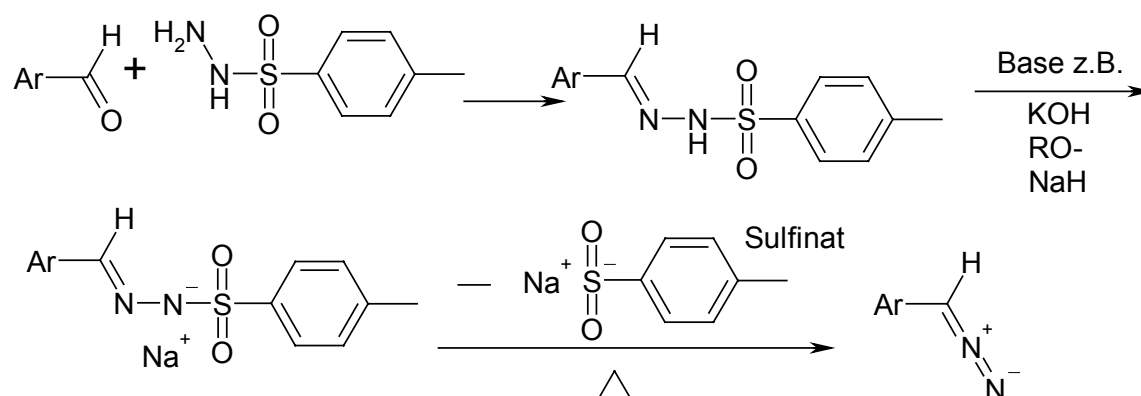


7.3.1.4 Dehydrierung von Hydrazonen

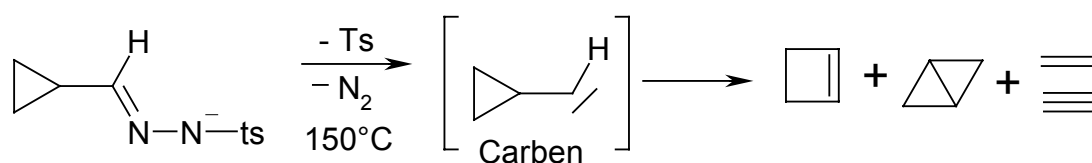


andere Oxidationsmittel: MnO₂ Pb(OAc)₄ Ag₂O

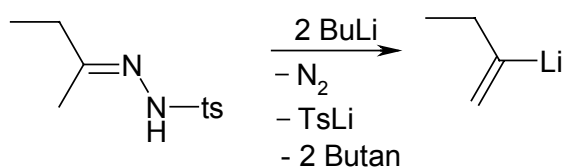
7.3.1.5 Bamford-Stevens-Verfahren



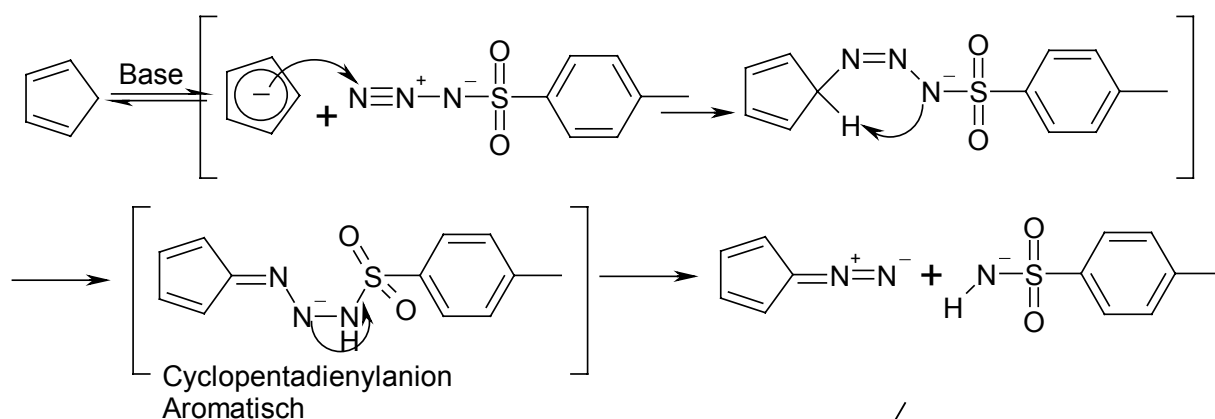
Ist auch mit alkylsubstituierten Aldehyden möglich, aber Nebenreaktionen:



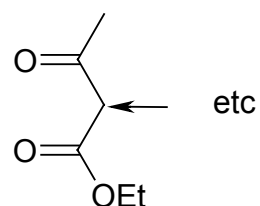
7.3.1.6 Shapiro-Reaktion



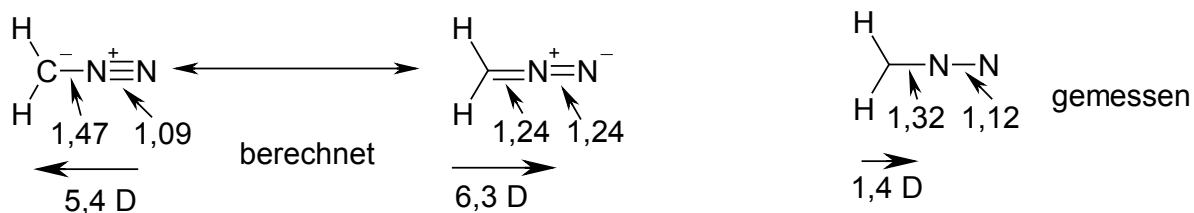
7.3.2 Diazogruppen-Übertragung



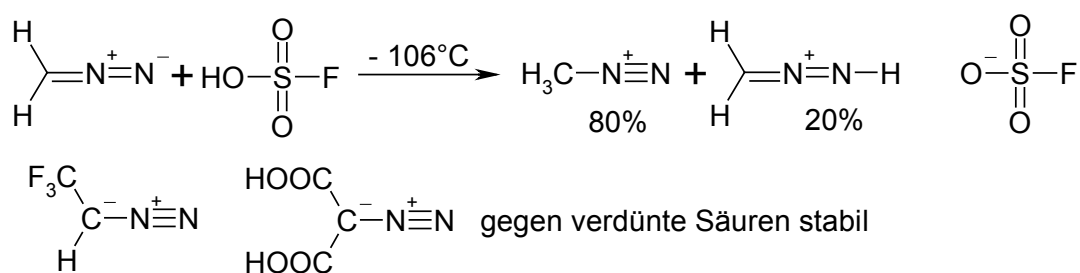
Geht mit allem, was Knoevenagel macht; also auch mit



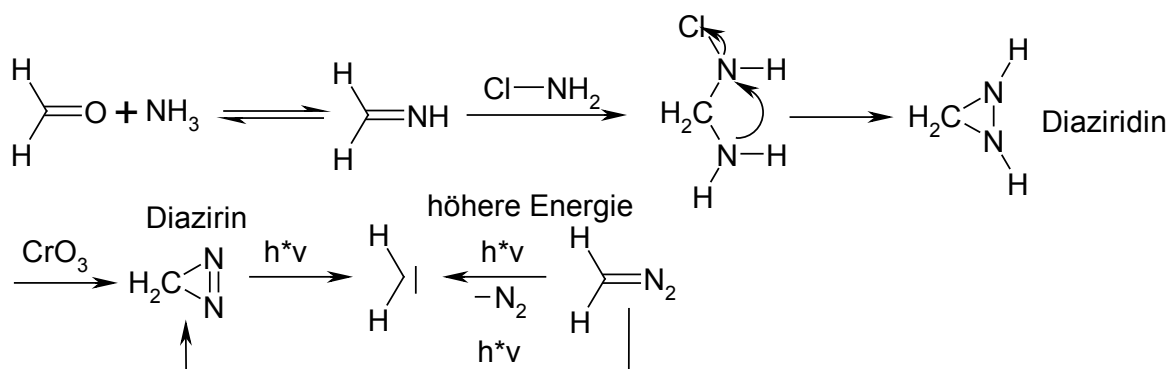
7.3.3 Struktur



7.3.3.1 Wo ist die negative Ladung

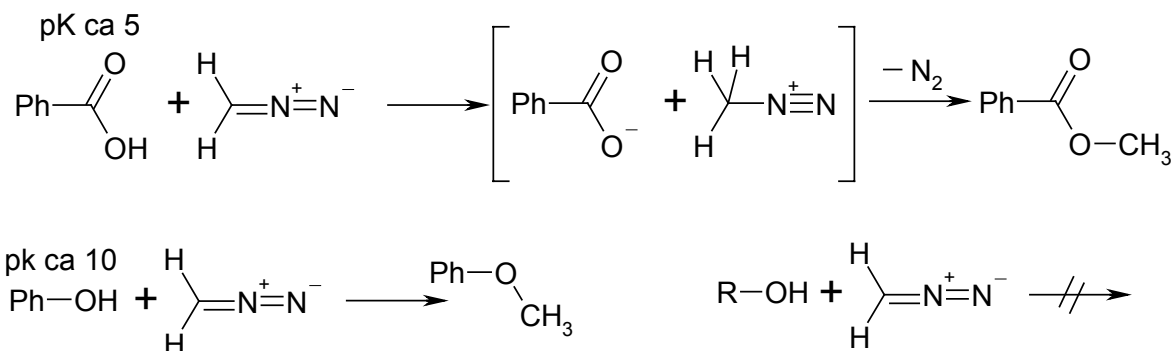


7.3.3.2 Schmitz

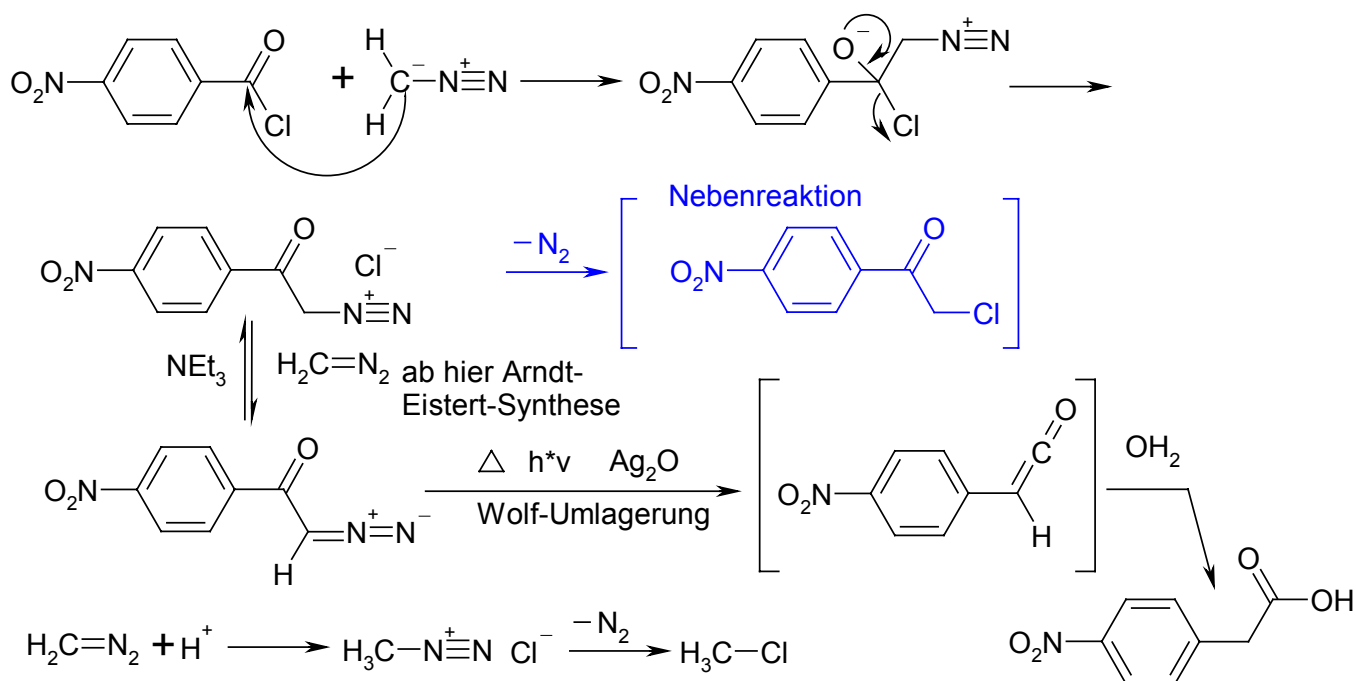


7.3.4 Reaktionen

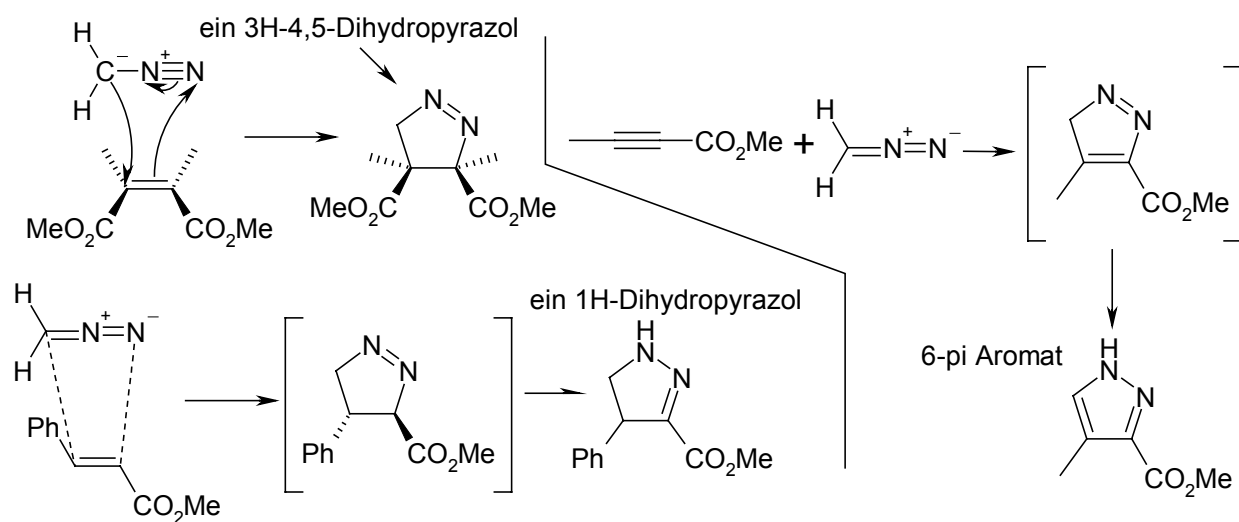
7.3.4.1 Mit aciden Verbindungen



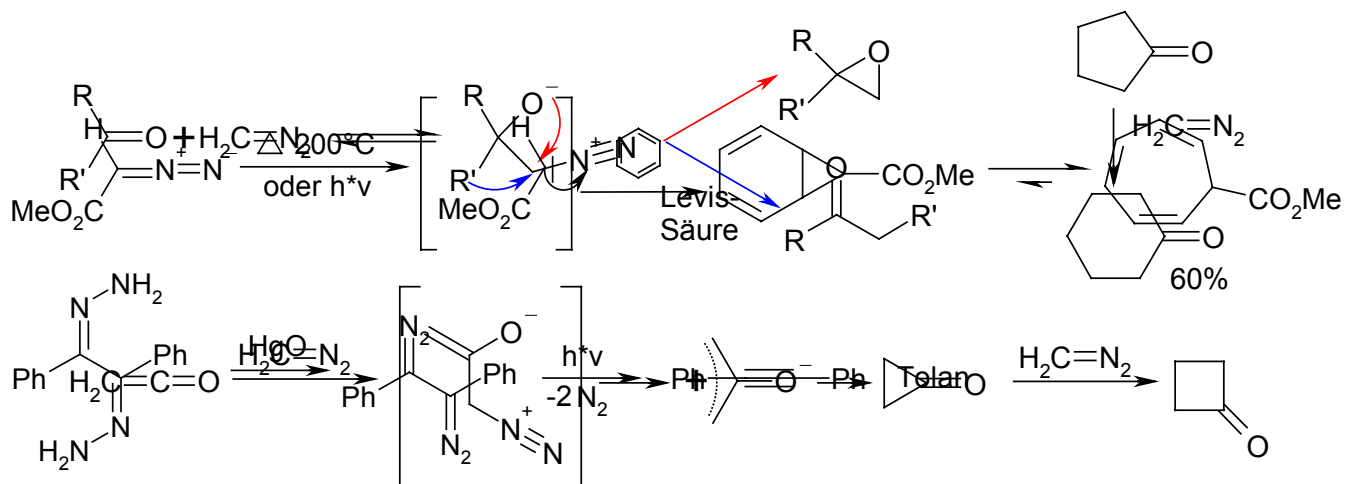
7.3.4.2 Mit Carbonsäurechloriden, Arndt-Eistert-Reaktion



7.3.4.3 [3+2] Cycloaddition (1,3 dipolare Cycloaddition)

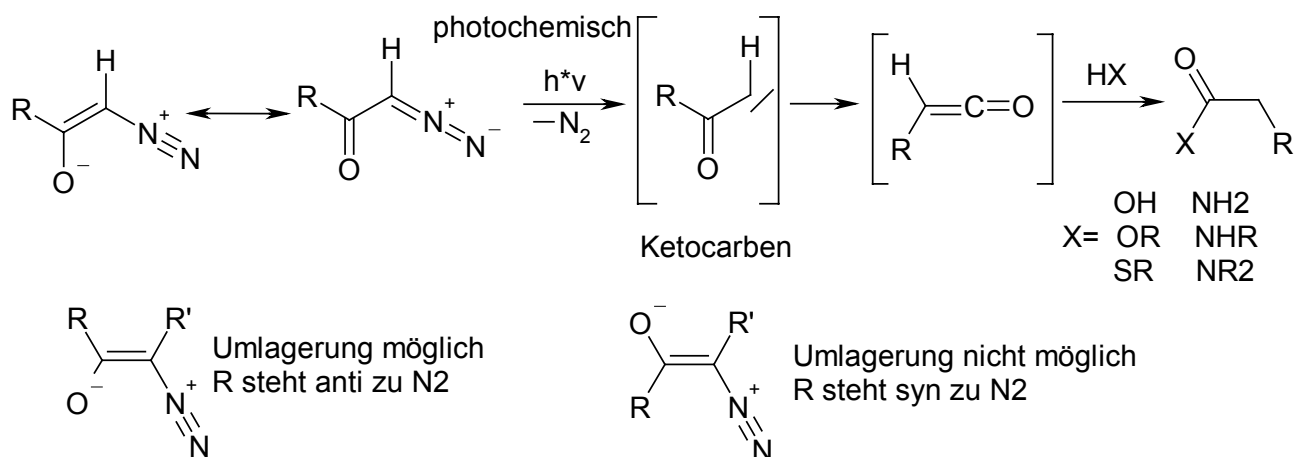


7.3.4.4 Mit Aldehyden und Ketonen

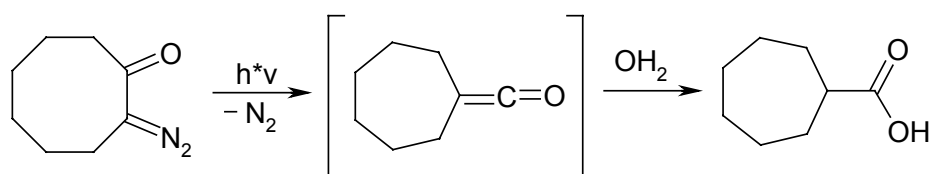


7.3.4.5 Thermolyse, Photolyse (Carbene, Ketocarbene)

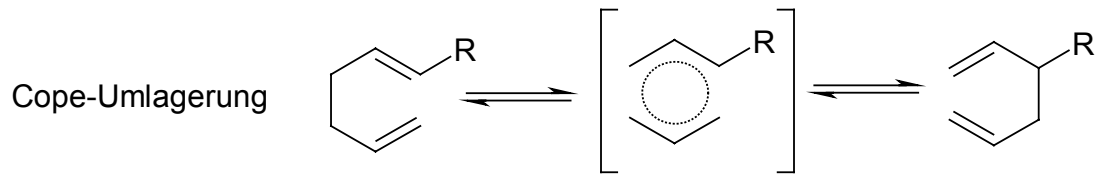
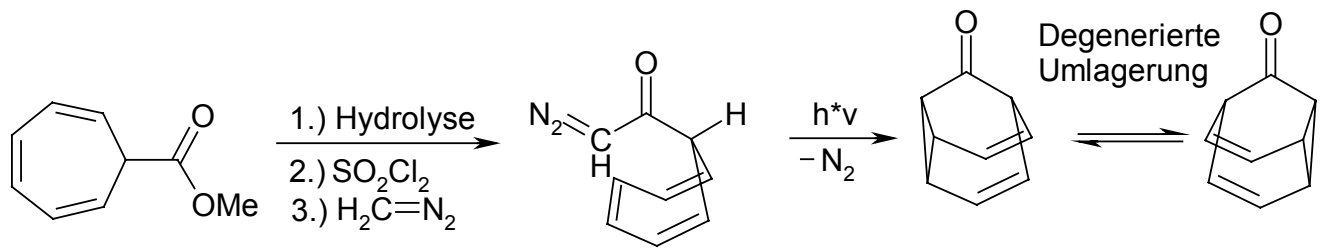
7.3.4.6 Wolff-Umlagerung



Ringverengung durch Wolff-Umlagerung



Barbaralon



Namensreaktionsverzeichnis

I

[3+2] Cycloaddition 70, 110

1

1,3 dipolare Cycloaddition 70, 110

A

Acetessigestersynthese 34

Acyloin-Kondensation 78, 87

Aldoladdition 90

Aldolkondensation 90

Alkenmetathese 60

Appel-Reaktion 19

Arbuzov-Reaktion 61

Arndt-Eistert-Reaktion 110

Azokupplung 104

B

Bamford-Stevens-Verfahren 108

Bayer-Probe 24

Beckmann-Umlagerung 100

Benzilsäure-Umlagerung 95

Benzoin-Kondensation 94

Birch-Reduktion 54

C

Cadiot-Chockiewicz-Kupplung 66

Cannizzaro-Reaktion 93

Chlormethylierung 43

Chugaev-Reaktion 59

Claisen-Kondensation 86

Clemmensen-Reduktion 42

COPE Eliminierung 59

Corey-Winter-Synthese (Fragmentierung)
61

Curtius-Abbau 32

D

Darzens-Glycinester-Synthese 93

Dieckmann-Variante 87

Diels-Alder-Reaktion 71

E

Edman-Abbau 30

Eglinton-Kupplung 66

Einhorn-Reaktion 27

Erlenmeyer-Azlacton-Synthese 92

Esterkondensation 86

Esterpyrolyse 59

F

Favorskii-Umlagerung 100

Fischer-Indol-Synthese 101

Friedel-Crafts-Acylierung 42

Friedel-Crafts-Alkylierung 41

G

Gabriel-Amisynthese 19

Glaser-Kupplung 66

Glykolspaltung 83

Gomberg-Bachmann-Reaktion 51

Grignard 85

Grignard-Reagenzien 85

Grignard-Verbindungen 95

Grignard-Reaktion 25

Grob – Fragmentierung 58

H

Haloform-Reaktion 24

Hantzsch-Pyridin-Synthese 102

Hell Volhard Zelinskii-Reaktion 33

Hofman-Abbau 33

Horner-Wadsworth-Emmons-Reaktion 61

Hundsicker-Reaktion 32

Hydroborierung 63

I

Iodoform-Probe 24

Ipatieff-Reaktion 63

J

Japp-Klingemann-Reaktion 104

Jenks α -Effekt 10

K

Knoevenagel-Kondensation 92

Koch-Haaf-Reaktion 25

Kochi-Reaktion 32

Kolbe-Elektrolyse 31

Kolbe-Schmitt-Reaktion 44

Kornblum-Oxidation 85

L

Leukert-Wallach-Reaktion 78

M

McMurrey-Reaktion 75
Meerwein-Arylierung 105
Meerwein-Ponndorf-Verley-Reduktion 76
Michael-Addition 97
Michael-Systeme 97
Mukaiyama-Variante 91

N

Neber-Umlagerung 100

O

Oppenauer-Oxidation 76
Ozonolyse 70

P

Paal-Knorr-Pyrrol-Synthese 101
Phenolverkochung 105
Pinakol-Umlagerung 75
Pinner-Reaktion 31
Prevost-Reaktion 80

R

Reformatsky-Reaktion 97
Reimer-Tiemann-Reaktion 43
Ritter-Reaktion 31
Rosenmund-Reaktion 28, 84
Ruzicka-Synthese 84

S

Sandmeyer-Reaktion 105

Sanger-Reagenz 46
Schiemann-Reaktion 40, 106
Schlenk-Gleichgewicht 95
Schmidt-Abbau 32, 100
Schotten-Baumann-Reaktion 27
Shapiro-Reaktion 108
Simmons-Smith-Reaktion 69
Skaup-Chinolin-Synthese 102
Sommelet-Reaktion 86
Stetter-Reaktion 98
Stobbe-Kondensation 92
Strecker-Synthese 90
Süß-Reaktion 106
Swain-Gleichung 9
Swern-Oxidation 82

T

Tischtschenko-Reaktion 94

V

Vilsmeier-Haack-Reaktion 43

W

Wagner-Meerwein-Umlagerung 8
Walden-Umkehr 5
Wittig-Reaktion 60
Wolff-Kishner-Reduktion 42
Wolff-Umlagerung 111
Wolf-Umlagerung 106